



جامعة كربلاء

كلية العلوم

قسم علوم الحياة

**التصيف الجزيئي للبكتيريا المرضية المعزولة من احماق العيون
في محافظة كربلاء**

رسالة مقدمة

إلى مجلس كلية العلوم - جامعة كربلاء

وهي جزء من متطلبات نيل درجة الماجستير في علوم الحياة

من قبل

إيناس حمود عبود ضياء الدين

بكالوريوس علوم حياة - جامعة بغداد ٢٠٠٢

بإشراف

أ.د. وفاء صادق محسن الوزني

٢٠٢٣ م

١٤٤٥

بِسْمِ اللَّهِ الرَّحْمَنِ الرَّحِيمِ

وَقُلْ أَعْمَلُوا فَسَبِّرَ اللَّهُ عَمَلَكُمْ وَرَسُولُهُ
وَالْمُؤْمِنُونَ وَسَتَرَوْنَ إِلَى عَالِمِ الْغَيْبِ
وَالشَّهَادَةِ فَبَيْنَ أَنْتُمْ بِمَا كُنْتُمْ تَعْمَلُونَ

صدق الله العلي العظيم

سورة التوبة الآية (١٠٥)

إقرار المشرف

أشهد بأن إعداد هذه الرسالة الموسومة (التصويف الجزيئي للبكتيريا المرضية المعزولة من أخماق العيون في محافظة كربلاء) قد جرى تحت إشرافي في قسم علوم الحياة / كلية العلوم / جامعة كربلاء بوصفها جزءاً من متطلبات نيل درجة ماجستير علوم في علوم الحياة.

التواقيع:

الاسم: د. وفاء صادق محسن الوزني

المرتبة العلمية: أستاذ

التاريخ: 2023 / ٩ / ٢٥

توصية رئيس قسم علوم الحياة

بناءً على التوصيات أعلاه، أحيل هذه الدراسة إلى لجنة المناقشة لدراستها وبيان الرأي فيها.

التواقيع:

الاسم: د. خالد علي حسين

المرتبة العلمية: أستاذ مساعد

العنوان: رئيس قسم علوم الحياة

التاريخ: 2023 / ٩ / ٢٥

إقرار لجنة المناقشة

نحن أعضاء لجنة المناقشة، نشهد أننا اطلعنا على هذه الرسالة الموسومة (التصويف الجزيئي للبكتيريا المرضية المعزولة من أخماق العيون في محافظة كربلاء) وناقشتنا الطالبة (ليناس حمود عبود) في محتوياتها وفيما لها علاقة بها بتاريخ 16/8/2023 ونرى أنها جديرة بالقبول لنيل شهادة الماجستير في علوم الحياة.

رئيس لجنة المناقشة

التوقيع:
الاسم: د. علي عطيه عبد
المرتبة العلمية: استاذ

مكان العمل: جامعة كربلاء / كلية العلوم

التاريخ: 25 / ٩ / 2023

عضو اللجنة

التوقيع: عزيز
الاسم: د. عباس ظاهر ناجي
المرتبة العلمية: استاذ

مكان العمل: جامعة كربلاء/ كلية الطب مكان العمل: جامعة الفرات الأوسط/ المعهد التقني كربلاء

التاريخ: 25 / ٩ / 2023

عضو اللجنة (المشرف)

التوقيع: وفاء
الاسم: د. وفاء صداق محسن
المرتبة العلمية: استاذ

مكان العمل : جامعة كربلاء / كلية العلوم

التاريخ: 25 / ٩ / 2023

صادقة عميد كلية العلوم / جامعة كربلاء

الاسم: د. جاسم حنون هاشم العوادي

المرتبة العلمية: استاذ

العنوان: جامعة كربلاء/ كلية العلوم

التاريخ 28 / ٩

الإِهَادَاء

الى هبيتي ورفة شأني وأوتاد عزي الى من احمل اسمه بكل افتخار
والدي الغالي.

الى نبع الحنان الصافي ومن كانت الجنة تحت قدميها
والدتي العزيزة.

الى رفيق دربي..... ومن كاتفني ونحن نشق الطريق نحو النجاح وبه استمد قوتي
وعزيمتي..

زوجي الحبيب.

الى قرة عيني وفؤادي وزينتي في الحياة
أولادي علي ودينا وفاطمة.

أهدي جهدي هذا

شكر وتقدير

الحمد لله الذي تجلى للقلوب بالعظمة، واحتجب عن الابصار بالعزة، واقتدر على الأشياء بالقدرة، والصلوة والسلام على سيدنا محمد (ص) وعلى اله الاطهار.

وبعد:

فأني اشكر الله وافر الشكر أن وفقني وأعانني على إتمام هذه الرسالة، ثم أتقدم أولاً بالشكر والتقدير إلى رئاسة جامعة كربلاء وعمادة كلية العلوم ورئيسة قسم علوم الحياة لأتاحتهم لي الفرصة بإكمال دراستي.

ثم أتوجه بالشكر والعرفان بالجميل إلى استاذتي ومشرفي الفاضلة الأستاذ الدكتور وفاء صادق محسن الوزني المحترمة لتقضيلها بالأشراف على هذه الرسالة التي منحتني الكثير من وقتها ومتابعتها المستمرة ونصائحها العلمية طيلة مدة البحث الأثر الكبير في إتمام هذا العمل، واسأل الله العلي القدير ان يجازيها خير الجزاء وان يكتب صنيعها في موازين حسناتها ويمتعها بوافر الصحة والعافية.

ومن الوفاء ان أتقدم بوافر التقدير وعظيم الامتنان الى الدكتور علي عبد الكاظم الغانمي لمساعدته الكبيرة وارشاداته القيمة لي اسأل الله ان يمدہ بالصحة والعافية انه سميع مجيب.

وأتقدم بالشكر الجليل لمنتبسي وزارة الصحة في مختبر الصحة العامة في كربلاء المقدسة وخاص بالذكر السيدة اميرة والى جميع كادر شعبة المختبرات وحدة الاحياء المجهرية في مستشفى الامام الحسن المجتبى (ع) والى استشارية العيون لمساعدتهم في جمع العينات السريرية ولا بد ان اشير بالشكر والعرفان الى الدكتور حيدر علي الفرعاوي وكل من قدم لي يد العون والمساعدة ... وذكره قلبي ولم يذكره قلمي، سواءا في مرحلة البحث او الكتابة لما قدموه لي من مساعدة جعلها الله لهم في موازين حسناتهم.

وأخيراً أقدم وافر شكري وتقديري وامتناني لعائلتي على تشجيعهم ودعمهم وصبرهم معی طيلة فترة دراستي سائلة الباري عز وجل ان يديمهم لي ذخرا.

الملاحة

Summary

الخلاصة

تعرض العين الى أنواع مختلفة من الكائنات الحية الدقيقة وان لعدوى سطح العين عواقب مدمرة اذ لم يتم معالجتها بالمضادات الحيوية في مرحلة مبكرة ويمكن ان تؤدي هذه الأ xmax; الى العمى لذا تم إجراء الدراسة الحالية بهدف التحري عن أهم الأحياء المجهرية البكتيرية المسببة للأ xmax; العيون في محافظة كربلاء المقدسة وتحديد ضراوتها، كذلك التحري الجزيئي عن انتشار جينات المقاومة للمضادات الحيوية وجينات الصراوة في العزلات البكتيرية الأكثر شيوعاً في احداث إصابات العيون البكتيرية ، و جمعت لهذا الغرض ١٦٩ مسحة من المرضى المصابين با xmax; العيون ومن ثلات مناطق (المتحمة، والقرنية، والاجفان) بعد أن تم تشخيصهم سريرياً من قبل الأطباء الاختصاص تراوحت أعمارهم بين (٧٥-١) سنة ولكل الجنسين من الوافدين لمستشفى الإمام الحسن المجتبى (ع)، ومستشفى الهندية العام ومركز السيدة زينب (ع) التخصصي للعيون في محافظة كربلاء المقدسة لمدة من اب ٢٠٢٢ ولغاية كانون الثاني ٢٠٢٣.

وقد أظهرت النتائج المتعلقة بزرع العينات وجود نمو بكتيري في (٤٥٪) ٧٦ عينة من مجموع عينات الأ xmax; العينية التي تم جمعها بينما لم يظهر نمو في (٥٥٪) ٩٣ عينة تم من خلالها الحصول على (٤١٪) ٥٣.٩٤ عينة موجبة لصبغة غرام، و(٤٠٪) ٣٥ عينة سالبة لصبغة غرام وكل العزلات البكتيرية تم تشخيصها بالاعتماد على الصفات المظهرية والمجهرية للمستعمرات عند نموها على الأوساط الزرعية العامة والانتقائية فضلاً عن إجراء العديد من الاختبارات الكيموحيوية التي تم من خلالها تأكيد تشخيص العزلات الأكثر ترددًا بواسطة جهاز Vitek ٢ الفايتاك .

وأظهرت النتائج سيادة بكتيريا *Staphylococcus aureus* بواقع (٢٨.٩٠٪) ٢٢ عينة تتبعها بكتيريا *Staphylococcus epidermidis* بواقع (٢٥٪) ١٩ عينة ثم بكتيريا *Pseudomonas aeruginosa* بواقع (٢٣.٦٠٪) ١٨ عينة و(١٥.٧٠٪) ١٢ عزلة تعود لبكتيريا *Escherichia coli*، وتم الحصول على (٥.٢٠٪) ٤ عزلة لبكتيريا *Klebsiella* و(١.٣٠٪) ١ عزلة لبكتيريا *Serratia marcescens* و(*pneumoniae*

اجري اختبار الحساسية للمضادات الحيوية للعزلات البكتيرية الأكثر ترددًا في هذه الدراسة، وهي كل من بكتيريا *Pseudomonas aeruginosa* وبكتيريا *Staphylococcus aureus* *aeruginosa* باستخدام جهاز الفايتاك، إذ كانت معظم العزلات البكتيرية متعددة المقاومة

للمضادات الحيوية، إذ كانت كل عزلات بكتيريا *Staphylococcus aureus* مقاومة بنسبة ١٠٠% لمضادات Amoxicillin، Amoxicillin\ Clavulanic acid و Benzylpenicillin و Rifampicin و Linezolid و Teicoplanin و *Pseudomonas aeruginosa* هي الأكثر فعالية ضد هذه البكتيريا، وأما عزلات بكتيريا *Tigecycline* كانت مقاومة ١٠٠% تجاه مضادات Amoxicillin\ Amoxicillin و *Colistin* بينما كانت حساسة تجاه Piperacillin و Clavulanic acid و Meropenem.

ووجد في هذه الدراسة فروق معنوية بين الفئات العمرية للمرضى على مستوى احتمالية (٢١٠٠=p) وكانت الفئة العمرية (٤٩-٢٥) سنة هي الأكثر إصابة ، كما كان الجنس ومكان الإقامة (الريف أو المدينة) له تأثير على توزيع الإصابات البكتيرية لدى المصابين باختناق العيون إذ كانت الإصابات في الذكور هي الأعلى وكذلك في المدينة وظهر فرق معنوي واضح على مستوى احتمالية (٤٥=p=٠٠٢٨) على التوالي بين توزيع عدد الإصابات البكتيرية حسب موقع الإصابة في العين سواء أكانت ملتحمة، قرنية أم اجفان بينما لم يكن هنالك فرق معنوي بين نوع البكتيريا المعزولة وموقع الإصابة البكتيرية في العيون على مستوى احتمالية (٣٤=p=٠٠٣٤).

أما بالنسبة لعوامل الخطورة المدروسة والمتمثلة بالصدمة، وأمراض سطح العين كحالة جفاف العين، وارتداء العدسات اللاصقة فضلاً عن الامراض الجهازية كداء السكري وإصابات الجهاز التنفسى فقد لوحظ من خلال النتائج إن هنالك ارتباط معنوي كبير على مستوى احتمالية (١٢=p=٠٠١٢) بين تلك العوامل وحدوث الإصابة البكتيرية في العيون.

كما ظهر أيضاً وجود ارتباط معنوي كبير بين عوامل الخطورة المدروسة و مواقع الإصابة البكتيرية في العين من ملتحمة، وقرنية واجفان وكانت الصدمة هي الأكثر ارتباطاً مع خمج الملتحمة على مستوى احتمالية (٢٢=p=٠٠٢٢) بينما لم يكن هنالك ارتباط معنوي بين عمر المصاب وجنسه وعوامل الخطورة على مستوى احتمالية (٤٢=p=٠٧٤٢).

امتلكت العزلات البكتيرية عوامل ضراوة مهمة ذات علاقة في احداث إصابات العيون منها قابليتها على انتاج الأغشية الحيوية وذيفان حال الدم وبينت النتائج الإحصائية الحالية ارتباطاً بين قابلية العزلات البكتيرية على انتاج الأغشية الحيوية وموقع الإصابة البكتيرية في العين بينما

لم يكن هناك ارتباط معنوي بين قابلية العزلات البكتيرية على إنتاج ذيفان حال الدم وموقع الإصابة العينية.

استعملت تقنية تفاعل البلمرة المتسلسل PCR لإجراء اختبار التحري عن وجود الجينات المشفرة للمقاومة للمضادات الحيوية ، والجينات المشفرة لعوامل الضراوة لكل عزلات بكتيريا المكورات العنقودية الذهبية والزوابئ الزنجارية لمعرفة مدى انتشار وتوزيع هذه الجينات في العزلات البكتيرية التي تصيب العين ، فقد بيّنت النتائج إن ٩٥٪ من عزلات بكتيريا *Staphylococcus aureus* تحمل الجين *mecA* من خلال ظهور ناتج PCR يبلغ حجمه ٣١٠ bp وهي مقاومة للمتيسيلين MRSA وان ٧٢.٧٪ تحمل جين *ermA* وهي بذلك تملك مقاومة لمضادات المايكلوليدات من خلال ظهور ناتج PCR يبلغ حجمه ٦٤٥ bp وبذلك اكتسبت بكتيريا المكورات العنقودية الذهبية مقاومة متعددة للمضادات الحيوية. أما مورثات الضراوة المهمة في احداث امراضيه العين وهو جين *SEA* و *ghlb* من خلال تفاعل البلمرة المتسلسل فقد وجد ظهور ناتج PCR يبلغ حجمه ٣٠٩ bp و ١٠٢ bp على التوالي لعزلات بكتيريا المكورات العنقودية الذهبية وبنسبة ٧٧.٢٪ و ٦٨.١٪ على التوالي.

وأما بالنسبة لمورثات الضراوة لبكتيريا *Pseudomonas aeruginosa* فظهر وجود جين *LasB* و *exoA* بنسبة ١٠٠٪ من خلال ظهور ناتج PCR يبلغ حجمه ٣٩٦ bp و ٣٠٠ bp على التوالي، وتمت دراسة العلاقة بين وجود جينات مقاومة للمضادات الحيوية وجينات مورثات الضراوة وقابلية العزلات البكتيرية قيد الدراسة على إنتاجية الاغشية الحيوية.

تضمنت الدراسة الحالية أن الأجناس البكتيرية الموجبة لصبغة غرام هي الأكثر شيوعاً من الأجناس البكتيرية السالبة لصبغة غرام في احداث اخماج العيون المختلفة، كما تبين امتلاك العزلات البكتيرية المدروسة على عوامل ضراوة مهمة متمثلة بإنتاج الهيمولايسين وتكوين الاغشية الحيوية ومورثات ضراوة تزيد من شدة الإصابة البكتيرية في العين فضلاً عن امتلاكها جينات مقاومة ساعدتها على مقاومة المضادات الحيوية.

قائمة المحتويات

الصفحة	المحتويات	الترتيب
١	الفصل الأول / المقدمة	
	الفصل الثاني / استعراض المراجع	
٤	العين The Eye	١-٢
٥	المكونات المناعية في العيون Immunological components of the eyes	٢-٢
٧	النبيت الطبيعي في العيون The normal flora in the eyes	٣-٢
٨	العوامل المهيأة لآخماج العيون Predisposing Factors to eye infections	٤-٢
١٠	آخماج العيون Eye infection	٥-٢
١١	أنواع آخماج العيون Types of eye infection	٦-٢
١١	خم ملتحمة العين Conjunctivitis	١-٦-٢
١١	خم ملتحمة العين البكتيري Bacterial conjunctivitis	١-١-٦-٢
١٣	خم ملتحمة العين الفيروسي Viral conjunctivitis	٢-١-٦-٢
١٣	خم القرنية Keratitis	٢-٦-٢
١٤	خم الاجفان Lid infection	٣-٦-٢
١٥	خم الكيس الدمعي Dacryocystitis	٤-٦-٢
١٥	السببات البكتيرية الشائعة لآخماج العيون Common bacterial etiology of eye infections	٧-٢
١٧	المكورات العنقودية الذهبية <i>Staphylococcus aureus</i>	١-٧-٢
١٨	المكورات العنقودية البشروية البيضاء <i>Staphylococcus epidermidis</i>	٢-٧-٢
١٩	الزوابق الزنجارية <i>Pseudomonas aeruginosa</i>	٣-٧-٢
٢١	الإشريكيا القولونية <i>Escherichia coli</i>	٤-٧-٢
٢٢	الكلبسيللا الرئوية <i>Klebsiella pneumoniae</i>	٥-٧-٢
٢٣	بكتيريا السيراتية الذابلة <i>Serratia marcescens</i>	٦-٧-٢
٢٣	مقاومة البكتيريا للمضادات الحيوية Bacterial resistance to antibiotics	٨-٢
٢٥	عوامل الضراوة المساعدة في احداث خم العين	٩-٢
٢٥	ذيفان حال الدم Haemolysin	١-٩-٢
٢٥	تكوين الاغشية الحيوية Biofilm formation	٢-٩-٢
٢٦	مورثات مقاومة المضادات الحيوية للمكورات العنقودية الذهبية	١٠-٢
٢٦	مورث <i>mecA</i> المقاومة للمثيسيلين Methicillin Resistance Gene	١-١٠-٢
٢٧	مورث <i>ermA</i> المقاومة للاريثروميسين Erythromycin Resistance Gene	٢-١٠-٢
٢٧	المورثات المشفرة لعوامل الضراوة في بكتيريا <i>S.aureus</i> و <i>P.aeruginosa</i>	١١-٢
٢٧	مورث <i>hlb</i>	١-١١-٢

٢٨	مورث SEA	٢-١١-٢
٢٨	مورث exoA	٣-١١-٢
٢٩	مورث LasB	٤-١١-٢
الفصل الثالث / المواد وطرائق العمل		
٣١	المواد Materials	١-٣
٣١	الأجهزة والأدوات المختبرية Equipment and Laboratory apparatus	١-١-٣
٣٣	المواد ذات الاستخدام الواحد Disposable Materials	٢-١-٣
٣٤	المواد الكيميائية والصبغات Chemicals material and stain	٣-١-٣
٣٥	العدد Kits	٤-١-٣
٣٦	الأوساط الزرعية Culture Media	٥-١-٣
٣٧	المضادات الحيوية Antibiotics	٦-١-٣
٣٨	المواد والمحاليل المستخدمة في الكشف عن هيمولايسين بيتا وفعاليته	٧-١-٣
٣٨	الوسط المعرف كيميائيا Chemical defined medium	١-٧-١-٣
٣٨	عالق كريات الدم الحمراء RBC suspension	٢-٧-١-٣
٣٨	المنحني القياسي لتحلل الدم باستخدام تراكيز متدرجة من كلوريد الصوديوم	٣-٧-١-٣
٤٠	البادئات Primers	٨-١-٣
٤٢	تصميم الدراسة Study design	٩-١-٣
٤٣	طريق العمل Methods	٢-٣
٤٣	جمع العينات السريرية Collection of clinical samples	١-٢-٣
٤٣	التعقيم Sterilization	٢-٢-٣
٤٤	تحضير الأوساط الزرعية Preparation of Culture Media	٣-٢-٣
٤٤	الأوساط الزرعية الجاهزة Ready Made Media	١-٣-٢-٣
٤٤	وسط غراء الماكونكي MacConkey Agar	-١-٣-٢-٣ ١
٤٤	وسط غراء المانitol الملحي Mannitol salt Agar	-١-٣-٢-٣ ٢
٤٤	وسط غراء المغذي Nutrient Agar	-١-٣-٢-٣ ٣
٤٤	وسط غراء الستريت Simmons Citrate Agar	-١-٣-٢-٣ ٤
٤٥	الأوساط الزرعية التركيبية Laboratory Prepared Media	٢-٣-٢-٣
٤٥	وسط غراء الدم الأساس Blood Agar Base	-٢-٣-٢-٣ ١
٤٥	وسط اكار الستريميد Cetrimide Agar	-٢-٣-٢-٣ ٢
٤٥	وسط نقى القلب والدماغ السائل Brian- Heart infusion broth	-٢-٣-٢-٣ ٣
٤٥	وسط غراء البيريا Urea Agar	-٢-٣-٢-٣

		٤
٤٦	المحاليل الكيميائية والكواشف Chemical Solution and Reagent	٤-٢-٣
٤٦	المحلول الملحي الفسيولوجي Normal Saline	١-٤-٢-٣
٤٦	محلول ماكفراوند (Macfarland Solution .٥)	٢-٤-٢-٣
٤٦	دارئ الفوسفات الملحي Phosphate Buffer Saline	٣-٤-٢-٣
٤٦	كاشف الكاتليز Catalase reagent	٤-٤-٢-٣
٤٦	كاشف الاوكسیديز Oxidase reagent	٥-٤-٢-٣
٤٧	صبغة غرام Gram stain	٦-٤-٢-٣
٤٧	محلول صبغة البنفسج البلوري	٧-٤-٢-٣
٤٧	كاشف احمر المثيل Methyl Red reagent	٨-٤-٢-٣
٤٧	كاشف فوكس بروسكاور Voges-Proskauer reagent	٩-٤-٢-٣
٤٧	زرع المسحات Swab Culture	٥-٢-٣
٤٨	تشخيص العزلات البكتيرية Identification of bacterial isolates	٦-٢-٣
٤٨	الصفات الزرعية Cultural characteristics	١-٦-٢-٣
٤٨	الفحوصات المجهرية Microscopic Examination	٢-٦-٢-٣
٤٨	الفحوصات الكيموحيوية Biochemical tests	٣-٦-٢-٣
٤٨	فحص الكاتليز Catalase test	٣-٦-٢-٣ ١
٤٩	فحص الاوكسیديز Oxidase test	٣-٦-٢-٣ ٢
٤٩	فحص انتاج انزيم التجلط Coagulase test	٣-٦-٢-٣ ٣
٤٩	اختبار الاندول Indole test	٣-٦-٢-٣ ٤
٤٩	اختبار فوكس بروسكاور Voges-Proskauer test	٣-٦-٢-٣ ٥
٤٩	اختبار احمر المثيل Methyl red test	٣-٦-٢-٣ ٦
٥٠	اختبار استهلاك السترات Citrate utilization test	٣-٦-٢-٣ ٧
٥٠	اختبار انزيم البيريز Urease test	٣-٦-٢-٣ ٨
٥٠	اختبار تحلل الدم Hemolysis test	٣-٦-٢-٣ ٩
٥٠	تشخيص البكتيريا المعزولة بجهاز الفايتاك Vitek-٢ system	٧-٢-٣
٥١	حفظ العزلات البكتيرية وادامتها Preservation and Maintenance of bacterial isolates	٨-٢-٣
٥٢	اختبار الحساسية لمضادات الميكروبات Antimicrobial susceptibility test	٩-٢-٣

٥٢	التحري عن عوامل الضراوة في العزلات البكتيرية	١٠-٢-٣
٥٢	التحري عن قابلية العزلات البكتيرية لتكوين الغشاء الحيوي (Biofilm)	١-١٠-٢-٣
٥٥	التحري عن إنتاج ذيفان حال الدم Hemolysin	٢-١٠-٢-٣
٥٦	فحص تفاعل سلسلة انزيم البلمرة PCR test	١١-٢-٣
٥٦	استخلاص الحمض النووي البكتيري Bacterial Genomic DNA extraction	١-١١-٢-٣
٥٨	تحضير مزيج سلسلة تفاعل البلمرة PCR Master Mixture	٢-١١-٢-٣
٦٠	الترحيل الكهربائي في الهلام Gel Electrophoresis	٣-١١-٢-٣
٦٠	الكشف عن نواتج التضاعف	- ١١-٢-٣ ١-٣
٦١	التحليل الاحصائي Statistical analysis الفصل الرابع / النتائج والمناقشة	١٢-٢-٣
٦٣	نسبة العزل البكتيري	١-٤
٦٤	توزيع إصابات العيون البكتيرية حسب العمر	٢-٤
٦٥	توزيع إصابات العيون البكتيرية حسب الجنس	٣-٤
٦٦	توزيع إصابات العيون البكتيرية حسب مكان الإقامة	٤-٤
٦٨	توزيع إصابات العيون البكتيرية حسب موقع الإصابة في العين	٥-٤
٦٩	العلاقة بين نوع العزلات البكتيرية وموقع الإصابة في العيون	٦-٤
٧١	تشخيص العزلات البكتيرية المسببة لأخماق العيون	٧-٤
٧١	التشخيص المجهرى والمظهرى للعزلات البكتيرية	١-٧-٤
٧٣	التشخيص الكيموحيوى للعزلات البكتيرية	٢-٧-٤
٧٤	التشخيص باستعمال جهاز الفايناك Vitek system	٣-٧-٤
٧٤	الأنواع البكتيرية المشخصة في هذه الدراسة	٨-٤
٧٧	اختبار حساسية العزلات البكتيرية الأكثر ترددًا (S.aureus) و (P.aeruginosa) للأخماق العيون للمضادات الحيوية	٩-٤
٨١	علاقة عوامل الخطورة بمعدل إصابات العيون البكتيرية	١٠-٤
٨٤	علاقة عوامل الخطورة للمريض مع موقع الإصابة البكتيرية	١١-٤
٨٥	علاقة عمر و الجنس المصاب مع عوامل الخطورة	١٢-٤
٨٧	الكشف عن عوامل الضراوة البكتيرية	١٣-٤
٨٧	التحري عن قابلية الاجناس البكتيرية لإنتاج الاغشية الحيوية	١-١٣-٤
٩٢	العلاقة بين موقع الإصابة البكتيرية في العين وقابلية العزلات البكتيرية على إنتاج الاغشية الحيوية	١-١-١٣-٤
٩٣	إنتاج ذيفان حال الدم Hemolysin production	٢-١٣-٤
٩٨	العلاقة بين موقع الإصابة البكتيرية في العين وقابلية العزلات البكتيرية على إنتاج ذيفان حال الدم	١-٢-١٣-٤
٩٩	الكشف الجزيئي عن مقاومة المضادات الحيوية لعزلات بكتيريا المكورات العنقودية الذهبية قيد الدراسة	١٤-٤
١٠١	الكشف الجزيئي عن بعض مورثات الضراوة في العزلات البكتيرية قيد الدراسة	١٥-٤
١٠٧	العلاقة بين قابلية العزلات البكتيرية المدروسة على إنتاج الاغشية الحيوية وجود جينات الضراوة والمقاومة	١٦-٤

١٠٩	العلاقة بين قابلية العزلات البكتيرية المدروسة على انتاج ذيفان حال الدم وجود جينات الضراوة والمقاومة الفصل الخامس / الاستنتاجات والتوصيات	١٧-٤
١١٢	الاستنتاجات Conclusions	١-٥
١١٣	التوصيات Recommendation	٢-٥
١١٤	المصادر References	الملاحق

قائمة الاشكال

رقم الشكل	العنوان	الصفحة
١-٢	تشريح العين	٥
٢-٢	اليات عمل المضادات الحيوية	٢٤
٣-٢	اليات مقاومة المضادات الحيوية في البكتيريا	٢٥
١-٣	المنحنى القياسي للتحلل الدموي باستخدام تراكيز متدرجة من ملح كلوريد الصوديوم	٤٠
٢-٣	مخطط توضيحي لخطوات العمل المتتبعة في هذه الدراسة	٤٢
١-٤	نسبة العينات الموجبة والسلبية للزرع البكتيري	٦٤
٢-٤	الأنواع البكتيرية المعزلة من احماق العيون المختلفة	٧٥
٣-٤	حساسية عزلات بكتيريا <i>S.aureus</i> المعزلة من احماق العيون تجاه المضادات الحيوية	٧٩
٤-٤	حساسية عزلات بكتيريا <i>P.aeruginosa</i> المعزلة من احماق العيون تجاه المضادات الحيوية	٨١
٥-٤	تكوين الاغشية الحيوية بطريقة الانبوبة	٨٨
٦-٤	انتاج الاغشية الحيوية بطريقة اطباق المعايرة	٨٨
٧-٤	الفعالية التحللية لذيفان حال الدم عند ٥٠% لبكتيريا <i>S.aureus</i>	٩٦
٨-٤	الفعالية التحللية لذيفان حال الدم عند ٥٠% لبكتيريا <i>P.aeruginosa</i>	٩٧
٩-٤	الترحيل الكهربائي لنتائج تفاعل PCR لبكتيريا <i>S.aureus</i> باستعمال البادئ النوعي لجين (٣١٠) bp ، بتركيز هلام (١.٥%) وفولتية (٧٠) فولت لمدة (٥٠) دقيقة	١٠٠
١٠-٤	الترحيل الكهربائي لنتائج تفاعل PCR لبكتيريا <i>S.aureus</i> باستعمال البادئ النوعي لجين (٦٤٥) bp ، <i>ermA</i> ، بتركيز هلام (١.٥%) وفولتية (٧٠) فولت لمدة (٥٠) دقيقة	١٠١
١١-٤	الترحيل الكهربائي لنتائج تفاعل PCR لبكتيريا <i>S.aureus</i> باستعمال البادئ النوعي لجين (٣٠٩) bp ، <i>hlb</i> ، بتركيز هلام (١.٥%) وفولتية (٧٠) فولت	١٠٢

		لمدة (٥٠) دقيقة
١٠٣	الترحيل الكهربائي لنتائج تفاعل PCR لبكتيريا <i>S.aureus</i> باستعمال البادئ النوعي لجين SEA(١٠٢)bp ، بتركيز هلام (%) ١٠.٥ وفولتية (%) ٧٠ فولت لمدة (٥٠) دقيقة	١٢-٤
١٠٤	الترحيل الكهربائي لنتائج تفاعل PCR لبكتيريا <i>P.aeruginosa</i> باستعمال البادئ النوعي لجين LasB(٣٠٠)bp ، بتركيز هلام (%) ١٠.٥ وفولتية (%) ٧٠ فولت لمدة (٥٠) دقيقة	١٣-٤
١٠٥	الترحيل الكهربائي لنتائج تفاعل PCR لبكتيريا <i>P.aeruginosa</i> باستعمال البادئ النوعي لجين exoA(٣٩٦)bp ، بتركيز هلام (%) ١٠.٥ وفولتية (%) ٧٠ فولت لمدة (٥٠) دقيقة	١٤-٤
١٠٦	توزيع الجينات المتنوعة لبكتيريا <i>S.aureus</i> المعزولة من اخماج العيون	١٥-٤
١٠٧	توزيع الجينات المتنوعة لبكتيريا <i>P.aeruginosa</i> المعزولة من اخماج العيون	١٦-٤

قائمة الجداول

رقم الجدول	العنوان	الصفحة
١-٣	الأجهزة والادوات المختبرية	٣١
٢-٣	المواد ذات الاستخدام الواحد	٣٣
٣-٣	المواد الكيميائية والصبغات	٣٤
٤-٣	العدد	٣٥
٥-٣	الأوساط الزرعية	٣٦
٦-٣	المضادات الحيوية المستخدمة في الدراسة	٣٧
٧-٣	التراكيز المتدروجة من محلول كلوريد الصوديوم وقيمة الامتصاصية لكل تركيز مع التحلل الدموي بنسبة (%) ٥٠	٣٩
٨-٣	بادئات بكتيريا المكورات العنقدية الذهبية	٤٠
٩-٣	بادئات بكتيريا الزانفة الزنجارية	٤١
١٠-٣	مكونات مزيج Master Mix المستخدم في تفاعل البلمرة المتسلسل	٥٨
١١-٣	المكونات اللازمة لتفاعل انزيم البلمرة المتسلسل PCR	٥٩
١٢-٣	خطوات التفاعل الخاصة بالبادئ	٥٩
١-٤	توزيع عدد الإصابات البكتيرية حسب عمر المرضى	٦٥
٢-٤	توزيع عدد الإصابات البكتيرية حسب جنس المرضى	٦٦
٣-٤	توزيع عدد الإصابات البكتيرية حسب مكان الإقامة	٦٧
٤-٤	العلاقة بين الفئات العمرية مع الجنس و محل الإقامة	٦٨
٥-٤	عدد الإصابات البكتيرية حسب موقع الإصابة في العين	٦٩
٦-٤	العلاقة بين نوع العزلات البكتيرية وموقع الإصابة في العيون	٧٠
٧-٤	الاختبارات الكيموحيوية المستعملة لتشخيص البكتيريا المعزولة	٧٤
٨-٤	عدد الإصابات البكتيرية للعين حسب عوامل الخطر	٨٣
٩-٤	علاقة موقع الإصابة البكتيرية في العين مع عوامل الخطورة المدروسة	٨٥
١٠-٤	علاقة عمر و الجنس المصايب مع عوامل الخطورة	٨٦

٨٩	قابلية تكوين الاغشية الحيوية حسب معدل الكثافة الضوئية OD	١١-٤
٨٩	معدل الامتصاصية لعزلات بكتيريا <i>S.aureus</i> المنتجة للأغشية الحيوية عند ٦٣٠ nm	١٢-٤
٩١	معدل الامتصاصية لعزلات بكتيريا <i>P.aeruginosa</i> المنتجة للأغشية الحيوية عند ٦٣٠ nm	١٣-٤
٩٣	العلاقة بين انتاج الاغشية الحيوية وموقع الإصابة البكتيرية في العين	١٤-٤
٩٨	علاقة موقع الإصابة البكتيرية في العين مع كمية ذيفان حال الدم المنتج من قبل العزلات الجرثومية المدروسة	١٥-٤
١٠٨	العلاقة بين انتاج الاغشية الحيوية وجينات المقاومة والضراوة لبكتيريا <i>S.aureus</i>	١٦-٤
١٠٩	العلاقة بين انتاج الاغشية الحيوية وجينات الضراوة لبكتيريا <i>P.aeruginosa</i>	١٧-٤

قائمة المختصرات

المختصر	الاسم الكامل
bp	Base pair
CDM	Chemical defined medium
DW	Distilled Water
ELISA	Enzyme –Linked Immunosorbent Assay
GN-ID	Gram negative identifier
GP-ID	Gram positive identifier
IgA	Immunoglobulin A
IgG	Immunoglobulin G
MR	Methyl red
ng	Nano gram
PBP	Pencillin Binding Protein
PBS	Phosphate Buffer Saline
PCR	Polymerase chain reaction
TBE	Tris\Borate\EDTA
VITEK-٢ AST Card	VITEL-٢ antibiotic sensitivity card
VP	Voges-Proskauer

الفصل الأول

المقدمة

Introduction

المقدمة

تعد العين جزءاً تشريحياً فريداً تتعرض باستمرار للعوامل البيئية الخارجية، وتعد أمراض العين مع مضاعفاتها بسبب الكائنات الحية الدقيقة مشكلة صحيحة كبيرة في كل أنحاء العالم إذ يمكن أن تلحق أذى العين الضرر ببنية العين مما قد يؤدي إلى ضعف الرؤية أو حتى العمى إذا تم تشخيصها وعلاجها بشكل غير صحيح (Diriba *et al.*, ٢٠٢٠).

وعلى الرغم من أن العين محمية بعدد من آليات الدفاع الطبيعية من خلال التدفق المستمر للدموع الذي يحتوي على مركبات مضادة للبكتيريا إلا إن العديد من الأشخاص يعانون من عدد من الالتهابات بسبب كون سطح العين غني بالمغذيات وبالتالي فإنه يدعم مجموعة متنوعة من الكائنات الحية الدقيقة التي تشكل فلورا العين الطبيعية والتي يتم تنظيم نموها، وبالتالي منع العدوى إلا إن هذه الكائنات الحية الدقيقة تحت أوضاع مختلفة يمكن أن تسبب في إمراضيه العين (Murugan *et al.*, ٢٠١٠).

إن أكثر أجزاء العين تضرراً بسبب الكائنات الحية الدقيقة هي الملتحمة والجفن (Eye lid) والقرنية (Cornea) (Conjunctiva) (ويعد خمج الملتحمة Dacryocystitis) وخمج الجفن (Blepharitis) (Conjunctivitis) وكيس الدم (Mariotti *et al.*, ٢٠٠٩). المظاهر شيوعاً لعدوى العين الخارجية.

ويمكن أن تحدث أذى العيون المختلفة نتيجة التعرض إلى مجموعة متنوعة من الاحياء المجهرية إذ تشمل على البكتيريا والفيروسات والفطريات والطفيليات، لكن البكتيريا هي المساهم الرئيس في أذى العيون بسبب عوامل الضراوة التي تملكتها البكتيريا أو بسبب ضعف آليات دفاع المضيف نتيجة التعرض إلى صدمات ، وأمراض سطح العين وارتداء العدسات اللاصقة فضلاً عن قلة النظافة الشخصية وعمر المصاب ونمط الحياة والوضع الاجتماعي والاقتصادي وقد تكون هذه العدوى أحادية او متعددة الجراثيم وبالتالي يمكن أن تؤدي إلى فقدان البصر (Kumurya and lawan, ٢٠٢٣).

تعد البكتيريا الموجبة لصبغة غرام والسالبة لصبغة غرام من العوامل الرئيسة المسببة لعدوى العين ومن بين أنواع البكتيريا الموجبة لصبغة غرام بربت بكتيريا *Staphylococcus aureus* بوصفها المسبب الأكثر شيوعاً لعدوى العين البكتيرية فقد تميزت بإنتاجها لذيفان حال الدم بيتا (Hemolysin) الذي يسبب تحلل لخلايا الدم الحمر وقدرتها على تكوين الأغشية

الحيوية التي تجنب البكتيريا الجهاز المناعي للمضيف وزيادة التحمل والمقاومة لمضادات البكتيريا التي يتم تسهيلها عن طريق انتاج الأغشية الحيوية وكلها سمات خطيرة ترتبط ارتباطاً وثيقاً بالأمراضية الناجمة عن بكتيريا المكورات العنقودية الذهبية (Zheng *et al.*, ٢٠٢١).

ومن جهة أخرى تتصدر بكتيريا *Pseudomonas aeruginosa* قائمة أنواع البكتيريا السالبة لصبغة غرام والتي تتمكن من غزو العين واحاداث الإصابة مثل انتاج ذيفان حال الدم الذي يحطم الدهون وتكوين الأغشية الحيوية التي تقضي بالنهاية الى خمج القرنية أو الملتحمة غالباً ما يصبح علاج عدوى العين تحدياً بالنظر لقدرة هذه البكتيريا على مقاومة المضادات الحيوية بشكل كبير عبر الاليات الذاتية أو المكتسبة ولاسيما في خمج القرنية (Subedi *et al.*, ٢٠١٨).

وقد ظهرت سلالات مقاومة من بكتيريا المكورات العنقودية الذهبية والزانفة الزنجارية لأكثر من مضاد حيوي من خلال امتلاكها للبلازميدات الناقلة التي انتجت سلالات مقاومة او امتلاكها جينات ذات مقاومة تلقائية للمضادات الحيوية أو آليات تغير موقع الهدف وبذلك تعد مشكلة متزايدة من الناحية الطبية لصعوبة السيطرة على الامراض فقد أدى انتشار المضادات الحيوية للعدوى البكتيرية والفيروسية أو الوقاية منها بشكل عشوائي وسوء استعمالها إلى ظهور زيادة عالمية في مقاومة المضادات الحيوية (Ayehubizu *et al.*, ٢٠٢١). وإن زيادة معدلات الإصابة بالبكتيريا لم تكن بسبب مقاومتها المتعددة للمضادات الحيوية فحسب وإنما لامتلاكها العديد من عوامل الضراوة التي تزيد من شدة امراضيتها، ومن هذه العوامل هي انزيمات الهيمولايسين وقابليتها على تكوين الأغشية الحيوية وانتاجها لأنزيمات البيتا لاكتاميز (Aubais Aljelehawy *et al.*, ٢٠٢١).

هذا إلى جانب مورثات الضراوة إذ يشفرون *LasB* إلى انزيم(Elastase) الذي يهاجم بروتينات حقيقية النواة مثل الايلاستين (Elastin) وكولاجين(Collagen) مما يسبب عدوى حادة عند الإصابة ببكتيريا الزانفة الزنجارية (Hassuna *et al.*, ٢٠٢٠) بينما يشفرون *exoA* إلى ذيفانات خارجية تلعب دوراً مهماً في تحلل الانسجة وإحداث الامراضية عند الإصابة ببكتيريا الزانفة الزنجارية (Elmouaden *et al.*, ٢٠١٩)، كما تنتج بكتيريا المكورات العنقودية الذهبية انزيمات البيتا لاكتاميز مع *mecA* ومقاومة مضادات الارثرومایسين من قبل الجين *ermA* فضلاً عن انتاجها الذيفانات المعاوية التي يشفرون لها من قبل جين *SEA* التي تزيد من شدة الامراضية (Sabouni *et al.*, ٢٠١٤؛ Aubais Aljelehawy *et al.*, ٢٠٢١).

وبالنظر لأهمية العين في حياة الإنسان ولخطورة الالتهاب على العين بكل اجزاءها وأيضاً لخطورة بعض الأحياء المجهرية المتسbieة في اخماج العيون، ولقلة الدراسات المتعلقة بهذا الموضوع في محافظة كربلاء المقدسة كان هدف هذه الرسالة هو إجراء دراسة جزئية لأهم عوامل الضراوة والمقاومة لأكثر الأنواع البكتيرية شيوعاً في احداث تلك الإصابات

هدف الدراسة : Aim of study

- ١ - عزل الأنواع البكتيرية الهوائية المسؤولة عن اخماج العيون المختلفة وتشخيصها وفقاً لخصائصها المظهرية والكيموحيوية، فضلاً عن تشخيصها باستعمال جهاز الفايتاك وتحديد الأنواع البكتيرية الموجبة والسلبية لصبغة غرام الأكثر شيوعاً في احداث إصابات العيون.
- ٢ - دراسة حساسية ومقاومة الأنواع البكتيرية الأكثر شيوعاً المعزولة من اخماج العيون تجاه المضادات الحيوية المختلفة باستخدام جهاز الفايتاك.
- ٣ - التحري عن بعض عوامل الضراوة للبكتيريا الأكثر ترددًا في احداث اخماج العيون نوعياً وكميأً.
- ٤ - دراسة العلاقة بين عوامل الخطورة المرتبطة بالمرضى وتردد حصول إصابات البكتيرية في العيون.
- ٥ - دراسة جزئية لأهم مورثات الضراوة التي تلعب دوراً مهماً في زيادة قدرة الأجناس البكتيرية لأحداث إصابات العين باستخدام تقنية تفاعل البلمرة المتسلسل (PCR).
- ٦ - دراسة جزئية لمورثات المقاومة للمضادات الحيوية للأجناس البكتيرية المعزولة من اخماج العيون .

الفصل الثاني

استعراض المراجع

Literature Review

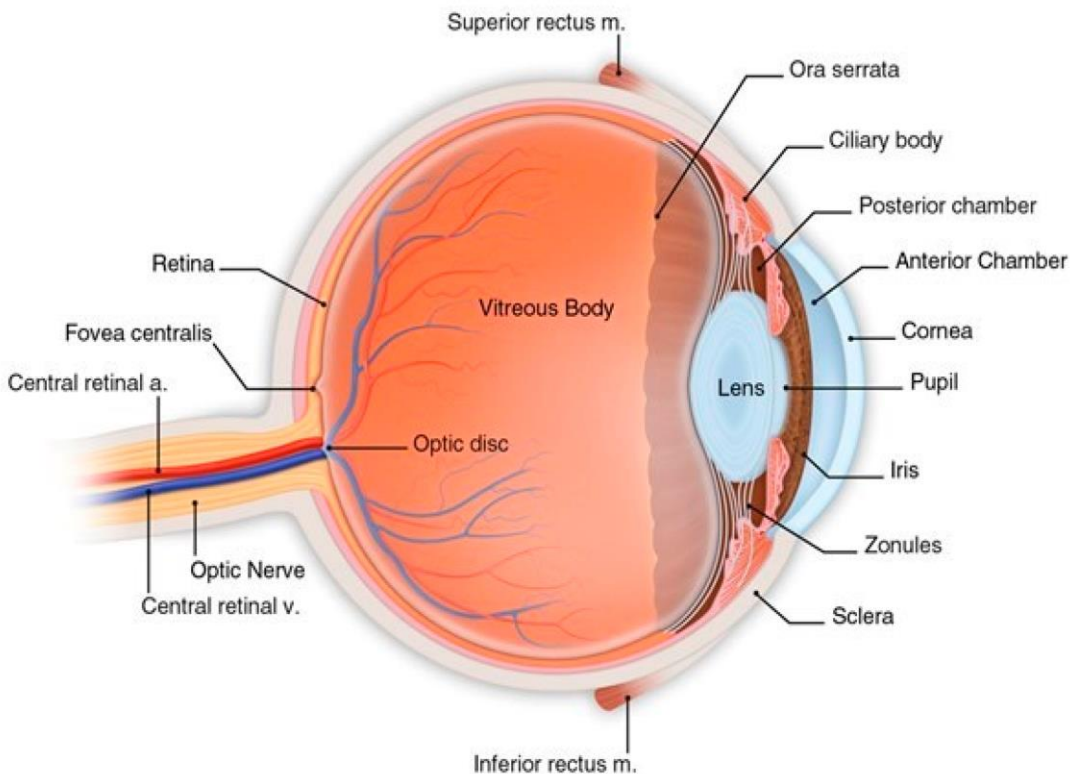
٢-١: العين The Eye

العين عضو من أعضاء جسم الإنسان معقد التركيب تقع داخل هيكل عظمي وقائي من الجمجمة (Skull) ممثلاً بالمدارات (Orbits) وتحتوي العين على كرة ليفية صلبة تحافظ على شكلها يصل قطر العين الامامي الخلفي (٢٢-٢٧) ملم ومحيطها (٨٥-٦٩) ملم ولهنالك ست عضلات تتصل بالغلاف الخارجي من العين وتسيطر على التحكم وتوجيه حركة العين في مستويات أفقيه ورأسيه (Fernald., ٢٠٠٦; Kels *et al.*, ٢٠١٥) تتألف العين نسيجياً من ثلاثة طبقات رئيسة، الطبقة الأولى هي طبقة خارجية مؤلفة من نسيج ليفي ضام يشمل القرنية (Cornea) والصلبة (Sclera)، وإنما الطبقة الثانية فهي الطبقة الوسطى الوعائية تشمل القزحية (Iris)، والجسم الهدبي (Ciliary body) والمشيمية (Choroid) ثم الطبقة الثالثة وهي طبقة داخلية عصبية تشمل الشبكية (Retina) التي تجهز بالدم من أوعية المشيمية وكذلك من الأوعية الشبكية، وبين هذه الطبقات الثلاث تقع الحجرات الامامية (Anterior chamber) ، والحجرات الخلفية (Posterior chamber)، والعدسة (Lens) والتجويف الزجاجي (Vitreous cavity).

يتكون سطح العين من القرنية، الصلبة والأنسجة التي تغطيها كما موضح في الشكل (٢-١) وبذلك تغطي الصلبة التي تمثل بياض العين المعتم بغشاء الملتحمة (Conjunctiva)، وأما القرنية فهي شفافة تسمح بمرور أشعة الضوء إلى كرة العين وصولاً إلى الشبكية من خلال الانكسار الذي يحدث للأشعة الضوئية، وهي لا تحتوي على أوعية دموية وإنما تأخذ حاجتها من الغذاء عن طريق الترشيح من الخليط المائي (Aqueous humour) الذي يعطي الردمة الامامية والخلفية، وإن حدوث أي ضرر للقرنية يقلل من شفافيتها مؤدياً إلى عتمة العدسة (Cataract)، وتغطي الاجفان (Lids) الجزء الامامي للعين وتحتوي على الغدد التي تنتج الدموع كما يحافظ النسيج الضام الخارجي الكثيف للعين على هيكلية وشكل كرة العين و يجعلها مقاومة تجاه الضغط المسلط من السوائل الداخلية (Remington and Goodwin, ٢٠٢١).

والملتحمة عبارة عن غشاء مخاطي رقيق شفاف وهي تغطي المنطقة الامامية من مقلة العين عدا القرنية و تعمل ك حاجز مادي فيزيائي للحد من دخول الأجسام الغريبة ومسبات الامراض إلى أنسجة العين العميقه ، وللملتحمة دور نشط من الناحية المناعية فهي تزود الجسم بمكونات مناعية وبذلك وصفت بأنها الحارس المناعي للعين (Downie *et al.*, ٢٠٢١)، وهذه الطبقة الشفافة تكون غنية بالأوعية الدموية والاعصاب لهذا فهي مهمة لحماية العين وترطيبها

(Chen and Hong, ٢٠١٦) كما تغطي الملتحمة السطح الداخلي للجفون العلوية والسفلى (Leal *et al.*, ٢٠٢١) والجزء الخارجي من سطح الصلبة .



الشكل (١-٢): تشريح العين (Petrillo *et al.*, ٢٠٢٠)

٢-٢ : المكونات المناعية في العيون The Eyes

العين عضو فريد محمي من العوامل الخارجية ويمتلك العديد من العناصر المناعية والآليات التنظيمية التي تعمل معاً لإنشاء توازن مناعي يثبط النمو الميكروبي في الغشاء المخاطي لسطح العين ويحافظ على الرؤية الطبيعية ومع ذلك فإنه يتعرض لمجموعة من مسببات الأمراض التي يمكن أن تتغلب على الحماية المناعية (Royer *et al.*, ٢٠٢٠)، والعين مدعة بجهاز مناعي مخاطي دقيق يساعد في منع الضرر أو الحد منه من خلال استجابة مناعية ذاتية (Innate Immunity) واستجابة مناعية مكتسبة (Adaptive Immunity) ، وتلعب الاستجابة المناعية الذاتية دوراً مهماً في تنشيط الاستجابة المناعية المكتسبة (Streilein and Stein, ٢٠٠٠) .

١ - الاستجابة المناعية الذاتية Innate Immunity

تشكل المناعة الذاتية خط الدفاع الأول التي تعمل على تقليل الاستيطان الميكروبي لسطح العين من قرنية وملتحمة، وإن عناصر هذه المناعة موجودة منذ الولادة وهي توفر نظام حماية غير محدد تشمل الدموع (tears) وأعصاب القرنية (corneal nerves) والحرفيات الخلوية (cytokines) (Abid and Ewadh, ٢٠١٢)، وتكون بشكل إما حاجز فيزيائي مثل المدار العظمي للعين (bony orbit) والاجفان (eyelids) أو كيميائي في الدموع (Tears). إن الدموع مع حركة الاجفان يعمل على طرد المواد الغريبة التي تدخل إلى العين إذ يحتوي الدموع على البروتينات المضادة للميكروبات وتشمل الانزيمات الحالة (Lysozyme)، اللاكتوفيرين (Lactoferrin)، الدفنسين (Defensines)، بيتا لا يسين (Beta-lysin) فضلاً عن الأجسام المضادة الافرازية (IgA) وبذلك يعمل على تقليل المحتوى الميكروبي من سطح العين (Akpek and Gottsch, ٢٠٠٣)، والوظيفة الرئيسية للدموع هو منع جفاف القرنية وتقليل الالتهابات كما أن مستوى الكلوبيلين المناعي IgA يكون أعلى تركيزاً في الدموع مما هو في المصل إذ يرتبط افراز IgA بالبكتيريا وينع التصاق البكتيريا بالخلايا الطلائية ، وتحتوي الدموع أيضاً على IgG الذي يلعب دوراً مهماً مع IgA في تحديد بعض الفيروسات والبكتيريا ، وقد تم وصف الفلم المسيل للدموع (Tear film) على أنه مكون من ثلاث طبقات هي مادة مخاطية (Mucin)، وطبقة دهنية وطبقة مائية (Galletti and De Paiva, ٢٠٢١). فان (Mucin) عبارة عن بروتينات سكرية محبة للماء تبلغ نسبة الكربوهيدرات فيه ٨٠-٥٠ % وله دور مهم في تلین العين ومنع جفافها، كما تقوم غدة ميبومان (Meibomian) وغدة مول (Moll) بإنتاج المكون الدهني في الفلم المسيل للدموع (Bolaños- et al., ٢٠١٥).

وتوفر أعصاب القرنية (Corneal nerves) الحماية للقرنية من خلال تحفيز إطلاق الببتيدات العصبية التي تحفز نشاط الحرفيات الخلوية (Cytokines) وتساهم في الحفاظ على التوازن المناعي للعين (De Paiva et al., ٢٠٢٢) فضلاً عن توسط أعصاب القرنية في إنتاج الدموع وافرازها (Al-Aqaba et al., ٢٠١٩).

أما الحرفيات الخلوية فهي عبارة عن بروتينات سكرية (Glycoproteins) مكونة من سلاسل بيتيدية لها أوزان جزيئية تتراوح بين (١٠-٥٠) كيلو دالتون تعمل على تنظيم المناعة الذاتية والمكتسبة من خلال تنظيم مهام الخلايا الملفاوية البائية (B- cell) والخلايا التائية (T cell)، هنالك سبعة أنواع من الحرفيات الخلوية (Sprague and Khalil, ٢٠٠٩). وهي تعمل على تجنيد الخلايا المناعية والالتهابية لتمثيل المسبب الميكروبي من خلال إنتاج الببتيدات المضادة للميكروبات التي تتسبب في تمزق الغشاء الميكروبي من خلال تفاعل الكتروستاتيكي

للبيت موجب الشحنة مع الغشاء الميكروبي سالب الشحنة (Redfern *et al.*, ٢٠١٠)، و تضم الخلايا المناعية الذاتية نوعين من خلايا البلعمة (Phagocytosis) وهما خلايا البلعم الكبير (Macrophages) والخلايا العدلة متعددة الانوية (Polymorphonuclear Macrophages) اللذان يقومان بعملية البلعمة وبذلك تقتل وتهضم المسببات الميكروبية عن طريق ملامستها ، وهناك أنواع أخرى من الخلايا المناعية الذاتية مثل الخلايا المتغصنة (Dendritic cell) والخلايا القاتلة الطبيعية (Natural killer cell) وهذه العناصر تتعرف على مجموعة متنوعة من إشارات الخطر أثناء حصول العدوى واصابة الانسجة (Palomar *et al.*, ٢٠١٩).

٢- الاستجابة المناعية المكتسبة Adaptive Immunity

شكلت المناعة المكتسبة خط الدفاع الثاني عندما تفشل المناعة الذاتية في السيطرة على النمو الميكروبي عندها تتمكن الكائنات الحية الدقيقة من عبور حاجز المناعة الذاتية وبذلك تتحفز المناعة الخلوية Cell immunity والمناعة الخلطية Humoral immunity المتخصصة لمقاومة العوامل المرضية المحددة (Bolaños- *et al.*, ٢٠١٥)، إذ تعتمد المناعة الخلوية على تطور الخلايا الثانية المساعدة (T helper cell) بنوعيها الأول والثاني، بينما تعتمد المناعة الخلطية على تحول الخلايا اللمفية البائية (B-lymphocyte) إلى خلايا بلازمية Plasma cell المنتجة للأجسام المضادة مثل IgA (Knop, ٢٠٠٧).

تتأثر صحة العين وتتنظيمها المناعي بعمر المريض وجنسه بشكل كبير إذ إن الشيخوخة تغير التوازن المناعي لسطح العين وبذلك يتغير التواجد الميكروبي فيها (Wen *et al.*, ٢٠١٧). وإن قدرة سطح العين على مكافحة العدوى البكتيرية تتراوح بين عدة دقائق إلى عدة ساعات كاستجابة ذاتية فورية عند حدوث الإصابة أو تتراوح بين ٤٨- ٢٤ ساعة نتيجة لحدث الاستجابة المناعية المكتسبة (Perez *et al.*, ٢٠١٣).

٣-٢: النبات الطبيعي في العيون The normal flora in the eyes

إن معرفة النبات الطبيعي لسطح العين ضروري لامتلاكه الدور المهم في آليات الدفاع عن نظام سطح العين كون العين تشبه الاغشية المخاطية الأخرى بوجود النبات الطبيعي فيها (Mazin *et al.*, ٢٠١٦) إذ يلعب دوراً مناعياً مهمًا وتمثل حاجزاً ضد غزو العوامل الممرضة الأخرى من بكتيريا، وفايروسات وفطريات وطفيليات أولية (Aragona *et al.*, ٢٠٢١)، ولا يسبب النبات الطبيعي أخماجاً في الحالات الطبيعية كما إنه يتناقض مع البكتيريا الممرضة على

الموقع والمغذيات فضلاً عن إفرازه المواد المضادة للجراثيم والمواد الكيميائية التي تثبط نموها .(Sthapit *et al.*, ٢٠١٤)

يلعب النبيت الطبيعي دوراً وقائياً في منع انتشار الأنواع المسيبة للأمراض ويحافظ على التوازن الميكروبي لسطح العين وعند حدوث أي اضطراب لسطح العين بفعل عوامل المضييف أو البيئة مثل تقدم العمر، فمتلازمة جفاف العين التي تقلل المحتوى الدمعي للعين مع تقليل المركبات المضادة للميكروبات وارتداء العدسات اللاصقة فضلاً عن العوامل البيئية مثل حدوث صدمة (Trauma) أو جرح في أنسجة العين فإنها جميعاً تؤثر على النبيت الطبيعي للعين (Lu and Liu, ٢٠١٦).

أشارت الدراسات ان بكتيريا *Corynebacterium* موجودة بوفرة على سطح العين مع نسبة اقل من *Acinetobacter spp.* *Streptococcus spp.*, *Staphylococcus spp.* و هذه البكتيريا موجودة في موقع مختلفة من سطح العين أو على الملتحمة أو حافة الجفن وتتغير نسبة وجودها حسب عمر الشخص في حين لا يؤثر الجنس على تواجدها (Capriotti *et al.*, ٢٠٠٩; Ozkan *et al.*, ٢٠١٩).

٤-٢: العوامل المهيأة للأذى في العيون predisposing Factors to eye infections

يتعرض سطح العين باستمرار لمختلف أنواع الكائنات الحية الدقيقة والأوضاع الخارجية كبقية أجزاء الجسم الأخرى لهذا يوصف بأنه بيئة مخاطية تحمي العين وتبقى القرنية رطبة وآمنة (Royer *et al.*, ٢٠٢٠)، وإن البيئة داخل العين تكون معقدة بسبب هيكلها التشريحي المغلق والحماية التي يوفرها حاجز الدم في شبكيّة العين لكن بالرغم من ذلك تتعرض إلى الإصابة بسبب أوضاع غير طبيعية أو تلوث أثناء الجراحة (Li *et al.*, ٢٠٢٠). فإصابات العيون إما تكون خارجية المنشأ (Exogenous) نتيجة لاستعمال الأشياء الملوثة ودخول ميكروبات إلى داخل العين أو تكون داخلية المنشأ (Endogenous) نتيجة لإصابة الجسم ويقوم الدم في حالة وجود إصابة بكتيرية بتوزيع المسببات البكتيرية إلى أنحاء الجسم كافة بما فيها العين (Jackson, ٢٠١٩).

إن انخفاض مناعة الجسم نتيجة لقلة النظافة الشخصية وأوضاع المعيشة السيئة، وانخفاض الوعي والوضع الاقتصادي السيئ يؤدي إلى انخفاض مقاومة الجسم للأحياء المجهرية الممرضة التي تتعرض لها العين (Tesfaye *et al.*, ٢٠١٣).

الغبار والكائنات الحية الدقيقة مثل البكتيريا والفطريات المسببة للأخماج خاصة عند وجود خدش او جرح في انسجة بطانة العين مما يؤدي الى تلف بارز في العين (Hameed, ٢٠٢٠).

كما ترتفع معدلات الإصابة بعدوى العين البكتيرية لدى مرضي السكري كخمج القرنية المعدني وخمج الملتحمة المعدي الحاد لأن محتوى البروتين خاصه البروتينات المضادة للميكروبات في الدموع يتغير مما يغير الحاجز الكيميائي للعين (Kallo *et al.*, ٢٠٢١). فضلاً عن حصول إصابة للعين من قبل الكائنات المجهرية الممرضة الانتهازية في حالات متعددة مثل حالات تقدم العمر (Wen *et al.*, ٢٠١٧)، وتناول الكحول والتدخين (Peragallo *et al.*, ٢٠١٣)، و أمراض نقص المناعة المكتسبة (الايدز) (Chodosh *et al.*, ٢٠٠٨) وأمراض الغدة الدرقية (Naik *et al.*, ٢٠١٩) ، واستعمال العدسات اللاصقة من العوامل المهمة التي تغير التوازن الميكروبي لسطح العين وتزيد فرصه وجود الاحياء المجهرية الممرضة المقاومة للمضادات الحيوية وحدوث إصابات العين كخمج الجفن، وخمج الملتحمة وخمج القرنية القرحي الذي يهدد البصر (Juhong *et al.*, ٢٠٢٢).

إن مُتلازمة جفاف العين تسبب فقدان التوازن في الغشاء الدمعي مما يؤدي الى التبخر المفرط للدموع حيث تؤثر في افرازات غدة ميبومان (Meibomian) المسئولة عن الافرازات الزيتية للفلم المسيل للدموع ويسهل غزو العين من قبل الميكروبات (Dong *et al.*, ٢٠١٩).

كما إن خمج ملتحمة العين يحصل نتيجة انتقال البكتيريا الممرضة التي تصيب البطانة الحرشفية لأنف الى العين وكذلك وجود علاقة بين إصابة العين مع إصابات الأنف والأذن الوسطى لوجود ارتباط بين الفم والأنف بالبلعوم والعيدين (Hu *et al.*, ٢٠٢١) ، كما يوجد في كيس الملتحمة بكتيريا مماثلة لتلك الموجودة في الجهاز التنفسى العلوي والجلد وهي غالباً ما تكون بكتيريا *Corynebacterium spp.* او *Staphylococcus spp.* أيضا تحتوي حواف واكياس الملتحمة للأشخاص الأصحاء على مسببات الامراض السالبة لصبغة كرام والتي تحدث العدوى والخمج عندما يكون لها قابلية لمقاومة آليات الدفاع للعين بسبب ضعف مناعة الجسم بشكل عام (Elzen *et al.*, ٢٠١٢).

أظهرت الدراسات الحديثة إمكانية انتقال الميكروبات اثناء عملية التنفس أو من الأجزاء السفلية من الجسم (بما في ذلك الجلد) إلى مناطق أخرى مثل سطح العين عبر تدفق الهواء، كما إن ارتداء القناع يرتبط بزيادة أعراض جفاف سطح العين ويمهد لحدوث اخماج العين (Ozkan *et al.*, ٢٠٢٢). بسبب تغير في المادة المخاطية (Mucin) بشكل كبير بعد ارتداء قناع الوجه إما

بسبب فرط في ثاني أوكسيد الكاربون الذي يعد مساهماً في الانزعاج السطحي للعين ويحفز الالتهاب أو بسبب هواء الرزفير الذي يهرب إلى أعلى حافة القناع محفز ظروف التبخر على سطح العين مما يسبب جفاف العين و يؤدي إلى الالتهاب وعدم الراحة (Dsouza *et al.*, ٢٠٢٢).

٤-٥: احتجاج العيون Eye Infection

تتعرض العين إلى العديد من الإصابات الميكروبية على الرغم من امتلاكها دفاعات مناعية، باليوكيميائية وفيزيائية ضد الأحياء المجهرية، إذ تعمل أهداب الجفن (Eyelashes) أو لا كمرشح للأوساخ وجزيئات التلوث لكي تمنع دخولها للسطح البصري كما إن عملية فتح وغلق العين الالإرادي ينشأ عندما تلتتصق الأجسام الغريبة بالأهداب، وإما الخط الداعي الثاني فيتمثل بالدموع المفرزة من العين كوسيلة حماية لغسل العين وقتل البكتيريا الملوثة وذلك لاحتوائها على إنزيم الاليسوزايم القاتل للجراثيم.

كما تعد الاجفان والملتحمة التي تتكون من نسيج ذي خلايا ظهارية كثيرة تتغشى باستمرار عند حدوث إصابة يعد خط دفاع ثالث يمنع غزو الميكروبات و يؤدي إلى فصل الميكروبات الملتصقة بالطبقات السطحية الخارجية للعين (Ewadh p *et al.*, ٢٠١٤). و عند فشل تلك الخطوط في منع الإصابة ذات الأصل الميكروبي تتطور إصابات جرثومية متنوعة منها فايروسيه مثل الفايروس الغدي (Adenovirus) الذي يسبب خمج الملتحمة وهي لا تتطلب أي مضاد حيوي لعلاجها (Watson *et al.*, ٢٠١٨) وأخرى إصابات بكتيرية التي قد تصيب عينا واحدة او كلا العينين وتعد الإصابة البكتيرية المسبب الرئيس لأحتجاج العيون وأكثر الأحتجاج شيوعاً هو خمج ملتحمة العين(Conjunctivitis) خمج الجفن(Blepharitis) الذي يحدث نتيجة انتقال البكتيريا الموجودة على البشرة إلى بوصلة شعرة الرمش ثم يأتي بعدهما خمج القرنية (Keratitis) وربما تسبب هذه الإصابات خطراً شديداً على البصر (Watson *et al.*, ٢٠١٨). كما تشتراك بكتيريا التراخوما (Chlamydia trachomatis) في الإصابات البكتيرية للعيون (Satpathy *et al.*, ٢٠١٧) فضلاً عن المسببات الفطرية والطفيلية التي تصيب العين عند الاستعمال الطويل للمضادات الحيوية واستخدام العدسات اللاصقة التي تضعف من دفاعات العين (Klotz *et al.*, ٢٠٠٧ : Zhong *et al.*, ٢٠٠٠).

ومن الممكن اختصار خطوات حصول الخمج أولًا بالتصاق المسبب الميكروبي يتبعه بعد ذلك اخترافه للغلاف الخلوي الخارجي بوسائل فيزيائية كالأهلاك وجود طبقة الدهون متعدد

السكريد أو وسائل انزيمية أو الاثنين معاً كذلك افراز الزيفات (Toxins) ولأنّ الدهون المفسرة والبروتينات هي وحدات كيميائية أساس للغشاء الخلوي للمضييف لهذا تعمل انزيمات الحالة للدهون المفسرة (Phospholipases) وانزيمات البروتئيز الحالة للبروتين (Proteinases) إلى جانب انزيمات الحالة للدم (Hemolysin) (المحللة لكريات الدم الحمراء على تحطيم هذه الوحدات أثناء الغزو الميكروبي لخلايا المضييف والتسبب بالأمراضية). (Casadevall and Pirofski, ٢٠٠٩).

٦-٢: أنواع أخماج العيون

٦-٢-١: خمج ملتحمة العين Conjunctivitis

خمج الملتحمة الذي يسمى العين الحمراء (Red eye) أو العين الوردية (Pink eye) الذي ينطوي على التهاب الطبقة الرخوة التي تغطي صلبة العين وتبطّن الجفون من الداخل وقد يصيب إحدى العينين أو ينتشر إلى العين الأخرى (Hameed, ٢٠٢٠)، ويسبب حدوث تهيج، حكة، إحساس بجسم غريب، وسيلان أو افرازات للعين، و معظم الحالات عند البالغين ناتجة عن عدوٍ فيروسيٍ ولكن الأطفال أكثر عرضة للمسبب البكتيري (Epling, ٢٠١٢). إنّ خمج ملتحمة العين الفيروسي هو الأكثر شيوعاً وإفرازاته مائية بينما يعد خمج ملتحمة العين البكتيري ثالثي أكثر الأسباب شيوعاً وإفرازاته قيحية أو مخاطية (Azari *et al.*, ٢٠١٣)، وتشير بعض الدراسات إلى إنّ ٣-٢% من المرضى المراجعين للرعاية الأولية هم يعانون من احتقان الملتحمة الذي يعود إلى أسباب عدة إما مرتبطة بالحساسية أو التهابات سطح العين وغيرها (Singh *et al.*, ٢٠٢١) كما بلغت نسبة الإصابة بخمج الملتحمة (٣٥%) في دراسة محلية قام بها (Khalil *et al.*, ٢٠١٧).

ويقسم خمج ملتحمة العين إلى أنواع عدة حسب الأحياء المجهرية المسببة:

٦-٢-١-١: خمج ملتحمة العين البكتيري Bacterial Conjunctivitis

هو من الأمراض الشائعة يصيب الأشخاص بكل الأعمار إذ تبدأ الإصابة بعين واحدة ثم تنتقل إلى العين الأخرى وأغلب الحالات تتشفّى بصورة ذاتية إلا إنّ تناول العلاج يقلل من شدة الأعراض ومدة المرض (Tarabishy *et al.*, ٢٠٠٨)، و يصنف خمج ملتحمة العين البكتيري حسب مساره وشدة إلى خمج ملتحمة العين البكتيري فوق الحاد (Hyper Acute Bacterial Conjunctivitis) و خمج ملتحمة العين البكتيري الحاد (Acute Bacterial Conjunctivitis).

Chronic Bacterial Conjunctivitis (Conjunctivitis) فضلاً عن خمج ملتحمة العين البكتيري المزمن (Conjunctivitis). كما جاء في (Tarabishy et al., ٢٠٠٨).

إن بكتيريا *Neisseria gonorrhoeae* هي المسبب الأكثر شيوعاً لخمج ملتحمة العين فوق الحاد ويحدث غالباً عند حديثي الولادة ويطلب علاج جهازي فوري (Bhat and Jhanji, ٢٠٢١) وكذلك عند الأشخاص النشطين جنسياً (Godoy-Mancilla et al., ٢٠٢٢) والذي يتميز ببداية مفاجئة غزيرة وسميكه مع افراز صديبي (اصفر - مخضر) واحقان عيني، تسمم كيميائي (Chemosis) وأحياناً تكون غشاء التهابي (Hovding. ٢٠٠٨).

أما خمج ملتحمة العين البكتيري الحاد وهو الأكثر شيوعاً فيتميز بحرقة، وإفرازات قيحية صفراء إلى بيضاء اللون مع إفرازات دمعية يرافقها نتوءات صغيرة من النوى الليفية الوعائية على جفن الملتحمة وتتراوح مدة ظهور اعراضه من ٣-٤ أسابيع تقريباً (Hovding, ٢٠٠٨; Abid and Ewadh, ٢٠١٢).

كما تعد كل من بكتيريا *S.aureus*, *S. epidermidis* *S. saprophyticus* مسببات شائعة عند المراهقين والبالغين بينما بكتيريا *Streptococcus pneumonia*, *Haemophilus Moraxella catarrhalis*, *P. aeruginosa* *influenza* شائعة عند الأطفال أما بكتيريا *Decory et al.*, ٢٠٢٠)، وتشير الدراسات أن ٥٠-٧٠٪ من التهاب ملتحمة العين الحاد هو بكتيري (Math and Rauth, ٢٠١٩) كما تشير دراسة أخرى إلى إن ٧١٪ من إصابات العين لدى الأطفال هي خمج ملتحمة العين البكتيري الحاد (Johnson et al., ٢٠٢٢).

بينما خمج ملتحمة العين البكتيري المزمن تستمر اعراضه ل ٤ أسابيع حيث تميل الملتحمة في هذه الإصابة إلى الاحمرار، الإفرازات المعتدلة أو الخفيفة مع التصاق الرموش صباحاً كما إن بكتيريا *Staphylococcus epidermidis* و *Staphylococcus aureus* هي الأكثر شيوعاً لهذا النوع من الإصابة (Hovding. ٢٠٠٨) وإن خمج ملتحمة العين البكتيري هو الأكثر شيوعاً من ضمن أنواع الأخماق الأخرى بنسبة (٣٠.٧٦٪) كما جاء في دراسة قام بها Math and Rauth (٢٠١٩) و اشارت دراسة أخرى إلى حدوث خمج ملتحمة العين البكتيري بنسبة ٧٢٪ من بين المصابين باخماق الملتحمة (Liang et al., ٢٠١٦)، وأكملت

دراسة في اثيوبيا إنّ خمج الملتحمة البكتيري وخمج الاجفان هما أكثر أنواع التهابات العين الخارجية شيوعاً (Ayehubiz *et al.*, ٢٠٢١).

٢-١-٦-٢ : خمج ملتحمة العين الفيروسي Viral Conjunctivitis

يمثل هذا النوع ما يقارب ٦٥-٧٥% من خمج ملتحمة العين المعدى الذي ينتقل عن طريق الاتصال المباشر بالفيروس أو انتقال الفيروس عبر الهواء والماء مثل حمامات السباحة، إذ يسبب الاحمرار، واحتقان الأوعية الدموية، وإفرازات العين، ورعب الضوء وقد تتكون الأغشية الكاذبة وتستمر تلك الأعراض إلى ما يقارب من ١٠-١٤ يوماً كما إنّ ٩٠% من الأخماق الفيروسية لدى الأطفال سببها الفيروس الغدي (Adeno virus) وهو المسبب الأكثر شيوعاً في خمج الملتحمة وأما فيروس الهربس البسيط (Herpes simplex virus) (فيسبب ٣-٤.٨% من حالات خمج الملتحمة الحاد، وإنّ فيروس الحماقي النطاقي (Varicella zoster virus) (المسؤول أيضاً عن خمج ملتحمة العين كما أظهرت الدراسات الأخيرة إنّ ١-٦% من خمج الملتحمة يرتبط مع الفيروس التاجي (Corona virus) (Solano *et al.*) (Ying *et al.*, ٢٠٢١; Marinos *et al.*, ٢٠١٩; Ying *et al.*, ٢٠١٧) كانت نسبة انتشار الفيروس الغدي (Adenoviral) من ٦٥-٩٠% من حالات عدوى العين الفيروسية كما جاء في هذه الدراسة (Yeu and Hauswirth, ٢٠٢٠) ينتشر خمج ملتحمة العين الفيروسي في فصل الصيف كما يرتبط بنزلات البرد وتزداد الإصابات خلال الشتاء وأوائل الربيع (Janicijevic *et al.*, ٢٠١٧) كانت نسبة انتشار خمج الملتحمة الفيروسي ٨٨.٧% من حالات خمج الملتحمة في هذه الدراسة (Balasopoulou *et al.*, ٢٠١٧).

٢-٦-٢ : خمج القرنية Keratitis

هو إصابة الغشاء الشفاف الذي يغطي بؤبؤ العين والقرحية بمسبب بكتري أو فطري، يصيب الأشخاص بمختلف الأعمار من أطفال وكبار، وأهم اعراضه الألم، والاحمرار، وعدم وضوح الرؤية يصاحبه إفرازات دمعية وقيحية مع رعب الضوء (Lin *et al.*, ٢٠١٩)، وقد يؤدي إلى فقدان البصر بشكل دائم إذا لم يشخص مبكراً مما يتطلب زراعة القرنية حسب ما جاء عند (Austin *et al.*, ٢٠١٧). وإنّ حدوث تلف لأنسجة القرنية هو بسبب أنتاج السموم

البكتيرية والانزيمات المحللة للبروتين و الكولاجين(Collagen) وهو مكون كيميائي مهم في أنسجة القرنية (Karring *et al.*, ٢٠٠٤)، إذ يبدأ الغزو البكتيري للقرنية من خلال اتصال أجزاء من البكتيريا متمثلة بالشعيرة (Fimbriae) بالخلايا الطلائية للقرنية مما يسهل ارتباط البكتيريا بمستقبلات سطح الخلية المضيفة ، وإنّ لبكتيريا المكورات العنقودية الذهبية والزانفنة الزنجارية قدرة كبيرة على الالتصاق بالقرنية مقارنة مع الأنواع البكتيرية الأخرى (Livingston *et al.*, ٢٠١٩).

وتحدث إصابة القرنية عند حدوث خدش او عند استعمال مساحيق التجميل كما إنّ ارتداء العدسات اللاصقة غير النظيفة والمعقمة من أكثر العوامل المسببة لخمم القرنية فضلاً عن بعض أمراض سطح العين، وجراحة القرنية، وبعض الامراض الجهازية مثل السكر وقلة المناعة هذه جمِيعاً تغير من آليات الدفاع لسطح العين وتسمح للبكتيريا بغزو القرنية وتكثر تلك الإصابات في البلدان الصغيرة (Tuft *et al.*, ٢٠٢٢) ، وقد ذكرت دراسات أجريت في استراليا، وأوروبا والولايات المتحدة الأمريكية إنّ (٦٤.٦-٩٠.٦) % من الأخماض القرنية هي بسبب البكتيريا (Ghosh *et al.*, ٢٠٢٢)، وأيضاً في دراسة أخرى قام بها (Livingston *et al.*, ٢٠١٩) ووصلت نسبة العزل البكتيري من القرنية إلى (٩٠%). ولعل أهم الأنواع البكتيرية التي تسبب خمم القرنية هي *Pseudomonas aeruginosa* و *Staphylococcus aureus* و *Streptococcus pneumoniae* (Peng *et al.*, ٢٠١٨). كما كانت نسبة العزل البكتيري من القرنية (٦٤.٧٦%) في دراسة محلية أجريت على المرضى الذين يعانون من خمم القرنية والمراجعين لمستشفى ابن الهيثم التعليمي للعيون في بغداد (Al-Shakarchi *et al.*, ٢٠١٥).

٣-٦-٢ : خمم الاجفان Lid infection

هو عدوى تصيب حافة الجفن ويكون سبب شائع للانزعاج والتهيج بين الناس من كل الأعمار، والأعراق، والاجناس بشكل عام ولا يهدد البصر لكن إذا ترك دون علاج فقد يتسبب في اعتلال القرنية، وتورم القرنية وتقرحها وتعديلات دائمة في شكل الجفن (Muntz *et al.*, ٢٠٢١). يصنف خمم الاجفان حسب الموقع التشريحي إلى نوعين الأول خمم الجفن الامامي ويؤثر على قاعدة الرموش والبصيلات ويكون المسبب الميكروبي البكتيري هو الرئيس(Amescua *et al.*, ٢٠١٩) بينما النوع الثاني هو خمم الجفن الخلفي يؤثر على حافة الجفن الخلفية ويحدث بسبب عدة عوامل منها خلل وظيفي في غدة ميبومان (Meibomian gland) مما يؤثر على إفراز (meibum) الذي يلعب دوراً مهماً في ابطاء تبخّر الفلم المائي

للدموع ، و هذا التغير في الوظيفة الوقائية يترك العين عرضة للتلف السطحي وعدم الراحة ، وهنالك عوامل أخرى مثل فايروس الهربس البسيط (*Herpes simplex virus*) (فايروس *Varicella zoster virus*) حسب ما ذكر في هذه الدراسة (al., ٢٠١٤) ، وخمج الاجفان واسع الانتشار يتميز باحمرار، وحكة مع رموش دهنية وقشرية، يمكن أن يتسبب بفقدان رموش العين وهذه الاصابة لا تبقى في موقعها ويمكن ان تنتقل إلى موقع آخر من العين (Durand, ٢٠١٣). ان بكتيريا المكورات العنقودية سلبية الخثرة (*Staphylococcus epidermidis aureus*) هي أكثر الأنواع المعزولة في المرضى المصابين بخمج الاجفان (De Paula et al., ٢٠٢٠). كما بلغت نسبة اخماج الجفون بين ٤٧-٣٧ % في دراسة أجريت في الولايات المتحدة (Pflugfelders et al., ٢٠١٤). بينما بلغت نسبة خمج الجفن (%) ٣٢.٩٥ في دراسة محلية قام بها (Abid and Ewadh, ٢٠١٢).

٤-٦-٢ : خمج الكيس الدمعي **Dacryocystitis**

هو عدوى تصيب الكيس الانفي الدمعي من العين وغالباً ما يحدث بسبب انسداد القناة الانفية الدمعية المرتبط بتشوه في القناة الدمعية او إصابة في العين نتيجة عدوى ميكروبية او صدمة وأهم أعراضه الم، واحمرار، وتورم على الجانب الداخلي من الجفن السفلي، وانتفاخ، واحتقان السائل الدمعي وبدوره يؤدي الى زيادة سماكة الجراثيم وتراكمها ويكون بشكلين حاد ومزمن (Assefa et al., ٢٠١٥) كما ينتج عنه حمى، تغير في حدة البصر وفقدان الرؤية المحيطية ، ان البكتيريا الموجبة والسلبية لصبغة كرام تتسبب بحدوث خمج الكيس الدمعي (Mohammed et al., ٢٠٢٠) كما تعد اكثر المسببات البكتيرية الموجبة لصبغة كرام المسئولة عن احداث تلك الإصابة هي *Staphylococcus aureus* بينما بكتيريا *Pseudomonas aeruginosa* هي من اكثر المسببات المرضية بين البكتيريا السالبة لصبغة كرام كما جاء في (Chung et al., ٢٠١٩)، وقد أظهرت دراسة محلية ان نسبة الإصابة بخمج الكيس الدمعي البكتيري بلغت (٣%) في دراسة أجريت في بغداد (Khalil et al., ٢٠١٧) بينما بلغت نسبة الإصابة بخمج كيس الدمع المزمن (٤٠%) في دراسة إيرانية (Eshraghi et al., ٢٠١٤).

٧-٢: المسببات البكتيرية الشائعة لأخماج العيون **Common bacterial etiology of eye infections**

تعد البكتيريا المسبب الرئيس لأخماق العيون في جميع أنحاء العالم وتنتج إما من عدوى أحادية أو متعددة الميكروبات وترتبط بالعديد من العوامل بما في ذلك العدسات اللاصقة، والصدمة، والجروح، والعمليات الجراحية، والعمر، وحالة جفاف العين وانسداد القناة الأنفية الدمعية المزمن (Galvis *et al.*, ٢٠١٤).

وترتبط البكتيريا بشكل عام بالعديد من أنواع العدوى العينية مثل خمج الملتحمة (Endophthalmitis)، وخمج القرنية (Keratitis)، وخمج باطن المقلة (Conjunctivitis)، خمج الجفن (Lid infection)، خمج كيس الدمع (Dacryocystitis) والنسيج الخلوي المداري من خلال التصاق البكتيريا وغزوها للأغشية والخلايا الظهارية لامتلاكها عوامل تساعدها على الالتصاق واختراق المضيق (Bertino, ٢٠٠٩).

وقد ذكر كل من (Leung *et al.*, ٢٠١٧) و (Tewelde medhin *et al.*, ٢٠١٨) إن البكتيريا الموجبة والسلبية لصبغة كرام على حد سواء تتسبب بأخماق العيون في الأطفال، والبالغين والشيخوخة. ومن الأنواع البكتيرية التي تصيب العيون هي:

S. aureus, S. epidermidis, Streptococcus pneumonia ، *Streptococcus viridians, N. gonorrhoeae, P. aeruginosa, Proteus ssp., K. pneumonia, E. coli, Haemophilus influenza.*

كما لوحظ إنّ البكتيريا الموجبة لصبغة كرام هي المسبب الرئيس لأخماق العيون ولاسيما بكتيريا المكورات العنقودية الذهبية *S. aureus* والتي تحتاج إلى علاج فوري بإستعمال المضادات الحيوية الموضعية (Ayehubizu *et al.*, ٢٠٢١: Mohammed *et al.*, ٢٠٢٠)، إذ أشارت تلك الدراسات إلى أن المسببات البكتيرية هي الأكثر شيوعاً لدى غالبية المرضى في المناطق الريفية وتصل نسبتها ٤٦.٨٢% بينما نسبة الإصابة نتيجة الوضع الاجتماعي والاقتصادي المنخفض ٥١.٦١%. وذلك بسبب التعامل المباشر مع الحيوانات من جهة، وقلة التثقيف وضعف معرفة المجتمع بخمج الملتحمة لهذا فإن الإصابات بالمناطق الريفية أعلى من الإصابات في المناطق الحضرية (Di rs Pedesaan, ٢٠١٣: Dias *et al.*, ٢٠٢٢).

وتبعاً للدراسات التي أجريت، في جنوب إيطاليا حول إصابات العيون بلغت الإصابات البكتيرية (٥٥.٧٧%)، وإن ٤٥% هي بكتيريا موجبة لصبغة كرام بينما ٤٤.٨% هي عزلات بكتيرية سالبة لصبغة كرام وان بكتيريا *aureus* هي البكتيريا السائدة ثم تاليها بكتيريا *P. aeruginosa* في حين شكلت الإصابات الفطرية ١١% فقط (D’Oria *et al.*, ٢٠٢٢). بينما

في دراسة أخرى أجريت في مدينة صنعاء أكدت أن ٣٠٪ *S. aureus*، ١٪ *S. epidermidis*، ٢٪ *Streptococcus*، ٤٪ *Proteus*، ٧٪ *E. coli*، ١٤٪ *P. aeruginosa*، ٢٦٪ *pneumoniae* ٧٪ (*Alshamahi et al., ٢٠٢٠*). ومن أبرز الأنواع البكتيرية شيوعاً في احداث احماض العيون هي:-

١-٧-٢ : المكورات العنقودية الذهبية *Staphylococcus aureus*

واحدة من مسببات الأمراض البشرية المهمة في كل من المستشفيات والمجتمعات لقدرها على التكيف والتهرب من الجهاز المناعي (*Afzal et al., ٢٠٢٢*)، وهي بكتيريا موجبة لصبغة غرام كروية قطرها يتراوح بين ١-٥.٥ ميكرومتر تترتب بشكل مفرد أو عنقدي غير متحركة وغير مكونة للسبورات تكون إما هوائية أو لا هوائية اختيارية تكون مستعمراتها بيضاء إلى صفراء اللون ومعظمها محللة للدم من نوع بيتا عند تتنميها على وسط غراء الدم (*Gnanamani et al., ٢٠١٧*)

غالبية المكورات العنقودية منتجة لأنزيم تجلط الدم (Coagulase) وهو عامل ضرورة مهم يحمي الجرثومة من هجمات الجهاز المناعي داخل جسم العائل كما يساعد في التعرف على الكائن الحي وتميزه فضلاً عن إنها إيجابية لفحص (Catalase) وسلبية لفحص (Oxidase). كما تنمو جيداً عند التراكيز الملحوظة العالية ١٠-٧.٥٪ كلوريد الصوديوم (NaCl) ولها القدرة على تخمير سكر المانitol حيث تنتج حامض عند تتنميها على وسط أكار المانitol (Mannitol) (Zurita et al., ٢٠١٠) ويتحول إلى اللون الأصفر بوجود كاشف الفينول الأحمر (Salt Agar).

تسبب *Staphylococcus aureus* العديد من الآفات منها خمج الجلد، خمج الأنسجة الرخوة، تسمم الدم، خمج الشغاف القلبي، احماض العيون، احماض رئوية، احماض الجهاز التنفسي وأحماض الجهاز العصبي المركزي (*Cheung et al., ٢٠٢١*). تعد *Staphylococcus aureus* المسبب الأكثر شيوعاً في إصابات العيون لقدرها على إصابة القناة الدمعية، الجفن، الملتحمة، القرنية، الغرف الامامية والخلفية للعين، الحجرة الزجاجية وبعد خمج باطن المقلة وخمج الملتحمة هي الأكثر تهديداً بسبب قدرتها على التسبب في فقدان حدة البصر أو حتى العمى

كما جاء عند كل من Ondusko *et al.*, ٢٠١٨; Astley *et al.*, ٢٠١٩; Petrillo *et al.*, ٢٠٢١) ان بكتيريا المكورات العنقودية الذهبية المقاومة للمثيسيلين (MRSA) هي الأكثر ترددًا في إصابات العيون في أمريكا وأستراليا (Afzal *et al.*, ٢٠٢٢).

وإن ٢٠٪ من البشر يحملون بكتيريا المكورات العنقودية الذهبية في الجزء الأمامي من الغشاء المخاطي للأنف طوال حياتهم و٦٠٪ يصابون بها بشكل متكرر لكونها من الممرضات الانتهازية (Zecconi and Scali ٢٠١٣). بسبب امتلاكها القدرة على غزو انسجة المضييف ثم تتضاعف وتنتشر خلال هذه الانسجة بعد أن تنتج مواداً خارج خلوية (Extracellular Substances) هي الانزيمات والذيفانات مثل انزيم تجلط الدم (Coagulase) الذي يساهم في انتاج بروتين الليفيين الذي يغطي الموقع المصابة ، ويحمي البكتيريا من آليات دفاع المضييف مما يزيد من تمركزها ضمن الانسجة المصابة إلى جانب انزيمات proteinase, lipase, Phosphatase ، Staphylokinase و penicillinase, hyaluronidase فتشمل الذيفان الحال للدم (Hemolysins) الذي يدمر خلايا الدم الحمر والذيفانات المعاوية (Enterotoxins A) كما تنتج الذيفان القاتل لخلايا الدم البيض (Leucocidin) وبروتين Toxic Shock SyndromeToxin(TSST-١) وإن عوامل الضراوة هذه هي التي تزيد من تمكّن البكتيريا بخلايا المضييف والتهرب من دفاعاته كما تحول انسجة المضييف إلى مغذيات تعتمد عليها اثناء نموها.(Otto, ٢٠١٤; Ondusko *et al.*, ٢٠١٨; Jenul and Horswill, ٢٠١٩)

وعامل ضراوة آخر مهم في احداث الامراضية هو بروتين (Fibronectin binding protein) المسؤول عن تكوين الغشاء الحيوي(Biofilm) لأنه يساعد البكتيريا في الالتصاق واحادات الامراضية في الانسان والحيوان (Al-mebairik *et al.*, ٢٠١٦)، ولها القدرة على مقاومة مضادات البيتا لاكتام لقدرتها على انتاج انزيم (Beta-lactamase) وامتلاكها جين (Monecke *et al.*, ٢٠١٦) مما يزيد من مقاومتها للمضادات الحيوية (MecA).

٢-٧-٢ : المكورات العنقودية البشروية البيضاء *Staphylococcus epidermidis*

بكتيريا كروية موجبة لصبغة كرام غير منتجة لأنزيم تجلط الدم Coagulase و موجبة لفحص Catalase موجودة بكثرة على الجلد والاغشية المخاطية للإنسان وتعتبر من النبات الطبيعي له (Otto, ٢٠٠٩). تعد من مسببات الامراض الانتهازية التي تسبب عدوى المستشفى

في الوقت الحاضر إذ تسبب الإصابة من حين لأخر، وتسبب عدة آفات منها خمج مجرى الدم، خمج القلب والأوعية الدموية، خمج العين، خمج الانف والاذن والحنجرة (Vuong and Otto, ٢٠٠٢). كذلك الإصابات المرتبطة باستخدام الأجهزة الطبية مثل القسطرة الوريدية المحيطية والمركبة والصممات الاصطناعية وأجهزة القلب (Byrd *et al.*, ٢٠١٧).

ان المكورات العنقودية الذهبية *S. aureus* والمكورات العنقودية البشروية *S. epidermidis* وتعد من المسببات المهمة التي تسبب أمراض سطح العين مثل خمج الملتحمة، خمج القرنية، خمج باطن المقلة كما ذكرت الدراسات ان ٤٪ تكون من إصابات العيون ببكتيريا المكورات العنقودية البشروية البيضاء (Duggirala *et al.*, ٢٠٠٧; Al-Dhaheri *et al.*, ٢٠١٦; Deguchi *et al.*, ٢٠١٨). وإن ٨٠٪ من الإصابات العينية ببكتيريا *S. epidermidis* وفقاً للمعاهدة الوطنية الأمريكية للصحة هو بسبب قابليتها على تكوين الاغشية الحيوية (Biofilm) (Cao *et al.*, ٢٠١٨). وإنتاج مادة مخاطية (Slime) التي تساعدها على الالتصاق (Nayak *et al.*, ٢٠١١) وتتوفر لها الحماية من دفاعات المضييف بمنع البلعمة ونشاط البكتيريات البشرية المضادة للميكروبات وبذلك تحميها من الجهاز المناعي للمضييف والمضادات الحيوية (Otto, ٢٠١٢). كما تنتج الديفان الحال للدم (Hemolysin) وعلى الأقل ثلاثة أنواع من إنزيمات (Proteases) المهمان في احداث امراض القرنية وتلفها حسب ما جاء في (Caballero *et al.*, ٢٠٢١).

٣-٧-٢: الزوائف الزنجارية *Pseudomonas aeruginosa*

بكتيريا سالبة لصبغة كرام، مستقيمة او بشكل قضبان منحنية، غير مكونة للسبورات، قطرها يتراوح بين (٠.٥-٠.٨) × (١.٥-٣) ميكرومتر متحركة تملك اسواطاً، موجبة لفحص (Oxidase) و(Catalase)، هوائية اختيارية تنمو في نطاق حراري يتراوح بين -٣٧-٤ درجة مئوية (Adilabdulhady and Kadhim, ٢٠٢٢)، وتفرز صبغات مهمة في التشخيص السريري والمخبري هما *pyoverdin* و*pyocyanin* (Levinson, ٢٠١٤).

تعد *P. aeruginosa* كائن مرض انتهازي يسبب إصابات شديدة لا سيما في المستشفيات أي لها دور في عدوى المستشفيات (Nosocomial Infection) لأنها تفضل البيئات الرطبة والمرضى الذين يعانون من امراض الدم الخبيثة، القسطرة، المرضى الذين يتناولون علاجات لمدة طويلة من المثبتات المناعية والأشعاع، الجروح، الحروق، الخراجات كما تسبب خمج الأذن وأمراض الجهاز التنفسى والجهاز البولي ولأنها تظهر مقاومة عالية للمضادات الحيوية

فلها دور رئيسي في الالتهابات التي تحدث حول العين (Bassetti *et al.*, ٢٠١٨). هي واحدة من أهم الجراثيم التي تصيب العين وتسبب لها اضراراً بلية وهي المسبب لخمج القرنية البكتيري (Bacterial Keratitis) ويحدث في المرضى الذين يعانون من امراض العين الموجودة مسبقاً مثل مرض ما بعد جراحة العيون او الاستعمال الطويل للعدسات اللاصقة والعناء غير الكافية التي تؤدي الى حصول خدش في القرنية، إذ تبدأ الإصابة عندما تلتتصق البكتيريا بالخلايا الظهارية للقرنية ثم تتنفس المستعمرات ويببدأ عندها غزو النسيج موضعياً وانتشارها خلاله (Streeter and Katouli, ٢٠١٦).

إن ٢٠٪ من إصابات العيون البكتيرية و٦٨٪ من اخماج القرنية المصاحبة لارتداء العدسات اللاصقة هي بسبب بكتيريا *P. aeruginosa* كما جاء في هذه الدراسة (Subedi *et al.*, ٢٠١٨). وتم عزلها أيضاً من خمج الملتحمة للأطفال حديثي الولادة (Yazici *et al.*, ٢٠١٧) وتسبب خمج باطن المقلة (Endophthalmitis) وخمج النسيج الخلوي المداري لهذا تعد من عوامل الخطر الرئيسية ولا سيما في الهند والبلدان النامية تبعاً لهذه الدراسة لأن متطلباتها الغذائية منخفضة وتتحمل مجموعة من الظروف الفيزيائية لذا من الصعب القضاء عليها (Naik *et al.*, ٢٠٢١) كما تمتلك تلك البكتيريا العديد من الصفات التي تزيد من إمراضيتها وضرارتها مثل:

١ - مقاومتها الذاتية للمضادات الحيوية

تظهر بكتيريا *P. aeruginosa* آليات عدة تكسبها مقاومة متعددة للمضادات الحيوية من خلال انخفاض نفاذية المضادات الحيوية عبر الغشاء الخلوي للبكتيريا، والتعبير عن أنظمة التدفق وإنزيمات المعطلة للمضادات الحيوية وتحويرات في الهدف بواسطة التشفير الكروموزومي أو محددات مقاومة منقولة وراثياً (El Zowalaty *et al.*, ٢٠١٥). لقد زادت مقاومتها المتعددة للأدوية (Multiple drug resistance) بشكل كبير في السنوات الأخيرة وأصبحت تشكل تهديداً رئيسياً في كل أنحاء العالم (Potron *et al.*, ٢٠١٥)، ولعل واحدة من آليات المقاومة الشائعة في *P. aeruginosa* هي اكتساب جينات المقاومة عن طريق النقل الأفقي للجينات مما أدى إلى ظهور النمط الظاهري (Multiple drug resistance) التي حدثت من الخيارات العلاجية للعدوى بالإضافة إلى قدرتها على تكوين أغشية حيوية قوية (Moustafa *et al.*, ٢٠٢١).

٢ - عوامل الضراوة المختلفة التي تمتلكها

هذه البكتيريا تمتلك العديد من عوامل الضراوة منها إفراز الانزيمات المحللة للبروتين (Proteases) مثل: إنزيم البروتين القاعدي (Alkaline protease) والإيلاستيز (Elastase) او الذيفانات الخارجية (Exotoxin A) وهو عامل ضراوة مهم في إصابات العين والذيفان (Flagellin) الحال للدم (Hemolysin) فضلاً عن النوع الرابع من الأهلاب (Pilli IV)، وعديد السكاريد الدهني (Lipopolysaccharide) الذي ينتج من قبل البكتيريا ويزيد من الاستجابة الالتهابية لقرنية المضييف ، إذ تعمل هذه الانزيمات والذيفانات على تدمير النسيج الضام وتدهور العوامل المناعية للمضييف والهروب منها كما تلعب صبغة Pyoverdin وهي نوع من حامض الحديد الذي تنتجه بكتيريا الزائفة الزنجارية ويساهم في ضراوتها ، ولاسيما في عدوى القرنية اذ تساعد على تدمير الاغشية الطلائية لقرنية من خلال دورها في إزالة الحديد من المضييف مما يتسبب في تلف الميتوكوندريا ويضعف انتاج ATP) وكذلك تعزز هذه الصبغة من انتاج الاغشية الحيوية (Ruiz-Roldan *et al.*, ٢٠٢٠: Yeung *et al.*, ٢٠٢٠: Ruiz-Roldan *et al.*, ٢٠٢٠: Dave *et al.*, ٢٠٢٠). كذلك تقوم بكتيريا الزائفة الزنجارية بإنتاج الاغشية الحيوية (Biofilm) (Kugadas *et al.*, ٢٠١٩) . التي لها دور مهم في مقاومة عملية البلعمة (Phagocytosis) (Wilton *et al.*, ٢٠١٦) ومقاومة اختراق المضادات الحيوية لها

ومن العوامل الأخرى التي تمتلكها بكتيريا *P. aeruginosa* هي نظام الإفراز من النوع الثالث (T³SS) (Type 3 secretion system) وسمومه التي يتم حفظها مباشرة في سيتوبلازم الخلايا المضيفة مما يزيد من شدة الإصابة (Dave *et al.*, ٢٠٢٠).

٢-٧-٤: الاشريكيا القولونية *Escherichia coli*

هي بكتيريا عصوية قصيرة سالبة لصبغة كرام تنمو بشكل جيد تحت الظروف المثلية (Jang *et al.*, ٢٠١٧). هوائية أو لاهوائية اختيارية، متحركة، موجبة لفحص Catalase وسالبة لفحص Oxidase، مخمرة لسكر اللاكتوز، تعيش بصورة طبيعية في الجزء السفلي من قناة الجهاز الهضمي (Khan and Steiner, ٢٠٠٢).

تعد *E. coli* من الممرضات الانتهازية الأكثر شيوعا في العالم، فهي السبب الرئيس لعدوى المستشفيات وأمراض الجهاز البولي فهي تهاجم المسالك البولية وتسبب خمج المثانة، خمج الحوض والكلية بسبب امتلاكها عوامل ضراوة محمولة على البلازميدات الكبيرة أو مناطق معينة تسمى الجزر الممرضة على الكروموسوم (Farshad et al., ٢٠١٢). وترتبط أيضا باخراج العيون كخمج باطن المقلة، خمج الملتحمة وخمج القرنية لقدرتها على تكوين الأغشية

الحيوية ونتيجة لضعف الجهاز المناعي أو أصابع اليد الملوثة فضلاً عن العدسات اللاصقة الملوثة وقد ظهرت مؤخراً إن الاشريكية القولونية العينية كانت مقاومة لواحد أو أكثر من المضادات الحيوية (Ranjith *et al.*, ٢٠١٧). أكدت العديد من الدراسات على عزل *E. coli* من إصابات خمج الملتحمة والقرنية وكيس الدمع كعامل ممرض، كما إن بعض الإصابات ارتبطت بخمج العين الوليدى المكتسب من المستشفيات أو نتيجة لأخذ الإصابة من أمهاط يعانون من احتجاج المسالك البولية كما ذكر عند كلا من (Dias *et al.*, ٢٠١٣; Teweldemedhin *et al.*, ٢٠١٩) وتم عزلها أيضاً من حالات مصابة بخمج كيس الدمع المزمن في دراسة أجريت في مصر (Amin *et al.*, ٢٠١٣) وشكلت نسبة ٢٢.٧٪ في دراسة محلية أجريت في بابل (Abid and Ewadh, ٢٠١٢) تمتلك بكتيريا الاشريكية القولونية العديد من عوامل الضراوة التي مكنتها من احداث الإصابات العينية منها الديفانات الخارجية (Exotoxin) والانزيمات مع وجود عوامل الالتصاق التي تمكنتها من احداث الإصابة بالإضافة إلى أنظمة سحب الحديد التي تملكتها كما تستخدم نظام الافراز النوع الثالث (Type ٣) (Gebisa *et al.*, ٢٠١٩; Issa and secretion system(T³SS)) (Almayah, ٢٠٢٠). تمتلك أيضاً جينات مقاومة للمضادات الحيوية تكتبها صفة مقاومة متعددة للأدوية كمضادات البيتا لاكتام وغيرها (Poirel *et al.*, ٢٠١٨).

٤-٦-٥: الكلبسيلا الرئوية *Klebsiella pneumoniae*

بكتيريا عصوية سالبة لصبغة كرام غير متحركة، غير مكونة للسبورات يتراوح عرضها بين (٠.٣-١٠) مايكروميتر وطولها بين (٦-٦٠) مايكروميتر. سالبة لفحص Oxidase ليس لها القابلية على تحليل الدم لاهوائية اختيارية بينما تخمر السكريات اللاكتوز السكروز الغلوكوز تتميز بمستعمرات كبيرة وردية مستديرة مخاطية على وسط الماكونكي مما يشير إلى قابليتها على تخمر اللاكتوز (Sharma *et al.*, ٢٠١٥).

تسبب هذه البكتيريا ١٤-٢٠٪ من الأحتجاج المتعلقة بالجهاز التنفسى، القناة الصفراوية السفلية، الجروح والمسالك البولية ويزداد خطر الإصابة بعدوى المكورات الرئوية بشكل كبير في حالة وجود الأجهزة الطبية مثل معدات دعم التنفس والقسطرة المستعملة في أجنحة الأطفال حديثي الولادة والقسطرة البولية (Vuotto *et al.*, ٢٠١٧) ولها القدرة في احداث إصابات مختلفة مثل خمج ملتحمة العين، خمج السحايا وتعفن الدم (Lenchenko *et al.*, ٢٠٢٠)، ، تعد المكورات الرئوية المسبب البكتيري الأكثر شيوعاً لخمج باطن المقلة الداخلي نتيجة لانتشار

الحراثيم على الجزء الخلفي من العين (Bhikoo *et al.*, ٢٠٢١) ، و ضعف الجهاز المناعي للمضيف مما يضعف عملية البلعمة(Phagocytosis) نتيجة اصابته بأمراض مستعصية مثل مرض السكري أو خراج الكبد القيحي (Fang *et al.*, ٢٠٠٧) وقد تنتقل الى القرنية خاصة اذا صاحبه التهاب رئوي بسبب بكتيريا *S.aureus* (Zhou *et al.*, ٢٠١٨). و تمتلك هذه البكتيريا العديد من عوامل الضراوة التي مكنتها من احداث الامراضية وهي مستضدات المحفظة التي لها دور في حماية البكتيريا من عملية البلعمة (Paczosa and Mecsas, ٢٠١٦) مع الأهداب التي تساعدها في التصاق البكتيريا بالخلايا الطلائية للمضيف وتساهم مع الديفانات الداخلية مثل عديد السكريد الدهني ((L.P.S.)) في تكوين الأغشية الحيوية، وكلاهما يشكلان أهم عوامل الضراوة (Wang *et al.*, ٢٠٢٠) فضلاً عن نظام امتصاص الحديد(Siderophores) الذي يوفر الحديد للبكتيريا ويعزز نموها في أنسجة المضيف (Effah (Clegg and Murphy, ٢٠١٧) كما تمتاز بمقاومتها العالية تجاه المضادات الحيوية (.(*et al.*, ٢٠٢٠).

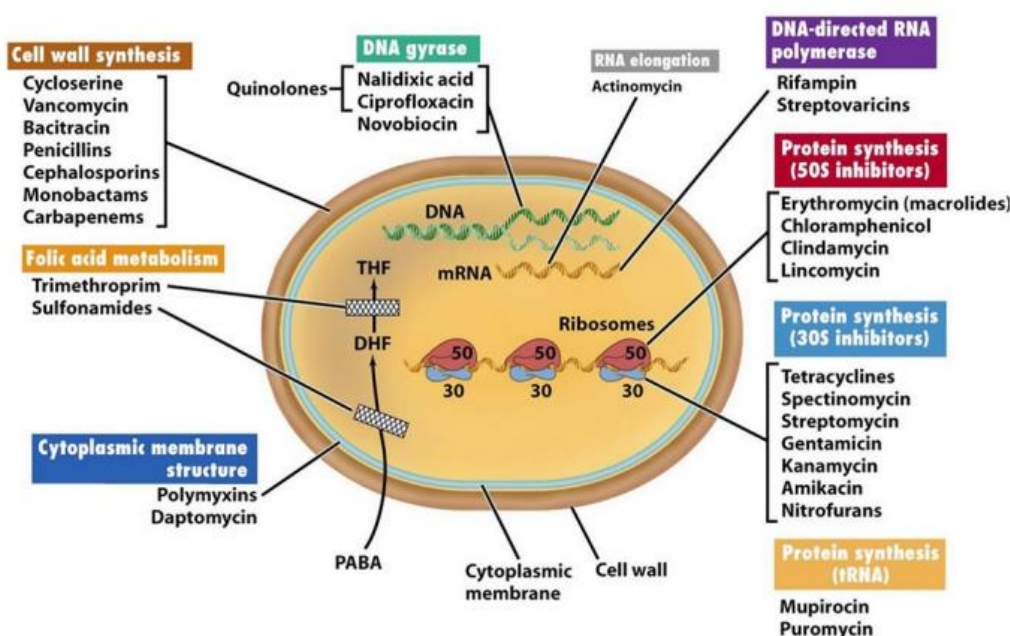
٦-٧-٢: السيراتية الذابلة *Serratia marcescens*

بكتيريا عصوية سالبة لصبغة كرام، غير مكونة للسبورات سالبة لفحص Oxidase، تنتج صبغة حمراء مميزة هي صبغة Prodigiosin (Khanna *et al.*, ٢٠١٣) (M. Prodigiosin). متحركة، موجبة لفحص Catalase ، مستعمراتها تكون بيضاء، وردية او حمراء (Grimont, ٢٠١٥).

وتعد من مسببات الأمراض البكتيرية العينية مثل خمج القرنية، خمج الملتحمة وخمج باطن مقلة العين كما جاء في هذه الدراسة (Atta *et al.*, ٢٠٢١) نتيجة لعرض العين الى جروح شديدة أو تنتقل من خلال الايدي الملوثة تحديداً في وحدات العناية للأطفال حديثي الولادة واستعمال العدسات اللاصقة وإن ١٨-٢٣% من مرتدى العدسات اللاصقة تسبب لهم خمج القرنية(Mahlen, ٢٠١١) ، بسبب امتلاكها لعوامل ضراوة مكنتها من احداث الامراضية وهي قابلية الالتصاق مع انتاج عديد السكريد الدهني (L.P.S.) ، كما تنتج الانزيمات التي تزيد من ضراوتها مثل (Lipase,Chitinase,Chloroperoxidase) وانزيمات المقاومة للمضادات الحيوية(Cristina *et al.*, ٢٠١٩) ، وانزيمات المحلاة للبروتين (Protease) فضلاً عن الديفانات مثل ذيفان الحال للدم (Hemolysin) و ذيفان (Serralysin)(القاتل لخلايا الثدييات Shank *et al.*, ٢٠١٥) والذي يسبب تلف لمكونات الجهاز المناعي البشري كما جاء في هذه الدراسة (.

٨-٢: مقاومة البكتيريا للمضادات الحيوية antibiotics

المضادات الحيوية هي مركبات عضوية تنتج من قبل كائن حي دقيق واحد والذي عند التراكيز المنخفضة تمنع نمو أو تكون قاتله للكائنات الحية الدقيقة الأخرى، وحديثاً شملت مضادات الميكروبات التي يتم إنتاجها جزئياً أو كلياً من خلال الوسائل الصناعية، إذ تقوم المضادات الحيوية بقتل أو تثبيط النمو البكتيري من خلال آليات عدة (Etebu and Arikekpar, ٢٠١٦) كما موضحة في الشكل (٢-٢) دون أن تؤثر على خلايا جسم الإنسان.



شكل (٢-٢): الآليات عمل المضادات الحيوية (Etebu and Arikekpar, ٢٠١٦)

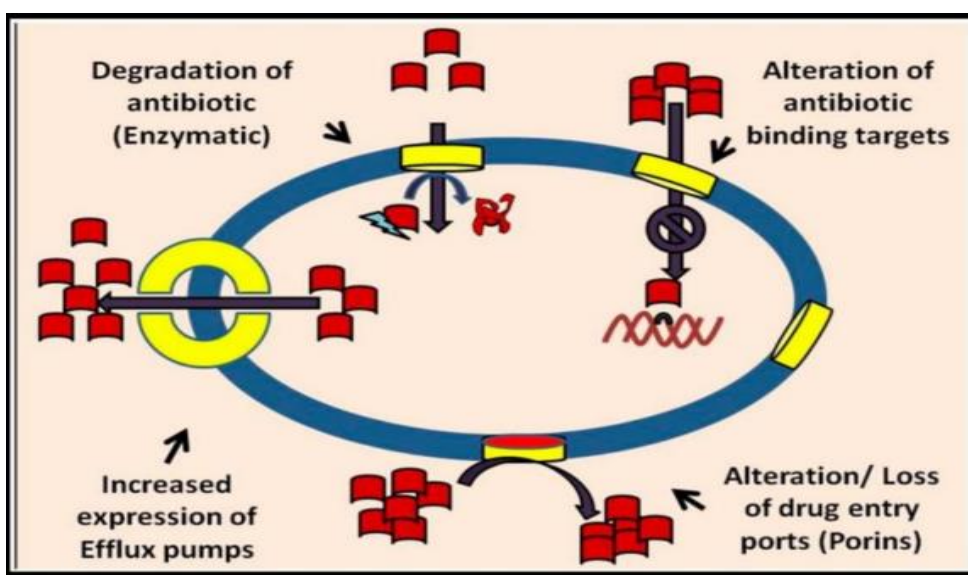
ان استعمال المضادات الحيوية لعلاج الأخماق البكتيرية أصبح أكثر صعوبة من أي وقت مضى بسبب زيادة انتشار المقاومة للمضادات الحيوية بسبب الإفراط والاستعمال غير المناسب لها (Sklavounos *et al.*, ٢٠٢١)، إذ يوجد نوعان من المقاومة للمضادات الحيوية:

١ - المقاومة الطبيعية Natural resistance: وهي موجودة أصلاً في الكروموسوم يشفر لها بواسطة جينات محمولة على الكروموسوم، وتعد مقاومة متوارثة تنتقل من جيل إلى آخر.

٢ - المقاومة المكتسبة Acquired resistance: تنتج عندما تكتسب البكتيريا بلازميدات تحمل جينات تشفر للمقاومة أو نتيجة حدوث طفرة في الجينات المحمولة على الكروموسوم أو بسبب

العناصر القافزة (Transposable elements) التي تحول البكتيريا الحساسة الى بكتيريا مقاومة للمضادات (Odumosu *et al.*, ٢٠١٣).

وتمتلك البكتيريا الموجبة والسلالة لصبغة غرام عدة آليات تقاوم من خلالها المضادات الحيوية من خلال خفض نفاذية الغشاء الخارجي لوجود أنظمة تدفق (Efflux pumps)، وهي مضخات خاصة في الجدار البكتيري تقلل تركيز المضاد الحيوي في السايتوبلازم (Pontes *et al.*, ٢٠٢٠)، وافراز إنزيمات البيتا لاكتام (Beta-lactamases) التي تحطم حلقة البيتا لاكتام (Tang *et al.*, ٢٠١٥). Blair *et al.*, ٢٠١٤). كذلك التغير في موقع الهدف الذي يعمل عليه المضاد الحيوي كما موضح بالشكل (٣-٢)، لهذا فإن المضادات الحيوية الموضعية واسعة الطيف تكون فعالة في علاج إصابات العيون، وتقلل من مدة المرض وتكرار حدوثه (Azari *et al.*, ٢٠١٣). هناك دراسات أكدت على استعمال المضادات الحيوية هذه (Chloramphenicol, Fusidic acid and Tobramycin) (Andersson *et al.*, ٢٠١٨).



شكل (٣-٢): آليات مقاومة المضادات الحيوية في البكتيريا (Andersen *et al.*, ٢٠١٥)

٩-٢: عوامل الضراوة المساعدة في احداث خمج العين :Virulence Factors

١-٩-٢: ذيفان حال الدم (Haemolysin)

هو سم خارجي (Toxin) يدمّر الغشاء الخلوي لخلايا الدم الحمر يفرز من قبل البكتيريا الموجبة والسلالة لصبغة غرام من خلال تكوين ثقوب في الغشاء الخلوي (Ibrahim *et al.*

(al., ٢٠٢٠) محرراً بذلك الهيماوغlobin الذي يوفر الحديد للنمو الميكروبي ويسبب نخر الجلد كما يتداخل مع العمليات الدفاعية داخل جسم الإنسان ، إذ يهاجم الخلايا المناعية للمضييف ويمنعها من أداء وظيفتها (Truan et al., ٢٠١٣) هنالك أربع أشكال من ذيفان حال الدم الفا، بينما، كاما و دلتا والتي تلعب دوراً مهماً في الامراضية البكتيرية (Campbell et al., ٢٠١٩) وتنتج غالبية بكتيريا *S. aureus* و *P. aeruginosa* المرتبطة بالإصابات العينية البيتا هيمولايسين(β-hemolysin) الذي يحلل الدم بالكامل (Truan et al., ٢٠١٣; Divyakolu (Dinges et al., ٢٠٠٠) و يصل وزنه الجزيئي إلى ٣٥٠٠٠ دالتون (et al., ٢٠١٩).

٢-٩-٢ : تكوين الأغشية الحيوية Biofilm Formation

الغشاء الحيوي هو تجمع ميكروبي منظم ملتصق بالسطح ومحاط ببوليمرات خارج خلوية تحتوي على سكريات، بروتينات والحمض النووي خارج الخلية (Extra cellular (DNA (eDNA) ويساعد الغشاء الحيوي على حدوث الإصابة من خلال حماية الخلايا من العوامل البيئية الضارة بما في ذلك المضادات الحيوية والجهاز المناعي للمضييف (Schilcher, ٢٠٢٠) وتساعد البوليمرات الخارج خلوية على تثبيت الغشاء الحيوي بالسطح مما يوفر للبكتيريا الحماية وت تكون الأغشية الحيوية من خلال ثلاث خطوات تبدأ بالالتصاق ثم نضوج الغشاء الحيوي الرقيق ، وبعدها التشتت (Gheorghe et al., ٢٠١٨) و يعد تكوين الأغشية الحيوية استراتيجية مهمة تستعمل من قبل أنواع من البكتيريا للبقاء على قيد الحياة عند التعرض للمركبات المضادة للميكروبات، وإن بكتيريا *S. aureus* و *P. aeruginosa* لهما القابلية على تكوين الأغشية الحيوية خلال الإصابات العينية كما جاء في هذه الدراسة (Heidari et al., ٢٠١٨).

١٠-٢ : مورثات مقاومة المضادات الحيوية للمكورات العنقودية الذهبية

١٠-٢-١: مورث *mecA* المقاومة للميثيسيلين (Gene

MecA هو مورث يحفز من ضراوة بكتيريا المكورات العنقودية الذهبية *S.aureus* عندما يشفر للبروتين الرابط للبنسيلين (Penicillin Binding Protein PBP2a) الذي يشتراك في البناء الحيوي للجدار الخلوي ، وهو صفة مميزة لسلالات MRSA إذ يحمل على الكروموسوم البكتيري (Naji and Abdal kareem ٢٠٢١) وتسمى المنطقة التي يقع فيها هذا

الجين بالشريط الكروموموني للمكورات العنقودية *Staphylococcal Cassette Chromosomes Mec* (SCCmec) ، ويتم تنظيمه من خلال المورثات التنظيمية مثبط المورث (mecI) ومحرض المورث (Hiramatsu *et al.*, ٢٠١٤) الموجودة ضمن الاوبoron (*mecA operon*) المحمول على الشريط الكروموموني البكتيري (Monecke *et al.*, ٢٠١٦) ان PBP2a ذو الوزن الجزيئي العالي لديه الفه منخفضة تجاه المضادات الحيوية من مجموعة البيتا لاكتام ، وتشمل البنسلينات (Penicillins) السيفالوسبورينات (Cephalosporins) وغيرها الذي يغير من موقع تفاعل مجموعة البيتا لاكتام كما يشكل طبقة الببتيوكلايكان في جدار البكتيريا ويعمل مع انزيمات البيتا لاكتام (β -lactamase) التي تحل حلقة بيتا لاكتام وتبطل فعالية المضادات الحيوانية وذلك يزيد من ضراوة البكتيريا (Uehara, ٢٠٢٢).

٢-١٠-٢: مورث *ermA* المقاومة للاريثروميسين (Resistance Gene Erythromycin)

مورث *erm* هو مختصر للمثيلة الرايبوسومية للاريثروميسين (erythromycin) وهو على أنواع عدة منها (*erm A, erm B, erm C*) (ribosome methylation)، وإن مورث *ermA* يشفر مثيلة لربط الحامض النووي الرايبوسومي غير منقوص الاوكسجين (Methylation of 23rRNA binding) وبدوره يشفر لمقاومة المضاد الحيوي الاريثروميسين الذي ينتمي الى مجموعة المايكروليدات (Macrolides) (Abbas *et al.*, ٢٠١٥; Florez-cuadrado *et al.*, ٢٠١٧) تضم مجموعة المايكروليدات المضادات الحيوية هذه (macrolide, lincosamide, streptogramin B(MLSB)) ، وقد ظهرت المقاومة لهذه المضادات فضلاً عن مضادات البيتا لاكتام بشكل متزايد لدى بكتيريا المكورات العنقودية الذهبية المقاومة للمثيسيلين (Wang *et al.*, ٢٠٢١) ويحمل هذا المورث بواسطة العنصر المتنتقل (transposon) المرتبط ب(Tn^{٥٥٤}) (Wang *et al.*, ٢٠٢١) كما توجد ثلاثة آليات مقاومة لمجموعة المضادات الحيوية المايكروليدات : أولاً آلية التدفق النشط (efflux pump) ، ثانياً آلية تعطيل الدواء وثالثاً آلية تعديل موقع الربط الرايبوسومي بواسطة المثيلة أو الطفرة في المورث (Ghanbari *et al.*, ٢٠١٦).

١١-٢: المورثات المشفرة لعوامل الضراوة في بكتيريا *S. aureus* و *P. aeruginosa*

١-١١-٢: مورث *hlb*

هو مورث يقع على الجزء الكروموموني (4 kb clai) من الحامض النووي منقوص الاوكسجين (DNA) ويشفر لإنتاج الديفان حال الدم الخارجي (Hemolysin) من نوع بيتا، وهو بروتين مكون من ٣٣٠ حامض اميني ويصل وزنه الجزيئي الى ٣٩٠٠٠ دالتون (Dinges *et al.*, ٢٠٠٠) تزداد الفعالية السمية له عند حضنه بدرجة حرارة اقل من ١٠ °م بعد حضنه عند درجة حرارة ٣٧ °م ، لذلك يعد ذيفان حال الدم بيتا متغير ويسمى الحار-البارد (Hot-Cold hemolysin) ويسمى أيضا sphingomyelinase و تقرزه غالبية بكتيريا *S. aureus* ، ويظهر نشاط انحلالي عالي ضد كريات الدم الحمراء في الأغنام ولكن ليس كريات الدم الحمراء في الارانب وأيضاً يسبب تلف الخلايا الكيراتينية مما يساعد البكتيريا على استعمار جلد الثدييات (Abril *et al.*, ٢٠٢٠)، ويحطم أيضاً خلايا المفاوية (Lymphocyte) والخلية وحيدة النواة (Monocyte) وخلايا الدم متعددة النوية (PMNL) للإنسان، ويحطم الدهون الاسفنجية (Sphingomyelin) لأغشية الخلايا حقيقة النوى مما يزيد من إمراضيه بكتيريا المكورات العنقودية الذهبية ولاسيما إصابة القرنية (Divyakolu *et al.*, ٢٠١٩).

٢-١١-٢: مورث *SEA*

مورث يشفر للذيفانات المعاوية العنقودية (Staphylococcal enterotoxin A)، وتعد من الذيفانات الداخلية التي تنتجهها بكتيريا *S. aureus* (Baz *et al.*, ٢٠٢١). إذ يقع هذا المورث على عناصر وراثية إضافية هي عاثيات بكتيريا (Prophage) (Szemraj *et al.*, ٢٠٢٠)، وإن (Enterotoxin A) هو بروتين احادي السلسلة يتكون من ٢٣٣ حامض اميني ويصل وزنه الجزيئي الى ٢٧٠٧٨ دالتون (Friedman *et al.*, ٢٠١١) و الذيفان المعاوي له دور في إصابات العيون ويسبب قرحة القرنية (Fujishima., ٢٠١٢; Sabouni *et al.*, ٢٠١٤) من خلال النقل الاقفي للمورثات التي تكسبها صفة إفراز الذيفان المعاوي مما يزيد من ضراوة البكتيريا ، لأنها تلعب دوراً في تعديل المناعة وتقرح القرنية، وتعد من المواد فائقة الضخ (Superantigens) لأن لها قدرة على ربط جزيئات معقد التوافق النسيجي الرئيس من الدرجة الثانية مما ينشط الخلايا التائية (T-cell) واطلاق الحركيات الخلوية (Cytokines) ، ويتسرب

بحدوث الحمى وانخفاض ضغط الدم (Johuson *et al.*, ٢٠٢١) ويرتبط الزيغان المعموي كثيراً بالتسمم الغذائي أي الامراض التي تنتقل عن طريق الطعام (Srimongkol *et al.*, ٢٠٢٠) بسبب مقاومته العالية للأنزيمات المحلاة للبروتين (Argudin *et al.*, ٢٠١٠) ويزداد وجوده في سلالات المكورات العنقودية المقاومة للمثيسيلين (MRSA) (Afzal *et al.*, ٢٠٢٢).

٣-١١-٢: مورث *exoA*

عبارة عن مورث يشفر للذيفانات الخارجية (exotoxin A) موجود في أكثر من ٩٠٪ من عزلات بكتيريا *P. aeruginosa* (Mokhtari and Amini, ٢٠١٩) يشفر له من قبل مورث (tox A) وبعد من عوامل الضراوة الأكثر سمية، هو زيفان يثبط تخلق البروتين في خلية المضييف (Kadim and Abed, ٢٠٢٢) عن طريق التسبب في ارتباط ADP-ribosylation لعامل استطالله ٢ من حقيقيات النوى وتعطيله (Tanom *et al.*, ٢٠١٣) وهو المسؤول عن نخر الأنسجة (Ghazaei *et al.*, ٢٠٢١)، ويبلغ الوزن الجزيئي لهذا البروتين ٦٦ كيلو دالتون (Jahromi *et al.*, ٢٠١٨) ويلعب دوراً رئيساً في إمراضيه بكتيريا *P. aeruginosa* التي تصيب مناطق مختلفة من أجسام الكائنات الحية مثل الدم، الجروح، العين وخمج القرنية (Pillar and Hobden, ٢٠٠٢; Yousefi –Avarvand *et al.*, ٢٠١٥).

٤-١١-٢: مورث *LasB*

هو عنصر الزنك المعدني zinc metallo protease (وهو مورث يشفر لأنزيم Elastase)، يمثل بروتينات خارجية (Exoprotein) ويبلغ الوزن الجزيئي للبروتين ٣٣ كيلو دالتون (Galdino *et al.*, ٢٠١٩) واحد ذيفانات بكتيريا *P. aeruginosa* التي تلعب دوراً مهماً في احداث الامراضية وحصول تلف شديد في الانسجة عند غزوها من قبل البكتيريا (Khattab *et al.*, ٢٠١٥) لأنه يعمل على تحليل بروتينات عدة للمضييف مثل الايلاستين (Elastin) الذي له دور مهم في سلامة الاوعية الدموية والمسؤول عن مرونته وكذلك مرونة الرئة، والكولاجين (Collagen) الذي يعمل على الحفاظ على سلامه الأغشية (Kessler and Safrin, ٢٠١٤) و يحل المادة المخاطية (Mucin) الذي يمثل حاجز وقائي للقرنية والعين فضلاً عن بروتينات السطح (Surfactant protein) التي تساعده في إزالة البكتيريا من سطح العين (Dave *et al.*, ٢٠٢٠) وقد أظهرت الدراسات إن تحطيم بروتينات المضييف بواسطة Elastase المنتج من قبل بكتيريا الزائفة الزنجارية له دور رئيس في مسار عدوى العين وبعد من عوامل الضراوة الرئيسية التي تسبب تلف الانسجة ودميرها ولاسيما في خمج القرنية

(Immunoglobulins) بسبب تحلل الكلوبيولين المناعي (Thibodeaux *et al.*, ٢٠٠٧) والفاييرين (Fibrin) (Ratajczak *et al.*, ٢٠٢١) ان *Las B* له دور في تكوين الأغشية الحيوية من خلال تنشيط (Nucleoside diphosphate kinase) داخل الخلية البكتيرية والتي يتم تنظيمها بواسطة آلية استشعار النصاب (Quorum sensing) (Cathcart *et al.*, ٢٠١١).

الفصل الثالث

المواد وطريقة العمل

Materials & Methods

٣- المواد وطرائق العمل Materials and Methods**١-٢: المواد Materials****١-١-٣: الأجهزة والأدوات المختبرية Equipments and Laboratory****apparatus**

الأجهزة والأدوات المختبرية المستعملة في هذه الدراسة مبينة في جدول (١-٣)

جدول (١-٣): الأجهزة والأدوات المختبرية

الرقم	اسم الجهاز او الأداة	الشركة المصنعة	المنشأ
١	أسطوانة زجاجية متدرجة cylinder	Jlassco	India
٢	الثلاجة Refrigerator	Beko	Turkey
٣	جهاز الترحيل الكهربائي Electrophoresis unit	Amersham	Sweden
٤	جهاز الطرد المركزي البارد عالي السرعة High Speed Cold centrifuge	Eppendorf	Germany
٥	جهاز الطرد المركزي Centrifuge	Hittich	Germany
٦	جهاز الفاينتك Compact Vitek ٢	Biomerieux	Italy
٧	جهاز تفاعل انزيم البلمرة PCR	biobase	China
٨	جهاز تقطير Water Distiller	Kottermann	Germany
٩	جهاز طرد مركزي صغير Micro-centrifuge	Hittich	Germany
١٠	جهاز قراءة للأليزا ELISA reader	Human	Germany
١١	جهاز قياس الحموضة PH meter	Getrohm AG	England

١٢		جهاز قياس الضوء الطيفي Spectrophotometer	Korea Tuder
١٣		حاضنة Incubator	Germany Memmert
١٤		حامل أنابيب Plastic rack	China Meheco
١٥		حمام مائي Water bath	Germany Memmert
١٦		دورق زجاجي Glass Beaker	Japan Iwaki glass
١٧		دورق مخروطي Conical flasks	USA BBL
١٨		صفحة ساخنة Hot plate	England Stuart
١٩		فرن Oven	Germany Memmert
٢٠		كابينة الزرع المجهرى Biological safety cabinet	Italy Bio air
٢١		كاميرا رقمية Digital camera	China Samsung
٢٢		مازج mixer Vortex mixer	Germany Heidolph
٢٣		ماسنات Pipette	Germany Slammed
٢٤		مايكرويف Microwave	China Gosonic
٢٥		جمدة Deep freeze	Italy Als
٢٦		مجهر ضوئي Light microscope	England Olympus
٢٧		مصباح بنزن Burner	India Himedia
٢٨		المؤصدة Autoclave	Japan Hirayama
٢٩		ميزان حساس Balance sensitive	Germany Sartorius
٣٠		الناقل الزرعي القياسي Standard wire loop	India Himedia

٢-١-٣ : المواد ذات الاستعمال الواحد **Disposable Materials**

المواد ذات الاستعمال الواحد المستخدمة في هذه الدراسة مبينة في جدول (٢-٣)

الجدول (٢-٣) : المواد ذات الاستعمال الواحد

المنشأ	الشركة	اسم المادة	ت
Jordan	Afco-Dipo	اطباق بلاستيكية Disposable petri dishes	١
Germany	Slamed	اطراف الماصة الدقيقة Micropipette tips	٢
Germany	Sartorius	انابيب ابندروف Eppendorf tube	٣
Jordan	Afco-Dipo	انابيب مختبرية (Tubes) حجم ١٠ مل	٤
China	Sail Brand	شرائح المجهر Microscope slide	٥
China	Sail Brand	غطاء شريحة زجاجية cover slide	٦
China	HDA	قطن طبي Cotton	٧
Malaysia	Broche	قفازات مطاطية Latex Gloves	٨
China	Amies	مسحة قطنية مع وسط ناقل Sterile Transport Medium Swab	٩
Germany	Sartorius	ورق ترشيح Filter paper	١٠

٣-١-٣- المواد الكيميائية والصبغات Chemicals material and Stain

جدول (٣-٣) يبين اهم المواد الكيميائية والمحاليل والصبغات المستعملة في هذه الدراسة

جدول (٣-٣): المواد الكيميائية والصبغات

المنشأ	الشركة	اسم المادة	ت
U.S.A	Biobasic INC	انزيم تحليل الخلايا lysozyme	١
England	BDH	بieroكسيد الهيدروجين hydrogen peroxide (H _٢ O _٢)	٢
Korea	Add bio	سلم الدنا - (١٠٠ - ١٥٠٠ bp) DNA Marker Ladder(١٠٠ - ١٥٠٠ bp)	٣
England	BDH	صبغة احمر المثيل Methyl Red	٤
Korea	Intron	صبغة التحميل Loading dye	٥
U.S.A.	Promega	صبغة بروميد الايثيديوم Ethidium bromide dye	٦
England	BDH	الفانثول Alpha-naphthol	٧
England	BDH	كافش الاوكسيديز Oxidase Reagent	٨
India	Himedia	كافش كوفاكس Kovacs Reagent	٩
India	Himedia	كحول الايثانول المطلق Absolute ethanol	١٠
England	BDH	كليسيرول Glycerol	١١
Korea	Add bio	ماء منزوع الأيونات Deionize Water	١٢
France	Syrbio	محاليل صبغة كرام Gram stain	١٣
U.S.A	Biobasic Inc.	محلول الترحييل الداري- Tris-Borate- EDTA(TBE) buffer	١٤
Iraq	Pioneer	المحلول الملحي الفسلجي Normal saline	١٥
Korea	Add bio	مياه خالية من النيوكليلاز Nuclease free water	١٦
U.S.A	Promega	هلام الاكاروز Agarose	١٧

England	BDH	Potassium Hydroxide	١٨
---------	-----	---------------------	----

٤-١-٣ : العدد Kits

جدول (٤-٣) يبين اهم العدد المستعملة في هذه الدراسة

جدول (٤-٣) : العدد Kits

المنشأ	الشركة	العدد Kits	ت
Korea	Intron	عدة استخلاص الحمض النووي الجيني Genomic DNA extraction kits	١
Korea	Bioneer	Taq master mix	٢
France	Biomirieux,INC	شرطة جهاز الفايتك Vitek [®] gram positive Vitek [®] gram negative Vitek [®] Antimicrobial susceptibility test	٣

٣-١-٥: الأوساط الزرعية Culture Media

جدول (٥-٣) يبين كل الأوساط الزرعية المستعملة في عزل البكتيريا في هذه الدراسة

جدول (٥-٣): الأوساط الزرعية

المنشأ	الشركة	اسم الوسط	ت
India	Himedia	Blood agar base	١
India	Himedia	وسط نقح العصب والدماغ infusion broth	٢
India	Himedia	Cetrimide agar	٣
India	Himedia	MacConkey agar	٤
India	Himedia	Mannitol salt agar	٥
India	Himedia	الغشاء المغذي Nutrient agar	٦
India	Himedia	Simmons citrate agar ستريت	٧
India	Himedia	غشاء اليوريا الأساس Urea-base agar	٨
India	Himedia	الوسط السائل المغذي Nutrient Broth	٩
Oxoid	England	وسط ماء الببتون المغذي Peptone water broth	١٠
Oxoid	England	وسط أحمر المثيل - فوكس بروسكاور السائل Methyl red-Voges proskauer	١١

٦-١-٣ : المضادات الحيوية Antibiotics

كل المضادات الحيوية التي استعملت في هذه الدراسة لاختبار الحساسية مجهزة من شركة BioMerieux الفرنسية المبينة في جدول (٦-٣)

جدول (٦-٣) : المضادات الحيوية المستخدمة في الدراسة

الرمز	اسم المضاد	ت	الرمز	اسم المضاد	ت
PIP	Piperacillin	١٩	AM	Amoxicillin	١
LEV	Levofloxacin	٢٠	AMC	Amoxicillin-Clavulanic Acid	٢
IEM	Imipenem	٢١	penG	Benzylpenicillin	٣
T	Ticarcillin	٢٢	OXC	Oxacillin	٤
NOR	Norfloxacin	٢٣	FOX	Cefalexin	٥
MEM	Meropenem	٢٤	FOX	Cefixime	٦
MOX	Moxifloxacin	٢٥	CEP	Cefpodoxime	٧
E	Erythromycin	٢٦	FEP	Cefepime	٨
CD	Clindamycin	٢٧	CED	Cefadroxil	٩
LIN	Linezolid	٢٨	CTX	Cefotaxime	١٠
VAN	Vancomycin	٢٩	CIP	Ciprofloxacin	١١
CLR	Clarithromycin	٣٠	C	Colistin	١٢
TE	Tetracycline	٣١	CAZ	Ceftazidime	١٣
TGC	Tigecycline	٣٢	TIM	Ticarcillin\Clavulanic acid	١٤
FA	Fusidic Acid	٣٣	AK	Amikacin	١٥
RA	Rifampicin	٣٤	CN	Gentamicin	١٦
TS	Trimethoprim\Sulfamet hoxazole	٣٥	TOB	Tobramycin	١٧
AZM	Azithromycin	٣٦	TEC	Teicoplanin	١٨

٣-١-٧-٢: المواد والمحاليل المستعملة في الكشف عن هيمولايسين بيتا وفعاليته:

٣-١-٧-١-٣: الوسط المعرف كيميائيا (Chemical defined medium(CDM))

الوزن بالغرام	المادة
٢.٣	فوسفات البوتاسيوم أحادية الهيدروجين (K_2HPO_4)
٠.٧٨	فوسفات البوتاسيوم ثنائية الهيدروجين (KH_2PO_4)
١	كبريتات الامونيوم ($(NH_4)_2SO_4$)
٠.١	كبريتات المغnesium ($MgSO_4$)
٠.٦	بنزوات الصوديوم ($Na_3C_7H_5O_7$)

حضر الوسط كما جاء في (Synder and Koch, ١٩٦٦) بإضافة كل من هذه المواد المذكورة آنفاً إلى ٩٠٠ مل من الماء المقطر وأكمل الحجم إلى ١٠٠٠ مل وضبط الرقم الهيدروجيني إلى ٤.٧ وعمق جهاز المؤصلة بدرجة حرارة (١٢١م°) وضغط (١٥ باوند/انج°) لعشرين دقيقة وبعد ذلك تم إضافة ٢٠٪ سكر الكلوكوز الذي تم تعقيمه مسبقاً باستخدام مرشح دقيق (Millipore filter) قطر ثقبه (٠.٤٥ ميكرومتر).

٣-١-٧-٢: عالق خلايا الدم الحمر RBCs suspension

جمع (١٠) مل من دم الأغنام ووضع في قنينة حاوية على مادة مانعة للتختثر، وبعدها تم فصل كريات الدم الحمراء بواسطة جهاز النبذ المركزي بسرعة (١٢٠٠ دورة / دقيقة) ولعشرين دقيقة ثم غسلت بمحلول داري الفوسفات الملحي وعلقت به بنسبة (٢٪).

٣-١-٧-٣: المنحنى القياسي لتحلل الدم باستخدام تراكيز متدرجة من كلوريد الصوديوم

رسم المنحنى القياسي لتحلل الدم كما جاء في (Norddin *et al.*, ٢٠١٠)، إذ حضرت تراكيز متدرجة من محلول كلوريد الصوديوم باستخدام الماء المقطر ، ثم مزج (٣) مل من كل تركيز ملحي من هذه التراكيز مع (١) مل من خلايا الدم الحمر المغسولة والمعلقة بالداري الفسلجي، بعدها حضنت الأنابيب بدرجة حرارة الغرفة لساعة واحدة ، ثم رسبت الأنابيب على سرعة (١٢٠٠ دورة / دقيقة) ل ٣٠ دقيقة، بعدها قرأت الامتصاص للراشح بعد فصله عن الراسب على طول موجي (٤١٢nm)، علمًا إن أول أنبوبة وضع فيها ماء مقطر مع عالق خلايا

الدم الحمر فقط، وأخذت الامتصاصية لها أيضاً، لاستخراج التراكيز التي سببت تحلل دموي بنسبة ٥٠٪ كما في الجدول (٧-٣) وحسب العلاقة الآتية:

$$\text{Hemolysis} = \frac{A}{A_1} * 100\%$$

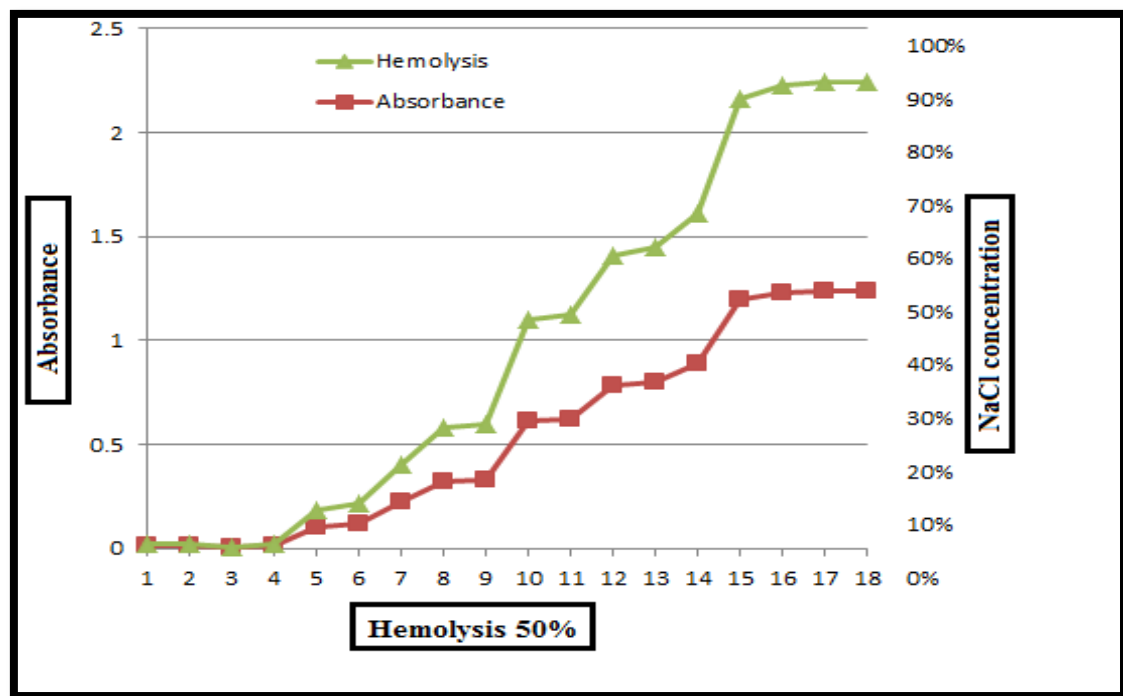
ان A: تمثل قيمة الامتصاص الصغرى.

A: تمثل قيمة الامتصاص العظمى.

جدول (٧-٣): التراكيز المتدرجة من محلول كلوريد الصوديوم وقيمة الامتصاصية لكل تركيز مع التحلل الدموي بنسبة (٥٠٪)

رقم الانبوبة	تركيز كلوريد الصوديوم (غم / ١٠٠ مل)	الامتصاصية على طول موجي (٤١٢ nm)	التحلل الدموي بنسبة (٥٠٪)
١	٠.٩٠٪	٠.٠١٢	٠.٩٧
٢	٠.٨٥٪	٠.٠١١	٠.٨٩
٣	٠.٨٠٪	٠.٠٠٢	٠.١٦
٤	٠.٧٥٪	٠.٠١١	٠.٨٩
٥	٠.٧٠٪	٠.١٠١	٨.١٤
٦	٠.٦٥٪	٠.١١٩	٩.٥٩
٧	٠.٦٠٪	٠.٢٢١	١٧.٨١
٨	٠.٥٥٪	٠.٣٢١	٢٥.٨٧
٩	٠.٥٠٪	٠.٣٣١	٢٦.٦٧
١٠	٠.٤٥٪	٠.٦١١	٤٩.٢٣
١١	٠.٤٠٪	٠.٦٢١	٥٠.٠٤
١٢	٠.٣٥٪	٠.٧٨١	٦٢.٩٣
١٣	٠.٣٠٪	٠.٨٠١	٦٤.٥٤
١٤	٠.٢٥٪	٠.٨٩١	٧١.٨
١٥	٠.٢٠٪	١.١٩٨	٩٦.٥٤
١٦	٠.١٥٪	١.٢٣٣	٩٩.٣٦
١٧	٠.١٠٪	١.٢٤١	١٠٠

١٠٠	١٢٤١	٠٠	١٨
-----	------	----	----



← الشكل (١-٣) : المنحنى القياسي للتحلل الدموي باستخدام تراكيز متدرجة من ملح كلوريد الصوديوم

٨-١-٣ : البادئات Primers

البادئات المستعملة في هذه الدراسة تم تجهيزها من شركة (Macrogen) الكورية وتشمل

- بادئات بكتيريا المكورات العنقودية الذهبية *S. aureus* والموضحة في جدول (٨-٣) :

جدول (٨-٣) : بادئات بكتيريا المكورات العنقودية الذهبية

المصادر	حجم (bp) الناتج	تسلسل القواعد النيتروجينية		اسم البادئ
		٥'	٣'	
Braoios, et al. ٢٠٠٩	٣١٠	F	GTAGAAATGACTGAACGTCCGATAA	<i>MecA</i>
		R	CCAATTCCACATTGTTCGGTCTAA	
Jarraud, et al. ٢٠٠٢	٣٠٩	F	GTGCACTTACTGACAATAGTGC	<i>hl b</i>
		R	GTTGATGAGTAGCTACCTTCAGT	
Nam, et	١٠٢	F	GGT TAT CAA TGT GCG GGT GG	<i>SEA</i>

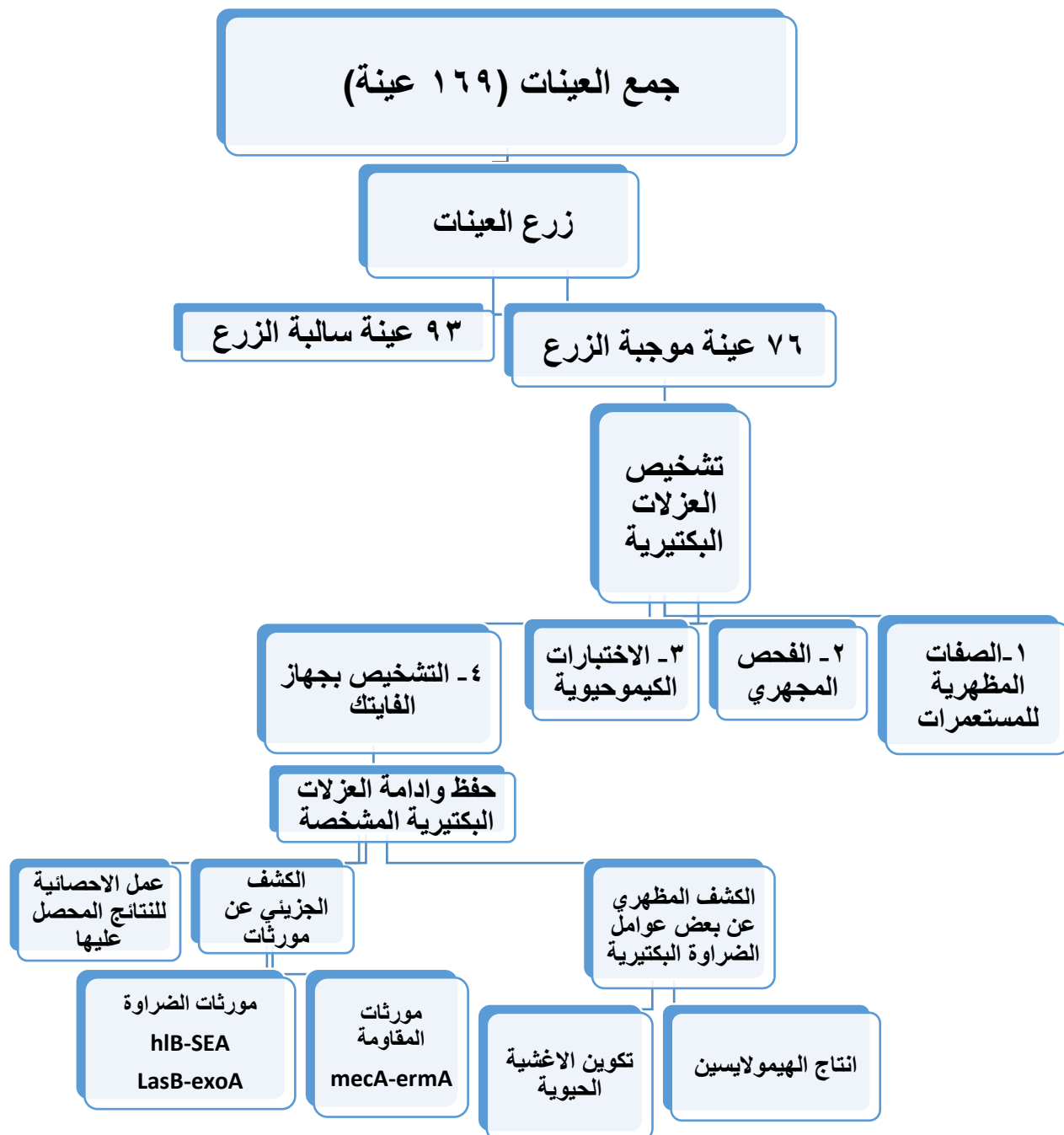
al.٢٠١١		R	CGG CAC TTT T TT CTC TTC GG	
		F	CTTCGATAGTTATTAAATATTAGT	
Safain, ٢٠٢٠	٦٤٥	R	TCTAAAAAGCATGTAAAAGAA	<i>ermA</i>

• بادئات بكتيريا الزائفية الزنجارية *P. aeruginosa* الموضحة في جدول (٩-٣):

جدول (٩-٣): بادئات بكتيريا الزائفية الزنجارية

المصادر	حجم (bp) الناتج	تسلسل القواعد النيتروجينية ٥٠ _____ ٣٠		اسم البادئ
Ghazaei, ٢٠٢١	٣٩٦	F	GACAACGCCCTCAGCATCACCGAGC	<i>Exo A</i>
		R	CGCTGGCCCATTGCTCCAGCGCT	
Ghazaei, ٢٠٢١	٣٠٠	F	GGAATGAACGAAGCGTTCTC	<i>Las B</i>
		R	GGTCCAGTAGTAGCGGGTTGG	

٩-١-٣: تصميم الدراسة Study design



شكل (٢-٣): مخطط توضيحي لخطوات العمل المتبعة في هذه الدراسة

٢-٣ : طرائق العمل Methods

١-٢-٣ : جمع العينات السريرية Collection of clinical samples

جمعت (١٦٩) مسحة من المرضى المصابين باختناق العيون ومن ثلاث مناطق هي الملتحمة ، القرنية والاجفان و المراجعين لاستشارية العيون في مستشفى الحسن المجتبى (ع)، مستشفى الهندية العام ومركز السيدة زينب (ع)التخصصي للعيون في محافظة كربلاء المقدسة ، إذ تراوحت أعمارهم من (١٧٥) سنةً ومن كلا الجنسين ذكور وأناث للمرة من آب ٢٠٢٢ ولغاية كانون الثاني ٢٠٢٣ ، واعتمدا على التشخيص الطبي من قبل الأطباء الاختصاص عملت استمارة خاصة لكل مريض تضمنت بعض المعلومات المهمة التي شملت اسم المريض ، العمر ، الجنس ، السكن و الامراض المزمنة وكما مبين في الاستمارة رقم (١) الملحق ، وبعد ذلك جمعت العينات باستعمال مسحات قطنية معقمة وذلك بتدويرها على الجزء المصايب بلطف ، كما جاء في (٢٠١٩) Gwenhure and shepherd, ثم نقلت المسحات مع وسطها الزرعي الناقل(Transport media) إلى مختبر الأحياء المجهرية في مستشفى الحسن المجتبى(ع) من أجل زرعها على الأوساط العامة وسط غراء الدم (Blood agar) و التفريقية وسط الماكونكي (MacConkey agar) والانتقائية (وسط المانitol salt agar) ووسط Mannitol salt agar وسط المستريماید (Cetrimide agar) وحضرت بدرجة ٣٧م لمدة ٢٤ ساعةً لغرض تنمية وعزل البكتيريا.

٢-٢-٣ : التعقيم Sterilization

تم التعقيم باستعمال ثلاثة طرق (Barer and Irving, ٢٠١٨) :

A – التعقيم بالحرارة الرطبة Wet Hot Sterilization

تم تعقيم كل الأوساط الزرعية المستخدمة في الدراسة والتي لا تتأثر بالحرارة باستعمال جهاز المؤصدة Autoclave وبدرجة حرارة ١٢١م وضغط ١٥ باوند/انج ٢ لمدة ١٥ دقيقة.

B – التعقيم بالحرارة الجافة Dry Hot Sterilization

عقمت المواد الأخرى مثل الأدوات الزجاجية بالفرن الكهربائي Oven بدرجة حرارة ١٦٠م لساعتين.

C – التعقيم بالترشيح Filtration Sterilization

عقمت المحاليل التي تتأثر بالحرارة بواسطة مرشحات دقيقة (Millipore filters) بقطر .٢٢٠ مايكرومتر.

٣-٢-٣: تحضير الأوساط الزرعية Preparation of Culture Media**٣-٢-٣-١: الأوساط الزرعية الجاهزة Ready Made Media****٣-٢-٣-١-١: وسط غراء الماكونكي MacConkey Agar**

حضر هذا الوسط بحسب تعليمات الشركة المجهزة وذلك بإذابة ٥١.٥ غم من الوسط في لتر من الماء المقطر وعقم بجهاز المؤصدة ثم ترك ليبرد الى درجة (٤٥-٥٠) م° وصب بعدها في اطباق معقمة. واستعمل هذا الوسط كوسط تفريقي لعزل البكتيريا السالبة لصبغة كرام وتشخيصها من خلال قدرتها على تخمر سكر اللاكتوز (Jacob *et al.*, ٢٠٢٠).

٣-٢-٣-٢-٢: وسط غراء المانيتول الملحي Mannitol salt Agar

حضر هذا الوسط بحسب تعليمات الشركة المجهزة بإذابة ١٠٨ غم من الوسط في لتر من الماء المقطر، وعقم بجهاز المؤصدة ثم ترك ليبرد الى درجة (٤٥-٥٠) م° وصب بعدها في اطباق معقمة، استعمل كوسط انتقائي لبكتيريا المكورات العنقودية الذهبية لعزلها وتشخيصها من خلال قابليتها على تحمل ملوحة الوسط لاحتواه على نسبة عالية من الاملاح التي تثبط نمو أنواع أخرى من البكتيريا فضلا عن قابليتها على تخمر سكر المانيتول وتحويل لون الوسط الى اللون الأصفر (Ayeni *et al.*, ٢٠١٧).

٣-٢-٣-٢-٣-٣: وسط غراء المغذي Nutrient Agar

حضر هذا الوسط بحسب تعليمات الشركة المجهزة بإذابة ٢٨ غم من الوسط في لتر من الماء المقطر وعقم بجهاز المؤصدة ثم ترك ليبرد الى درجة حرارة (٤٥-٥٠) م° وصب بعدها في اطباق وانابيب معقمة وبعدها استعمل في تتميمه وحفظ العزلات البكتيرية (MacFaddin, ٢٠٠٠).

٣-٢-٣-٢-٣-٤: وسط غراء الستريت Simmons Citrate Agar

حضر هذا الوسط حسب تعليمات الشركة المجهزة بإذابة ٢٤.٢٨ غم من مسحوق الوسط في لتر من الماء المقطر، وعمق بجهاز المؤصدة ثم ترك ليبرد الى درجة حرارة (٤٥-٥٠) °م ثم وزع في أنابيب نظيفة ومعقمة وبعدها ترك ليتصلب بصورة مائلة واستعمل هذا الوسط للكشف عن قابلية البكتيريا على استخدام السترات كمصدر وحيد للكاربون (Cheng *et al.*, ٢٠١٢).

٢-٣-٢-٢: الأوساط الزرعية التركيبية Laboratory Prepared Media

١-٢-٣-٢-٢: وسط غراء الدم الأساس Blood Agar Base

حضر هذا الوسط حسب تعليمات الشركة المجهزة وذلك بإذابة ٤٠ غم من مسحوق الوسط في لتر من الماء المقطر ثم تم تعقيميه في المؤصدة وبعد انتهاء عملية التعقيم برد الى درجة حرارة (٤٠-٤٥) °م واضيف اليه نسبة ٥٪ من دم الانسان ثم صب في اطباق معقمة واستعمل كوسط اغذائي في عزل وتشخيص البكتيريا فضلاً عن ملاحظة قدرة البكتيريا على تحل خلايا الدم الحمر من خلال مناطق تحل الدم (Hemolysis) Niederstebruch *et al.* (٢٠١٧).

٢-٢-٣-٢-٢: وسط اكار الستريماید Cetrimide Agar

حضر هذا الوسط حسب تعليمات الشركة المجهزة بإذابة ٤٦.٧ غم من الوسط في لتر من الماء المقطر ثم اضيف اليه ١٠ ميلتر من الكليسيرول وبعدها عقم بجهاز المؤصدة ثم ترك ليبرد الى درجة (٤٥-٥٠) °م وصب بعدها في اطباق معقمة، استعمل كوسط انتقائي لعزل وتشخيص بكتيريا الزوائف الزنجارية (Hashim, ٢٠١٣).

٣-٢-٣-٢-٢: وسط نقيع القلب والدماغ السائل Brian-Heart infusion broth

حضر هذا الوسط حسب تعليمات الشركة المجهزة بإذابة ٣٧ غم من الوسط في لتر من الماء المقطر، عقم بجهاز المؤصدة ثم ترك ليبرد الى درجة حرارة (٤٥-٥٠) °م ووزع في أنابيب معقمة وتم استخدام هذا الوسط لغرض تنمية وتنشيط العزلات البكتيرية فضلاً عن حفظ هذه العزلات بعد إضافة ١٥-٢٠٪ جليسيرول الى الوسط السائل بعد تعقيمه (ALmayyahi, ٢٠١٨)

٤-٢-٣-٢-٢: وسط غراء اليوريا Urea Agar

حضر هذا الوسط حسب تعليمات الشركة المجهزة بإذابة ٢٤ غم من اكار الاليوريا الأساس في لتر من الماء المقطر، وعقم بجهاز المؤصدة ثم ترك ليبرد الى درجة حرارة (٤٥)° وبعدها تم إضافة ٥٠ مل من محلول الاليوريا (٤٠%) المعقم بالترشيح وصب بعد ذلك في أنابيب معقمة بمقدار ٥٠ مل لكل أنبوبة واستخدم هذا الوسط للكشف عن قابلية البكتيريا على إنتاج إنزيم Urease الذي يحلل الاليوريا إلى أمونيا وثاني أوكسيد الكاربون (MacFaddin, ٢٠٠٠).

٤-٢-٣: المحاليل الكيميائية والكوافر Reagent

١-٤-٢-٣: محلول الملحي الفسيولوجي Normal Saline

حضر محلول الملحي بإذابة ٨٥.٠ غم من كلوريد الصوديوم NaCl في ٥٠ مل من الماء المقطر، وبعد اكتمال ذوبانه أكمل الحجم إلى ١٠٠ مل من الماء المقطر (Suwansaksri et al., ٢٠٠٣).

٢-٤-٢-٣: محلول ماكفريلاند (Macfarland Solution)

تم الحصول على محلول ماكفريلاند (٠.٥) جاهز من مختبر الصحة العام في دائرة صحة كربلاء المقدسة، واستعمل هذا محلول للوصول إلى عدد تقريري للخلايا البكتيرية يقدر (٠.٥ X١٠٨) خلية لكل ملليلتر (Esther and Fatima, ٢٠٢٠).

٣-٤-٢-٣: داري الفوسفات الملحي (Phosphate Buffer Saline(PBS))

حضر الداري بإذابة ٨ غم من كلوريد الصوديوم، ٣.٠ غم من فوسفات البوتاسيوم أحادية الهيدروجين و ١.١٢ غم من فوسفات البوتاسيوم ثنائية الهيدروجين في ٥٠٠ ملليلتر تقريراً من الماء المقطر ثم أكمل الحجم إلى اللتر وتم ضبط رقمه الهيدروجيني إلى ٧.٢، وبعد ذلك عقم بجهاز المؤصدة ثم حفظ بدرجة حرارة ٤ م لحين الاستعمال (MacFaddin, ٢٠٠٠).

٤-٤-٢-٣: كاشف الكاتاليز Catalase reagent

حضر الكاشف وذلك بخلط ٣ مل من بيروكسيد الهيدروجين H_٢O_٢ في ١٠٠ مل من الماء المقطر واستعمل للكشف عن قدرة البكتيريا على إنتاج إنزيم الكاتاليز (Tille, ٢٠١٥).

٥-٤-٢-٣: كاشف الاوكسیديز Oxidase reagent

حضر الكاشف انيا بإذابة ١ غم من مادة رباعي مثيل بارا فنيلين ثنائي أمين ثنائي هيدروكلورايد (Tetra methyl P-phenylen diamine dihydrochlorid) في ١٠٠ مل من الماء المقطر في قنية معتمة واستخدم بعد ذلك للتحري عن قدرة البكتيريا على إنتاج إنزيم الاوكسيديز (Tille, ٢٠١٥).

٤-٦-٦: صبغة غرام Gram Stain

استعملت هذه الصبغة الجاهزة المكونة من (صبغة البنفسج البلوري Crystal Violet، محلول الأيدين Iodine Solution، الكحول المطلق وصبغة السفرانين Sufranine) لدراسة الخصائص المظهرية للبكتيريا المعزولة ولغرض تفريق البكتيريا إلى سالبة أو موجبة لصبغة غرام.

٤-٦-٧: محلول صبغة البنفسج البلوري

حضر محلول صبغة البنفسج البلوري بتركيز ١٪ و ذلك بإذابة ١٠٠ غم من الصبغة في ١٠ مل من الميثanol المطلق وبعد ذوبانه بصورة تامة أكمل الحجم إلى ١٠٠ مل بالماء المقطر اذ استعمل هذا محلول للتحري عن قابلية البكتيريا على تكوين الغشاء الحيوي (Wood and Leesbug, ٢٠١٠).

٤-٦-٨: كاشف احمر المثيل Methyl Red reagent

حضر بإذابة ١٠٠ غم من صبغة احمر المثيل في ٣٠٠ مل من ٩٥٪ كحول اثيلي ثم أكمل الحجم إلى ٥٠٠ مل باستخدام الماء المقطر ، وتم استخدامه للكشف عن التحلل الكلي لسكر الكلوكوز (MacFaddin, ٢٠٠٠).

٤-٦-٩: كاشف فوكس بروسكاور Voges- Proskauer reagent

ويتكون من محلولين:

محلول (A) هيدروكسيد البوتاسيوم KOH: حضر بإذابة ٤٠ غم من المادة في ٩٠ مل من الماء المقطر ثم أكمل الحجم إلى ١٠٠ مل.

محلول (B) الفانفثول Alpha-nephthol : حضر بإذابة ٥ غم من المادة في ٩٠ مل من الكحول этиيلي بتركيز ٩٩٪ ثم أكمل الحجم إلى ١٠٠ مل باستعمال الكحول نفسه.

واستعمل هذا الكاشف للتحري عن قابلية البكتيريا على تخمير سكر الكلوكوز وإنتاج Acetyl Methyl Carbinol في اختبار الفوكس - بروسكالور (MacFaddin, ٢٠٠٠).

٣-٢-٥: زرع المسحات Swab Culture

تم زراعة المسحات المأخوذة من عيون المصابين على وسط غراء الدم Blood agar وغراء الماكونكي MacConkey agar بطريقة التخطيط وحضنت بدرجة حرارة ٣٧°C لمدة ٤ ساعات من أجل التحري عن البكتيريا الموجبة والسلبية لصبغة غرام.

٣-٢-٦: تشخيص العزلات البكتيرية Identification Of Bacterial Isolates

شخصت البكتيريا بالاعتماد على الصفات الزرعية والمجهرية بالإضافة إلى الفحوصات الكيمويوية وكما يلي:

٣-٢-٦-١: الصفات الزرعية Cultural Characteristics

تم دراسة الصفات المظهرية للعزلات البكتيرية النامية على الأوساط الزرعية أولاً بالاعتماد على الصفات المظهرية التي تتضمن شكل، لون المستعمرة، حجم المستعمرة وحافاتها وارتفاعها وقوامها ورائحتها (Jasim, ٢٠٢٠).

٣-٢-٦-٢: الفحوصات المجهرية Microscopic Examination

اجري الفحص المجهي للخلايا البكتيرية تحت المجهر من خلال عمل مسحة بكتيرية ثم تصبيغها بصبغة غرام بواسطة نقل جزء من المستعمرة البكتيرية بواسطة عروة الناقل Loop إلى شريحة زجاجية نظيفة وبعد تثبيتها بالحرارة وتصبيغها فشخصت تحت العدسة الزيتية للمجهر الضوئي لمعرفة شكل وترتيب الخلايا البكتيرية وطبيعة تفاعلها مع الصبغة (Froböse et al., ٢٠٢٠).

وبعد التشخيص الأولي تم زراعتها على الأوساط الانتقائية المتمثلة بوسط غراء المانitol الملحي (Mannitol salt Agar) (Sivaraman et al., ٢٠٢١).

ووسط غراء الستريمايد (Cetrimide Agar) لتمييز وتشخيص بكتيريا *P. aeruginosa* لأنه لا يسمح بنمو أي نوع آخر من البكتيريا (Alonso *et al.*, ٢٠٢٠).

٣-٦-٢-٣: الفحوصات الكيموحيوية Biochemical tests

١: فحص الكاتلizer Catalase test

نقل جزء من مستعمرة بكتيرية بعمر (١٨-٤٢) الى شريحة زجاجية ومن ثم وضع فوقها قطرة من كاشف بيروكسيد الهيدروجين ٣% ان ظهور الفقاعات دلالة على إيجابية الفحص وان البكتيريا لها القابلية على انتاج انزيم Catalase الذي يحل كاشف H_2O_2 الى اوكسجين وماء (Reiner, ٢٠١٠).

٢: فحص الاوكسيديز Oxidase test

وضعت قطرة من كاشف الاوكسيديز على ورقة ترشيح نظيفة ثم نقل جزء من المستعمرة البكتيرية بواسطة عود خشبي معقم على ورقة الترشيح ان تحول لون المستعمرة الى اللون البنفسجي خلال ثواني دليل على إيجابية الفحص (Shields and Cathcart, ٢٠١٠).

٣: فحص انتاج انزيم التجلط Coagulase test

وضع ٥ مل من بلازما دم الانسان في انبيب معقم ثم نقلت مستعمرة بكتيرية بعمر (١٨-٤٢) ساعة بواسطة عود خشبي معقم الى الانابيب الحاوية على البلازما وبعد مزجها جيداً حضنت بدرجة حرارة (٣٧-٣٥) م° لمدة أربع ساعات ان تجلط البلازما دليل على إيجابية الفحص (Katz, ٢٠١٠).

٤: اختبار الاندول (Indole test)

لتح وسط ماء البيتون السائل المحضر حسب تعليمات الشركة بمستعمرة بكتيرية بواسطة عروة الناقل المعقم ثم حضن الوسط بدرجة حرارة ٣٧ م° لمدة ٢٤ الى ٤٨ ساعة بعد ذلك تمت إضافة خمس قطرات من كاشف كوفاكس على السطح الداخلي للأنبوبة ان ظهور حلقة حمراء خلال ثوان دليل على إيجابية الفحص وان البكتيريا لها القابلية على تحويل الحامض الاميني Tryptophanases الى Indole نتيجة امتلاكها انزيم Tryptophan (MacWilliam, ٢٠١٢).

Voges-Proskauer test

للحوض MR-VP حسب تعليمات الشركة بالبكتيريا المراد فحصها ثم حضن بعد ذلك لمدة ٢٤ ساعة بدرجة حرارة ٣٧ م° ومن ثم أضيف لها ٦٠ مل من محلول كاشف الفانقثول و ٢٠ مل من محلول هيدروكسيد البوتاسيوم ويمزجان معا في أنبوبة الاختبار ان تحول لون الوسط من اللون الأصفر إلى اللون الوردي دليلا على إيجابية الفحص .(McDevitt, ٢٠٠٩)

Methyl red test

للحوض MR-VP بالبكتيريا المراد فحصها ثم حضن بعد ذلك لمدة ٢٤ ساعة بدرجة حرارة ٣٧ م° ثم أضيفت ٥ قطرات من كاشف احمر المثيل وعند ظهور اللون الأحمر دليلا على إيجابية الفحص وإن البكتيريا لها القدرة على تخمر سكر الكلوكوز وإنتاج الأحماض .(McDevitt, ٢٠٠٩)

Citrate utilization test

للحوض غراء السترات السيمون المائل Simmons citrate slant بالبكتيريا المراد الكشف عن قابليتها على استهلاك السترات كمصدر وحيد للكربون ثم حضنت بعد ذلك لمدة (٤٨-٢٤) ساعة بدرجة حرارة ٣٧ م° ان تغير لون الوسط من الأخضر إلى الأزرق دلالة على إيجابية الفحص .(MacWilliams, ٢٠٠٩).

Urease test

تم تلقيح وسط اكار اليوريا المائل Urea agar slant بالمستعمرة البكتيرية المراد الكشف عن قابليتها على انتاج انزيم Urease المحلل لليوريا ثم حضنت بعد ذلك لمدة (٤٨-٢٤) ساعة بدرجة حرارة ٣٧ م° ان تغير لون الوسط إلى اللون الوردي دلالة على إيجابية الفحص .(MacFaddin, ٢٠٠٠)

Hemolysis test

زرعت البكتيريا على وسط غراء الدم Blood agar بطريقة التخطيط ثم حضنت بعد ذلك لمدة ٢٤ ساعة بدرجة حرارة ٣٧ م° في ظروف هوائية للكشف عن قدرة البكتيريا المعزولة

على تحليل خلايا الدم الحمر وملاحظة نوع التحلل حول المستعمرات البكتيرية كامل او جزئي (Zhang *et al.*, ٢٠١٦).

٧-٢-٣: تشخيص البكتيريا المعزولة بجهاز الفايتك Vitek-٢ system

جهاز الفايتك من الأجهزة الدقيقة في التشخيص الجرثومي، ويعطي نتائج دقيقة تصل نسبة دقتها إلى ٩٩٪ في وقت قصير، يحتوي على بطاقات الكترونية Card خاصة لكل نوع من الأحياء المجهرية ويتم العمل بها حسب تعليمات الشركة المصنعة BioMerieux Company: (France) وكما يلي:

- ١ - تحضير العالق البكتيري المراد تشخيصه من خلال نقل (٣-٢) مستعمرة بكتيرية بعمر ١٨-٤ ساعة إلى أنبوبة معقمة تسمى أنبوب البوليستيرين (Polystyrene tube) تحتوي ٣ مل من محلول الملحي الفسيولوجي المعقم Normal saline ثم يمزجان معاً بواسطة جهاز المازج .Vortex
- ٢ - قياس عكورة العالق البكتيري بجهاز ضبط العكورة (Densi-Chek) وضبطها بين (٥٠.٥-٦٢) ماكفرلاند، ثم نقل مقدار من هذا المزيج إلى بطاقات خاصة بكل نوع.
- ٣ - يتم تشخيص البكتيريا الموجبة لصبغة غرام بكاسيت GP-ID وتشخيص البكتيريا السالبة لصبغة غرام بكاسيت GN-ID ثم يتم غمر حامل الكاسيت في أنبوبة العالق وادخاله إلى غرفة محبكة الاغلاق في جهاز الفايتك وحضانته عند درجة حرارة ٣٥ م° وتستمر لمدة أقصاها ٨ ساعات ثم يتم تحليل البيانات باستعمال قاعدة بيانات جهاز الفايتك التي تحدد الكائن الحي بشكل دقيق بعد بدأ الحضانة وبعد ذلك يتم طباعة التقرير آلياً الذي يوضح نتيجة التشخيص (Putra *et al.*, ٢٠٢٠).

٨-٢-٣: حفظ العزلات البكتيرية وادامتها

Maintenance of bacterial isolates

A – الحفظ قصير الامد Short Term Storage

حفظت العزلات البكتيرية المشخصة على وسط الغراء المغذي المائل بعد تلقيحه بالعزلات البكتيرية بطريقة الطعنة وحضرت في درجة حرارة ٣٧ م° لمدة ١٨ ساعة ثم نقلت إلى الثلاجة في

درجة حرارة ٤ م و تكرر عملية الحفظ من أجل الإبقاء على حيوية العزلات وتجنب تلوثها كل ٣-٤ أسابيع (Zhgun et al., ٢٠٢٠).

B - الحفظ طويل الأمد Long Term Storage

للغرض حفظ العزلات البكتيرية لمدة طويلة دون حصول أي ضرر أو تغير في الصفات الوراثية استعمل وسط نقيع القلب - الدماغ السائل المعمق والمضاف له الكليسيرول Glycerol بنسبة ١٥-٢٠٪ وبعد تلقيحها بالعزلات البكتيرية تحضن لمدة ٤ ساعات ثم تسد بأحكام بواسطة شريط شمعي لاصق (Parafilm) وتحفظ بدرجة حرارة ٢٠ م° لمدة (٦-٤) أشهر (Al-Mayyahi, ٢٠١٨).

٩-٢-٣: اختبار الحساسية لمضادات الميكروبات

Antimicrobial Susceptibility Test (AST)

استعمل جهاز الفايتاك لتقدير حساسية و مقاومة عزلات بكتيريا *S. aureus* و عزلات بكتيريا *P. aeruginosa* وفقا لما جاء في (Pincus, ٢٠٠٦) باستعمال البطاقة الخاصة بفحص الحساسية للمضادات الحيوية (Antibiotic sensitivity test card) التي تحتوي على المضادات الحيوية الموزعة على (٦٤) حفرة ويكون لكل مضاد اكثراً من تركيز ويتم تسجيل التركيز المطلوب و تسجيل النتائج حسب تعليمات شركة BioMerieux .

طريقة العمل:

- ١- نميت عزلات بكتيريا *S. aureus* و عزلات بكتيريا *P. aeruginosa* على الوسط المغذي السائل (Nutrient broth) و حضنت لمدة ٢٤ ساعة بدرجة حرارة ٣٧ م°.
- ٢- وضع ٣ مل من محلول الملحي الفسلجي (Normal saline) (في أنبوبة Kan tube) ثم أخذت المستعمرة البكتيرية بواسطة عروة الناقل Loop ووضعت في الانبوبة لعمل عالق بكتيري ثم كرر قياس عكورته بواسطة جهاز Vitek ٢ Densichek لتكون (٥٠.٦٣-٠.٦٠).
- ٣- أخذ ٢٨٠ ميكرو ليتر من العالق واضيف إلى الانبوب الخاص بال (Antimicrobial Susceptibility Test) في حالة كانت العزلة البكتيرية موجبة لصبغة غرام.
- ٤- أخذ ١٤٥ ميكرو ليتر من العالق و اضافته إلى الأنابيب الخاص بال (Antimicrobial Susceptibility Test) في حالة كانت العزلة البكتيرية سالبة لصبغة غرام.

٥- يتم ادخال الأشرطة مع الأنابيب الى الجهاز وبعدها يتم طباعة تقرير اختبار الحساسية والمقاومة للمضادات الحيوية.

١٠-٢-٣ التحري عن عوامل الضراوة في العزلات البكتيرية

virulence factors in bacterial isolates:

١٠-٢-٣ التحري عن قابلية العزلات البكتيرية لتكوين الغشاء الحيوي

Investigation of the ability of bacterial isolates to form a biofilm.

تم التحري عن قابلية العزلات البكتيرية قيد الدراسة على *P. aeruginosa*, *S. aureus* تكوين الغشاء الحيوي بطريقتين:

A- التحري بطريقة الانبوبة : (Tube method)

تم اجراء هذه الطريقة وفقا لما جاء به (Mathur et al., ٢٠٠٦؛ Bose et al., ٢٠٠٩) للتحري عن قابلية العزلات البكتيرية على تكوين الغشاء الحيوي بطريقة نوعية وكما يأتي:

١- حضر وسط مرق نقيع القلب والدماغ وزرع في أنابيب اختبار بواقع ٥ مل لكل أنبوبة ولقحت الأنابيب بعد ذلك بالعزلات البكتيرية الفتية ثم حضنت بدرجة حرارة ٣٧ م° لمدة ٢٤ ساعة.

٢- سكب بعد ذلك المحتوى الزرعي وغسلت الأنابيب ٣ مرات بدارئ الفوسفات الملحي (PBS) المحضر في الفقرة (٣-٤-٣) وترك لتجف.

٣- تم مليء الأنابيب بصبغة البنفسج البلوري Crystal violet (٠.١٪) وترك لعدة دقائق ثم غسلت الأنابيب بالماء المقطر الحالي من الأيونات وتم قلب الأنابيب لتجف.

٤- ان ظهور طبقة بنفسجية على الجدران الداخلية وفي قعر الانبوبة دلالة على قابلية البكتيريا على تكوين الغشاء الحيوي حيث يحدد شدة اللون المتكون على جدران الأنابيب قابلية البكتيريا على تكوين الغشاء الحيوي مقارنة بالأنابيب الفارغة كسيطرة سالبة.

B- التحري بطريقة اطباق المعايرة : (Micro titer plate method)

تم اعتماد هذه الطريقة للتحري الكمي عن قابلية العزلات البكتيرية على تكوين الأغشية الحيوية كما وصفت من قبل (Kord et al., ٢٠١٨) مع بعض التحوير وكما يأتي:

- ١- حضر وسط مرق نقيع القلب والدماغ المضاف اليه ١٪ كلوكوز وزع في أنابيب اختبار بواقع ٥ مل لكل أنبوبة ولحقت الأنابيب بالعزلات البكتيرية الفتية ثم حضنت بدرجة حرارة ٣٧ م° لمدة ٢٤ ساعة ثم نقل ١٠٠ مل ياكرو ليتر من النمو البكتيري إلى أنبوبة حاوية ٢ مل من محلول الملحي الفسلجي وفورنت عكورته بمحلول ماكفرا لاند القياسي McFarland ذو تركيز ٠٠٥.
- ٢- نقل ٢٠٠ مل ياكرو ليتر من كل عالق بكتيري مخفف إلى كل حفرة بواقع أربع مكررات لكل عزلة مع عمل أربع حفر سيطرة Control تحتوي فقط على وسط مرق نقيع القلب والدماغ غير المزروع لغرض المقارنة، وبعدها حضنت الصفيحة من بعد تغطيتها بصورة جيدة في الحاضنة لمدة ٢٤ ساعة عند درجة حرارة ٣٧ م°.
- ٣- سكب العالق البكتيري الموجود في الحفر للتخلص من الخلايا البكتيرية غير الملتصقة وغسلت الحفر بالمحلول الملحي الفسلجي المتعادل بواقع ثلاثة مرات ثم تركت لتجف لمدة ١٥ دقيقة في درجة حرارة الغرفة.
- ٤- أضيفت ٢٠٠ مل ياكرو ليتر من محلول صبغة البنفسج البلوري المحضرة في فقرة (٣-٤).
- ٥- وبتركيز ١٪ لكل حفرة ثم تركت لتجف قليلا.
- ٦- سكبت الصبغة ثم غسلت الحفر بالماء المقطر ثلاثة مرات ليتم التخلص من الصبغة غير المرتبطة ثم تركت تجف في درجة حرارة الغرفة.
- ٧- أضيفت ٢٠٠ مل ياكرو ليتر من الإيثانول المطلق ٩٦٪ في كل حفرة تحتوي خلايا بكتيرية ملتصقة ومصبغة بصبغة البنفسج البلوري لتجريد الصبغة.
- ٨- قيست الامتصاصية عند طول موجي ٦٣٠ نانوميتر باستعمال جهاز الاليزا وحددت كفاءة العزلات البكتيرية على تكوين الغشاء الحيوي عن طريق مقارنة القراءات التي تم الحصول عليها حسب ما ياتي:
- تعد العزلة البكتيرية غير مكونة للغشاء الحيوي إذا كان معدل الكثافة الضوئية لمعامل السيطرة أكبر أو يساوي معدل الكثافة الضوئية للعزلة ($OD_c \geq OD$).
 - تعد العزلة البكتيرية ضعيفة التكوين للغشاء الحيوي إذا كان معدل الكثافة الضوئية للعزلة أكبر من معدل الكثافة الضوئية للسيطرة أو أصغر أو يساوي من ضعفي الكثافة الضوئية للسيطرة ($OD_c < OD \leq 2 \times OD_c$).
 - تعد العزلة البكتيرية متوسطة التكوين للغشاء الحيوي إذا كان معدل الكثافة الضوئية للعزلة أكبر من ضعفين الكثافة الضوئية للسيطرة أو أصغر أو يساوي أربعة اضعاف السيطرة ($2 \times OD_c < OD \leq 4 \times OD_c$).

- تعد العزلة البكتيرية شديدة التكثين للغشاء الحيواني إذا كان معدل الكثافة الضوئية للعزلة أكبر من أربعة أضعاف معدل السيطرة ($OD_4 > OD_c$).

٢-١٠-٢-٣ : التحري عن إنتاج ذيفان حال الدم :Hemolysin Production

تحضير الراشح البكتيري:

زرعت العزلات البكتيرية في ٥ مل من الوسط المحضر وفق الفقرة (٣-١-٧) ثم حضنت بدرجة حرارة ٣٧ م° لمدة ٢٤ ساعة باستعمال حاضنة هزازة على سرعة (١٢٠ دورة/ دقيقة) ثم أخذ الراشح بعد إجراء الطرد المركزي المبرد على سرعة (٣٠٠٠ rpm) لمدة ٣٠ دقيقة وعند درجة حرارة ٤ م° وتم بعدها ترشيح الراشح باستعمال ورق ترشيح قطر ثقبه (٠.٢٢ ميكرومتر) كما جاء عند (مسلم، ٢٠٠٥) وبعدها تم قياس فعالية الهيمولايسين للراشح بطريقتين:

١ - الاختبار شبه الكمي للتحلل الدموي (Semi-quantitative assay of hemolysis)

وضع ٥ ميكرو لیتر من الراشح المحضر مسبقاً في حفر يبلغ قطرها ٥ ملم على وسط غراء الدم الحاوي على دماغنام وتم حضن الأطباق بدرجة حرارة ٣٧ م° لمدة ٢٤ ساعة ثم قيست مناطق التحلل حول الحفر (Barer *et al.*, ١٩٨٦؛ Asao *et al.*, ١٩٨٤).

٢ - الاختبار الكمي للتحلل الدموي (Quantitative assay of hemolysis)

تم اختبار الفعالية التحللية للهيمولايسين كمياً بعمل سلسلة من التخافيف المضاعفة كما جاء في (Bizani and Brandelli, ٢٠٠١؛ May *et al.*, ٢٠٠٠)

١ - خفف الراشح الخام المحضر مسبقاً بعمل سلسلة من التخافيف المضاعفة من (١٠:١) إلى (١٢٨٠:١) باستعمال داري الفوسفات الملحي (PBS) المحضر وفق الفقرة (٣-٤-٢).

٢- رسبت خلايا الدم الحمر من عينة الدم والمسحوبة آنها باستعمال أنابيب بلاستيكية حاوية على مادة (٣% سترات الصوديوم) مانعة التخثر، من أجل التخلص من البلازم باستعمال جهاز الطرد المركزي بسرعة ١٢٠٠ دورة / الدقيقة لمدة ١٥ دقيقة، ثم غسلت ثلاثة مرات بمحلول دارئ الفوسفات الملحي (PBS) وتم اجراء الطرد المركزي المبرد في كل مرة بسرعة ١٢٠٠ دورة/ دقيقة لمدة ٢ دقيقة ثم علقت خلايا الدم الحمر بنسبة ٢% في نفس الداري.

٣- تم مزج ٤٠٠ مایکرو لتر من كل تخفيف من تخفيف الراشغ البكتيري مع ١٠٠ مایکرو لیتر من عالق خلايا الدم الحمر المحضرة في الخطوة الثانية أعلاه في أنابيب زجاجية معقمة وجافة وحضنت لمدة (٣٠) دقيقة بدرجة حرارة (٣٧) م°.

٤- تم ترسيب بقايا خلايا الدم الحمر بسرعة ١٢٠٠ دورة / دقيقة لمدة ٣٠ دقيقة وتم فصل الراشغ ثم قياس الكثافة الضوئية له على طول موجي ٥٤٣ نانوميتر لقياس لون الهيموغلوبين المتحرر.

٥- تم تحديد الفعالية التحليلية من خلال أخذ مقلوب أعلى تخفيف أعطى تحلل كامل لخلايا الدم الحمر مقارنة بالسيطرة السالبة (المكونة من خلط ١٠٠ مایکرو لیتر من عالق خلايا الدم الحمر مع ٤٠٠ مایکرو لیتر من ٩٪ محلول ملحي) عندها حسبت نسبة التحلل لكل تخفيف وفق المعادلة السابقة في الفقرة (٣-٨-١).

١١-٢-٣: فحص تفاعل سلسلة انزيم البلمرة PCR Test

أجري الفحص للكشف عن بعض مورثات عوامل الضراوة والمقاومة للمضادات الحيوية عند بكتيريا (*P. aeruginosa*, *S.aureus*) وكالاتي:

١١-٢-٤: استخلاص الحامض النووي البكتيري Bacterial Genomic

DNA Extraction

تم استخلاص الحامض النووي DNA من العزلات البكتيرية الأكثر ترددًا في هذه الدراسة وذلك باستعمال عدة الاستخلاص kit Genomic DNA extraction kit المجهزة من شركة (ADD BIO) الكورية وحسب الخطوات الآتية:

١- نميت العزلات البكتيرية في ٥ مل من وسط نقيع القلب والدماغ السائل brain heart infusion broth وحضنت بدرجة حرارة ٣٧ م° لمدة ٢٤ ساعة.

- ٢- نقل ١ مل من الوسط الزرعي الحاوي على الخلايا النامية الى أنابيب ابندروف قياس ١.٥ مل معقمة ثم نبذت بجهاز الطرد المركزي (Eppendorf Centrifuge) بسرعة ١٣٠٠٠ دورة / دقيقة ولمدة دقيقة واحدة لغرض جمع الخلايا البكتيرية والتخلص من الراشح (Supernatant).
- ٣- اضيف ٥٠٠ ميكرو ليتر من محلول اللايسوزايم المنظم lysozyme buffer و ٢٠ ميكرو ليتر من انزيم اللايسوزايم lysozyme (٥٠ ملغم / مل) الى العينة ثم غلت أنابيب الابندروف جيداً ومزج الخليط بواسطة المازج vortex لمدة ٥ ثوان هذه الإضافة فقط للبكتيريا الموجبة لصبغة غرام.
- ٤- تم حضن الأنابيب في حمام مائي بدرجة ٣٧ م° لمدة ٦٠ دقيقة.
- ٥- نبذت محتويات الأنابيب بجهاز الطرد المركزي بسرعة ١٣٠٠٠ دورة/ دقيقة ولمدة ٣ دقائق وتم التخلص من الراشح.
- ٦- اضيف ٢٠٠ ميكرو ليتر من محلول Lysis Solution و ٢٠ ميكرو ليتر من Proteinase K Solution (٢٠ ملغم /مل) الى العينة ومزجت بواسطة المازج لمدة ٥ ثوان.
- ٧- تم حضن الأنابيب في حمام مائي بدرجة حرارة ٥٦ م° لمدة ١٠ دقائق.
- ٨- اضيف ٢٠٠ ميكرو ليتر من محلول Binding Solution و ٢٠٠ ميكرو ليتر من كحول الايثانول المطلق الى المزيج المتخلل وتم مزجهما جيداً بالمازج لمدة ١ دقيقة ثم نبذ بجهاز الطرد المركزي على سرعة ١٣٠٠٠ دورة/ دقيقة لمدة ٣ دقائق.
- ٩- نقل ٥٠٠ ميكرو ليتر من الراشح في الابندروف الى أنابيب الجمع (Collection Tubes) سعة ٢ مل الحاوية على أعمدة ذات مصفى لتنقية الحامض النووي GD Filter Column مجهرة مع العدة.
- ١٠- وضعت أنابيب الجمع مع فلاتر الأعمدة التي تحتوي على الخليط في جهاز الطرد المركزي ونبذت بسرعة ١٣٠٠٠ دورة/ دقيقة لمدة ١ دقيقة وتم التخلص من نواتج الخلايا المتحللة ثم نقل فلتر العمود الحاوي على الحامض النووي الى أنبوبة جمع (Collection tube).
- ١١- اضيف ٥٠٠ ميكرو ليتر من محلول الغسيل الأول Washing ١ Solution المجهز مع العدة الى فلتر العمود الحاوي على الحامض النووي لغسل الحامض النووي ثم وضعت الأنابيب في جهاز الطرد المركزي ونبذت بسرعة ١٣٠٠٠ دورة/ دقيقة لمدة ١ دقيقة وتم التخلص من المحتويات ثم اضيف ٥٠٠ ميكرو لتر من محلول الغسيل الثاني Washing ٢ Solution

المضاف اليه مسبقا كحول الايثانول والمجهز مع العدة الى العمود الحاوي على الحامض النووي ونبذ أيضا بجهاز الطرد المركزي بسرعة ١٣٠٠٠ دورة/ دقيقة ولمدة ١ دقيقة.

١٢- تم التخلص من المواد الموجودة في أنابيب الجمع ثم وضع فلتر العمود الحاوي على الحامض النووي في أنبوبة جمع جديدة ونبذت في جهاز الطرد المركزي بسرعة ١٣٠٠٠ دورة / دقيقة لمدة ١ دقيقة لغرض تجفيف العينة.

١٣- نقلت فلاتر الأعمدة الحاوية على الحمض النووي الى أنابيب ابندروف معقمة سعة ١.٥ مل واضيف ١٠٠ مايكرو ليتر من محلول الاذابة Elution Buffer المجهز مع العدة وترك لمدة ٥ دقائق ليتم امتصاص كل محلول الاذابة من قبل الأعمدة ثم وضعت بجهاز الطرد المركزي ونبذت بسرعة ١٣٠٠٠ دورة / دقيقة لمدة ١ دقيقة لإذابة الحامض النووي DNA ثم تم حفظ الحامض النووي بدرجة حرارة -٢٠ م لحين اجراء فحص تفاعل سلسلة البلمرة PCR.

٢-١١-٢-٣: تحضير مزيج سلسلة تفاعل البلمرة PCR Master Mixture

A- تحضير محلول البادئ (Preparation Primer)

حضر محلول البادئ الذي يتكون من Forward، Reverse حسب تعليمات الشركة المصنعة (Chromogen) وذلك بأخذ ١٠ مايكرو ليتر من كل بادئ واضافتها الى أنبوبة ابندروف جديدة حاوية على ٩٠ مايكرو ليتر من الماء منزوع الايونات Deionize Water للحصول على Working Solution ذو حجم ١٠٠ مايكرو ليتر ويحفظ بدرجة حرارة -٢٠ م لحين الاستعمال كما تحفظ محاليل البادئ الخزينة في درجة -٢٠ م.

B- مزيج Master Mix

تم استعمال مزيج (Master Mix) المجهز من شركة Add bio الكورية والموضحة مكوناته في الجدول (١٠-٣):

جدول (١٠-٣): مكونات مزيج Master Mix المستعمل في تفاعل البلمرة المتسلسل

المكونات	تركيزه
Taq DNA Polymerase	٢.٥ U\ml
Each:dNTP(dATP, dCTP, dGTP, dTTP)	٢.٥ Mm for each

Reaction Buffer(10x)	1x
Gel loading buffer	1x

C- تحضير PCR Product

حضر مزيج تفاعل PCR في الأنابيب الموجودة في العدة وهو يحتوي على جميع المكونات اللازمة لأجراء التفاعل كما موضح في الجدول التالي (١١-٣):

جدول (١١-٣) المكونات اللازمة لتفاعل إنزيم البلمرة المتسلسل PCR

المكونات	التركيز	الكمية (مايكروليتر)
DNA sample	١٠٠-٢٠٠ ng	٣
Primer(F)	١٠ Pico mole	١.٥
Primer(R)	١٠ Pico mole	١.٥
Nuclease free water	-	٩
Master Mix	-	١٠
Total volume	-	٢٥

D- اجراء تفاعل البلمرة (PCR Assay)

تغلق الأنابيب وتمزج بعناية بجهاز المازج vortex لمدة ١٠ ثوان ثم تدخل في جهاز PCR Thermocycler لأجراء التفاعل وباستعمال البرنامج المناسب في التضاعف وخطوات التفاعل الخاصة بكل بادئ كما موضح في الجدول (١٢-٣).

جدول (١٢-٣): خطوات التفاعل الخاصة بالبواي

نوع الخطوة	درجة الحرارة(م°)	الوقت	عدد الدورات
Initial denaturation	٩٥	٥ دقيقة	١
Denaturation	٩٥	٣٠ ثانية	

٣٥	٤٥ ثانية	٥٥	<i>mecA</i>	Annelaling
		٥٥	<i>hlb</i>	
		٦٠.٤	<i>SEA</i>	
		٥٤.٦	<i>ermA</i>	
		٦٠.٨	<i>LasB</i>	
		٦١	<i>exoA</i>	
	٥٥ ثانية	٧٢		Extension
١	٥ دقيقة	٧٢		Final extension

٣-١١-٢-٣: الترحيل الكهربائي في الهلام (Gel Electrophoresis)

A- الصبغة المستعملة

استعملت صبغة بروميد الايثيديوم (Ethidium Bromide) المجهزة من شركة Bio BASIC INC.

B- تحضير TBE buffer ١x

تم تحضيره من محلول الخزين (TBE buffer) ١٠x بإضافة ١٠٠ مل من محلول الخزين إلى ٩٠٠ مل من الماء المقطر المعقم.

C- تحضير هلام الاكاروز بتركيز ١٠.٥٪

تم تحضير هلام الاكاروز كما جاء بالطريقة الموصوفة من قبل (Green and Sambrook, ٢٠١٩) مع بعض التحوير:

١- تم اذابة ١.٥ غم من الاكاروز في ١٠٠ مل من محلول ١x TBE buffer بواسطة تسخين المزيج الى درجة الغليان.

٢- تم تبريد المزيج الى درجة حرارة (٤٥-٥٠) م° ثم أضيفت اليه ٣ مل صبغة بروميد الايثيديوم ومزجاً جيداً.

٣- تم تحضير صفيحة لأسنان الاكاروز (Tray) وثبت فيها المشط (Comb) لتكون الحفر الخاصة لتحميل العينات وصب مزيج الاكاروز بشكل هادئ ثم ترك ليتصلب بدرجة حرارة الغرفة.

٤- تم رفع المشط بهدوء وبعدها نقل الهلام مع القالب الى حوض الترحيل وغطي ببفر الترحيل على ارتفاع ١ ملم لأجراء عملية الترحيل الكهربائي TBE.

١-٢-١١-٣-١: الكشف عن نواتج التضاعف Detection of multiplication products

تم الكشف عن نواتج التضاعف بترحيل العينات على هلام الاكاروز المحضر بتركيز ٥٪ وذلك بإضافة ٥ مايكرو لیتر من ناتج التفاعل (PCR product) المراد ترحيله لكل حفرة بالإضافة الى تحميل ٥ مايكرو لیتر من الدليل الحجمي (DNA Ladder). تم ترحيل النواتج والدليل الحجمي كهربائيا بفرق جهد ٧٠ فولت لمدة ٥٠ دقيقة ثم فحص الهلام بعد انتهاء عملية الترحيل في غرفة مظلمة من خلال تعرضه لمصدر للأشعة فوق البنفسجية عند طول موجي ٢٦٠ نانوميتر وبعدها تم تصوير الهلام باستعمال كاميرا رقمية Digital camera، ثم قدرت الأحجام الجزيئية لقطع DNA المتضاعفة بالمقارنة مع موقع الحزم للدليل الحجمي القياسي (DNA Ladder) والمرحل مع نواتج التضاعف.

١٢-٢-٣: التحليل الاحصائي Statistical Analysis

حللت نتائج الدراسة الحالية بتطبيق اختبار مربع كأي Chi-square test لتقدير الارتباط بين أي متغيرين فؤيين وتم تحديد القيمة المعنوية p-value او تقل عن ٠٠٥.

الفصل الرابع

النتائج والمناقشة

Results & Discussion

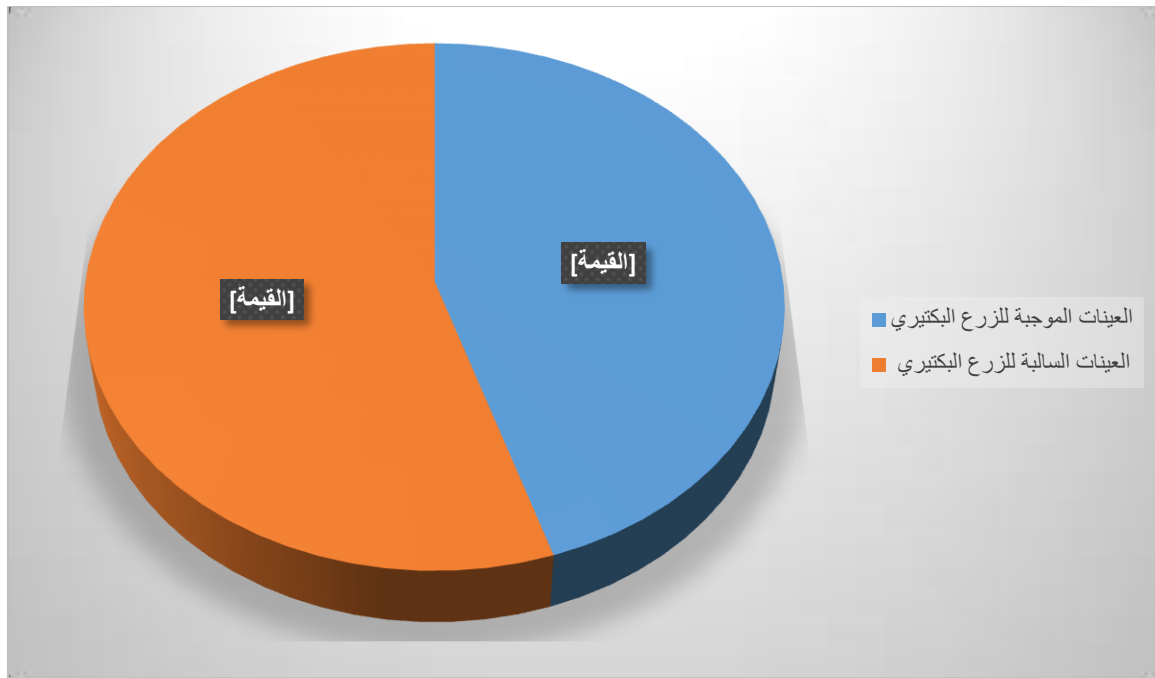
٤- النتائج والمناقشة Results and discussion

٤-١: نسبة العزل البكتيري : Bacterial isolation rate

جمعت ١٦٩ مسحةً من المرضى المصابين باختناق العيون المختلفة والمراجعين لمستشفى (الامام الحسن المجتبى (ع)، مستشفى الهندية العام ومركز السيدة زينب (ع) التخصصي للعيون) في محافظة كربلاء المقدسة من اب ٢٠٢٢ ولغاية كانون الثاني ٢٠٢٣ بعد تشخيصهم سريرياً من قبل الأطباء الاختصاص، وبعد زراعة العينات المجموعة على الأوساط الزرعية أظهرت النتائج إن ٧٦ (٤٥٪) عينة أعطت نمواً بكتيريا بينما لم يظهر أي نمو في ٩٣ (٥٥٪) عينة وكما موضح بالشكل (٤).

و جاءت نسبة العزل المنخفضة في هذه الدراسة مقاربة لدراسة محلية قام بها Alash (٢٠١٥) الذي أكد على انخفاض نسبة إصابات العيون البكتيرية مقارنة مع نسبة الإصابات الفيروسية والفطرية، وكذلك مع دراسة أجريت في الولايات المتحدة الأمريكية التي كانت نسبة العزل البكتيري فيها ٣٣٪ فقط مقارنة ببقية الإصابات الجرثومية بينما لم تتوافق مع نتائج دراسة محلية أخرى أعطت نسبة نمو بكتيري مرتفعة تصل إلى (٩٢.١٪) (Abid and Ewadh, ٢٠١٢).

ويعتقد إن ارتفاع نسبة العزل السالبة في هذه الدراسة إلى اقتصر الدراسة الحالية على بيان نسبة الإصابة بالأسباب البكتيرية الهاوائية فقط فضلاً عن اشتراك إصابات العيون التحسسية غير الميكروبية والاصابات الفطرية والفيروسية ببعض الأعراض السريرية المتماثلة كما جاء مماثلاً في بعض الدراسات (Hom et al., ٢٠١٢; Rae et al., ٢٠١٩) فضلاً عن المسببات البكتيرية الهاوائية، وإصابات ناتجة عن الكلاميديا (Pickering et al., ٢٠١٩).



شكل (٤-٤): نسبة العينات الموجبة والسلبية للزرع البكتيري

٤-٢: توزيع إصابات العيون البكتيرية حسب العمر Distribution of bacterial eye infections according to the age

بيّنت نتائج الدراسة الحاليّة الموضحة بالجدول (٤-١) بأنّ هنالك فرق معنوي في متوسط العُمر بين مجموعات الدراسة عند مستوى احتمال ($p=0.021$) اظهر تواتر مرضي اخماص العيون توزيعاً متالياً بين الأعمراء المختلفة ، إذ كانت أعلى نسبة عزل بكتيري (٤٣.٤٢٪) عزلة في الفئات العمرية ٤٩-٢٥ سنة، تلتها نسبة الإصابة في الفئة العمرية ١-٤ سنة والبالغة (٣٥.٥٣٪) عزلة، إذ يعتقد ان المعدل المرتفع للإصابة لديهم مرتبط بكثرة النشاطات التي يقومون بها كاللعب والأعمال والممارسات الرياضية والسباحة مع قلة الاهتمام بنظافة العيون خصوصاً عند الاعمار الصغيرة، كما يسبب التماس المباشر بين أصابع اليد مع الأدوات الملوثة انتقال التلوث إلى العين فضلاً عن ارتداء العدسات اللاصقة من قبل الشباب مقارنة بكمباد السن، وهذه النتيجة جاءت مقاربة للدراسة التي قام بها Bajracharya وجماعته (٢٠٢٠) والذين أكدوا إن متوسط العُمر لاصابات العيون البكتيرية كان (٤٧) سنة ، كما توافقت النتيجة الحاليّة مع دراسة عراقية في محافظة بابل التي قام بها Kareem وآخرون (٢٠٢٢) والتي أوضحوا من خلالها ان اخماص العيون تحدث بشكل متكرر في الفئات العمرية بين (٢٠-٤٩) سنة مقارنة بالفئة العمرية (٥٠-٧٥) التي سجلت أقل عدد من الإصابات بنسبة ٢١٪.

بينما جاءت هذه النتيجة غير متوافقة مع نتائج دراسة أخرى توصلت إلى إن متوسط العمر في المرضى المصابين هو (٨.٥) سنة فقط (*Muluye et al., ٢٠١٤*).

جدول (٤-١): توزيع عدد الإصابات البكتيرية حسب عمر المرضى.

	الفئات العمرية (سنة)	عدد المصابين N (%)	p-value
العمر	١-٢٤	٢٧ (٣٥.٥٣%)	٠.٠٢١
	٢٥-٤٩	٣٣ (٤٣.٤٢%)	
	٥٠-٧٥	١٦ (٢١.٥٥%)	

٤-٣: توزيع إصابات العيون البكتيرية حسب الجنس Distribution of bacterial eye infections according to the gender

أظهرت نتائج الدراسة الحالية المبنية في الجدول (٤-٢) وجود فروقات معنوية في توزيع مرضي العيون حسب الجنس بين مجموعات الدراسة على مستوى احتمال $p=0.045$ وكان معدل انتشار أخماق العيون في الذكور أعلى مما في الإناث ،إذ وجد إن عدد الذكور المصابين (٦٠.٥٣٪) ٤٦ وهي أعلى من عدد الإناث المصابات بأخماق العيون الذين بلغ عددهم (٣٩.٤٧٪) ٣٠، وجاءت هذه النتيجة متقاربة مع العديد من البحوث الأخرى التي أكدت إن إصابات العيون البكتيرية أكثر شيوعاً عند الذكور والتي وصلت إلى ٦٠.١٪ في دراسة أجريت في محافظة البصرة (*Mahdi et al., ٢٠٢١*) الشيء الذي جاء مماثل لما توصلت إليه دراسة أجريت في المملكة العربية السعودية التي لوحظ فيها إن نسبة الإصابة عند الذكور بلغت ٥٦.٥٪ (*Almizel et al., ٢٠١٩*) مع ذلك كانت نتائجنا تناقض دراسة في إيران أكدت إن نسبة الإناث هي الأعلى (٢٠١٥) (*Hedayati et al., ٢٠١٥*)، وإن ارتفاع نسبة إصابة لدى الذكور يعود إلى تعرضهم لعوامل بيئية يمكن أن تزيد من خطر الإصابة بسبب قيامهم ببعض المهن مثل عمال بناء أو الزراعة أو للذين يعملون في الهواء الطلق أكثر عرضة للتلامس مع البكتيريا، فضلاً عن

وجود عوامل وراثية ومناعية متمثلة بحالات نقص المناعة الأولية المرتبطة بكتيريا X والتي تجعل الذكور المصابين عرضة للعدوى البكتيرية أكثر من غيرهم ، إلى جانب عوامل هرمونية ممثلة بمستوى الهرمونات الستيرويدية التي تتغير على مدى العمر ، إذ إن ارتفاعها وتحديداً هرمون الاندروجين بعد البلوغ يجعل الذكور يتأثرون بشكل أكثر تكراراً وقوة بالعدوى البكتيرية (Dias *et al.*, ٢٠٢٢).

جدول (٤) : توزيع عدد الإصابات البكتيرية حسب جنس المرضى

	المجاميع	عدد المرضى N(%)	p-value
الجنس	الذكور	٤٦ (٦٠.٥٣%)	٠.٠٤٥
	الإناث	٣٠ (٣٩.٤٧%)	
	المجموع	٧٦ (١٠٠%)	

٤-٤ : توزيع إصابات العيون البكتيرية حسب مكان الإقامة

bacterial eye infections regarding the place of residence

إن عدد الإصابات باختناق العيون البكتيرية تختلف باختلاف منطقة السكن في المدينة أو الريف ، فقد ظهرت فروقات معنوية في توزيع المرضى حسب محل الإقامة على مستوى احتمالية $p=0.028$ ، إذ بلغ عدد المصابين في المناطق الحضرية (٤٩٪٦٤.٤٧٪) بينما كان عدد المصابين من المناطق الريفية (٣٤٪٣٥.٥٣٪٢٧٪) كما موضح بالجدول (٣-٤) ، وجاءت هذه النتيجة متوافقة مع دراسة أجريت في محافظة بغداد ، إذ كانت نسبة العزل البكتيري في مركز المدينة أعلى من الريف والبالغة (٩٢.٥٪٩٢٪) (Rahama *et al.*, ٢٠١٧) ، ومع دراسة محلية أخرى قام بها (Majeed and Zaman, ٢٠٢٠) في كركوك مؤكدة إن نسب الإصابة في المدينة أعلى من الريف ، وعللوا ذلك بسبب الازدحام الكبير في المدينة مما يجعل من الصعب الحفاظ على النظافة الشخصية ، وتجنب التلوث البكتيري لذلك فإن البكتيريا يكون لها الفرصة بالانتشار بسهولة في البيئة غير النظيفة ، كما تعمل العوامل البيئية القاسية من ارتفاع درجات الحرارة والرياح الجافة والغبار إلى تهيج العين الذي يعد عاملاً مهيناً لزيادة احتمالية الإصابة بالعدوى

البكتيرية فضلاً عن نقص النوم والتغذية السيئة التي تعمل على اضعاف الجهاز المناعي مما يجعل من الصعب محاربة العدوى البكتيرية آنها.

إن هذه النتيجة لا تتوافق مع دراسة محلية أخرى في محافظة بابل وجدت أن نسبة الإصابات البكتيرية في العين كانت أعلى في المناطق الريفية والبالغة (٣٧٤٪) مقارنة في المدينة (Kareem *et al.*, ٢٠٢٢).

جدول (٤-٣): عدد الإصابات البكتيرية حسب مكان الإقامة.

مكان الإقامة	المجموعات	عدد الإصابات	p-value
		N(%)	
المدينة	الريف	٢٧ (٣٥.٥٣٪)	٠.٠٢٨
	المدينة	٤٩ (٦٤.٤٧٪)	
	المجموع	٧٦ (١٠٠٪)	

وعند دراسة العلاقة بين الفئات العمرية مع الجنس ومكان الإقامة للمصابين باخماج العيون لوحظ في الجدول (٤-٤) أن هنالك ارتباطاً كبيراً بين عمر المرضى المصابين باخماج العيون فيها إذ كان المصاب ذكر أو أنثى مع مكان اقامتهم في المدينة او الريف بعدي العين البكتيرية ($p = 0.022$)، وكانت الفئة العمرية من (٤٩-٢٥) للذكور في المدينة هي الأكثر شيوعاً للإصابة البكتيرية.

جاءت هذه النتيجة متوافقة مع دراسة في اليابان كان فيها ارتباط بين عمر المصاب وجنسه مع الإصابة البكتيرية (Hoshi *et al.*, ٢٠١٦)، لكن جاءت نتيجة الدراسة الحالية غير متوافقة مع دراسة في اثيوبيا بينت عدم وجود ارتباط بين عدوى العين بالفئات العمرية ومحل الإقامة (الريف، والمدينة) لدى المشاركون في هذه الدراسة من مختلف الأعمار (Mohammed *et al.*, ٢٠٢٠). كما كانت غير متوافقة أيضاً مع دراسة أخرى قام بها (Juhong *et al.*, ٢٠٢٢) بأنه لا يوجد ارتباط معنوي بين عمر المصاب وجنسه مع الإصابة البكتيرية في اخماج العيون.

جدول (٤-٤) : العلاقة بين الفئات العمرية مع الجنس ومحل الاقامة

الفئات العمرية (سنة)	المدينة N(٤٩)		الريف N(٢٧)		Chi squared	P value
	الذكور N(٢٨)	الإناث N(٢١)	الذكور N(١٨)	الإناث N(٩)		
	١_٢٤	٩	٥	٩	٤	
٢٥-٤٩	١٤	٩	٧	٣	٥.٣٤٨	.٠٠٢٢* (SIG)
٥٠-٧٥	٥	٧	٢	٢		
المجموع	٢٨	٢١	١٨	٩		

٤-٥: توزيع إصابات العيون البكتيرية حسب موقع الإصابة في العين

Distribution of bacterial eye infections according to the location of the infection in the eye

بيّنت النتائج الموضحة في الجدول (٤-٥) واعتماداً على التشخيص الطبي وجود فروقات معنوية في تواتر توزيع المرضي وعدد الإصابات حسب موقع الإصابة على مستوى احتمالية ($P = .٠٠٣٤$)، وإن خمج الملتحمة هو السائد مقارنة ببقية الأنواع، إذ بلغ عدد المرضى المصابين (٤٢.٦٨%) تلاه خمج الاجفان الذي وصل إلى (٢٣.٦٨%)، بينما بلغ عدد المرضى المصابين بخمج القرنية (٧.٨٩%) وهو النوع الأقل انتشاراً.

إن ارتفاع نسبة اخماج الملتحمة يعود إلى تأثير الملتحمة بشكل كبير بالمناخ والأوضاع البيئية أو الأمراض الوبائية مما يؤدي إلى انتقال البكتيريا بشكل مباشر من الأشخاص المصابين أو ينتج من تكاثر غير طبيعي في النبات الطبيعي للملتحمة نتيجة للتعرض للحالات المتبطنة للمناعة والصدمات التي تزيد من فرص تطور إصابة الملتحمة الجرثومي ، إذ تتوافق هذه

النتيجة مع دراسة محلية في محافظة السليمانية كان فيها نسبة خمج الملتحمة هو الأعلى وبمختلف الأعمار (Hassan and Majid., ٢٠١٨)، وكذلك تتوافق مع دراسة محلية أخرى كانت فيها نسبة خمج الملتحمة هو الأعلى (Abid and Ewadh, ٢٠١٢)، بينما لا تتوافق مع دراسة قام بها Bharathi وأخرون (٢٠١٠) والذي كانت فيه نسبة إصابات خمج الاجفان هي الأعلى (٨٨%) مقارنة ببقية الانواع.

جدول (٤-٥) : عدد الإصابات البكتيرية حسب موقع الإصابة في العين.

	المجموعات	عدد الإصابات N(%)	p-value
موقع الإصابة	الملتحمة	٥٢ (٦٨.٤٢%)	٠.٠٣٤
	الاجفان	١٨ (٢٣.٦٨%)	
	القرنية	٦ (٧.٨٩%)	

٤-٦: العلاقة بين نوع العزلات البكتيرية وموقع الإصابة في العيون The relationship between the type of bacterial isolates and sites of infection in the eyes

بيّنت النتائج الحالية عدم وجود ارتباط معنوي بين نوع البكتيريا المعزولة وموقع الإصابة البكتيرية في العين وهي الملتحمة ، الاجفان والقرنية وعلى مستوى احتمالية (p = ٠.٤٨٥) وكما موضح في جدول (٤-٦) على الرغم من ذلك كانت اكثراً الأنواع البكتيرية انتشاراً وتسبباً في خمج ملتحمة العين هي جنس *S. aureus* (١٩.٧٤%) ، بينما شكلت *S. aureus* و *K. pneumoniae* و *E. coli* و *P. aeruginosa* و *S. epidermidis* نسبه (١٥.٧٩%) ، (١٢%) ، (١١.٤٧%) ، (١١.٨٤%) ، (٥.٢٦%) ، (١.٣٢%) على التوالي في حين كانت اقل نسبة لاصابات العيون والبالغة (١.٣٢%) لبكتيريا *S. marcescens*.

وأكدت العديد من الدراسات على زيادة نسبة بكتيريا *S. aureus* في الملتحمة بالرغم من الاختلاف في نسبة العزل عند الباحثين فجاءت نتائج دراستنا متوافقة مع دراسة محلية (Agha, ٢٠٢٠) أجريت في أربيل بينت أن أكثر مسببات خمج الملتحمة هي بكتيريا المكورات العنقودية الذهبية وكذلك متوافقة مع دراسة أخرى بينت أن *S. aureus* هي المسبب السائد لخمج الملتحمة (Leung *et al.*, ٢٠١٨). في حين لا تتوافق نتائج دراستنا الحالية مع نتائج دراسة أجريت في الولايات المتحدة الأمريكية التي اشارت إلى أن بكتيريا *Haemophilus influenzae* هي الأكثر سيادة في إصابات خمج الملتحمة (Haas *et al.*, ٢٠١٢).

إن كثرة تواجد بكتيريا *S. aureus* في الملتحمة قد يعود إلى وجودها بشكل طبيعي في الجهاز التنفسي العلوي مثل الأنف، وبسبب القرب التشريحي بين العين والممرات الأنفية ولأنهما يرتبطان معاً عبر القناة الأنفية الدمعية فقد تنتقل البكتيريا من الأنف إلى العين مؤدية إلى إصابة الملتحمة ومنطقة الجفن (Belser *et al.*, ٢٠١٢ : Taylor and Unakal, ٢٠٢٢) فضلاً عن قدرتها على إنتاج الذيفانات والانزيمات والبروتينات القادرة على إحداث أضرار جسمية للأنسجة والأعضاء ، وتحور الاستجابة المناعية من خلال تغير نفاذية أغشية خلايا المضيف من خلال إنتاجها السمي الذي يمكنها من مقاومة الخلايا المناعية وتتجاوز الحواجز الظهارية الشيء الذي يعزز نمو البكتيريا وانتشارها (Astley *et al.*, ٢٠١٩).

جدول (٤-٦): العلاقة بين نوع العزلات البكتيرية وموقع الإصابة في العيون

العزلات البكتيرية	موقع الإصابة			Chi squared	p value
	المتحمة N(%)	الاجفان N(%)	القرنية N(%)		
<i>S.aureus</i>	١٥ (١٩.٧٤%)	٥ (٦.٥٨%)	٢ (٢.٦٣%)	٣.٤٥٦	٠.٤٨٥*
<i>S.epidermidis</i>	١٢ (١٥.٧٩%)	٧ (٩.٢١%)	٠ (٠.٠٠%)		
<i>P.aeruginosa</i>	١١ (١٤.٤٧%)	٤ (٥.٢٦%)	٣ (٣.٩٥%)		
<i>E.coli</i>	٩ (١١.٨٤%)	٢ (٢.٦٣%)	١ (١.٣٢%)		
<i>K.pneumoniae</i>	٤ (٥.٢٦%)	٠ (٠.٠٠%)	٠ (٠.٠٠%)		
<i>S.marcescens</i>	١ (١.٣٢%)	٠ (٠.٠٠%)	٠ (٠.٠٠%)		
المجموع	٥٢	١٨	٦		

سجلت بكتيريا المكورات العنقودية غير القادرة على انتاج انزيم (COagulase)، ولاسيما *S. epidermidis* أعلى نسبة عزل (٩.٢١٪) من خمج الاجفان تلتها بكتيريا *S. aureus* بنسبة (٦.٥٨٪)، في حين سجلت بكتيريا *E. coli* المعزولة من خمج الاجفان بأقل نسبة عزل (٢٪٢٠.٦٣٪) وهذه النتيجة جاءت متوافقة مع ما توصلت إليه دراسة سابقة في مدريد (Peral *et al.*, ٢٠١٦) كانت فيها بكتيريا *S. epidermidis* هي الأكثر عزلًا من الاجفان.

إن الجفن والملتحمة تحوي على نبيت جرثومي طبيعي يتم التحكم فيه من خلال آلية خاصة من قبل المضيف لذا فإن أي خلل في تلك الآلية يساهم في حدوث خمج الجفن أو خمج الملتحمة (Bharathi *et al.*, ٢٠١٠).

واحتلت بكتيريا *P. aeruginosa* المرتبة الأولى بنسبة (٣.٩٥٪) من مجموع البكتيريا المعزولة من خمج القرنية تلتها بكتيريا *S. aureus* بنسبة (٢٪٠.٦٣٪) بينما شكلت بكتيريا *E. coli* أقل نسبة وهي (١٪١.٣٢)، وإن نتائج دراستنا جاءت مقاربة لما ذكره Ismael *et al.* (٢٠١٧) في دراسة محلية حيث أكد إن بكتيريا *P. aeruginosa* هي أهم المسببات البكتيرية للأخماج القرنية وبنسبة عزل بلغت ٤٧.٥٪ كما جاءت مقاربة مع دراسة أجريت في تركيا التي كان فيها عزلات بكتيريا *P. aeruginosa* هي الأكثر عزلًا (Karaca *et al.*, ٢٠٢٠) على النقيض من هذه النتيجة فقد بينت دراسة سابقة في النبيال إن بكتيريا *S. epidermidis* هي العزلة الأكثر شيوعاً في خمج القرنية (Dhakwa *et al.*, ٢٠١٢).

تعود نسبة العزل العالية لبكتيريا *P. aeruginosa* من خمج القرنية لقدرتها على الالتصاق بخلايا المضيف وأنسجته بسبب امتلاكها لعوامل ضراوة مثل انزيم البروتينيز(Protease) وانزيم الاستييز(Elastase) إلى جانب قابليتها العالية على تحليل الدم مع العناية غير المناسبة للعدسات اللاصقة، إذ لها القابلية على مقاومة محلول المنظف للعدسات اللاصقة وتلتصق بالعدسات وتنتشر من خلال تكوين طوافات دهنية لدى مستخدمي العدسات (Teweldemedhin *et al.*, ٢٠١٧).

٤-٧: تشخيص العزلات البكتيرية المسببة للأخماج العيون

bacterial isolates causing eye infections

٤-٧-١: التشخيص المجهي والمظاهري للعزلات البكتيرية Microscopic and phenotypic diagnosis of bacterial isolates

اسفرت نتائج الزرع الميكروبي على وسط غراء الماكونكي بعد مدة حضن ٢٤ ساعةً بدرجة حرارة ٣٧ م° الحصول على ٧٦ عزلةً بكتيرية شخصت هذه العزلات البكتيرية المسببة لأخماق العيون وبعد تشخيصها اولياً بالاعتماد على الخصائص المزرعية للمستعمرات كشكل المستعمرة و قوامها وقابليتها على تخمير سكر اللاكتوز على الأوساط الصلبة، إذ تم الحصول على مستعمرات دائيرية ومحدبة برقة ذات لون اصفر – ذهبي وكذلك مستعمرات دائيرية ومحدبة ذات لون ابيض – رمادي مع حافات منتظمة ملساء على وسط غراء الدم مع تحلل دموي واضح بسبب قابليتها على انتاج الهيمولايسين وتحليل خلايا الدم الحمراء (Markey *et al.*, ٢٠١٣)، كما تم انماء العزلات على وسط غراء المانitol salt (Mannitol salt agar)، إذ امتازت مستعمرات *S.aureus* على وسط المانitol بمستعمرات صفراء اللون برقة وتحول لون كاشف الفينول الأحمر من اللون الوردي إلى الأصفر نتيجة لقدرتها على تخمير سكر المانitol بسبب انتاجها للحامض (Taylor and Unakal, ٢٠٢٢) وأما بكتيريا *S.epidermidis* فتظهر بشكل مستعمرات صغيرة غير مخمرة لسكر المانitol (Chabi and Momtaz, ٢٠١٩).

كما ظهرت بكتيريا *P. aeruginosa* بشكل مستعمرات شاحبة دائيرية ملساء ذات لون أصفر باهت على وسط غراء الماكونكي لعدم قدرتها على تخمير سكر اللاكتوز او تكون بشكل مستعمرات خضراء اللون نتيجة إفرازها صبغة Pyocyanin مع رائحة تشبه رائحة العنبر والتي نقلت على وسط الستريريمайд كونه وسط انتقائي لاحتواه على مادة (Cetrimide) المتبطة لنمو أنواع البكتيريا كافة، ولكنها تسمح لنمو بكتيريا الزوائف الزنجارية فقط والتي ظهرت مستعمراتها بلون اخضر مزرق كما أعطت معظم الزوائف الزنجارية تحلاً كاملاً للدم من نوع بيتا على وسط اكار الدم مما يؤكد على قدرتها في انتاج الهيمولايسين وتحليل خلايا الدم الحمراء ، كما ظهرت بشكل عصيات سالبة لصبغة كرام عند الفحص المجهي للخلايا الجرثومية (Procop *et al.*, ٢٠٢٠). أما مستعمرات بكتيريا *E. coli* فقد نمت على وسط الماكونكي الانقائي لهذه البكتيريا (لأنه يحتوي على صبغة البنفسج البلوري مع املاح الصفراء) بشكل مستعمرات صغيرة دائيرية الشكل ملساء وجافة ذات لون وردي بسبب قدرتها على تخمير سكر اللاكتوز، وأما عند تصبيغها بصبغة غرام وفحصها بالمجهر الضوئي فتظهر بشكل عصيات قصيرة سالبة لصبغة كرام (McFadden, ٢٠٠٠; Jacob *et al.*, ٢٠٢٠).

أما بكتيريا *K. pneumoniae* فقد كانت مستعمراتها كبيرة الحجم مع حافات منتظمة وردية اللون ذات قوام مخاطي لوجود المحفظة على وسط الماكونكي، وأما مجهريا فظهرت على شكل عصيات سالبة لصبغة كرام (Martin and Bachman, ٢٠١٨).

في حين كونت بكتيريا *Serratia marcescens* مستعمرات كبيرة محدبة مخاطية وغير محللة للدم على وسط غراء الدم بينما على وسط الماكونكي فقط ظهر شاحبة اللون لعدم قدرتها على تخمر سكر اللاكتوز وذات رائحة تشبه رائحة البطاطا المتعفنة أو رائحة السمك مع وجود صبغة حمراء نتيجة لإنتاجها لصبغة Prodigiosin وتحت المجهر الضوئي ظهرت بشكل عصيات سالبة لصبغة كرام (Roy et al., ٢٠١٤; Grimont, ٢٠١٥).

٤-٧-٤: التشخيص الكيموحيوي للعزلات البكتيرية Biochemical diagnosis of bacterial isolates

تم اجراء العديد من الفحوصات الكيموحيوية على العزلات البكتيرية قيد الدراسة لغرض التشخيص المبدئي لها وفقا للطرق التي وصفت من قبل (Collee et al., ١٩٩٦) وكما مبين في الجدول (٤-٤).

استعملت صبغة غرام لتصبيغ العزلات البكتيرية اذ أعطت بكتيريا *S. aureus* و *S. epidermidis* نتيجة موجبة بينما أعطت *K. pneumoniae* و *E. coli* و *P. aeruginosa* و *S. Marcescens* نتيجة سالبة، كما أعطت كل العزلات نتيجة موجبة لفحص الكاتيليز (Catalase)، بينما أعطت كل العزلات نتيجة سالبة لفحص الاوكسidiز (Oxidase) ماعدا بكتيريا *P. aeruginosa* أعطت نتيجة موجبة، كما أعطت بكتيريا *S. aureus* فقط نتيجة موجبة لفحص انزيم تخثر الدم (COagulase) والذي يعد واحد من عوامل الضراوة (Katz, ٢٠١٠) في حين كانت العزلات الأخرى سالبة لهذا الفحص.

بيّنت نتائج فحص تحلل اليوريا ان بكتيريا *S. aureus* و *S. epidermidis* و *K. pneumoniae* أعطت نتيجة موجبة بينما العزلات الأخرى أعطت نتيجة سالبة، كما كانت كل العزلات البكتيرية لها القابلية على تحليل الدم ماعدا بكتيريا *K. pneumoniae* وأعطت نتيجة سالبة في حين أعطت بكتيريا *E. coli* نتيجة موجبة لفحص الاندول فقط بينما كانت سالبة لفحص السترات، وأعطت بكتيريا *E. coli* نتيجة موجبة لفحص احمر المثيل، كما أعطت بكتيريا *S. marcescens* و *pneumoniae* نتيجة موجبة لاختبار الفوكس بروسكاور فقط.

جدول (٤-٧) : الاختبارات الكيموحيوية المستعملة لتشخيص البكتيريا المعزولة

الاختبارات الكيموحيوية										ن	
V-P	M-R	Simmon citrate	Indol	Hemolysis	Urease	CO agulase	Oxidase	Catalase	Gram stain		
/	/	/	/	+	+	+	-	+	+	<i>S. aureus</i>	١
/	/	/	/	+	+	-	-	+	+	<i>S.epidermidis</i>	٢
-	-	+	-	+	-	-	+	+	-	<i>P.aeruginosa</i>	٣
-	+	-	+	+	-	-	-	+	-	<i>E.coli</i>	٤
+	-	+	-	-	+	/	-	+	-	<i>K.pneumoniae</i>	٥
+	-	+	-	+	-	/	-	+	-	<i>S.marcescens</i>	٦

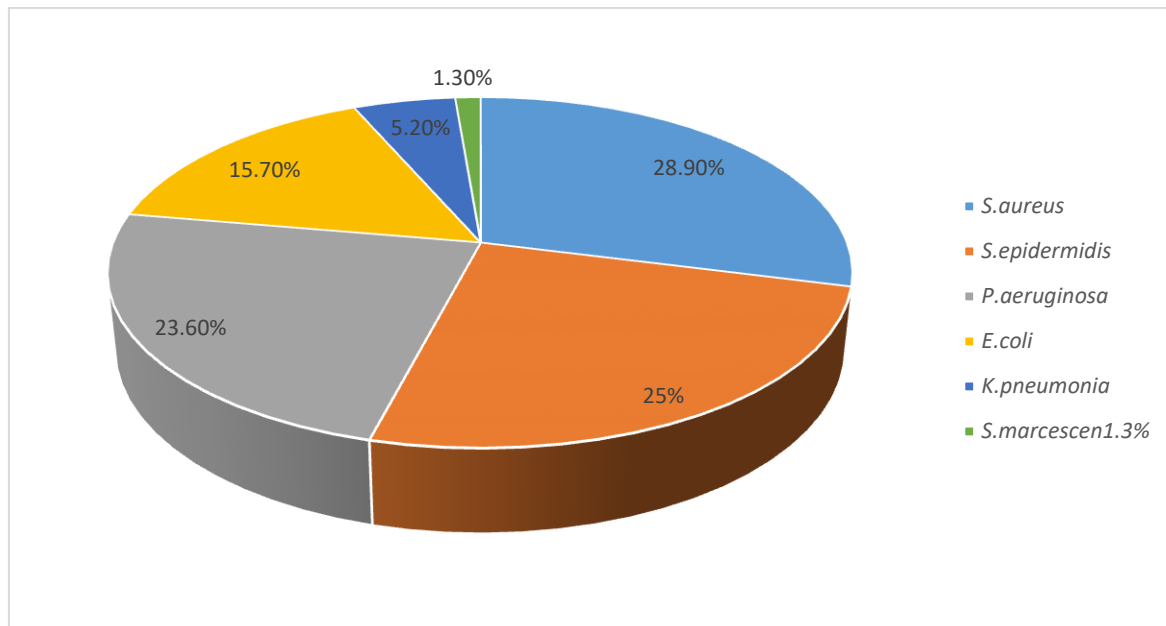
الرمز: (+) نتائج موجبة، (-) نتائج سالبة، (/) عدم اجراء الاختبار

٤-٧-٣: التشخيص باستعمال جهاز الفاينك VITEK system ٢

تم التشخيص النهائي للعزلات البكتيرية الأكثر ترددًا في دراستنا الحالية وهم *S. aureus* و *P. aeruginosa* باستعمال جهاز الفاينك اذ تم تشخيص البكتيريا الموجبة والبكتيريا السالبة لصبغة كرام بطريقة أسهل وأكثر دقة باستعمال بطاقات (GP-GN) التي تحوي على ٦٤ فحصاً كيمو حيوياً متخصصاً وكما مبين في الملحق رقم (٢) والملحق رقم (٣)، إذ كان معدل احتمالية التشخيص عالية ووصلت الى (٩٩٪) لبكتيريا *S. aureus* و *P. aeruginosa* و أكدت نتائج الاختبارات المعمول بها في هذا النظام النتائج التي حصلنا عليها من الاختبارات الكيموحيوية.

٤-٨: الأنواع البكتيرية المشخصة في هذه الدراسة **Bacterial species identified in this study**

اسفرت نتائج العزل والتشخيص السابقة الذكر والمعتمدة على الخصائص المظهرية والمجهرية فضلاً عن الفحوصات الكيمويوية عن وجود نمو بكتيري بنسبة (٤٥%) من أصل ١٦٩ مسحةً ما خوذه من المصايبين باخماج العيون من ثلات مناطق مختلفة الملتحمة والجفن والقرنية تم من خلالها تشخيص (٤١%) عزلة بكتيرية موجبة لصبغة غرام وهي الأعلى سجلت فيها بكتيريا المكورات العنقودية الذهبية *S.aureus* (٢٢%) عزلة و هي تمثل البكتيريا الأكثر عزلاً من اخماج العيون تلتها بكتيريا المكورات العنقودية البشرية البيضاء *S.epidermidis* (٢٥%) بينما ظهرت (٣٥%) عزلة بكتيرية سالبة لصبغة غرام كانت فيها بكتيريا *P.aeruginosa* (٢٣.٦٨%) الأكثر عزلاً من مجموعة العزلات البكتيرية السالبة لصبغة كرام ، وجاءت بالمرتبة الثالثة من ناحية العزل البكتيري ثم بكتيريا *E.coli* (١٥.٧٠%) وبكتيريا *K.pneumoniae* (٥.٢٠%) في ما ظهرت لدينا عزلة بكتيرية واحدة فقط لبكتيريا *S.marcescens* بنسبة (١.٣٠%) وحسب ما موضح بالشكل (٤-).



الشكل (٤-٤): الأنواع البكتيرية المعزولة من اخماج العيون المختلفة

جاءت نسبة عزل البكتيريا الموجبة لصبغة غرام في دراستنا الحالية أقل من النسبة التي حصل عليها Grandi وآخرون (٢٠٢١) في دراسة لهم أجريت في إيطاليا، إذ كانت نسبة البكتيريا

الموجبة لصبغة غرام ٧٣.٥٪ والتي تمثل العزلات السائدة، في حين كانت البكتيريا السالبة لصبغة غرام هي السائدة بنسبة ٦٨.٢٪ في دراسة أجريت في نيجيريا (Kumurya and Lawan, ٢٠٢٣).

وتعد نسبة عزل بكتيريا *S. aureus* في دراستنا الحالية متقاربة لما حصل عليه (Alshamahi et al., ٢٠٢٠) في دراسة لعزل المسببات البكتيرية من المرضى المصابين باخراج العيون والمراجعين لأحدى مستشفيات صنعاء في اليمن، والتي كانت فيها نسبة عزل هذه البكتيريا ٣٠.١٪ وكانت السائدة ومقاربة لنسبة عزل بكتيريا *P. aeruginosa* ، إذ كانت كما بيّنت هذه الدراسة إنّ البكتيريا الموجبة لصبغة غرام هي الأكثر عزلاً ٥٢.١٪ تلتها البكتيريا السالبة لصبغة كرام بنسبة ٤٧.٩٪ والتي كانت متوافقة مع نتائج دراستنا الحالية، وجاءت نسبة عزل بكتيريا *S. aureus* متوافقة مع دراسة محلية أجريت في مستشفى ابن الهيثم التخصصي للعيون في بغداد والتي بلغت ٢٩٪ (Khalil et al., ٢٠١٧)، بينما كانت نسبة بكتيريا *P. aeruginosa* المعزولة في هذه الدراسة أعلى مما حصل عليه (Ewadh et al., ٢٠١٤) في دراسة المسببات البكتيرية في اخراج العيون المعزولة من مستشفيات بابل والتي بلغت ١٧.٠٪ في حين كانت هي السائدة بنسبة ٣٨.٨٪ في دراسة عن العدوى البكتيرية للعين أجريت في غينيا من قبل (Osei et al., ٢٠٢٢).

كما جاءت نسبة بكتيريا المكورات العنقودية سالبة الخثرة *S. epidermidis* المعزولة في دراستنا الحالية متقاربة مع دراسة أجريت في إثيوبيا بلغت نسبة عزلها ٢٣.١٪ (Ayehubizu et al., ٢٠٢١) ومتقاربة مع دراسة أخرى احتلت فيها *S. epidermidis* المركز الثاني بنسبة ٢٩.١٪ من العزل البكتيري (Bhattacharyya et al., ٢٠٢٠).

بينما كانت نسبة بكتيريا *E. coli* المعزولة في دراستنا الحالية أعلى من نسبتها في دراسة محلية أجريت في مستشفيات بغداد والتي بلغت ٢.٥٪ (Al-Mishhadani et al., ٢٠٢٠).

جاءت بكتيريا *K. pneumoniae* المعزولة من اخراج العيون في دراسة أجريت في إثيوبيا مقاربة لما تم الحصول عليه في دراستنا الحالية بنسبة ٤٦٪ (Mohammed et al., ٢٠٢٠)، وأما بالنسبة لبكتيريا *S. marcescens* فقد عزلت بنسبة واطئة جداً مقارنة بباقي العزلات وكانت أقل مما حصل عليه (Petrillo et al. ٢٠٢٠) في دراسة عن إصابات العيون في

مستشفيات إيطاليا كانت نسبة عزلهم ٤٠٪ قد يرجع ذلك نتيجة تعرض العين لجرح عن طريق أداة حادة ملوثة.

إنّ نسبة الزيادة في العزل البكتيري الموجب لصبغة غرام يرجع إلى إنّ بعض منها يشكل جزءاً من النسيب الطبيعي لجلد الإنسان واغشيه المخاطية (Bryant and Woods, ٢٠٠٨) فضلاً عن التركيب الكيميائي لجدار البكتيريا الموجبة لصبغة غرام المتكون من طبقة سميكة من الببتيدوكلايكان (Peptidoglycan) إلى جانب الأحماض الدهنية مع احماض التكويك اسید (Teichoic acid) التي تشكل المكونات الرئيسية لجدار الخلية مقارنة مع جدار البكتيريا السالبة مما يحميها من المضادات الحيوية قدر الإمكان ويساعدها في عملية اجتياح ونخر للأنسجة العينية وبذلك تتثبت عملية البلعمة . (Rohde, ٢٠١٩).

ومن خلال دراستنا الحالية كانت بكتيريا *S. aureus* هي المسبب الرئيس لأخماق العيون ضمن البكتيريا الموجبة لصبغة كرام، ويعزى ذلك إلى وجودها بصورة طبيعية على الجلد والانف لمعظم الأفراد الأصحاء إذ إنّ ١٥٪ من السكان يحملونها في الفتحات الامامية وتتحمل النمو في درجات حرارة عالية تصل إلى ٤٠°C فقد تصبح مرضية تحت أوضاع معينة من نقص مناعة أو أمراض جهازية يتعرض لها الإنسان وظهور سلالات بكتيرية ذات مقاومة للعديد من المضادات الحيوية مما يزيد من نسبة انتشارها (Taylor and Unakal, ٢٠٢٢).

بينما كانت بكتيريا *P. aeruginosa* هي الأكثر عزلًا من أخماق العيون ضمن البكتيريا السالبة لصبغة كرام ويعود ذلك إلى انتشارها على نطاق واسع في البيئة ولاسيما الإصابات المكتسبة من المستشفيات وقدرتها على التكيف مع الأوضاع البيئية وامتلاكها مقاومة متعددة للأدوية (Bereket et al., ٢٠١٢)، وأيضاً بسبب امتلاكها للعديد من عوامل الضراوة كإنتاج الانزيمات مثل انزيم (Collagenase) وانزيم (Protease) اللذان يعملان على زيادة التصاق البكتيريا بخلايا المضيف ، وبذلك يزيد من فرصه حدوث خمج الملتحمة والقرنية الثانوي . (Bharathi et al., ٢٠١٠)

٤-٩: اختبار حساسية العزلات البكتيرية الأكثر ترددًا *S. aureus* و *P. aeruginosa* لأخماق العيون للمضادات الحيوية

استعمل نظام الفايتيك (Vitek ٢) لتحديد حساسية عزلات بكتيريا *S. aureus* و *P. aeruginosa* تجاه عدد من المضادات الحيوية فقد بينت النتائج الموضحة في الشكل (٤-٣) إنّ

كل عزلات بكتيريا المكورات العنقودية الذهبية كانت حساسة بنسبة ١٠٠% للمضادات
المضاد Teicoplanin و Linezolid و Rifampicin و Tigecycline و ٩٥.٤% لمضاد Levofloxacin و ٩٠.٩% لمضاد Trimethoprim\Sulfamethoxazole و Tetracycline و Moxifloxacin و Norfloxacin و Vancomycin و ٨١.٦% لمضادات و Gentamicin و Ciprofloxacin و ٦٨.١% لمضاد و نسبة ٣٠% للمضادات.

ومن جانب آخر فقد تفاوتت تلك العزلات في مقاومتها للمضادات الحيوية قيد الدراسة، إذ بلغت نسبة المقاومة ١٠٠ % لكل من Amoxicillin\Clavulanic acid و Amoxicillin و Ticarcillin\Clavulanic acid و Benzylpenicillin و Benzylpenicillin و Ticarcillin\Clavulanic acid وبنسبة ٩٥.٤ % لكل من Oxacillin والسيفالوسبوريات من الجيل الأول والثاني والثالث والرابع المستعملة في هذه الدراسة وبنسبة ٧٧.٢ لمضاد Azithromycin Fusidic Acid و ٧٢.٧ % لمضادات Clindamycin Erythromycin Clarithromycin وبنسبة ٦٣.٦ % لمضاد

من ملاحظة الشكل المذكور سابقاً يتضح إن كل العزلات المتحصل عليها من هذه الدراسة كانت حساسة لمضاد Linezolid وتنتفق هذه الدراسة مع ما ذكره Mohamed *et al.* (٢٠٢٠)، إذ إن عزلات بكتيريا *S. aureus* المتحصل عليها من مرضى خمج الملتحمة بإحدى مستشفيات مصر كانت حساسة بنسبة ١٠٠% للمضاد قيد الدراسة، كما تم الحصول على نسبة الحساسية ذاتها لبكتيريا *S. aureus* المعزولة من العيون في إيران (Nazari-Alam *et al.* ٢٠٢١).

يعد Linezolid من مضادات Oxazolidinones التي تتميز بقدرتها على اختراق الانسجة بشكل ممتاز، إذ يعمل هذا المضاد على تثبيط بناء البروتين البكتيري من خلال الارتباط بالوحدة الفرعية الرايبوسومية S₅₀ المواجهة مع الوحدة الفرعية S₃₀ وبالتالي يمنع من تكوين معقد البدء الوظيفي S₇₀، وبذلك يمنع انتاج البروتين ويمنع تكاثر البكتيريا (Zahedi Bialvaei et al., ٢٠١٧).

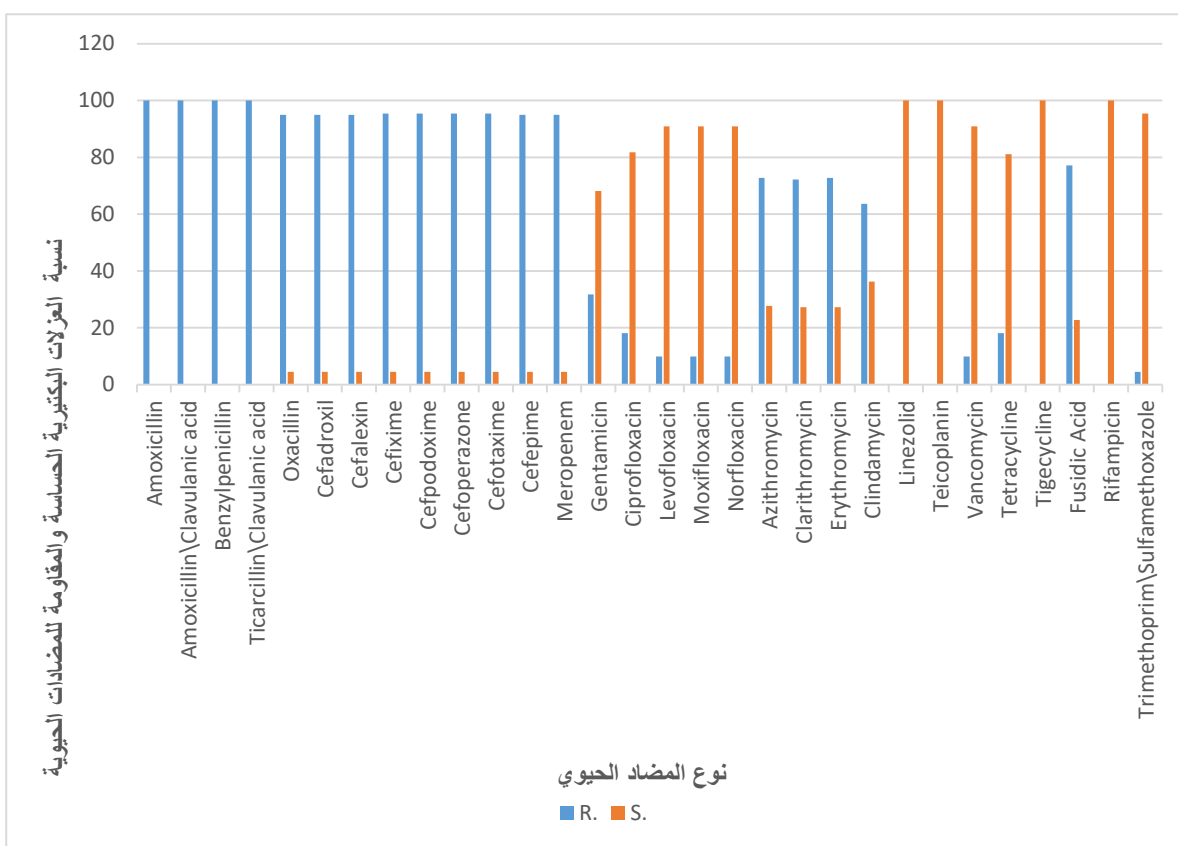
وبالرجوع للشكل المذكور آنفًا يلاحظ إن كل عزلات بكتيريا *S. aureus* حساسة بنسبة ١٠٠% لمضاد Tigecycline الذي يعود إلى صنف Glycylcyclines وهو واسع الطيف ضد مسببات الأمراض التي يصعب علاجها مثل المكورات العنقودية الذهبية المقاومة للمثيسيلين (Stein and Babin chak, ٢٠١٣)، ويشتق من مضادات Tetracycline، ويظهر نشاطاً

تبسيطياً من خلال إرتباطه العكسي بالوحدة الفرعية الريبيوسومية 30S ويشطب ترجمة البروتين .(Rose and Rybak, ٢٠٠٦)

ويلاحظ من الشكل (٤-٣) أيضاً بأن كل عزلات بكتيريا *S. aureus* كانت مقاومة بنسبة ١٠٠ % لمضاد Amoxicillin\Clavulanic acid، وتتفق هذه النتيجة مع دراسة سابقة أجريت في إيطاليا تم الحصول على ذات النسبة (Petrillo *et al.*, ٢٠٢٠).

إن قدرة العزلات البكتيرية على مقاومة مضادات البنسلين تتحقق بآليات عدة منها قدرتها على إنتاج إنزيمات β -Lactamase التي تحل حلقة البيتا لاكتام وتغيير بروتينات ربط البنسلين الموجودة ضمن مجموعة البنسلينات الذي يعمل على تعطيل المضاد (Guo *et al.*, ٢٠٢٠)، فضلاً عن آلية تغيير الهدف مع انخفاض تقارب للمضاد الحيوي أو تغيير في المضاد خلال البكتيريا من خلال مضخات التدفق (Steward *et al.*, ٢٠٠٥)

كذلك كانت عزلات بكتيريا المكورات العنقودية الذهبية مقاومة بنسبة ٧٢.٧% لكل من المضاد الحيوي Erythromycin و Azithromycin و Clarithromycin تقوم تلك المضادات التي تعود لمجموعة المايكروليدات بتثبيط تخلق البروتين في الخلية البكتيرية من خلال الارتباط بالوحدة الفرعية الريبيوسومية 50S ان عملية الربط هذه تمنع نشاط إنزيم Peptidyl transferase، وتتدخل مع انتقال الأحماض الأمينية أثناء ترجمة البروتينات وتجمعها لهذا فإن آلية مقاومته تعني أن البكتيريا إما أن تمتلك واحدة من مورثات المقاومة وهي *ermA* التي تعمل من خلالها على تحويلي في الحامض النووي الريبيوسومي (rRNA) حول موقع الارتباط عند نفق الخروج الذي يهاجر من خلاله البروتين الناشئ حتى يخرج من الريبيوسوم، أو عن طريق آليات مقاومة إضافية هي طفرات الحذف أو الإدخال في البروتين الريبيوسومي الذي يغير من شكل نفق خروج البروتين المصنع .(Halfon *et al.*, ٢٠١٩)



شكل (٤-٣): حساسية عزلات بكتيريا *S. aureus* المعزولة من اخماج العيون تجاه المضادات الحيوية.

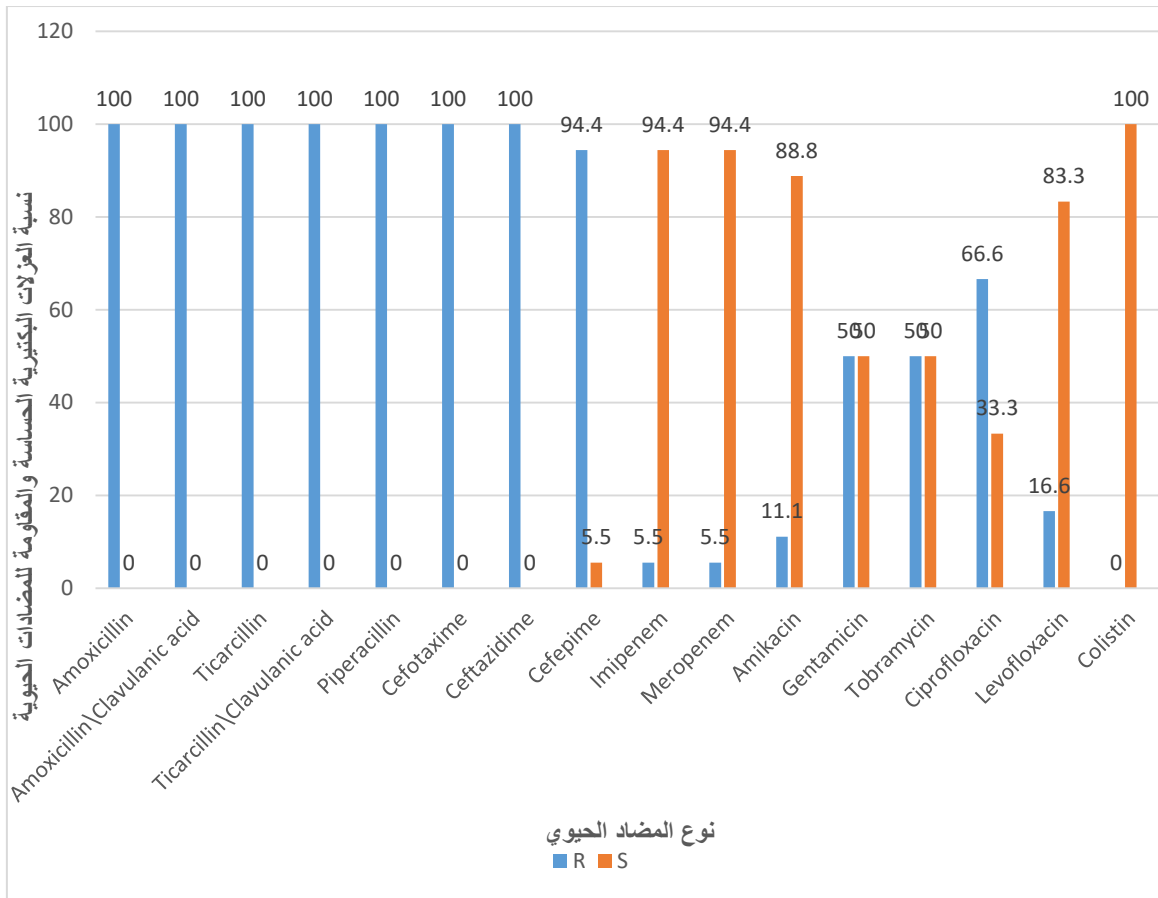
وأما الشكل (٤-٤) فيوضح أن كل عزلات بكتيريا الزوائف الزنجارية حساسة لمضاد Colistin بنسبة ١٠٠% الذي يعد من مجموعة Polymixin E، وهو من المضادات الفعالة جداً ضد بكتيريا *P. aeruginosa* ويسعمل في العلاج الموضعى لأخماج القرنية كما مبين في هذه الدراسة (Egrilmez and Yildirim-Theveny, ٢٠٢٠)، إذ يرتبط مضاد الكولستين موجب الشحنة من خلال تفاعل الكهروستاتيكي مع مجموعة الفوسفات سالبة الشحنة للدهون المكونة لطبقة الغشاء الحيوى عديد السكاريد الشحمى (LPS) في غشاء الخلية السالبة لصبغة كرام، ويزيج المضاد الكاتيونات ثنائية التكافؤ من الكالسيوم Ca^{+2} والمغنيسيوم Mg^{+2} بطريقة تنافسية مما يضعف هيكل عديد السكاريد الشحمى (LPS) ثلاثي الأبعاد مؤدياً إلى نضوح محتويات الخلية البكتيرية وموتها (Andrade et al., ٢٠٢٠).

وأيضاً بيّنت نتائج دراستنا الحالية إنَّ معظم العزلات كانت حساسة لمضاد Imipenem ومضاد Meropenem بنسبة ٩٤.٤%， وهذه النسبة تتوافق في جزء منها مع دراسة في الصين وجدت إن عزلات بكتيريا *P. aeruginosa* حساسة تجاه مضاد Imipenem بنسبة عالية تصل إلى

١٠٠٪، إذ تعود هذه المضادات الى مجموعة Carbapenem وهي صنف من مضادات البيتا لاكتام (Xu *et al.*, ٢٠٢١)، بينما انخفضت حساسية هذه العزلات إلى ٨٨.٨٪ و ٨٣.٣٪ على التوالي لمضادي Levofloxacin و Amikacin و هذه النتيجة تتوافق في جزء منها مع دراسة قام بها (Farhan *et al.*, ٢٠٢١) كان فيها مضاد Amikacin أكثر الادوية فعالية مع أقل نسبة مقاومة ٢٨.٩٪.

وقد أظهرت الدراسة الحالية إن عزلات *P. aeruginosa* لديها معدلات مقاومة عالية جداً للمضادات الحيوية المستعملة في هذه الدراسة، إذ كانت العزلات مقاومة ١٠٠٪ لمضادات Ticarcillin و Amoxicillin|Clavulanic acid و Amoxicillin و Piperacillin و Ticarcillin|Clavulanic acid كانت فيها نسبة المقاومة لمجموعة البنسلينات ١٠٠٪ لعزلات بكتيريا *P. aeruginosa* (Mohager *et al.*, ٢٠١٦)، كما أظهرت النتائج أنها مقاومة لمضادات السيفالوسبورينات بنسبة ١٠٠٪ لمضاد Cefotaxime و Ceftazidime و نسبة ٩٤.٤٪ لمضاد Cefepime، إذ تتولد المقاومة تجاه مضادات السيفالوسبورينات من خلال انتاج انزيمات الببتيد لاكتام Lactamase β- المشفر لها كروموسومياً أو عن طريق البلازميدات المحمولة في البكتيريا التي تقوم بتحليل حلقة الببتيد لاكتام (Pfeifer *et al.*, ٢٠١٠).

بينما كانت مقاومة العزلات البكتيرية ٦٦.٦٪ بالنسبة لمضاد Ciprofloxacin ينتمي هذا المضاد إلى مجموعة مضادات Fluoroquinolone ويستعمل بصورة شائعة في علاج العديد من الالتهابات ومنها اخماق العيون، وإن الاستعمال المكثف لهذا المضاد أدى إلى ازيد مقاومة بكتيريا *P. aeruginosa* من خلال آلية تعيير عن تغيير موقع الهدف والأفراط في تنظيم مضخات التدفق يحدث من خلال الطفرات في الجينات المنظمة لمضخات التدفق (Rhman *et al.*, ٢٠١٩) جاءت هذه النسبة غير متوافقة مع دراسة مصرية كانت نسبة حساسية هذا المضاد تجاه عزلات بكتيريا *P. aeruginosa* هي ٨٣.٣٪ (Badawi *et al.*, ٢٠١٧).



شكل (٤-٤): حساسية عزلات بكتيريا *P. aeruginosa* المعزلة من اخماج العيون تجاه المضادات الحيوية.

٤-١٠: علاقة عوامل الخطورة بمعدل إصابات العيون البكتيرية The relationship of risk factors with the rate of bacterial eye infections

بيّنت النتائج الموضحة في الجدول (٤-٨) بأن هناك فرقاً معنوياً كبيراً على مستوى احتمال ($p = 0.12$) بين عوامل الخطورة مثل الصدمة (Trauma)، أمراض سطح العين، ارتداء العدسات اللاصقة، داء السكري، إصابات الجهاز التنفسي وأسباب غير معروفة التي تزيد من فرصة الإصابة البكتيرية، إذ ظهرت علاقة بعض العوامل التي يعاني منها المرضى بزيادة فرصة الإصابة باخماج العيون البكتيرية و كانت أكثر العوامل ارتباطاً بتطور اخماج العيون هي صدمات العين (٣٠.٢٦٪) ويعتقد إن ارتفاع تردد اخماج العين البكتيرية المرافقة لposure العين للحوادث المفاجئة والإصابات الرياضية أو إصابات ناجمة عن العمل في المجال الزراعي الذي يكون العمال والمزارعين فيه أكثر عرضة إلى المواد النباتية وال أجسام الغريبة (Ting et

Bourcier *et al.*, ٢٠٢١) كما تزداد في الدول منخفضة الدخل لتصل إلى (٧٧.٥٪) (al., ٢٠٠٣).

وتعد أمراض سطح العين العامل الثاني الأكثر شيوعاً (٢٢.٣٧٪) المرافق لتطور خمج العيون البكتيري وتعد حالة جفاف العين هي الأكثر ترددًا بسبب الطقس الحار الجاف وانخفاض نسبة الرطوبة مع انتشار استعمال مكيفات الهواء وتلوث الهواء والتعرض المتكرر لأشعة الشمس فضلاً عن استعمال الكمبيوتر لأكثر من (٦) ساعات يومياً، وهذه العوامل مجتمعة تساعد في حدوث العدوى البكتيرية المرتبطة مع فقدان التوازن في الفلم المملي للدموع وتعرضه للتباخر السريع خاصة في بيئة الحارة الجافة (Alkhaldi *et al.*, ٢٠٢٢)، وقد تتوافق نتائج دراستنا الحالية مع (Tewelde medhin *et al.*, ٢٠١٧) الذي أكد ارتباط أمراض سطح العين والصدمات العينية بحدوث العدوى البكتيرية.

إن ارتداء العدسات اللاصقة كان مرافقاً لـ (١٩.٧٤٪) حالات من إصابات العيون البكتيرية والتي تتطور، إذ لم يتم تنظيف وتطهير وتخزين العدسات اللاصقة بشكل صحيح مما يسبب الإصابة بخم吉 الملتحمة والقرنية والجفن البكتيري، كما إن الإفراط في استعمال العدسات والنوم فيها يزيد من تردد الإصابة وخطورتها (Juhong *et al.*, ٢٠٢٢).

وتتوافق هذه النتائج مع دراسة محلية أخرى كانت فيها صدمات العيون هي الأكثر شيوعاً (٣٩.٦٩٪)، تلتها ارتداء العدسات اللاصقة (١٧.٢٥٪) في محافظة بغداد (Ismael, ٢٠٢٢ and Mohamead, ٢٠٢٢)، بينما لا تتوافق مع دراسة أجريت في دولة الإمارات وجدت أن ارتداء العدسات اللاصقة هو عامل الخطر الرئيس لالتهاب القرنية بنسبة (٣٧٪) (Elhanan *et al.*, ٢٠١٦).

ووجد ارتباط ملحوظ بين إصابات العيون البكتيرية وبعض الامراض الجهازية مثل داء السكري، والتي كانت بنسبة (١٣.١٦٪) هي أقل مما حصل عليه (Khalil *et al.*, ٢٠١٧) في دراسة محلية أجريت في مستشفى ابن الهيثم التخصصي للعيون في بغداد، كما تزيد الامراض الجهازية من خطر الإصابة بالعدوى البكتيرية بشكل عام بما في ذلك خمج العيون البكتيري، وكانت بنسبة (٥.٢٦٪) في الدراسة الحالية وذلك لأنها تضعف جهاز المناعة للجسم بشكل عام فضلاً عن ما يسببه داء السكري من ضرر في الأوعية الدموية الموجودة في الملتحمة وحدوث تغيرات في سطح العين مثل انخفاض استقرار الفيلم المملي للدموع وإفرازه وانخفاض حساسية القرنية (Misra *et al.*, ٢٠١٦) كما يغير مستوى العديد من بروتينات الدموع التي

تشكل جزء من الحاجز الكيميائي للعين (Kello *et al.*, ٢٠٢١)، وقد تكتسب العين العدوى من الإصابات البكتيرية في منطقة البلعوم الانفي فضلاً عن ما تسببه العدوى الفيروسية من ضعف في مقاومة العين للاستعمار البكتيري ، وبالتالي تسمح بزيادة نسبة العدوى البكتيرية فيها (Hovding, ٢٠٠٨)(Buznach *et al.*, ٢٠٠٥) ففي دراسة قام بها (Ismael and Mohamead, ٢٠٢٢) وجد تطابق بين البكتيريا الموجودة في البلغم مع البكتيريا المعزولة من العين ووجد ارتباط بين التهاب الملتحمة مع التهاب الاذن الوسطى وعدوى الجهاز التنفسى .

إضافة لذلك أظهرت النتائج الحالية عن وجود ٧٪ (٩.٢١) حالات من المرضى المصابين بالتهابات العيون البكتيرية غير المرتبطة باى من عوامل الخطورة المذكورة جاءت هذه النتيجة متوافقة مع دراسة محلية أخرى كانت نسبة الإصابات غير المترتبة بعوامل الخطورة (٨٪، Ismael and Mohamead, ٢٠٢٢).

جدول (٤): عدد الإصابات البكتيرية للعين حسب عوامل الخطر

عوامل الخطر	عدد الإصابات N(%)	Chi squared	p value
الصدمة	٢٣ (٣٠.٢٦٪)		
أمراض سطح العين	١٧ (٢٢.٣٧٪)		
العدسات اللاصقة	١٥ (١٩.٧٤٪)		
مرض السكري	١٠ (١٣.١٦٪)	٤.٥٣	٠.٠١٢*
إصابات الجهاز التنفسى	٤ (٥.٢٦٪)		
أسباب غير معروفة	٧ (٩.٢١٪)		
المجموع	٧٦ (١٠٠٪)		

٤-١١: علاقة عوامل الخطورة للمريض مع موقع الإصابة البكتيرية The relationship of the patient's risk factors with the location of the bacterial infection

أظهرت النتائج الحالية وجود ارتباط معنوي بين عوامل الخطورة المدروسة في هذه الدراسة التي يعاني منها المرضى المصابين باخراج العيون البكتيرية مع موقع الإصابة المتمثلة بالملتحمة، الاجفان والقرنية ($p = 0.022$) ، إذ كانت أكثر عوامل الخطورة ارتباطاً مع خمج الملتحمة هي صدمة العين بنسبة (٢٢.٣٦٪)، تلتها أمراض سطح العين (١٥.٧٩٪) ، في حين كان ارتداء العدسات اللاصقة سبباً في حدوث خمج الملتحمة بنسبة (١٣.١٦٪) جاءت هذه النتيجة متوافقة مع دراسة قام بها (Shin *et al.*, ٢٠١٦) كانت فيها العدسات اللاصقة سبباً بحدوث خمج الملتحمة البكتيري .

بينما جاءت إصابات الجهاز التنفسي بأقل نسبة حدوث لخمج الملتحمة (٣٪) (٣.٩٥٪) وكانت تلك النتيجة غير متوافقة مع دراسة قام بها (Haas *et al.*, ٢٠٠٥) اللذين وجدوا ارتباط خمج الملتحمة بإفرازات الجهاز التنفسي أعلى من نتائج الدراسة الحالية.

أما بالنسبة لأمراض سطح العين فهي المسبب الأكثر ترددًا مع خمج الاجفان (٦.٥٧٪)، تلتها الصدمة (٥٪) ، جاءت نتيجة دراستنا متوافقة مع دراسة (Nattis *et al.*, ٢٠١٩) الذي وجد أن هنالك ارتباط بين أمراض سطح العين وخمج الاجفان. وايضاً مع دراسة قام بها (Zilliox *et al.*, ٢٠٢٠) اللذين وجدوا ارتباط امراض سطح العين مع خمج الجفن والملتحمة، ثم جاءت الأمراض الجهازية مثل داء السكري (٣٪) (٣.٩٥٪) والاصابات التنفسية بأقل نسبة (١٪) بينما سجل ارتداء العدسات اللاصقة والالتهابات غير المرتبطة باي من عوامل الخطورة المذكورة نسبة (٢٪) (٢.٦٣٪) و(٣٪) (٣.٩٥٪) على التوالي.

وأظهرت النتائج أيضاً ارتباط خمج القرنية مع ارتداء العدسات اللاصقة، والتي بلغت (٣٪) (٣.٩٥٪) تلها وجود الصدمة (٢٪) ، وجاءت هذه النتيجة متوافقة مع دراسة قام بها (Ting *et al.*, ٢٠٢١) (كان ارتداء العدسات اللاصقة اهم سبب لحدوث خمج القرنية الميكروبي تلتها الصدمة بينما سجلت الامراض الجهازية المتمثلة بداء السكري أقل نسبة (١٪)) .

جدول (٤-٩): علاقة موقع الإصابة البكتيرية في العين مع عوامل الخطورة المدروسة

عوامل الخطورة	موقع الإصابة			Chi squared	P- value
	المتحمة N(%)	الاجفان N(%)	القرنية N(%)		
الصدمة	١٧ (٢٢.٣٦%)	٤ (٥.٢٦%)	٢ (٢.٦٣%)	٤٢٨.٤٠٪	٠.٠٢٢*
أمراض سطح العين	١٢ (١٥.٧٩%)	٥ (٦.٥٧%)	٠ (٠.٠٠%)		
العدسات اللاصقة	١٠ (١٣.١٦%)	٢ (٢.٦٣%)	٣ (٣.٩٥%)		
داء السكري	٦ (٧.٨٩%)	٣ (٣.٩٥%)	١ (١.٣٢%)		
إصابات الجهاز التنفسي	٣ (٣.٩٥%)	١ (١.٣٢%)	٠ (٠.٠٠%)		
أسباب غير معروفة	٤ (٥.٢٦%)	٣ (٣.٩٥%)	٠ (٠.٠٠%)		
المجموع	٥٢	١٨	٦		

٤-١٢: علاقة عمر و الجنس المصايب مع عوامل الخطورة

The relationship of age and gender of the patient with risk factors

أظهرت النتائج الحالية عدم وجود ارتباط معنوي كبير بين عمر المصايب وجنسه مع عوامل الخطورة المتمثلة بالصدمة، وأمراض سطح العين، ارتداء العدسات اللاصقة، داء السكري، إصابات الجهاز التنفسي فضلاً عن الأسباب غير المعروفة التي تزيد من فرصة اصابته البكتيرية على مستوى احتمالية($p=0.742$) كما موضح بالجدول (٤-١٠)، مع ذلك كانت الصدمة للذكور في عمر (٤٩-٢٥) هي الأكثر شيوعاً وقد يرجع إلى ارتباط الذكور بمزاولة أعمال متنوعة أو اثناء ممارستهم الأنشطة الرياضية او حوادث السيارات او التعامل مع الآخرين، و جاءت هذه النتيجة متوافقة في جزء منها مع دراسة في نيوزيلندا كان فيها معدل الصدمة في الذكور أعلى من الصدمة في الإناث لكن بمعدل عمر بين (٢٠-١٥) سنة (Pandita, ٢٠١٢). بينما كانت غير متوافقة مع دراسة سابقة بينت ارتباط صدمة العين وأمراض سطح العين مع الذكور أكثر من الإناث (Ayehubizu et al., ٢٠٢١).

إما بالنسبة لأمراض سطح العين فكانت نتيجة دراستنا متوافقة مع دراسة سابقة كانت أمراض سطح العين تبلغ ٨٠٪ فيها التي بينت إنه لا توجد علاقة بين أمراض سطح العين مع عمر المصاب و الجنس (Hornig et al., ٢٠١٤)، بينما كان استعمال العدسات اللاصقة واحد من عوامل الضراوة المرتبطة بشكل كبير مع الإناث الشابات في دراسة سابقة أجريت في الصين (Zhu et al., ٢٠١٨).

وأما الأمراض الجهازية مثل داء السكري فجاءت نتيجة دراستنا الحالية متقاربة مع دراسة قام بها (Wang et al., ٢٠١٨) على مرضى السكري الذين يعانون من عدوى القرنية، إذ لم يكن هنالك فرق معنوي كبير بين توزيع الجنس في مرضى السكر مع الإصابة العينية لكن كانت هنالك فروقات في العمر إذ سجلت الدراسة الحالية ان الإصابات تزداد بعمر (٥٠-٧٥) سنة.

إن أمراض الجهاز التنفسى جاءت بنسب متقاربة أيضاً بين الذكور والإناث، وهذه لا تتوافق مع دراسة قام بها (Alter et al., ٢٠١١) كانت فيها إصابات الجهاز التنفسى مرتبطة بالعمر، وأما نسبة الإصابات غير المرتبطة بالعوامل السابقة الذكر فتركزت في الفئة العمرية (١٤-٢٤) سنة، مما يشير ذلك إلى إمكانية إصابة العين بالعدوى البكتيرية التي تلعب دوراً نشطاً بإمراضيه العين باي عمر او جنس (Deepthi and Prabagaran, ٢٠٢٠).

جدول (٤): علاقة عمر و الجنس المصاب مع عوامل الخطورة

عوامل الخطورة	١_٢٤ سنة		٢٥-٤٩ سنة		٥٠-٧٥ سنة		Chi squared	P value
	ذكور N	إناث N	ذكور N	إناث N	ذكور N	إناث N		
الصدمة	٨	٠	١٢	٢	١	٠		
أمراض سطح العين	٣	٢	٣	١	٣	٥		
العدسات اللاصقة	٢	٤	٢	٧	٠	٠		
داء السكري	٠	٠	١	٢	٤	٣		
اصابات الجهاز التنفسى	١	٢	٠	١	٠	٠		
أسباب غير معروفة	٤	١	٢	٠	٠	٠		
المجموع	١٨	٩	٢٠	١٣	٨	٨	١.٢٨٣	٠.٧٤٢

٤-١٣-٤: الكشف عن عوامل الضراوة البكتيرية Detection of bacterial virulence factors

أجريت اختبارات التحري عن انتاج بعض من عوامل الضراوة للجنسين البكتيرية الأكثر ترددًا في هذه الدراسة والتي تلعب دوراً مهماً في إمراض العيون والمتمثلة بكل من بكتيريا *P. aeruginosa* و *S. aureus* وكما يأتي:

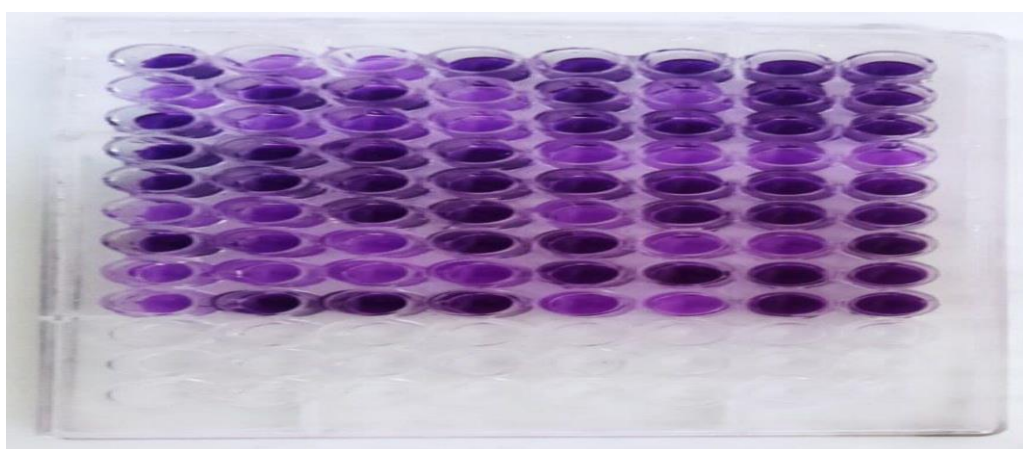
٤-١٣-٤: التحري عن قابلية الاجناس البكتيرية لإنتاج الأغشية الحيوية Investigation of the ability of bacterial species to produce biofilms

تم التحري عن قابلية عزلات بكتيريا *P. aeruginosa* و *S. aureus* على تكوين الأغشية الحيوية وذلك باستعمال طريقة الأنابيب او لاً والتي تعد اختباراً نوعياً (Qualitatively) للكشف عن قدرة تكوين الأغشية الحيوية على أساس سمك وكتافة الأغشية الحيوية المرتبطة بالجدار الداخلي لأنبوبة الاختبار، اذ تكون النتيجة موجبة عندما تكون الأغشية الحيوية بشكل طبقة بنفسجية على الجدران الداخلية وقعر أنابيب الاختبار، وأظهرت نتائج الدراسة الحالية إن كل من عزلات بكتيريا *P. aeruginosa* و *S. aureus* قادرة على انتاج الأغشية الحيوية بنسبة ٨٦.٣٦٪ و ٩٤.٤٤٪ على التوالي وكما موضح في الشكل (٤-٥) وهذه الأغشية مهمة في بقاء واستقرار البكتيريا في المنطقة المصابة الشيء الذي يعزز إمراضيتها ، وجاءت هذه النتيجة متقاربة مع دراسة محلية كانت فيها قابلية بكتيريا *S. aureus* المعزولة من عينات سريرية على تكوين الأغشية الحيوية بنسبة ٨٧.٥٪ (M Raoof et al., ٢٠١٣)، كما تنسجم نتائج الدراسة الحالية أيضاً مع ما حصل عليه كل من (Raksha et al., ٢٠٢٠) الذين وجدوا إن كل عزلات بكتيريا *P. aeruginosa* و *S. aureus* المعزولة من مرتدى العدسات اللاصقة لها قابلية عالية على انتاج الأغشية الحيوية بكفاءة عالية و(Zuberi and Nadeem, ٢٠١٧) اللذين أكدوا إن كل عزلات بكتيريا *P. aeruginosa* و *S. aureus* المعزولة من العدسات اللاصقة وملحقاتها تعطي نتائج موجبة لفحص تكوين الأغشية الحيوية بطريقة الانبوبة، ولتأكيد تلك النتيجة تم اختبار قدرة العزلات المدروسة على انتاج الأغشية الحيوية كمياً باستعمال طريقة اطباق المعايرة Micro titer plate method



(شكل (٤-٥): تكوين الأغشية الحيوية بطريقة الانبوبة (Tube method)

والتي تعد اختباراً كميّاً (Quantitative assay) للكشف عن قابلية بكتيريا *S. aureus* و *P. aeruginosa* على تكوين الأغشية الحيوية ، اذ يعطي قيمة رقمية الامتصاصية على طول موجي (٦٣٠) نانوميتر باستعمال جهاز قارئ الاليزا (ELISA reader) لتحديد كمية الأغشية الحيوية المتكونة من بعد التصاقها على سطوح اطباق المعايرة الموضحة بالشكل(٤-٦) ، وتمثل قيم الامتصاصية سمك الأغشية الحيوية المنتجة من قبل العزلات البكتيرية ، و هذه الطريقة تعد طريقة قياسية وأكثر دقة وحساسية من طريقة الأنابيب (Kord et al., ٢٠١٨)إذ إن تكوين الأغشية الحيوية يعد واحد من عوامل الضراوة المهمة للبكتيريا التي تقوم بإنتاجه اذ يمثل الخطوة الأولى لبدء الالتهاب وحدوث المرض ،لأنه يقوم بتوفير حماية ذاتية للبكتيريا ضد الخلايا البلعومية وبذلك تستمر الإصابة (Nemati et al., ٢٠٠٩)، كما تزداد قابلية البكتيريا على تحمل العلاج بالمضادات الحيوية لأنها تعمل كحواجز تمنع من وصول المضاد الحيوي إلى الخلايا البكتيريا (Mirzaee et al., ٢٠١٤).



(شكل (٤-٦): إنتاج الأغشية الحيوية بطريقة اطباق المعايرة

وأظهرت النتائج الحالية إن كل عزلات بكتيريا *S. aureus* المدروسة (٢٢ عزلة) كانت لها القابلية على انتاج الأغشية الحيوية وبنسبة ١٠٠% كما مبين في الجدول (١٢-٤) لكن بدرجات متفاوتة من خلال مقارنتها مع السيطرة السالبة، إذ تراوحت الإنتاجية بين الانتاج المتوسط للأغشية الحيوية وبنسبة (٢٧.٢٧٪) عزلات من البكتيريا أما الإنتاجية القوية بنسبة (٧٢.٧٢٪) من العزلات وكما مبين في الجدول (١٢-٤).

وتقربت نتائج الدراسة الحالية مع دراسة سابقة وصلت نسبت انتاج عزلات بكتيريا *S. aureus* المعزولة من اخماج سطح العين إلى ٨١.٢٪ (Khalil and Sonbol, ٢٠١٤) كما توافقت ايضاً مع نتائج دراسة (Azmi et al., ٢٠١٩) التي كانت فيها كل عزلات بكتيريا *S. aureus* المعزولة من مصادر سريرية مختلفة منتجة للأغشية الحيوية بنسبة ١٠٠% في حين كانت نسبة انتاجية بكتيريا *S. aureus* للأغشية الحيوية المعزولة من مواقع مختلفة لاخماج العيون أقل من النتائج الحالية، إذ سجلت نسبة ٥١.٩٪ فقط (Hou et al., ٢٠١٢)، في حين جاءت نتائج الدراسة الحالية غير متوافقة مع دراسة أجريت في اثيوبيا كانت نسبة الإنتاجية للأغشية الحيوية من قبل عزلات بكتيريا المكورات العنقودية المعزولة من إصابات سطح العين ٣١٪ فقط (Diriba et al., ٢٠٢٠).

جدول (١١-٤) قابلية تكوين الأغشية الحيوية حسب معدل الكثافة الضوئية OD

معدل OD	قابلية تكوين الغشاء الحيوي
$OD \leq 0.062$	عدم تكوين الغشاء الحيوي
$0.062 < OD \leq 0.124$	ضعيف
$0.124 < OD \leq 0.248$	متوسط
$OD > 0.248$	قوي

جدول (١٢-٤) معدل الامتصاصية لعزلات بكتيريا *S. aureus* المنتجة للأغشية الحيوية عند ٦٣٠ nm.

العزلات البكتيرية	معدل قيم الامتصاصية عند ٦٣٠ nm
St ^١	٠.٢٨٩
St ^٢	٠.٢٥٣
St ^٣	٠.٣٢٧

St٤	.٢٥١
St٥	.٣٠٩
St٦	.٢٦٠
St٧	.٢٦٢
St٨	.٢٢٧
St٩	.٣٤٢
St١٠	.٣٦٥
St١١	.٢٤٣
St١٢	.٢٩٢
St١٣	.٢٤٨
St١٤	.٢٤٢
St١٥	.٣٢٠
St١٦	.١٦٣
St١٧	.٣٥٢
St١٨	.٣٠٧
St١٩	.١٧٨
St٢٠	.٣٤٩
St٢١	.٢٨٣
St٢٢	.٣٤٥

أيضاً أظهرت النتائج الحالية الموضحة بالجدول (٤-١٣) إن كل عزلات بكتيريا *P. aeruginosa* والبالغة (١٨) عزلة منتجة للأغشية الحيوية بنسبة ١٠٠% وتميزت اغلب العزلات بإنتاجية قوية للغشاء الحيوي وبنسبة (٨٣.٣٣%) ١٥ من العزلات في حين كانت العزلات ذات إنتاجية متوسطة للأغشية الحيوية، و توافق هذه النتيجة مع عدة دراسات منها محلية في الانبار كانت فيها بكتيريا *P. aeruginosa* المعزولة من إصابات العيون هي الأكثر ارتباطاً بتكوين الأغشية الحيوية (Al-Janabi *et al.*, ٢٠١٣) كما ذكر العيون (Alwan, ٢٠٢٠) ان عزلات بكتيريا *P. aeruginosa* المعزولة من مصادر سريرية مختلفة

لها القدرة على تكوين الأغشية الحيوية بنسبة ٩٢٪ وكذلك دراسة غير محلية وجدت أن بكتيريا *P. aeruginosa* المعزولة من الملتحمة والقرنية لها القابلية على تكوين الأغشية الحيوية بنسبة Hou et al., ٢٠١٢ (Mahdi et al., ٢٠٢١)٪٨٥.٧ كانت فيها العزلات السريرية العينية غير منتجة للأغشية الحيوية، أيضاً سجلت دراسة سابقة إن ٤٠٪ من عزلات بكتيريا *P. aeruginosa* المعزولة من أخماج سطح العين كانت شديدة التكوين للغشاء الحيوي (Diriba et al., ٢٠٢٠).

جدول (١٣-٤) معدل الامتصاصية لعزلات بكتيريا *P. aeruginosa* المنتجة للأغشية الحيوية عند ٦٣٠ nm

العزلات البكتيرية	معدل قيم الامتصاصية عند ٦٣٠ nm
Pa ^١	٠.٣٦٢
Pa ^٢	٠.٢٥٣
Pa ^٣	٠.٣٠٧
Pa ^٤	٠.٢٦٠
Pa ^٥	٠.٣٤٣
Pa ^٦	٠.٢٠٩
Pa ^٧	٠.١٧٦
Pa ^٨	٠.٣٥
Pa ^٩	٠.٣٦٨
Pa ^{١٠}	٠.٣٥٤
Pa ^{١١}	٠.٢٨٣
Pa ^{١٢}	٠.٢٨٩
Pa ^{١٣}	٠.٣٠
Pa ^{١٤}	٠.٢٦٩
Pa ^{١٥}	٠.٣٥٤
Pa ^{١٦}	٠.٢١٢
Pa ^{١٧}	٠.٢٦١
Pa ^{١٨}	٠.٣٠٥

٤-١-١-٤: العلاقة بين موقع الإصابة البكتيرية في العين وقابلية العزلات البكتيرية على إنتاج الأغشية الحيوية

The relationship between sites of bacterial infection in the eye and the ability of bacterial isolates to produce biofilms

يظهر الجدول (٤-٤) وجود ارتباطاً معنوياً على مستوى احتمالية ($p = 0.022$) بين قابلية العزلات البكتيرية المدروسة *S. aureus* و *P. aeruginosa* على إنتاج الأغشية الحيوية وموقع الإصابة البكتيرية في العين (الملتحمة، الاجفان والقرنية)، إذ كانت (٩٥.٩٪) من العزلات *P. aeruginosa* (٥٥.٥٪) من عزلات بكتيريا *P. aeruginosa* المعزولة من الملتحمة ذات إنتاجية قوية للأغشية الحيوية في حين وجد أن العزلات البكتيرية المعزولة من الاجفان كانت نسبة إنتاجها للأغشية الحيوية متوسطة وبلغت (١٨.١٪) و (١١.١٪) على التوالي.

أما الاجناس البكتيرية (*P. aeruginosa* و *S. aureus*) المعزولة من أخماج القرنية كانت ذا قابلية قوية على إنتاج الأغشية الحيوية وبنسبة (٦٦.٦٪) و (٩٠.٩٪) على التوالي، و يلاحظ من نتيجة الدراسة الحالية زيادة قابلية العزلات البكتيرية على تكوين الأغشية الحيوية في الملتحمة باعتبارها جزء من سطح العين الغني بالمغذيات لذا فهو يدعم مجموعة متنوعة من الكائنات الدقيقة ، إذ تلتتصق الأغشية الحيوية بالسطح التي توفر مصدرا إضافيا للعناصر الغذائية وبالتالي تحافظ على البكتيريا في حالة مثالية وتصبح محمية من البلعمة (Murugan *et al.*, ٢٠١٠) جاءت نتائج الدراسة الحالية غير متوافقة مع دراسة قام بها (Diriba *et al.*, ٢٠٢٠) كانت فيها عزلات بكتيريا المكورات العنقودية الذهبية والزائفة الزنجارية المعزولة من الملتحمة منتجة للأغشية الحيوية بنسبة (٣١٪، ٤٠٪) فقط على التوالي . كما جاءت غير متوافقة مع دراسة أخرى تراوحت إنتاجية الأغشية الحيوية لتلك العزلات المسببة لأخماج القرنية لدى مرتدى العدسات اللاصقة بين ضعيفة إلى متوسطة الإنتاجية (El-Ganiny *et al.*, ٢٠١٧). يعتقد ان الاختلاف في شدة تكوين الأغشية الحيوية حسب مناطق الإصابة وحسب الأنواع البكتيرية يعود الى الإشارات البيئية التي تعزز من تكوينها وهي المحتوى الغذائي، درجة الحرارة، توفر الاوكسجين، الحديد وغيرها (Behlav and Gilmore, ٢٠٠٨).

جدول (٤-٤) العلاقة بين انتاج الاغشية الحيوية و مواقع الإصابة البكتيرية في العين

انتاج الاغشية الحيوية		موقع الإصابة				Chi square d	P value
		المتحمة N(%)	الاجفان N(%)	القرنية N(%)	المجمو ع		
<i>S.aureus</i>	ضعيف	٠	٠	٠	٠	٦.٤٥٣	٠.٠٢٢
	متوسط	٤ (%)٩.٠٩	(%)١٨.١٨	٠	٦		
	قوى	١٣ (%)٩.٠٩	١ (%)٤.٥٤	٢ (%)٩.٠٩	١٦		
<i>P.aeruginosa</i>	ضعيف	٠	٠	٠	٠		
	متوسط	٢ (%)٥.٥٥	(%)١١.١١	٠	٣		
	قوى	١٠ (%)٥.٥٥	(%)١١.١١	٣ (%)١٦.٦٦	١٥		

٤-١٣-٢: انتاج ذيفان حال الدم Hemolysin production

بيّنت نتائج الدراسة الحالية ان عزلات بكتيريا *S. aureus* و *P. aeruginosa* قادرة على انتاج ذيفان حال الدم نوعياً ومعظمها يكون بشكل هالة شفافة حول مستعمرات البكتيريا النامية على وسط غراء الدم (تحل من نوع β - Hemolysin) كما وصفت من قبل (Moraveji et al., ٢٠١٤) وبنسبة ١٠٠% لبكتيريا *P. aeruginosa* التي تعبّر عنه بشكل كونه س خارجي (Hemolytic phospholipase C) الذي يظهر خصوصية قوية للخلايا البطانية مسبباً انحلال واضح لخلايا الدم الحمر للإنسان والأغنام بالإضافة إلى كونه سام للخلايا العدالة (Neutrophils) والبلاعم (Macrophage) (Vasil et al., ٢٠٠٩) جاءت نتائج الدراسة الحالية متقاربة مع ما توصلت إليه دراسة محلية (Flayyih et al., ٢٠١٣)، والتي لاحظت أن كل عزلات بكتيريا الزوائف الزنجارية المعزولة من خمج

العين منتجة لذيفان حال الدم من نوع بيتا، أيضاً كانت كل عزلات بكتيريا *S. aureus* منتجة لذيفان حال الدم وبنسبة ١٠٠٪ على وسط غراء الدم ومن نوع بيتا (Vandenesch et al., ٢٠١٢) أيضاً جاءت هذه النتيجة متقاربة مع دراسة كل من (Bertelloni et al., ٢٠٢١) و (Moraveii et al., ٢٠١٤) التي أعطت فيما عزلاً بكتيريا المكورات العنقودية الذهبية نسبة تحلٍ عالية وصلت إلى ٩٠٪ و ١٠٠٪ على التوالي.

تأثير قابلية البكتيريا على انتاج ذيفان حال الدم بعوامل عدة أهمها نوع الدم المستخدم فقد لوحظ ان دم الأغنام يعطي مناطق تحلٍ أوضح وأكبر من دم الإنسان، نظراً لاختلاف التركيبة الدهنية للأغشية خلايا الدم الحمر في الثديات بين الأنواع، إذ اشارت بعض الدراسات الى ان سبب الاختلاف في تأثير خلايا الدم الحمر تجاه بيتا هيمولايسين يعود الى اختلاف محتويات السفينغوميلين (Sphingomyelin) في خلايا الدم الحمر، اذ تتميز أغشية الخلايا الحمر للأغنام بانخفاض الفوسفاتيديل كولين (Phosphatidyl choline) ومحتويات عالية من السفينغوميلين مقارنة بالأغشية نفسها للأنواع الأخرى لهذا فإن خلايا الدم الحمر للأغنام هي الأكثر تأثراً تجاه فعل الذيفان حال الدم نوع بيتا لما تحويه من نسبة أكبر من السفينغوميلين (Dinges et al., ٢٠٢٣؛ Yamaguchi et al., ٢٠٠٠؛ Milivojevic et al., ٢٠١٨) فضلاً عن مصدر العزلة البكتيرية كما جاء في هذه الدراسة التي أكدت إن العزلة البشرية تنتج ذيفان حال الدم بكمية أكبر مقارنة ببقية العزلات (Ali-vehmas et al., ٢٠٠١) كما ان العزلة البكتيرية ونوع العزلات البكتيرية وحالة نموها في وسط معين اذ يؤثر نوع الوسط على إنتاجية ذيفان حال الدم كما ان مدة الحضن ، درجة الحرارة وكمية الاوكسجين المتوفرة كل هذه العوامل تلعب دوراً مهما في انتاج الذيفان (Divyakolu et al., ٢٠١٩) كما يعتمد معدل انحلال الدم على تركيز الذيفان ، درجة الحرارة ، درجة الحموضة وتركيز ايونات الكالسيوم وخلايا الدم الحمر، اذ تؤثر تركيز ايونات الكالسيوم على تكوين الأغشية الحيوية والنশاط الانحلالي لبكتيريا المكورات العنقودية الذهبية (Cavelieri et al., ١٩٨٤؛ Lee et al., ٢٠١٦).

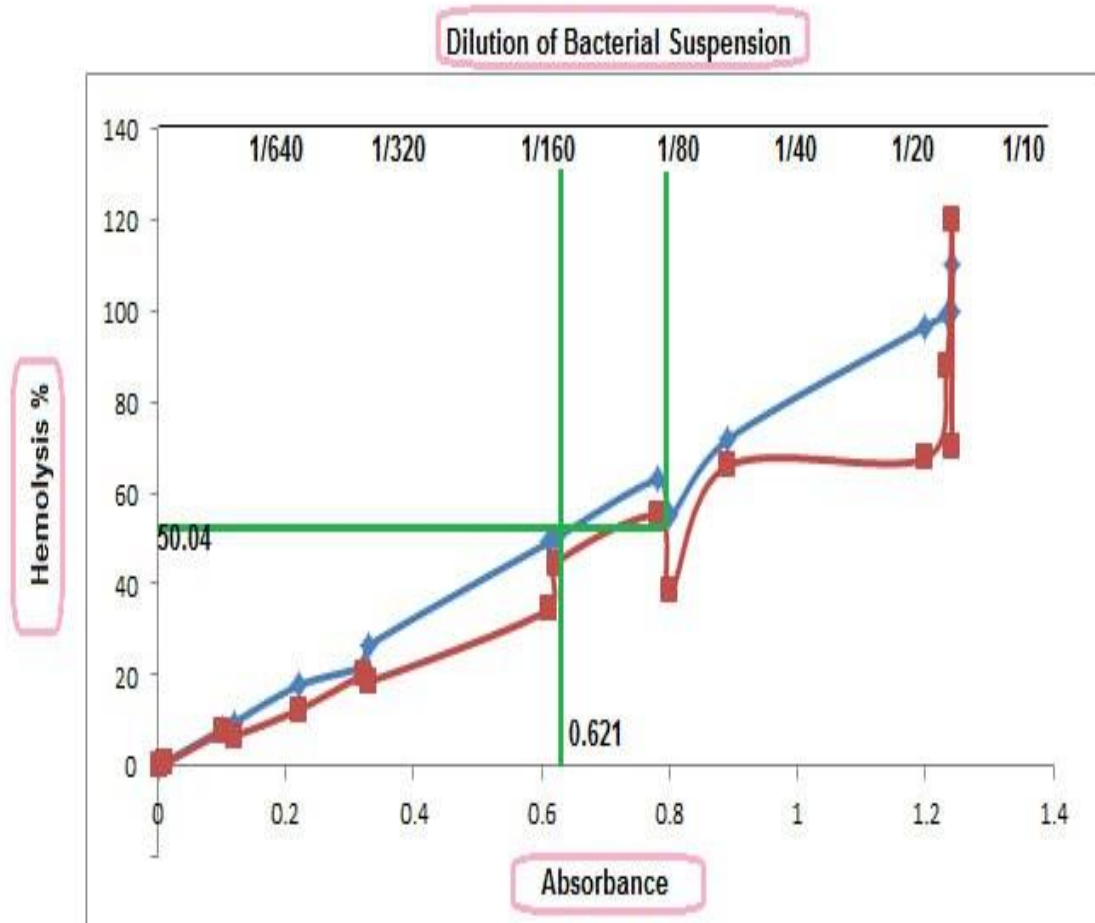
يعد ذيفان حال الدم عوامل الضراوة المهمة في إمراضيه البكتيريا ، اذ يحلل خلايا الدم الحمر مما يسبب تحطيم الخلايا أو الانسجة ويسهل من انتشار البكتيريا وامتصاص العناصر الغذائية ، اذ يساعد الهيمولايسين في نضح الحديد وبذلك يسمح لها بالتلغلب على دفاعات المضيق والتهرب منها (Divyakolu et al., ٢٠١٩) وبعد التحرى عن انتاج الذيفان نوعياً من خلال ملاحظة منطقة التحلل الواضحة للعزلات البكتيرية تم تقدير كمية الذيفان المنتج كمياً ، و تم التقدير بطريقتين تم قياس كمية الذيفان المنتج من قبل عزلات بكتيريا *P. aeruginosa* و *S. aureus*

عن طريق قياس قطر التحلل المنتج على وسط غراء الدم الحاوي على دم أغنام ، إذ إن قطر التحلل يعكس كمية الديفان المنتج فكلما زادت كمية الإنتاج زاد قطر التحلل الدموي حول الحفرة التي وضع فيها الراشح البكتيري كما لوحظ أن عزلتي من بكتيريا *S. aureus* أظهرت منطقة تحلل واضحة ، إذ أعطت العزلة St^3 أعلى قطر لمنطقة التحلل بلغ 28.3 ملم ثم تلتها العزلة St^5 بقطر 23.4 ملم ثم بقية العزلات . جاءت هذه النتيجة غير متوافقة مع دراسة مصرية حول عزل بكتيريا المكورات العنقودية من مصادر سريرية مختلفة كان فيها إنتاج انزيم ذيفان حال الدم بينما بنسبة 48.1% فقط من العزلات (Desouky *et al.*, ٢٠١٤) في حين لوحظ أيضاً أن اقطار التحلل الدموي لبكتيريا *P. aeruginosa* أقل مقارنة ببكتيريا *S. aureus* وباللغة $p < 0.04$ للعزلتين St^9 و St^4 على التوالي، و جاءت هذه النسبة منسجمة مع دراسة الباحث (Georgescu *et al.*, ٢٠١٦) الذي وجد إن نسبة إنتاج بينما الهيمولايسين لبكتيريا الزائفة الزنجارية هي الأعلى على وسط غراء الدم للأغنام والبالغة 92.3% إذ بين إن ذيفان حال الدم يلعب دوراً مهماً في نشر العدوى لأن هذا الانزيم يشكل مسامات أو ثقوب على أغشية الخلايا فيسهل غزو الزائفة الزنجارية إلى الخلايا حقيقة النواة مما يحمي البكتيريا من آليات دفاع المضيق والعلاج بالمضادات الحيوية (Rodulfo *et al.*, ٢٠١٩) كذلك توافقت النتائج الحالية مع دراسة أخرى أجريت في نيجيريا كانت فيها بكتيريا المكورات العنقودية الذهبية هي السائدة في إنتاج الهيمولايسين مقارنة ببكتيريا الزائفة الزنجارية (Tula *et al.*, ٢٠٢٣).

وعند قياس كمية الديفان كميّاً عن طريق تحديد فعالية ذيفان حال الدم المنتج من خلال اخذ معكوس أعلى تخفيف يعطي تحللاً كاملاً، فقد تم تحديد درجة التحلل الدموي عن طريق قياس امتصاص الهيموغlobin المنطلق في الراشح على طول موجي 543 نانومتر (Costabile, ٢٠١٠)، وأظهرت نتائج الدراسة الحالية إن الفعالية التحللية لأنزيم حال الدم في الراشح للعزلات St^3 و St^5 بلغت 160 و 80 وحدة تحلل/ مل على التوالي والتي تمثل مقلوب أعلى تخفيف أعطى تحلل واضح لخلايا الدم الحمر مقارنة ببقية العزلات كما موضح بالشكل (٤-٧).

وانسجمت نتيجة الدراسة الحالية للفعالية التحللية للهيمولايسين لبكتيريا المكورات العنقودية الذهبية من الدراسة التي قام بها (Elhakim *et al.*, ٢٠٢١) الذي حدد إن أعلى تخفيف اعطى النشاط الانفعالي لخلايا الدم كان $1:40$ علماً إن الوسط المحدد كيميائياً (Chemical defined medium) وسطاً أمثل لإنتاج الديفان بوصفه يعمل على زيادة إنتاج الديفان لاحتوائه على كل

المعادن الضرورية لتعزيز النمو البكتيري، وبالتالي زيادة قدرتها على انتاج الذيفان الذي يرفع نسبة التحلل (Devaux *et al.*, ٢٠١٨).



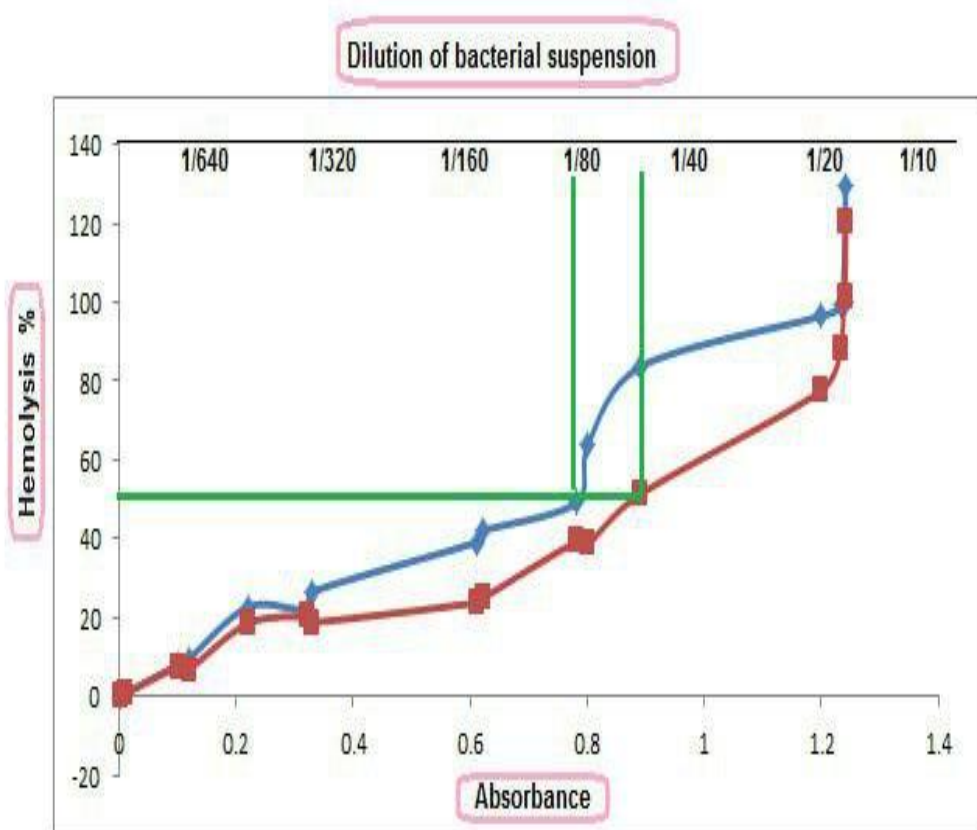
شكل (٤-٧) الفعالية التحللية لذيفان حال الدم عند ٥٠٪ لبكتيريا *S. aureus*

بينما كانت الفعالية التحللية لعزالتين من بكتيريا *P. aeruginosa* هما Pa^{1} و Pa^{90} وحدة تحللية/ مل على التوالي وهي الأعلى مقارنة ببقية العزلات وكما موضح بالشكل (٤-٨).

وأكّدت هذه النتائج القابلية العالية للعزلات البكتيرية على إفراز ذيفان حال الدم بيّتا إلى الوسط الذي تعيش فيه بوصفه يمثل أهم عوامل الضراوة التي تفرزها البكتيريا إلى البيئة الخارجية التي تحيط بالبكتيريا لأنّه يعمل على السفينغوميلين فإنّ هذا الذيفان يزعزع استقرار الطبقة ثنائية الدهون في الغشاء اللازمي للخلايا مما يسبّب عدم انتظام ميوّعة الغشاء اللازمي (Kong *et al.*, ٢٠١٦)، وعند مقارنة الفعالية التحللية بين

العزلات المدروسة لوحظ إن الفعالية التحليلية لذيفان حال الدم بيتا المفرز من عزلات بكتيريا المكورات العنقودية الذهبية أعلى من الفعالية التحليلية لعزلات بكتيريا الزائفة الزنجارية هذا يؤكد ما توصل اليه بعض الباحثون الذين أكدوا إن أعلى نسبة لعزلات بكتيريا الزوائف الزنجارية المنتجة لذيفان حال الدم هي تلك المعزولة من خمج المسالك البولية مقارنةً بتلك المعزولة من مصادر سريرية أخرى كأخماج العيون (Mittal *et al.*, ٢٠٠٩: Morin *et al.*, ٢٠٢١).

جاءت نتيجة الاختبار الكمي ذيفان حال الدم متوافقة مع نتائج الاختبار شبه الكمي، وهذا ما اكنته معظم الدراسات التي بينت دور ذيفان حال الدم وفعاليته على خلايا الدم الحمر لوصفها تمثل الخلايا الأكثر ملائمة لمعاييرة السموم الحالة لخلايا لكونها متوفرة بسهولة فضلاً عن إنها الهدف الأساس للبكتيريا الممرضة التي تفرز الذيفان وتسبب بذلك اضرار بالغة (Bernheimer, ١٩٨٨)، ونتائج دراستنا الحالية تشير إلى إن ذيفان حال الدم بيتا هو السائد في هذه الدراسة كون اغلب الإصابات البكتيرية كانت في ملتحمة العين وهذا ما أكدته الباحث (Ocallaghan *et al.*, ١٩٩٧) بينما السم حال الدم الفا المفرز من قبل بكتيريا المكورات العنقودية الذهبية يرتبط بشدة مع إصابات القرنية في حين السم حال الدم بيتا يرتبط مع إصابات الصلبة.



شكل (٤-٨) : الفعالية التحللية لذيفان حال الدم عند ٥٠٪ لبكتيريا *P. aeruginosa*

٤-١٣-١: العلاقة بين موقع الإصابة البكتيرية في العين وقابلية العزلات البكتيرية على إنتاج ذيفان حال الدم

The relationship between sites of bacterial infection in the eye and the ability of bacterial isolates to produce hemolysin

يتضح من نتائج الدراسة الحالية عدم وجود ارتباط معنوي عند مستوى احتمالية ($p=0.736$ و $p=0.836$) على التوالي بين قابلية البكتيريا على إنتاج ذيفان حال الدم من قبل عزلات بكتيريا *S. aureus* و *P. aeruginosa* و موقع الإصابة البكتيرية في العين المدروسة في هذه الدراسة والموضحة بالجدول (٤-١٥) على الرغم من إن أعلى فعالية تحليله للهيمولايسين من قبل بكتيريا *S. aureus* كانت في الملتحمة وبلغت ١٦٠ وحدة تحليل / مل إذ يعتقد إن غنى طبقة الملتحمة بالأوعية الدموية (Chen and Hong, ٢٠١٦) يزيد من ضراوة العزلات البكتيرية في هذه المنطقة، ويزيد من إمراضيتها، وجاءت هذه النتيجة متوافقة مع دراسة

محلية سابقة في بابل كانت فيها عزلات بكتيريا المكورات العنقودية الذهبية منتجة للهيمولايسين بنسبة ٦٨.٤% في الملتحمة (Al-Rubaey *et al.*, ٢٠٠٧). فيما كانت أعلى فعالية تحليله للهيمولايسين من قبل بكتيريا الزوائف الزنجارية كانت أيضاً في الملتحمة وبواقع ٨٠ وحدة تحلل/مل.

جدول (٤-١) : علاقة موقع الإصابة البكتيرية في العين مع كمية ذيفان حال الدم المنتج من قبل العزلات الجرثومية المدروسة.

	انتاج الهيمولايسين	الملتحمة (N)	الاجفان (N)	القرنية (N)	Chi squared	P value
<i>S.aureus</i>	١١٠	١٤	٥	١	١.٢٨٤	٠.٧٣٦
	١١٢٠	٠	٠	٠		
	١١٤٠	٠	٠	٠		
	١١٨٠	٠	٠	١		
	١١٦٠	١	٠	٠		
<i>P.aeruginosa</i>	١١٠	٩	٤	٣	١.٨٣١	٠.٨٣٦
	١١٢٠	٠	٠	٠		
	١١٤٠	١	٠	٠		
	١١٨٠	١	٠	٠		
	١١٦٠	٠	٠	٠		

٤-٤ : الكشف الجزيئي عن مقاومة المضادات الحيوية لعزلات بكتيريا المكورات

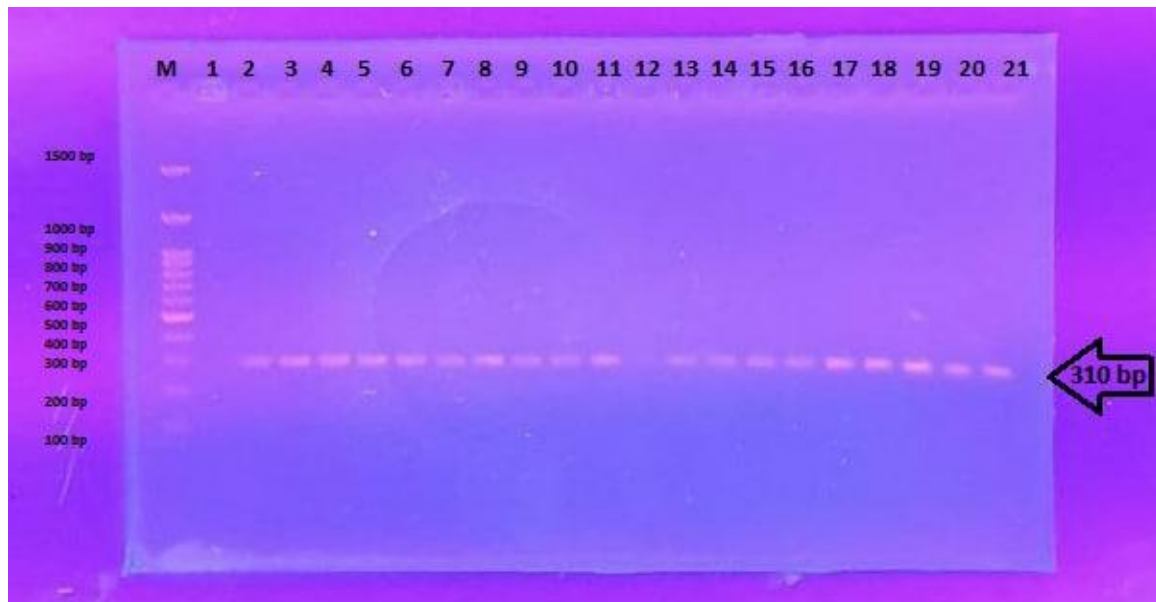
Molecular detection of antibiotic resistance in the study isolates of *Staphylococcus aureus*.

أوضحت النتائج الحالية إمكانية استخلاص DNA من هذه العزلات البكتيرية بنجاح باستخدام Genomic DNA extraction kit من خلال تقنية PCR التي تميز بوصفها تقنية بسيطة وسريعة (Kashir and Yaqinuddin, ٢٠٢٠).

واستعملت تقنية PCR في هذه الدراسة للكشف عن وجود مورثة *mec A* في بكتيريا *S. aureus* يوضح الشكل (٤-٩) الترحيل الكهربائي لنواتج PCR ، والتي يتبيّن من خلالها إن البوادئ (Primer) الخاص بالمورث *mec A* كان ناجحاً في تضخيم هذا الجين من خلال ظهور ناتج ذو حجم ٣١٠ bp ، وعند ملاحظة ناتج الترحيل يتبيّن إن ٢١ عزلة بكتيرية من بكتيريا

المكورات العنقودية قيد الدراسة تحوي جين *mecA* أي بنسبة ٩٥.٤ %، وهذه الطريقة تعد مثالية لتحديد مقاومة المثيرسين في عزلات بكتيريا *S. aureus* وتحديد السلالات متعددة مقاومة للمضادات الحيوية (MRSA) من خلال التشفير إلى بروتين PBP-2a، وهو بروتين مرتبط بالبنسلين أو لأنزيم أساسى لجدار الخلية البكتيرية يحفز إنتاج البيبيديوكلايكان في جدار الخلية البكتيرية. لذلك يستمر PBP-2A في تحفيز تخلق جدار الخلية البكتيرية حتى في وجود العديد من المضادات الحيوية. نتيجة لذلك، يمكن أن تنمو سلالات المكورات العنقودية الذهبية التي تصنع PBP-2A في وجود العديد من المضادات الحيوية، تمثل سلالات MRSA إلى أن تكون مقاومة للمثيرسين، والأوكساسيelin، والسيفالوسبورينات.

جاءت هذه النسبة المرتفعة مقاربة للعديد من الدراسات التي أكدت زيادة انتشار سلالات MRSA التي تعد المسبب الرئيسي لأخماق العيون من ٣٤% إلى ٥٣% في دول مختلفة من العالم منها إيران، والولايات المتحدة، والهند وتايوان مما تسبب في زيادة معدلات مقاومة المضادات الحيوية شائعة الاستعمال (Vola *et al.*, ٢٠١٣؛ Hsiao *et al.*, ٢٠١٥؛ Faridi *et al.*, ٢٠١٨). بينما لا تتوافق مع دراسة محلية في النجف التي كان وجود جين *mecA* فيها بنسبة ٤٥.٤% فقط في العزلات البكتيرية المسببة لإصابة العيون Almakhzoomy *et al.*, ٢٠١٨).



الشكل (٤-٩): الترحيل الكهربائي لناتج تفاعل PCR لميكروب *S. aureus* باستعمال البوادئ النوعية لجين *mecA* (٣١٠ bp)، بتركيز هلام (١٠٪)، وفولتية (٧٠) فولت لمدة (٥٠) دقيقة.

كما تم استعمال تقنية PCR في هذه الدراسة للكشف عن وجود جين *ermA* الخاص ببكتيريا *S. aureus* ويوضح الشكل (٤-١٠) الترحيل الكهربائي لنواتج PCR والتي تبين من خلالها ان البادئ (Primer) الخاص بالجين *ermA* كان ناجحاً في تضخيم هذا الجين من خلال ظهور ناتج PCR يبلغ حجمه ٦٤٥ bp. وعند ملاحظة الشكل ذاته يتضح أن جين *ermA* يوجد في ١٦ عزلة بكتيرية بنسبة ٧٢.٧% ويقوم بالتشفيير إلى مثيلة الحامض النووي الرايبيوسومي (23S rRNA) التي تمنع من ارتباط المضاد الحيوي بالهدف الرايبيوسومي، وبذلك ينتج تعديل في موقع الهدف (Mamman *et al.*, ٢٠٢٢).

وقد أكدت العديد من الدراسات وجود جين *ermA* في العزلات البكتيرية المعزولة من اخماج العيون، ولكن بنسب مختلفة من دولة الى أخرى فقد بلغت نسبته ٦٧.٩% في مصر (Assefa, ٢٠٢٢) وبنسبة ٥٧.١% في دراسة سابقة في إيران (Khashei *et al.*, ٢٠١٨)، وإن نتيجة دراستنا الحالية جاءت غير متوافقة مع دراسة بولندية كان فيها جين *ermA* موجود بنسبة ١٥.٦% فقط من عزلات بكتيريا المكورات العنقودية الذهبية المعزولة من المرضى المصابين باخماج العيون من المقيمين وغير المقيمين في المستشفيات (Klos *et al.*, ٢٠١٩).



الشكل (٤-١) : الترحيل الكهربائي لناتج تفاعل PCR لبكتيريا *S. aureus* باستعمال البوادى النوعية لجين *ermA* (٦٤٥ bp)، بتركيز هلام (١.٥٪)، وفولت لمدة (٥٠) دقيقة

٤-١٥: الكشف الجزيئي عن بعض مورثات الضراوة في العزلات البكتيرية

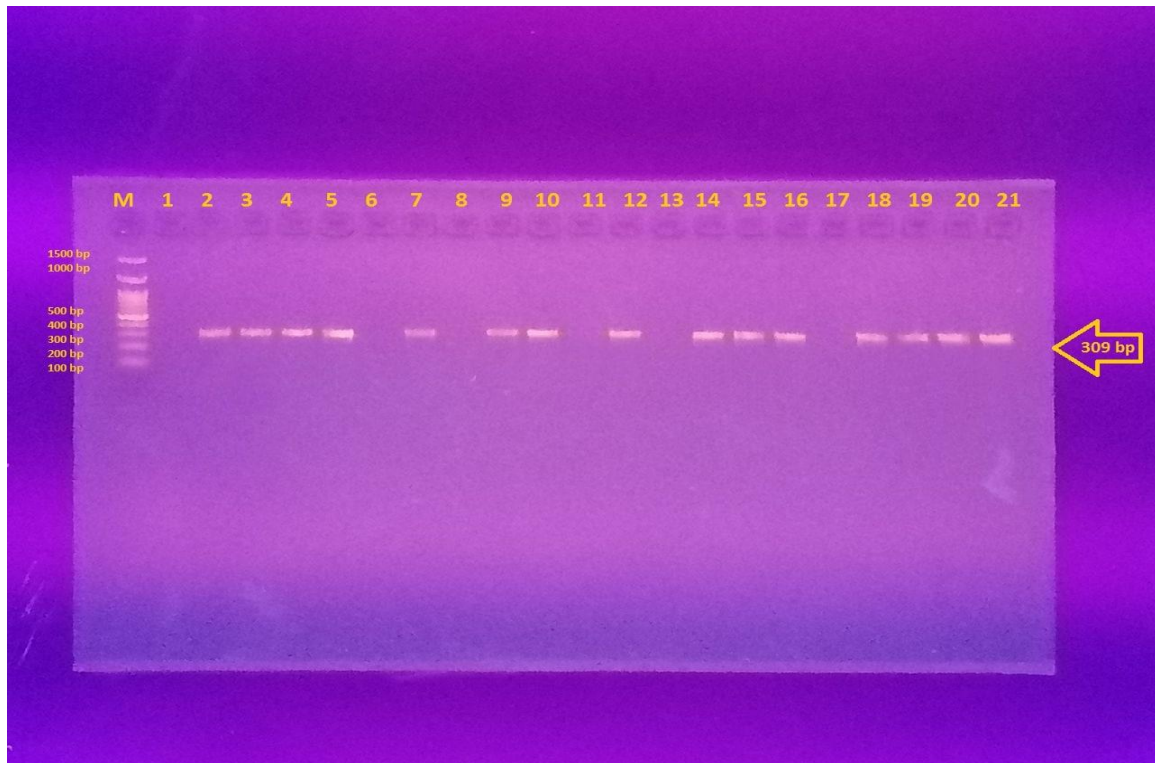
Molecular detection of some virulence genes in the bacterial isolates

اما فيما يخص مورثات الضراوة في ٢٢ عزلة بكتيرية من بكتيريا *S. aureus* و ١٨ عزلة بكتيرية تعود لبكتيريا *P. aeruginosa* وبعد استخلاص DNA من العزلات البكتيرية قيد الدراسة باستعمال العدة (Kit) واجراء الترحيل الكهربائي على هلام الاكاروز تم ملاحظة الاوزان الجزيئية للحزم الناتجة وقورنت مع الدليل الحجمي.

ايضاً في هذه الدراسة تم الكشف عن وجود مورث الضراوة *hlb* الخاص ببكتيريا *S. aureus* يوضح الشكل (١١-٤) الترحيل الكهربائي لنواتج PCR والتي تبين من خلالها ان البادئ (Primer) الخاص بالجين *hlb* كان ناجحاً في تضخيم هذا الجين من خلال ظهور ناتج PCR يبلغ حجمه ٣٠٩ bp.

كما يتبيّن أن ١٧ عزلة بكتيريه فقط تحوي جين *hlb* بنسبة ٧٧.٢% الذي يشفر إلى انتاج الديفان الخارجي الهيمولايسين من نوع بيتا القادر على تحليل الغشاء اللازمي الدهني السفينغوميلين (Sphingomyelin) لخلية المضيف مما يزيد من ضراوة البكتيريا ويدمر خلايا الدم الحمر مطلقاً بذلك الهيموغلوبين الحر، لهذا يعد هذا السُّم من اهم عوامل الضراوة ذات العلاقة بالتهابات الجهاز التنفسي (خمج الرئة) وعدوى العين (Motamedi *et al.*, ٢٠١٨؛ Astley *et al.*, ٢٠١٩).

جاءت نتيجة الدراسة الحاليه متقاربة مع نتائج عدد من الدراسات العالمية كتلك التي أجريت في مدينة شنغهاي الصينية، اذ بلغ فيها وجود جين *hlb* ٧٥% في بكتيريا *S. aureus* المعزولة من الانسجة الرخوة (Liu *et al.*, ٢٠١٢) بينما في دراسة برازيلية وجدت أن جين *hlb* هو الأكثر انتشاراً نسبة ٨٣% من بين جينات الضراوة التي تمت دراستها لبكتيريا المكورات العنقودية الذهبية (Monterio *et al.*, ٢٠١٩)، كما وجد في دراسة محلية في محافظة دهوك ان جين *hlb* موجود بنسبة ٩٦.١% في عزلات المكورات العنقودية الذهبية المعزولة من إصابات العين للمرضى العراقيين بينما لا تتوافق نتائج الدراسة الحاليه مع دراسة في ايران كانت نسبة وجود جين *hlb* فقط ٧٧.٩% في عزلات بكتيريا المكورات العنقودية الذهبية المعزولة من مصادر سريرية مختلفة (Motamedi *et al.*, ٢٠١٨).



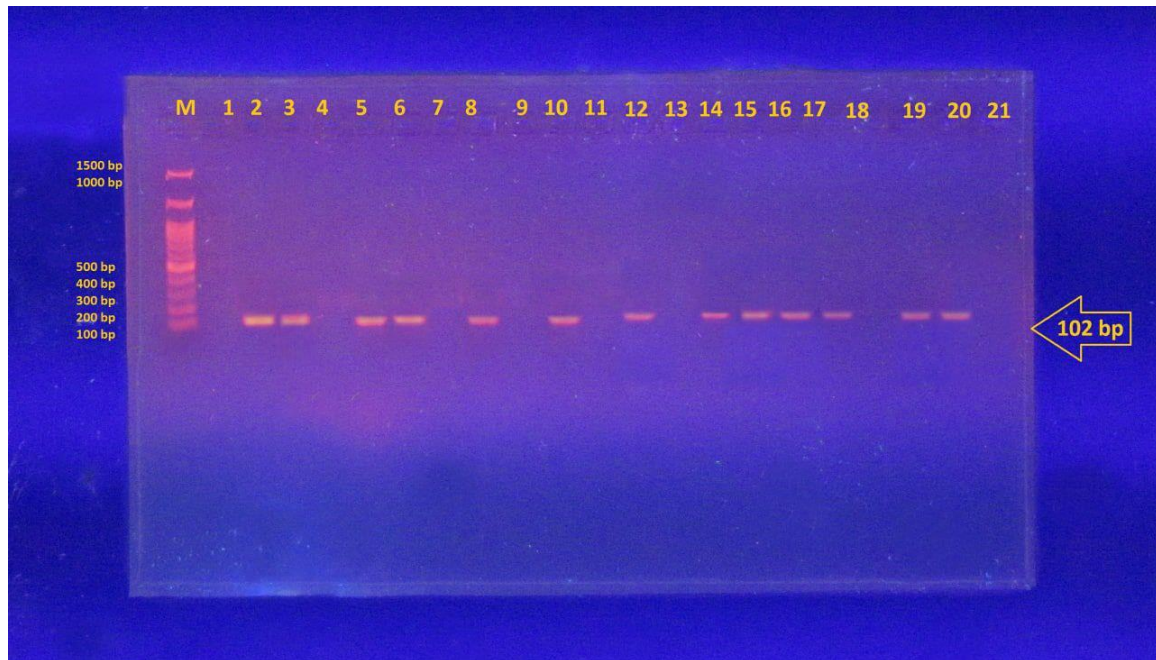
الشكل (٤-١١) : الترحيل الكهربائي لنتائج تفاعل PCR لبكتيريا *S. aureus* باستعمال البوادى النوعية لجين *hlb* (٣٠٩ bp)، بتركيز هلام (١.٥٪)، وفولت لمدة (٥٠) دقيقة.

وعند ملاحظة الشكل (٤-١٢) يتبيّن أن ١٥ عزلة من أصل ٢٢ عزلة امتلكت جين *Sea* بنسبة ٦٨.١٪ الذي يمثل مورث ضراوة خاص ببكتيريا *S. aureus* والذي تم الكشف عنه باستعمال البادئ (Primer) الخاص بالجين *Sea* ، وكان ناجحاً في تحضير هذا الجين من خلال ظهور ناتج PCR يبلغ حجمه ١٠٢ bp.

وتتميز هذا الجين بالتشفيير إلى السموم المعوية (Enterotoxin A) التي تفرزها بكتيريا *S. aureus*، فقد أظهرت بعض الدراسات إن السموم المشفرة عن طريق جين *Sea* تولد استجابة مناعية أعلى، الشيء الذي يؤدي إلى تلف أنسجة المضيف مقارنة بالسموم المعوية الأخرى (Ferry *et al.*, ٢٠٠٥)

كما أظهرت دراسة أخرى عزل هذا الجين من إصابات العيون، إذ تم عزله بنسبة ٥٣٪ من إصابات العيون في ايران (Afzal *et al.*, ٢٠٢٢)، كما تم عزله بنسبة عالية أيضاً بلغت ٨٧.٥٪ بدراسة محلية من اخماج العين (Ewadh *et al.*, ٢٠١٤)، بينما لا تتوافق النتائج

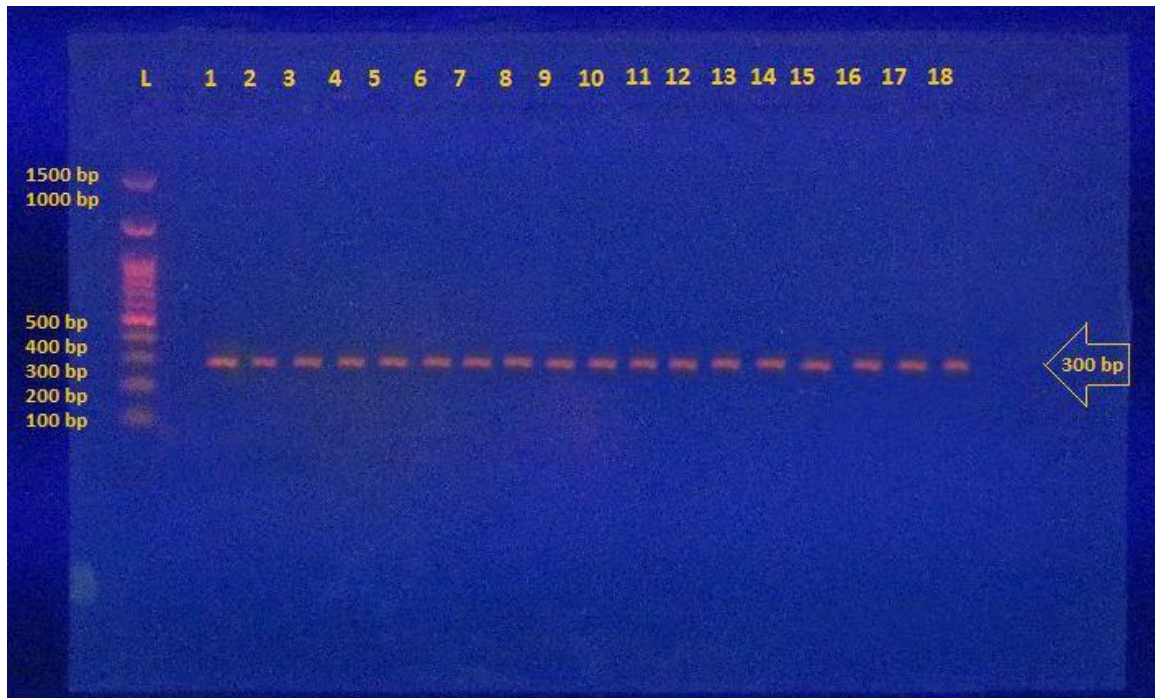
الحالية مع دراسة سابقة كانت فيها نسبة وجود جين *Sea* ٣٧.٥% فقط في بكتيريا المكورات العنقودية الذهبية المعزولة من إصابات تجرثم الدم والأنسجة الرخوة (Ferry *et al.*, ٢٠٠٥).



الشكل (٤-١) : الترhill الكهربائي لناتج تفاعل PCR لبكتيريا *S. aureus* باستعمال البوادى النوعية لجين *Sea* (١٠٢bp)، بتركيز هلام (١.٥%)، وفولت لمدة (٥٠) دقيقة.

ايضاً تم الكشف عن وجود جين *LasB* الخاص ببكتيريا *P. aeruginosa* ويوضح الشكل (٤-١٣) الترhill الكهربائي لنواتج PCR والتي تبين من خلالها ظهور ناتج PCR يبلغ حجمه ٣٠٠ bp.

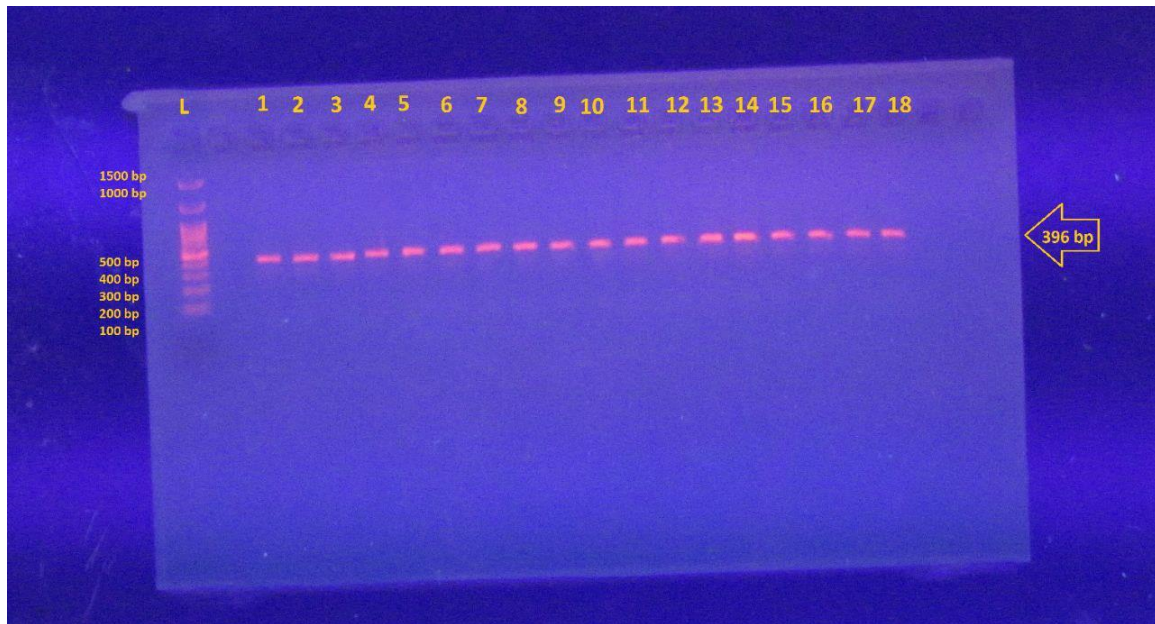
فقد ظهران كل عزلات بكتيريا *P. aeruginosa* تملك الجين *LasB* بنسبة ١٠٠% والذي يشفر لإنتاج إنزيم Elastase الذي يحطم بروتين Elastin ويدمر أنسجة العين ونخرها بصورة سريعة معززاً بذلك تحرير العناصر الغذائية لنمو البكتيريا فضلاً عن تأثيره بالاستجابة المناعية الطبيعية للمضيف (Cathcart *et al.*, ٢٠١١) مما يزيد من ضراوة وإمراضيه بكتيريا *P. aeruginosa* ، واحداث ضرر في أنسجة العين خلال مرحلة الإصابة بها (Das *et al.*, ٢٠٢٢)، جاءت نتيجة دراستنا متوافقة مع دراسة عالمية أجريت في الهند كانت فيها كل عزلات بكتيريا *P. aeruginosa* المعزولة من إصابات العين تملك جين *LasB* (Dave *et al.*, ٢٠٢٠) بينما لا تتفق مع دراسة محلية كانت فيها نسبة جين *LasB* في عزلات بكتيريا *P. aeruginosa* المعزولة من خمج العين ١١.٥% فقط (Alsaaedi *et al.*, ٢٠١٥).



الشكل (٤-٣) : الترحبيل الكهربائي لناتج ثفاعل PCR لبكتيريا *P. aeruginosa* باستعمال البوادى النوعية لجين *LasB* (٣٠٠ bp). بتركيز هلام (١٠.٥٪)، وفولتية (٧٠ فولت لمدة (٥٠ دقيقة.

اما الشكل (٤-٤) فيشير الى نجاح البادئ الخاص بالجين *exoA* في تضخيم هذا الجين من خلال ظهور ناتج PCR بحجم ٣٩٦ bp ، فقد تبين ان كل عزلات بكتيريا *P. aeruginosa* قيد الدراسة تحوي جين *exoA* بنسبة ١٠٠٪ كما ان وجود هذا الجين يعني ان البكتيريا لها القابلية على تشفير انتاج ذيفان خارجي نشط يعرف (ADP-ribosylation) مسؤول عن السمية التي تولدها بكتيريا *P. aeruginosa* عند اصابتها لأنسجة العين من خلال منع خلية المضييف من تخلق البروتين الضروري لتكوينها وبذلك التحفيز على موت خلية المضييف وزيادة الامراضية للعين (Hilliam et al., ٢٠٢٠)، وبما أن هذا الجين يحمل على بلازميدات فإن وجوده بهذه النسبة العالية قد يعود إلى آليات التبادل الوراثي من عملية تحول أو اقتران التي تزيد من توفر الجين في البكتيريا (Matar et al., ٢٠٠٢).

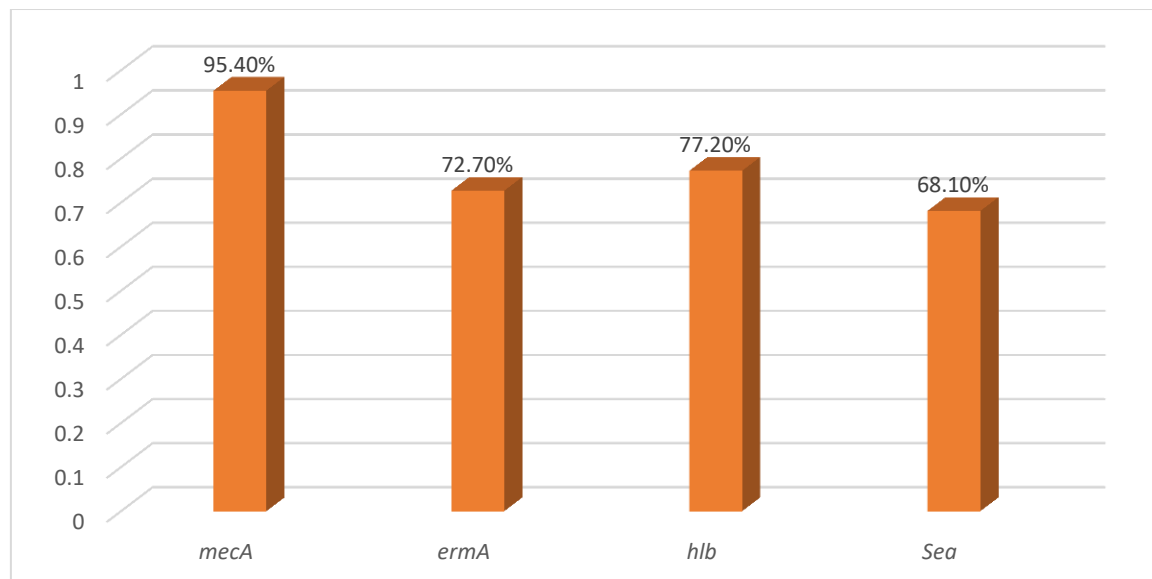
وقد جاءت نتائج الدراسة الحالية متوافقة مع دراسة أجريت في إيران كانت فيها كل عزلات بكتيريا *P. aeruginosa* المعزولة من خمج العين تمتلك جين *exoA* بنسبة ١٠٠٪، في حين كانت نسبة جين *exoA* ٣٠.٤٪ في عزلات بكتيريا *P. aeruginosa* المعزولة من اخماج العيون في دراسة هندية (Naik et al., ٢٠٢١) .



الشكل (٤-٤) : الترhill الكهربائي لناتج تفاعل PCR لبكتيريا *P. aeruginosa* باستعمال البوادى النوعية لجين *exoA*(٣٩٦bp)، بتركيز هلام (١.٥٪)، وفولتية (٧٠) فولت لمدة (٥٠) دقيقة.

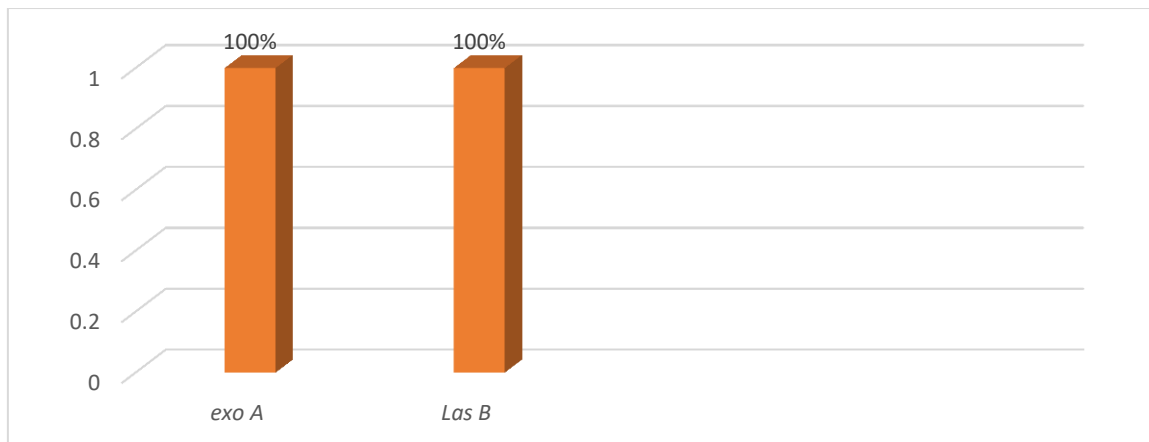
من خلال النتائج التي توصلنا إليها عن طريق تفاعل البلمرة المتسلسل PCR في الدراسة الحالية فإن الجينات المتنوعة المدروسة لعزلات بكتيريا *S. aureus* المعزولة من مناطق مختلفة لإصابات العين البكتيرية والموضحة بالشكل (٤-٤) كان فيها *mecA* أعلى نسبة (٩٥.٤٪) وهذا ما أكدّه (Faridi *et al.*, ٢٠١٨) بان عزلات MRSA هي التهديد الرئيس في التهابات العيون من خلال مقاومتها للمضادات الحيوية من مجموعة البيتا لاكتام، تلاه جين *hlb* بنسبة (٧٧.٢٪) الذي يعدّ أهم عامل ضراوة يحفز من إقامة العدوى لدى البشر والحفاظ عليها مما يجعلها مقاومة للمضادات الحيوية وهذا ما أكدّه (Motamedи *et al.*, ٢٠١٨) على أن وجود جينات الضراوة المشفرة لذيفان حال الدم يرتبط بشكل كبير بمقاومة المضادات الحيوية مما يجعل *hlb* و *mecA* عاملان مهمان في احداث الإصابة لبكتيريا المكورات العنقودية الذهبية، ويزيد من امراضيتها. وقد توافقت هذه النتيجة أيضاً مع دراسة قام بها الباحث (Monteiro *et al.*, ٢٠١٩) الذي أكد من خلالها ان *mecA* أهم جين مقاومة للمضادات الحيوية وأكثرها انتشاراً في كل أنحاء العالم بينما كان جين *hlb* هو الجين الرئيس من بين جينات الضراوة بنسبة ٨٣٪، ثم جاء بعدهما جين *ermA* (٧٢.٧٪) واقل جين تواجداً كان *Sea* بنسبة (٦٨.١٪)، وهذه النتيجة جاءت متوافقة مع دراسات عدّة والتي اكّدت على ضراوة بكتيريا المكورات العنقودية الذهبية من خلال امتلاكها مقاومة الارثرومایسين وانتاجها للسموم القوية

كالسم المعيوي مما سبب في زيادة ضراوة البكتيريا وحدوث إصابات شديدة في العين وصعوبة علاجها (Aggarwal *et al.*, ٢٠١٩; Peterson *et al.*, ٢٠١٩)، كما قد يكون وجود جين Sea بنسبة أقل من الجينات المدروسة الأخرى لارتباطه بصورة مباشرة مع حالات التسمم الغذائي (Srimongkol *et al.*, ٢٠٢٠).



الشكل(٤-١٥): توزيع الجينات المتنوعة لبكتيريا *S. aureus* المعزولة من احتجاج العيون.

أما بالنسبة إلى مورثات الضراوة لبكتيريا *P. aeruginosa* فقد جاءت النتيجة متماثلة بنسبة ١٠٠% لجين *Las B exoA* و *Las B exoA* حسب ما موضح بالشكل(٤-١٦) وهذه النتيجة جاءت متوافقة مع دراسات سابقة عدة كانت فيها جينات الضراوة الأكثر شيوعاً بين سلالات بكتيريا *P. aeruginosa* المعزولة من خمج القرنية وأحتجاج أخرى هي *Las B exoA* و *Las B exoA* التي تلعب دوراً مهماً في الامراضية بوصف ان *Las B* هو البروتياز الذي له دور مهم في تلف القرنية فضلاً عن الزيغان الخارجي *exoA* الذي يتم إفرازه بواسطة نظام الإفراز من النوع الثالث (TTSS) المنتجة من قبل بكتيريا الزائفة الزنجارية في عدوى العين وخاصة خمج القرنية (Khosravi *et al.*, ٢٠١٦; Badamchi *et al.*, ٢٠١٧; Heidari *et al.*, ٢٠١٨).



شكل (٤-٦) : توزيع الجينات المتنوعة لبكتيريا *P. aeruginosa* المعزولة من اخماج العيون.

٤-٦ : العلاقة بين قابلية العزلات البكتيرية المدروسة على انتاج الأغشية الحيوية ووجود جينات الضراوة والمقاومة The relationship between the ability of the studied bacterial isolates to produce biofilms and the presence of virulence and resistance genes.

يتضح من الجدول (٤-٦) إن عزلات بكتيريا المكورات العنقودية الذهبية التي لها القدرة على تكوين الأغشية الحيوية المتوسطة والقوية ترتبط بشكل رئيس مع زيادة المقاومة تجاه المضادات الحيوية ، إذ بلغت نسبة وجود جينات المقاومة *erm A* و *mecA* إلى (%) ١٠٠ في العزلات البكتيرية المنتجة للأغشية الحيوية ، وإن وجود الجينات المقاومة للمضادات الحيوية بنسبة مرتفعة مع قابلية العزلات البكتيرية على انتاج الأغشية الحيوية يزيد من ضراوة العزلات البكتيرية وصعوبة علاجها ، وهذا ما أكدته العديد من الدراسات كانت فيها عزلات بكتيريا المكورات العنقودية المقاومة للمثيسيلين والحاوية جين *mec A* جميعها منتجة للأغشية الحيوية (Azmi et al., ٢٠١٩; Gaire et al., ٢٠٢١) ، كما إن وجود جينات مقاومة الارثروميسين وخاصة *erm A* يسهل تكوين الأغشية الحيوية في عزلات MRSA المقاومة للاريثروميسين الذي أكدته دراسة سابقة قام بها (Sun et al., ٢٠١٨) ، إذ إن العزلات المنتجة للأغشية الحيوية تكون أكثر تحمل للمضادات الميكروبية (١٠٠٠-١٠٠) مرة مما يسبب في صعوبة اختراق المضاد الحيوي وبالتالي قتلها (Anderl et al., ٢٠٠٠).

وأظهرت النتائج أيضاً إن مورثات الضراوة موجودة بنسبة مرتفعة في عزلات المكورات العنقودية الذهبية ، إذ شكل جين *hlb* نسبة (%) ٧٥ في العزلات شديدة التكوين للغشاء الحيوي أعلى من نسبة وجود جين *Sea* الذي كانت نسبته (%) ٦٢.٥، بينما جاءت النسبة

متساوية فقد بلغت (٨٣.٣%) في العزلات متوسطة الإنتاج للغشاء الحيوى، و جاءت هذه النتيجة متوافقة مع دراسة من قبل (Ando *et al.*, ٢٠٠٤) كانت فيها الأغشية الحيوية أعلى في العزلات البكتيرية التي تملك جين hlb كونها منتجة للذيفان من نوع بيتا الذي يحفز بقعة تكون الأغشية الحيوية في الجسم الحي كون بيتا هيمولايسين يملك آليتان للعمل الأولى ذات النشاط (DNA biofilm ligase) والثانية ذات نشاط (Sphingomyelinase) الرابط في الأغشية الحيوية (Herrera *et al.*, ٢٠١٦)، إذ يشكل السبب روابط تساهمية متقطعة مع نفسه في وجود الحامض النووي المتمثل بنشاط (DNA biofilm ligase) بغض النظر عن نشاط Nucleoprotein (Sphingomyelinase) مما ينتج عنه مصفوفة البروتين النووي (matrix) حسب ما جاء في هذه الدراسة (Huseby *et al.*, ٢٠١٠) إن عوامل الضراوة لا تعمل بشكل مستقل وإنما تقع تحت سيطرة نظام الإشارات البكتيرية (Quorum sensing) الذي يقوم بتنظيم عوامل الضراوة مع انتاج الأغشية الحيوية مما يزيد من ضراوة العزلات البكتيرية التي تصيب العين (Chadha *et al.*, ٢٠٢٢).

جدول (٤-٦): العلاقة بين انتاج الأغشية الحيوية وجينات المقاومة والضراوة لبكتيريا *S. aureus*

انتاج الأغشية الحيوية	جينات مقاومة المضادات		جينات الضراوة	
	mecA	ermA	hlb	Sea
Weak(n=٠,٠٠)	٠	٠	٠	٠
Moderate(n.=٦,٢٧.٢%)	٥(٨٣.٣%)	٦(١٠٠%)	٥(٨٣.٣%)	٥(٨٣.٣%)
Strong(n.=١٦,٧٢.٧%)	١٦(١٠٠%)	١٠(٦٢.٥%)	١٢(٧٥%)	١٠(٦٢.٥%)

أما بالنسبة لعزلات بكتيريا *P. aeruginosa* فقد بينت نتائج الدراسة الحالية الموضحة في الجدول (٤-٧) إن مورثات الضراوة Las B و exoA يوجدان بنسبة (١٠٠%) في العزلات البكتيرية قوية الإنتاج للأغشية الحيوية والمتوسطة الإنتاج للأغشية الحيوية مما يفسر زيادة ضراوتها وقابليتها العالية لإنتاج الأغشية الحيوية ، إذ يعمل B على تنشيط النيوكليوسيدة ثنائية الفوسفات الجانبي (Nucleoside diphosphate kinase) الذي يولد الطاقة الازمة بشكل (GTP) لإنتاج الجينات (Alginate) التي تعد من أهم مكونات مصفوفة عديد السكاريد الخارجي (Exopolysaccharides) المطلوب لتكوين الأغشية الحيوية وينت ذلك يعزز من تكوين الأغشية الحيوية جزئياً من خلال تنظيم (Rhamnolipid) (Yu *et al.*, ٢٠١٤)

و هذه النتيجة تتوافق مع دراسة مصرية كانت فيها نسبة توافق المورثان *Las B* و *exoA* هما الأعلى في العزلات البكتيرية المنتجة للأغشية الحيوية والمعزولة من إصابات مختلفة منها إصابة العين (Abd El-Aziz *et al.*, ٢٠٢٣)، بينما جاءت النتيجة غير متوافقة مع النتيجة التي توصل إليها (Nasir moghadas *et al.*, ٢٠١٨) فقد كانت كل عزلات بكتيريا الزائف الزنجارية تحمل جين (*exoA*)، بينما كانت غير منتجة للأغشية الحيوية في العزلات البكتيرية المعزولة من الإصابات العينية مما يؤكد عدم ارتباطه مع كمية الأغشية الحيوية المنتجة من قبل البكتيريا في حالة انتاجها.

جدول (٤) : العلاقة بين انتاج الأغشية الحيوية وجينات الضراوة لبكتيريا *P. aeruginosa*

انتاج الأغشية الحيوية	جينات الضراوة	
	<i>Exo A</i>	<i>Las B</i>
Weak(n=٠,٠٠)	٠	٠
Moderate(n=٣,١٦.٦%)	٣(١٠٠%)	٣(١٠٠%)
Strong(١٥,٨٣.٣%)	١٥(١٠٠%)	١٥(١٠٠%)

١٧-٤ : العلاقة بين قابلية العزلات البكتيرية المدروسة على انتاج ذيفان حال الدم

The relationship between the ability of the studied bacterial isolates to produce hemolysin and the presence of virulence and resistance genes.

أظهرت نتائج الدراسة الحالية وجود جين مقاومة المثيسيلين *mecA* ، وجين مقاومة الاريثروميسين *ermA* في عزلة *S. aureus* والتي سجلت أعلى فعالية تحليبية ، إذ جاءت هذه النتيجة متوافقة مع (Bae *et al.*, ٢٠٢١) الذي أكد أن الجينات المشفرة لذيفان حال الدم تؤثر بشكل كبير على نمط مقاومة للمضادات لهذا يزيد سم حال الدم بشكل غير مباشر من مقاومة البكتيريا ضد المضادات الحيوية من خلال التأثير على نشاطها ، والتسبب في ظهور سلالات مقاومة ، وإن المبدأ الأساس في التنظيم الفعال لكل من مقاومة المضادات الحيوية والضراوة هو القدرة على الإحساس والاستجابة للبيئة الخارجية من قبل البكتيريا ، كما إن انتاج الهيمولايسين يؤدي إلى اشكال مقاومة مختلفة تتأثر بالعديد عوامل مثل درجة الحرارة والأوضاع البيئية التي تؤثر على المقاومة وبالتالي حدوث الامراضية و متزامنا مع العديد من الدراسات التي أكدت

على دور عوامل الضراوة في تطوير مقاومة المضادات الحيوية لدى البشر ومنها ذيفان حال الدم وأكدت إن هذا الذيفان من نوع الفا ودلنا وبيتا هي الأكثر شيوعاً (Koch *et al.*, ٢٠١٤؛ Motamedи *et al.*, ٢٠١٨).

أما بالنسبة لبكتيريا الزائفة الزنجارية فيتضح إن مورثات *LasB* و *exoA* موجودة في العزلتين المنتجتين لذيفان حال الدم بنسبة عالية مما يزيد من إمراضيه البكتيريا للعين، إذ تعمل مع الهيماوليسين الذي يكسر الدهون الموجودة في أنسجة العين ويتألف الأوعية الدموية، كما يقوم (Elastin) بتحليل المواد المخاطية التي تغطي سطح العين من ملتحمة وقرنية وكذلك مادة الكولاجين غير الخلوية الأساسية في تركيب العين مسبب تلف لخلايا العين فضلاً عن تثبيط الاستجابة المناعية مع السموم الخارجية التي تثبط تلقيح البروتين مؤدي إلى نخر الأنسجة (Dave *et al.*, ٢٠٢٠؛ Das *et al.*, ٢٠٢٢).

وجاءت نتيجة دراستنا الحالية متوافقة مع دراسة مصرية كان فيها ارتباط بين وجود جين *exoA* مع ذيفان حال الدم من نوع بيتا (El-Halim and Nora, ٢٠٢١). وجاءت النتيجة أيضاً متوافقة مع (Jahromi *et al.*, ٢٠١٨) وكانت فيها العزلات البكتيرية تملك جين *LasB* أيضاً متوافقة مع ١٠٠%. بينما كانت غير متوافقة مع العديد من الدراسات الأخرى ثبت فيها وجود جينات الضراوة هذه في عزلات الزائفة الزنجارية أقل من وجود جين ذيفان حال الدم (Faraji *et al.*, ٢٠١٦؛ Elmouaden *et al.*, ٢٠١٩؛ Abdeen, ٢٠١٧) وإن وجود هذه المورثات في عزلات بكتيريا الزائفة الزنجارية التي تعد من عوامل الضراوة المفرزة غير المرتبطة بالخلايا تعمل معاً في زيادة الامراضية من خلال تلف الأنسجة وانتشارها وتوفير العناصر الغذائية التي تطلبها البكتيريا في المراحل المبكرة من العدوى (Michalska and Wolf, ٢٠١٥) وإن انحلال الدم بواسطة الهيماوليسين يزيد من توفر الحديد في البيئة البكتيرية، وهذا يسهل إمكانية بقاء البكتيريا على قيد الحياة وغزو أنسجة المضيف يحرر الهيموغلوبين الحاوي على عنصر الحديد الذي يتم تخلبه بواسطة (pyoverdin)، ووجود الحديد ينشط تنظيم التعبير عن *exoA* فقد ثبتت هذه الدراسة إن استيعاب الحديد هو واحد من العوامل المهمة لبكتيريا الزائفة الزنجارية مما يسمح باستعمار . المضيف

الفصل الخامس

الاستنتاجات والتوصيات

Conclusion &

Recommendations

٥-١: الاستنتاجات Conclusions

- ١- إن بكتيريا المكورات العنقودية الذهبية *S. aureus* وبكتيريا الزوائف الزنجارية *P. aeruginosa* هما الأجناس البكتيرية الأكثر شيوعاً في إحداث إصابات العيون البكتيرية في محافظة كربلاء المقدسة.
- ٢- أظهرت نتائج الدراسة الحالية إن كل من المضاد الحيوي Rifampicin و Linezolid و Trimethoprim\ Sulfamethoxazole و Tigecycline و Teicoplanin هي الأكثر فعالية تجاه عزلات بكتيريا المكورات العنقودية الذهبية، في حين كل من المضاد الحيوي Meropenem و Imipenem و Colistin هي الأكثر فعالية تجاه عزلات بكتيريا الزوائف الزنجارية المعزولة من احتجاج العيون.
- ٣- تميزت عزلات بكتيريا *S. aureus* و *P. aeruginosa* . المعزولة من إصابات العيون بقدرتهما العالية على إنتاج سمية الهيمولايسين وتكون الأغشية الحيوية كأحد عوامل الضراوة.
- ٤- وجود ارتباط معنوي بين عوامل الخطورة المدروسة (الصدمة – أمراض سطح العين – ارتداء العدسات اللاصقة – داء السكري – أمراض الجهاز التنفسي) وتردد إصابات العيون البكتيرية، إذ كانت صدمات العيون هي الأكثر ارتباطاً مع الإصابات الجرثومية المتكررة.
- ٥-امتلاك العزلات البكتيرية المدروسة على مورثات الضراوة (*hlb,SEA,LasB,exoA*) والمقاومة للمضادات الحيوية (*mecA,ermA*) بنسب عالية مما يؤكّد ضراوتها وقدرتها على إحداث احتجاج العيون.

٢-٥ : التوصيات Recommendation

١- دراسة الاحياء المجهرية الأخرى من غير البكتيريا التي تعزو العين كالفيروسات والفطريات فضلاً عن البكتيريا اللاهوائية.

٢- إجراء المزيد من الدراسات الجزيئية على بكتيريا المكورات العنقودية الذهبية والزائفة الزنجارية في ما يخص عوامل الضراوة المتعلقة بإمراضيتها بإستعمال التقنيات الحديثة مثل Real time PCR

٣- إجراء دراسة مناعية تهتم بالتغييرات في بعض المعايير المناعية الموضعية والجهازية المرافقة لإنجابات العيون مثل أنواع الانترلوكينات وغيرها.

٤- إيجاد علاجية بديلة لاستخدام المضادات الحيوية.

المصادر

References

▪ المصادر العربية:

- مسلم، ساهره نصيف. (٢٠٠٥). دراسة وراثية وكيموحيوية على الهيماولايسين المنتج من بكتيريا *Aeromonas hydrophila* والمعزولة من المياه السطحية والمصابين بالإسهال. أطروحة دكتوراه كلية العلوم - الجامعة المستنصرية.

▪ المصادر الأجنبية:

- Abbas, A., Srivastava, P., & Nirwan, P. S. (٢٠١٥). Prevalence of MLSB resistance and observation of *erm A* & *erm C* genes at A tertiary care hospital. *Journal of clinical and diagnostic research: JCDR*, ٩(٦), DC٠٨.
- Abd El-Aziz, M. B., Ibrahim, H. A., Mohammed, S. Y., & Hegab, A. S. (٢٠٢٣). Virulence Factors and Biofilm Formation in Multi-drug Resistant *Pseudomonas Aeruginosa*. *Journal of Pharmaceutical Negative Results*, ٣١١٧-٣١٢٦.
- Abdeen, M. M. D. (٢٠١٧). *Detection of Some Virulence Genes of Pseudomonas aeruginosa Isolated from Different Clinical Specimens by Multiplex PCR*, Khartoum, Sudan (Doctoral dissertation, Sudan University of Science & Technology).
- Abid, A. J., & Ewadh, R. M. (٢٠١٢). Etiology of bacterial eye infections and determination of immune response of infected patient. *Medical Journal of Babylon*, ٩(٤), ٧٩٩-٨٠٥.
- Adilabdulhady, D., & Kadhim, H. M. (٢٠٢٢). Molecular Detection of *Pseudomonas Aeruginosa* Isolated from Different Clinical Cases and Test Antibiotics Sensitivity on the Bacterial Growth. *Pakistan Journal of Medical & Health Sciences*, ١٦(٠٦), ٥٨٧-٥٨٧.
- Afzal, M., Vijay, A. K., Stapleton, F., & Willcox, M. D. (٢٠٢٢). Genomics of *Staphylococcus aureus* Strains Isolated from Infectious and Non-Infectious Ocular Conditions. *Antibiotics*, ١١(٨), ١٠١١.

- **Aggarwal**, S., Jena, S., Panda, S., Sharma, S., Dhawan, B., Nath, G., ... & Singh, D. V. (٢٠١٩). Antibiotic susceptibility, virulence pattern, and typing of *Staphylococcus aureus* strains isolated from variety of infections in India. *Frontiers in microbiology*, ١٠, ٢٧٦٣.
- **Agha**, N. F. S. (٢٠٢٠). Conjunctivitis among Rural and Urban School Children in Erbil Governorate/Iraq. *Diyala Journal of Medicine*, ١٨(١), ٥٨-٦٩.
- **Akpek**, E. K., & Gottsch, J. D. (٢٠٠٣). Immune defense at the ocular surface. *Eye*, ١٦(٨), ٩٤٩-٩٥٦.
- **Al-Aqaba**, M. A., Dhillon, V. K., Mohammed, I., Said, D. G., & Dua, H. S. (٢٠١٩). Corneal nerves in health and disease. *Progress in retinal and eye research*, ٧٣, ١٠٠٧٦٢.
- **Alash**, S. A. A. A. (٢٠١٥). Study the prevalence of bacterial conjunctivitis in Iraq. *Iraqi journal of science*, ٥٧(٤C), ٣٣٧١-٥.
- **Al-Dhaheri**, H. S., Al-Tamimi, M. D., Khandekar, R. B., Khan, M., & Stone, D. U. (٢٠١٦). Ocular pathogens and antibiotic sensitivity in bacterial keratitis isolates at King Khaled Eye Specialist Hospital, ٢٠١١ to ٢٠١٤. *Cornea*, ٣٩(٦), ٧٨٩-٧٩٤.
- **Ali-Vehmas**, T., Vikerpuur, M., Pyörälä, S., & Atroshi, F. (٢٠٠١). Characterization of hemolytic activity of *Staphylococcus aureus* strains isolated from bovine mastitic milk. *Microbiological research*, ١٥٥(٤), ٣٣٩-٣٤٤.
- **Al-Janabi**, A. O. F., Al-Ani, S. F., & Imad, S. (٢٠١٣). Biofilms Formation on Contact Lenses: Clinical and Bacteriological Study. *Diy. JM*, ٩(٢), ١١-١٨.
- **Alkhaldi**, S. A., Allam, K. H., Radwan, M. A., Sweeney, L. E., & Alshammeri, S. (٢٠٢٢). Estimates of dry eye disease in Saudi Arabia based on a short questionnaire of prevalence, symptoms, and risk

- factors: The Twaiq Mountain Eye Study I. *Contact Lens and Anterior Eye*, ١٠, ١٧٧٠.
- **Al-makhzoomy**, T. A. K., & Al-Kraety, I. A. A. (٢٠١٨). Molecular study on methicillin-resistant *Staphylococcus aureus* isolated from conjunctivitis patients. *Al-Kufa University Journal for Biology*, ١٠(٣).
 - **Al-Mayyahi**, A. W. (٢٠١٨). *Detection of (exoT, exoY, exo S and exoU) Genes In Pseudomonas aeruginosa Isolate From Different Clinical Sources* (Doctoral dissertation, M. Sc. Thesis Submitted to the Council of the Institute of Genetic Engineering and Biotechnology For Post Graduate Studies, University of Baghdad. ٦٠-٦٣).
 - **Al-Mebairik**, N. F., El-Kersh, T. A., Al-Sheikh, Y. A., & Marie, M. A. M. (٢٠١٦). A review of virulence factors, pathogenesis, and antibiotic resistance in *Staphylococcus aureus*. *Reviews in Medical Microbiology*, ٢٧(٢), ٥٠-٥٧.
 - **Al-Mishhadani**, M. A., Karhoot, J. M., Al-Hadithi, F. M., & Mohammed, S. J. (٢٠٢٠). MICROBIAL STUDY OF CONJUNCTIVITIS IN IRAQI PATIENTS. *Plant Archives*, ٢٠(٢), ٢٦٩٠-٢٦٩٣.
 - **Almizel**, A., Alsuhaiman, F. A., Alkaff, A. M., Alsaleh, A. S., & Al-Mansouri, S. M. (٢٠١٩). Bacterial profile and antibiotic susceptibility pattern of bacterial keratitis at a tertiary hospital in Riyadh. *Clinical Ophthalmology*, ٢٥٤٧-٢٥٥٢.
 - **Alonso**, B., Fernández-Barat, L., Di Domenico, E. G., Marín, M., Cercenado, E., Merino, I., ... & Guembe, M. (٢٠٢٠). Characterization of the virulence of *Pseudomonas aeruginosa* strains causing ventilator-associated pneumonia. *BMC infectious diseases*, ٢٤, ١-٨.

- **Al-Rubaey, N. K. F., Sabri, M., & Al-Rubaey, Q. K.** (٢٠٠٧). Isolation and characterization of bacteria from patients with conjunctivitis in Hilla Province. *Medical Journal of Babylon*, ٤(١-٢), ٣٦-٤٤.
- **Al-Saa'edi, A. H., Al-Abaadi, M. C., Karhoot, J. M., & Al-Sakarchi, F.** (٢٠١٥). Study of *Pseudomonas aeruginosa* proteases enzymes in corneal ulceration by using real-time PCR. *Iraqi Postgraduate Medical Journal*, ١٤(٢).
- **Al-Shakarchi, F. I., Hussein, M. A., & Al-Shabani, A. B.** (٢٠١٥). Profile of microbial keratitis at a referral center in Iraq. *Al-Nahrain Journal of Science*, ١٨(١), ١٤١-١٤٧.
- **Alshamahi, E. Y. A., Al-Shamahy, H. A., Musawa, Y. A., & Al-Shami, H. Z.** (٢٠٢٠). Bacterial causes and antimicrobial sensitivity pattern of external ocular infections in selected ophthalmology clinics in Sana'a city. *Universal J Pharm Res* ٢٠٢٠؛ ٥ (٣): ١٢-١٦. *Pharm Res*, ٩(٣), ١٢-١٦.
- **Alter, S. J., Vidwan, N. K., Sobande, P. O., Omoloja, A., & Bennett, J. S.** (٢٠١١). Common childhood bacterial infections. *Current problems in pediatric and adolescent health care*, ٤١(١٠), ٢٥٦-٢٨٣.
- **Alwan, A. H.** (٢٠٢٠). DETECTION OF CASP-េ GENE AS INFLAMMATORY FACTOR IN IRAQI PATIENTS WITH PSEUDOMONAS AERUGINOSA INFECTIONS. *Pakistan Journal of Biotechnology*, ١٦(١), ٣٣-٤٠.
- **Amescua, G., Akpek, E. K., Farid, M., Garcia-Ferrer, F. J., Lin, A., Rhee, M. K., ... & Mah, F. S.** (٢٠١٩). Blepharitis preferred practice pattern®. *Ophthalmology*, ١٢٦(١), P٥٦-P٦٣.
- **Amin, R. M., Hussein, F. A., Idriss, H. F., Hanafy, N. F., & Abdallah, D. M.** (٢٠١٣). Pathological, immunohistochemical and microbiological analysis of lacrimal sac biopsies in patients with

- chronic dacrocystitis. *International journal of ophthalmology*, 7(6), 817.
- **Anderl**, J. N., Franklin, M. J., & Stewart, P. S. (2000). Role of antibiotic penetration limitation in *Klebsiella pneumoniae* biofilm resistance to ampicillin and ciprofloxacin. *Antimicrobial agents and chemotherapy*, 44(7), 1818-1824.
 - **Andersen**, J. L., He, G. X., Kakarla, P., KC, R., Kumar, S., Lakra, W. S., ... & Varela, M. F. (2010). Multidrug efflux pumps from Enterobacteriaceae, *Vibrio cholerae* and *Staphylococcus aureus* bacterial food pathogens. *International journal of environmental research and public health*, 12(2), 1487-1504.
 - **Andersson**, J., Hofsli, M., Gade, U. L., Heegaard, S., & Pottegård, A. (2018). Use of topical ocular antibiotics in young children: a Scandinavian drug utilization study. *Acta Ophthalmologica*, 97(8), 789-794.
 - **Ando**, E., Monden, K., Mitsuhasha, R., Kariyama, R., & Kumon, H. (2004). Biofilm formation among methicillin-resistant *Staphylococcus aureus* isolates from patients with urinary tract infection. *Acta Medica Okayama*, 58(4), 207-214.
 - **Andrade**, F. F., Silva, D., Rodrigues, A., & Pina-Vaz, C. (2020). Colistin update on its mechanism of action and resistance, present and future challenges. *Microorganisms*, 8(11), 1716.
 - **Aragona**, P., Baudouin, C., Del Castillo, J. M. B., Messmer, E., Barabino, S., Merayo-Lloves, J., ... & Labetoulle, M. (2021). The ocular microbiome and microbiota and their effects on ocular surface pathophysiology and disorders. *Survey of Ophthalmology*, 77(1), 907-920.

References

- **Argudín, M. Á., Mendoza, M. C., & Rodicio, M. R.** (٢٠١٠). Food poisoning and *Staphylococcus aureus* enterotoxins. *Toxins*, ٢(٧), ١٧٥١-١٧٧٣.
- **Asao, T. S. U. T. O. M. U., Kinoshita, Y. O. S. H. I. O., Kozaki, S. H. U. N. J. I., Uemura, T. A. K. A. S. H. I., & Sakaguchi, G. E. N. J. I.** (١٩٨٤). Purification and some properties of Aeromonas hydrophila hemolysin. *Infection and Immunity*, ٤٧(١), ١٢٢-١٢٧.
- **Assefa, M.** (٢٠٢٢). Inducible Clindamycin-Resistant *Staphylococcus aureus* Strains in Africa: A Systematic Review. *International Journal of Microbiology*, ٢٠٢٢.
- **Assefa, Y., Moges, F., Endris, M., Zereay, B., Amare, B., Bekele, D., ... & Belyhun, Y.** (٢٠١٥). Bacteriological profile and drug susceptibility patterns in dacryocystitis patients attending Gondar University Teaching Hospital, Northwest Ethiopia. *BMC ophthalmology*, ١٥(١), ١-٨.
- **Astley, R., Miller, F. C., Mursalin, M. H., Coburn, P. S., & Callegan, M. C.** (٢٠١٩). An eye on *Staphylococcus aureus* toxins: roles in ocular damage and inflammation. *Toxins*, ١١(٦), ٣٥٦.
- **Atta, S., Perera, C., Nayyar, S., Kowalski, R. P., & Jhanji, V.** (٢٠٢١). An ١٨-Year Overview of *Serratia marcescens* Ocular Infection. *Eye & Contact Lens*, ٤٧(٨), ٤٧١-٤٧٥.
- **Aubais Aljelehawy, Q. H., Hadi Alshaibah, L. H., & Abbas Al-Khafaji, Z. K.** (٢٠٢١). Evaluation of virulence factors among *Staphylococcus aureus* strains isolated from patients with urinary tract infection in Al-Najaf Al-Ashraf teaching hospital. *Cellular, Molecular and Biomedical Reports*, ١(٢), ٧٨-٨٧.
- **Austin, A., Lietman, T., & Rose-Nussbaumer, J.** (٢٠١٧). Update on the management of infectious keratitis. *Ophthalmology*, ١٢٤(١١), ١٦٧٨-١٦٨٩.

- **Ayehubizu**, Z., Mulu, W., & Biadglegne, F. (٢٠٢١). Common bacterial causes of external ocular infections, associated risk factors and antibiotic resistance among patients at ophthalmology unit of Felege Hiwot Referral Hospital, Northwest Ethiopia: a cross-sectional study. *Journal of Ophthalmic Inflammation and Infection*, ١١(١), ١-١٤.
- **Ayeni**, F. A., Andersen, C., & Nørskov-Lauritsen, N. (٢٠١٧). Comparison of growth on mannitol salt agar, matrix-assisted laser desorption/ionization time-of-flight mass spectrometry, VITEK® ٢ with partial sequencing of ١٦S rRNA gene for identification of coagulase-negative staphylococci. *Microbial pathogenesis*, ١٠٩, ٢٥٥-٢٥٩.
- **Azari**, A. A., & Barney, N. P. (٢٠١٣). Conjunctivitis: a systematic review of diagnosis and treatment. *Jama*, ٣١٠(١٦), ١٧٢١-١٧٣٠.
- **Azmi**, K., Qrei, W., & Abdeen, Z. (٢٠١٩). Screening of genes encoding adhesion factors and biofilm production in methicillin resistant strains of *Staphylococcus aureus* isolated from Palestinian patients. *BMC genomics*, ٢٠, ١-١٢.
- **Badamchi**, A., Masoumi, H., Javadinia, S., Asgarian, R., & Tabatabaei, A. (٢٠١٧). Molecular detection of six virulence genes in *Pseudomonas aeruginosa* isolates detected in children with urinary tract infection. *Microbial pathogenesis*, ١٠٧, ٤٤-٤٧.
- **Badawi**, A. E., Moemen, D., & El-Tantawy, N. L. (٢٠١٧). Epidemiological, clinical and laboratory findings of infectious keratitis at Mansoura Ophthalmic Center, Egypt. *International journal of ophthalmology*, ١٠(١), ٧١.
- **Bae**, J., Jin, H., Kim, J., Park, M., Lee, J., & Kim, S. (٢٠٢١). Molecular Characteristics and Exotoxins of Methicillin-Resistant *Staphylococcus aureus*. *Biomedical Science Letters*, ١٩١(٤), ١٩٥-٢٠٧.

- **Bajracharya, L.**, Bade, A. R., Gurung, R., & Dhakhwa, K. (٢٠٢٠). Detection of biofilm producing staphylococci: need of the hour. *Journal of clinical and diagnostic research*, ٥(٦), ١٩١٥-١٩٢٠.
- **Balasopoulou, A.**, Kokkinos, P., Pagoulatos, D., Plotas, P., Makri, O. E., Georgakopoulos, C. D., & Vantarakis, A. (٢٠١٧). A molecular epidemiological analysis of adenoviruses from excess conjunctivitis cases. *BMC ophthalmology*, ١٧, ١-٧.
- **Barer, M. R.**, & Irving, W. (٢٠١٨). *Medical Microbiology E-Book: A Guide to Microbial Infections*. Elsevier Health Sciences.
- **Barer, M. R.**, Millership, S. E., & Tabaqchali, S. (١٩٨٦). Relationship of toxin production to species in the genus *Aeromonas*. *Journal of medical microbiology*, ٢٢(٤), ٣٠٣-٣٠٩.
- **Bassetti, M.**, Vena, A., Croxatto, A., Righi, E., & Guery, B. (٢٠١٨). How to manage *Pseudomonas aeruginosa* infections. *Drugs in context*, ٩.
- **Baz, A. A.**, Bakhet, E. K., Abdul-Raouf, U., & Abdelkhalek, A. (٢٠٢١). Prevalence of enterotoxin genes (SEA to SEE) and antibacterial resistant pattern of *Staphylococcus aureus* isolated from clinical specimens in Assiut city of Egypt. *Egyptian Journal of Medical Human Genetics*, ٢٢(١), ١-١٢.
- **Behlau, I.**, & Gilmore, M. S. (٢٠٠٨). Microbial biofilms in ophthalmology and infectious disease. *Archives of Ophthalmology*, ١٢٦(١١), ١٥٧٢-١٥٨١.
- **Belser, J. A.**, Gustin, K. M., Maines, T. R., Pantin-Jackwood, M. J., Katz, J. M., & Tumpey, T. M. (٢٠١٢). Influenza virus respiratory infection and transmission following ocular inoculation in ferrets. *PLoS Pathogens*, ٨(٣), e1002079.
- **Bereket, W.**, Hemalatha, K., Getenet, B., Wondwossen, T., Solomon, A., Zeynudin, A., & Kannan, S. (٢٠١٢). Update on

References

- bacterial nosocomial infections. *Eur Rev Med Pharmacol Sci*, 17(8), 1039-44.
- **Bernheimer, A. W.** (1988). [30] Assay of hemolytic toxins. In *Methods in enzymology* (Vol. 160, pp. 213-217). Academic Press.
 - **Bertelloni, F., Cagnoli, G., & Ebani, V. V.** (2021). Virulence and antimicrobial resistance in canine *staphylococcus* spp. Isolates. *Microorganisms*, 9(3), 510.
 - **Bertino Jr, J. S.** (2009). Impact of antibiotic resistance in the management of ocular infections: the role of current and future antibiotics. *Clinical ophthalmology (Auckland, NZ)*, 5, 507.
 - **Bharathi, M. J., Ramakrishnan, R., Shivakumar, C., Meenakshi, R., & Lionalraj, D.** (2010). Etiology and antibacterial susceptibility pattern of community-acquired bacterial ocular infections in a tertiary eye care hospital in south India. *Indian journal of ophthalmology*, 58(6), 497-507.
 - **Bhat, A., & Jhanji, V.** (2021). Bacterial conjunctivitis. In *Infections of the Cornea and Conjunctiva* (pp. 1-16). Springer, Singapore.
 - **Bhattacharyya, A., Sarma, P., Sarma, B., Kumar, S., Gogoi, T., & Kaur, H.** (2020). Bertelloni, F., Cagnoli, G., & Ebani, V. V. (2021). Virulence and antimicrobial resistance in canine *staphylococcus* spp. Isolates. *Microorganisms*, 9(3), 510., 99(7).
 - **Bhikoo, R., Ingram, P. R., Cunningham, W., Gounder, P., Host, B., & Chen, F. K.** (2021). Risk of *Klebsiella pneumoniae* endogenous endophthalmitis during bacteremia: implications for screening. *Infection & Chemotherapy*, 53(2), 381.
 - **Bizani, D., & Brandelli, A.** (2001). Antimicrobial susceptibility, hemolysis, and hemagglutination among Aeromonas spp. isolated from water of a bovine abattoir. *Brazilian Journal of Microbiology*, 32, 334-339.

- **Blair**, J., Webber, M. A., Baylay, A. J., Ogbolu, D. O., & Piddock, L. J. (٢٠١٥). Molecular mechanisms of antibiotic resistance. *Nature reviews microbiology*, ١٧(١), ٤٢-٥١.
- **Bolaños-Jiménez**, R., Navas, A., López-Lizárraga, E. P., de Ribot, F. M., Peña, A., Graue-Hernández, E. O., & Garfias, Y. (٢٠١٥). Ocular surface as barrier of innate immunity. *The open ophthalmology journal*, ٩, ٤٩.
- **Bose**, S., Khodke, M., Basak, S., & Mallick, S. K. (٢٠٠٩). Detection of biofilm producing staphylococci: need of the hour. *Journal of clinical and diagnostic research*, ٧(٧), ١٩١٥-١٩٢٠.
- **Bourcier**, T., Thomas, F., Borderie, V., Chaumeil, C., & Laroche, L. (٢٠٠٣). Bacterial keratitis: predisposing factors, clinical and microbiological review of ٣٠٠ cases. *British Journal of Ophthalmology*, ٨٧(٧), ٨٣٤-٨٣٨.
- **Braoios**, A., Fluminhan, A., & Pizzolitto, A. C. (٢٠٠٩). Multiplex PCR use for *Staphylococcus aureus* identification and oxacillin and mupirocin resistance evaluation. *Revista de Ciências Farmacêuticas Básica e Aplicada*, ٣٠٣-٣٠٧.
- **Bryant**, K. A., & Woods, C. R. (٢٠٠٨). Healthcare-acquired infections due to gram-positive bacteria. *The Pediatric infectious disease journal*, ٢٧(٥), ٤٠٥-٤٠٦.
- **Buznach**, N., Dagan, R., & Greenberg, D. (٢٠٠٥). Clinical and bacterial characteristics of acute bacterial conjunctivitis in children in the antibiotic resistance era. *The Pediatric infectious disease journal*, ٢٤(٩), ٨٢٣-٨٢٨.
- **Byrd**, A. L., Deming, C., Cassidy, S. K., Harrison, O. J., Ng, W. I., Conlan, S., ... & Kong, H. H. (٢٠١٧). *Staphylococcus aureus* and *Staphylococcus epidermidis* strain diversity underlying pediatric atopic dermatitis. *Science translational medicine*, ٩(٣٩٧), eaal٤٦٥١.

- **Caballero**, A. R., Tang, A., Bierdeman, M., O'Callaghan, R., & Marquart, M. (٢٠٢١). Correlation of *Staphylococcus epidermidis* Phenotype and Its Corneal Virulence. *Current Eye Research*, ٤٧(٥), ٦٣٨-٦٤٧.
- **Campbell**, A. J., Dotel, R., Blyth, C. C., Davis, J. S., Tong, S. Y. C., & Bowen, A. C. (٢٠١٩). Adjunctive protein synthesis inhibitor antibiotics for toxin suppression in *Staphylococcus aureus* infections: a systematic appraisal. *Journal of Antimicrobial Chemotherapy*, ٦٤(١), ١-٥.
- **Cao**, Y., Su, B., Chinnaraj, S., Jana, S., Bowen, L., Charlton, S., ... & Chen, J. (٢٠١٨). Nanostructured titanium surfaces exhibit recalcitrance towards *Staphylococcus epidermidis* biofilm formation. *Scientific reports*, ٨(١), ١-١٣.
- **Capriotti**, J. A., Pelletier, J. S., Shah, M., Caivano, D. M., & Ritterband, D. C. (٢٠٠٩). Normal ocular flora in healthy eyes from a rural population in Sierra Leone. *International ophthalmology*, ٢٩(٢), ٨١-٨٤.
- **Casadevall**, A., & Pirofski, L. A. (٢٠٠٩). Virulence factors and their mechanisms of action: the view from a damage–response framework. *Journal of water and health*, ٧(S١), S٢-S١٨.
- **Cathcart**, G. R., Quinn, D., Greer, B., Harriott, P., Lynas, J. F., Gilmore, B. F., & Walker, B. (٢٠١١). Novel inhibitors of the *Pseudomonas aeruginosa* virulence factor LasB: a potential therapeutic approach for the attenuation of virulence mechanisms in pseudomonal infection. *Antimicrobial agents and chemotherapy*, ٥٥(٦), ٢٦٧٠-٢٦٧٨.
- **Cavalieri**, S. J., Bohach, G. A., & Snyder, I. S. (١٩٨٤). *Escherichia coli* alpha-hemolysin: characteristics and probable role in pathogenicity. *Microbiological reviews*, ٤٨(٤), ٣٢٦-٣٤٣.

References

- **Chabi**, R., & Momtaz, H. (٢٠١٩). Virulence factors and antibiotic resistance properties of the *Staphylococcus epidermidis* strains isolated from hospital infections in Ahvaz, Iran. *Tropical medicine and health*, ٤٧(١), ١-٦.
- **Chadha**, J., Harjai, K., & Chhibber, S. (٢٠٢٢). Revisiting the virulence hallmarks of *Pseudomonas aeruginosa*: a chronicle through the perspective of quorum sensing. *Environmental Microbiology*, ٢٤(٦), ٢٦٣٠-٢٦٥٦.
- **Chen**, Y., & Hong, X. (٢٠١٦). Effects of carvedilol reduce conjunctivitis through changes in inflammation, NGF and VEGF levels in a rat model. *Experimental and Therapeutic Medicine*, ١١(٥), ١٩٨٧-١٩٩٢.
- **Cheng**, V. C., Yam, W. C., Tsang, L. L., Yau, M. C., Siu, G. K., Wong, S. C., ... & Yuen, K. Y. (٢٠١٢). Epidemiology of *Klebsiella oxytoca*-associated diarrhea detected by Simmons citrate agar supplemented with inositol, tryptophan, and bile salts. *Journal of Clinical Microbiology*, ٥٠(٥), ١٥٧١-١٥٧٩.
- **Cheung**, G. Y., Bae, J. S., & Otto, M. (٢٠٢١). Pathogenicity and virulence of *Staphylococcus aureus*. *Virulence*, ١٢(١), ٥٤٧-٥٦٩.
- **Chodosh**, J., Chintakuntlawar, A. V., & Robinson, C. M. (٢٠٠٨). Human eye infections. *Encyclopedia of Virology*, ٤٩١.
- **Chung**, S. Y., Rafailov, L., Turbin, R. E., & Langer, P. D. (٢٠١٩). The microbiologic profile of dacryocystitis. *Orbit*, ٣٨(١), ٧٢-٧٨.
- **Clegg**, S., & Murphy, C. N. (٢٠١٧). Epidemiology and virulence of *Klebsiella pneumoniae*. *Urinary Tract Infections: Molecular Pathogenesis and Clinical Management*, ٤٣٥-٤٥٧.
- **Costabile**, M. (٢٠١٠). Measuring the ٥٠٪ haemolytic complement ($\text{CH}^{٥٠}$) activity of serum. *JoVE (Journal of Visualized Experiments)*, (٣٨), e١٩٢٣.

References

- **Collee, J.G., Miles, R.S., & Watt, B.** (١٩٩٦). Tests for identification of bacteria. *Mackie and McCartney practical medical microbiology*, ١٤, ١٣١-٤٩.
- **Cristina, M. L., Sartini, M., & Spagnolo, A. M.** (٢٠١٩). *Serratia marcescens* infections in neonatal intensive care units (NICUs). *International journal of environmental research and public health*, ١٧(٤), ٦١٠.
- **D’Oria, F., Buonamassa, R., Rizzo, T., Boscia, F., Alessio, G., & Guerriero, S.** (٢٠٢٢). Bacterial isolates and antimicrobial susceptibility pattern of ocular infection at a tertiary referral hospital in the South of Italy. *European Journal of Ophthalmology*, ١١٢٠.٦٧٢١٢٢١١.٦١٣٩.
- **D’Souza, S., Vaidya, T., Nair, A. P., Shetty, R., Kumar, N. R., Bisht, A., ... & Ghosh, A.** (٢٠٢٢). Altered ocular surface health status and tear film immune profile due to prolonged daily mask wear in health care workers. *Biomedicines*, ١٠(٥), ١١٦٠.
- **Das, A. V., & Joseph, J.** (٢٠٢٢). The microbiological landscape and epidemiology of ocular infections in a multi-tier ophthalmology network in India: an electronic medical record driven analytics report. *Eye*, ١-٧.
- **Das, S., D’Souza, S., Gorimanipalli, B., Shetty, R., Ghosh, A., & Deshpande, V.** (٢٠٢٢). Ocular Surface Infection Mediated Molecular Stress Responses: A Review. *International Journal of Molecular Sciences*, ٢٣(٦), ٣١١١.
- **Dave, A., Samarth, A., Karolia, R., Sharma, S., Karunakaran, E., Partridge, L., ... & Roy, S.** (٢٠٢٠). Characterization of ocular clinical isolates of *Pseudomonas aeruginosa* from non-contact lens related keratitis patients from South India. *Microorganisms*, ٨(٢), ٢٦٠.

References

- **de Paiva**, C. S., St Leger, A. J., & Caspi, R. R. (٢٠٢٢). Mucosal immunology of the ocular surface. *Mucosal Immunology*, ١-١٥.
- **de Paula**, A., Oliva, G., Barraquer, R. I., & de la Paz, M. F. (٢٠٢٠). Prevalence and antibiotic susceptibility of bacteria isolated in patients affected with blepharitis in a tertiary eye centre in Spain. *European Journal of Ophthalmology*, ٣٠(٥), ٩٩١-٩٩٧.
- **DeCory**, H. H., Sanfilippo, C. M., Proskin, H. M., & Blondeau, J. M. (٢٠٢٠). Characterization of baseline polybacterial versus monobacterial infections in three randomized controlled bacterial conjunctivitis trials and microbial outcomes with besifloxacin ophthalmic suspension ٠.٧%. *PloS one*, ١٩(٨), e٢٣٧٦٣.
- **Deepthi**, K. G., & Prabagaran, S. R. (٢٠٢٠). Ocular bacterial infections: Pathogenesis and diagnosis. *Microbial pathogenesis*, ١٤٥, ١٠٤٢٠٦.
- **Deguchi**, H., Kitazawa, K., Kayukawa, K., Kondoh, E., Fukumoto, A., Yamasaki, T., ... & Sotozono, C. (٢٠١٨). The trend of resistance to antibiotics for ocular infection of *Staphylococcus aureus*, coagulase-negative staphylococci, and *Corynebacterium* compared with ١٠-years previous: A retrospective observational study. *PLoS One*, ١٣(٩), e٢٠٣٧٠٥.
- **Desouky**, S. E., El-Gamal, M. S., Mohammed, A. F., & Abu-Elghait, M. A. (٢٠١٤). Determination of some virulence factors in *Staphylococcus spp.* isolated from clinical samples of different Egyptian patients. *World Appl Sci J*, ٣٢, ٧٣١-٧٤٠.
- **Devaux**, L., Sleiman, D., Mazzuoli, M. V., Gominet, M., Lanotte, P., Trieu-Cuot, P., ... & Firon, A. (٢٠١٨). Cyclic di-AMP regulation of osmotic homeostasis is essential in Group B Streptococcus. *PLoS genetics*, ١٤(٤), e١٠٠٧٣٤٢.

- **Dhakwa**, K., Sharma, M. K., Bajimaya, S., Dwivedi, A. K., & Rai, S. K. (२०१२). Causative organisms in microbial keratitis, their sensitivity pattern and treatment outcome in western Nepal. *Nepalese Journal of Ophthalmology*, ४(१), ११९-१२७.
- **di RS Pedesaan**, A. K. K. (२०१३). The Incidence of Conjunctivitis in Rural Hospital Compared with Urban Hospital । January-३१ December.
- **Dias**, C., Gonçalves, M., & João, A. (२०१३). Epidemiological study of hospital-acquired bacterial conjunctivitis in a level III neonatal unit. *The Scientific World Journal*, २०१३.
- **Dias**, S. P., Brouwer, M. C., & van de Beek, D. (२०२२). Sex and gender differences in bacterial infections. *Infection and Immunity*, ९०(१०), e००२८३-२२.
- **Dinges**, M. M., Orwin, P. M., & Schlievert, P. M. (२०००). Exotoxins of *Staphylococcus aureus*. *Clinical microbiology reviews*, १३(१), १६-४४.
- **Diriba**, K., Kassa, T., Alemu, Y., & Bekele, S. (२०२०). In vitro biofilm formation and antibiotic susceptibility patterns of bacteria from suspected external eye infected patients attending ophthalmology clinic, Southwest Ethiopia. *International journal of microbiology*, २०२०, १-१२.
- **Divyakolu**, S., Chikkala, R., Ratnakar, K. S., & Sritharan, V. (२०१९). Hemolysins of *Staphylococcus aureus*—An update on their biology, role in pathogenesis and as targets for anti-virulence therapy. *Advances in Infectious Diseases*, ९(२), ८०-१०४.
- **Dong**, X., Wang, Y., Wang, W., Lin, P., & Huang, Y. (२०१९). Composition and diversity of bacterial community on the ocular surface of patients with meibomian gland dysfunction. *Investigative Ophthalmology & Visual Science*, ५०(१४), ४७७४-४७८३.

References

- **Downie**, L. E., Bandlitz, S., Bergmanson, J. P., Craig, J. P., Dutta, D., Maldonado-Codina, C., ... & Wolffsohn, J. S. (٢٠٢١). BCLA CLEAR-Anatomy and physiology of the anterior eye. Contact Lens and Anterior Eye, ٤٤(٢), ١٣٢-١٥٦.
- **Duggirala**, A., Kenchappa, P., Sharma, S., Peeters, J. K., Ahmed, N., Garg, P., ... & Hasnain, S. E. (٢٠٠٧). High-resolution genome profiling differentiated *Staphylococcus epidermidis* isolated from patients with ocular infections and normal individuals. *Investigative ophthalmology & visual science*, ٤٨(٧), ٣٢٣٩-٣٢٤٥.
- **Durand**, M. L. (٢٠١٣). Endophthalmitis. *Clinical Microbiology and Infection*, ١٩(٣), ٢٢٧-٢٣٤.
- **Effah**, C. Y., Sun, T., Liu, S., & Wu, Y. (٢٠٢٠). Klebsiella pneumoniae: an increasing threat to public health. *Annals of clinical microbiology and antimicrobials*, ١٩(١), ١-٩.
- **Egrilmez**, S., & Yildirim-Theveny, S. (٢٠٢٠). Treatment-resistant bacterial keratitis: challenges and solutions. *Clinical Ophthalmology*, ٢٨٧-٢٩٧.
- **El Zowalaty**, M. E., Al Thani, A. A., Webster, T. J., El Zowalaty, A. E., Schweizer, H. P., Nasrallah, G. K., ... & Ashour, H. M. (٢٠١٥). *Pseudomonas aeruginosa*: arsenal of resistance mechanisms, decades of changing resistance profiles, and future antimicrobial therapies. *Future Microbiology*, ١٠(١٠), ١٦٨٣-١٧٠٦.
- **El-Ganiny**, A. M., Shaker, G. H., Aboelazm, A. A., & El-Dash, H. A. (٢٠١٧). Prevention of bacterial biofilm formation on soft contact lenses using natural compounds. *Journal of Ophthalmic Inflammation and Infection*, ٧, ١-٧.
- **Elhakim**, Y. A., Ali, A. E., Hosny, A. E. D. M., & Abdeltawab, N. F. (٢٠٢١). Zinc Deprivation as a Promising Approach for Combating

- Methicillin-Resistant *Staphylococcus aureus*: A Pilot Study. *Pathogens*, 10(10), 1228.
- **El-Halim**, A., & Nora, Z. (2021). Phenotypic and molecular characteristics of *Pseudomonas Aeruginosa* isolated from burn unit. *Egyptian Journal of Medical Microbiology*, 30(1), 19-28.
 - **Elhanan**, M. M., Nabi, A., Tayara, F., & Alsharhan, M. (2016). Bacterial keratitis risk factors, pathogens and antibiotic susceptibilities: a 5-year review of cases at Dubai hospital, Dubai. *Journal of Clinical and Experimental Ophthalmology*, 1(1), 1-8.
 - **Elmouaden**, C., Laglaoui, A., Ennanei, L., Bakkali, M., & Abid, M. (2019). Virulence genes and antibiotic resistance of *Pseudomonas aeruginosa* isolated from patients in the Northwestern of Morocco. *The Journal of Infection in Developing Countries*, 17(10), 892-898.
 - **Elzen**, A. A. G., & Abdalla, A. M. (2012). Isolation and Identification of Pathogenic Bacteria that Cause External Ocular Infections in Sabha City Libya. *Journal of the Nigerian Optometric Association*, 12, 7-9.
 - **Epling**, J. (2012). Bacterial conjunctivitis. BMJ clinical evidence, 2012.
 - **Eshraghi**, B., Abdi, P., Akbari, M., & Fard, M. A. (2014). Microbiologic spectrum of acute and chronic dacryocystitis. *International journal of ophthalmology*, 1(5), 864.
 - **Esther**, N., & Fatima, T. (2020). Evaluation of phytochemicals and activity index of some plant leaf extracts on typhoidal and non-typhoidal *Salmonella* isolates from selected hospitals in Bauchi, Nigeria. *GSC Biological and Pharmaceutical Sciences*, 10(2), 120-129.

- **Etebu**, E., & Arikekpar, I. (٢٠١٦). Antibiotics: Classification and mechanisms of action with emphasis on molecular perspectives. *Int J Appl Microbiol Biotechnol Res*, ٤(٢٠١٦), ٩٠-١٠١.
- **EwadhP**, R. M., AldraghiP, W. A., & AbidP, A. J. (٢٠١٤). Genetic Study of The Etiology of Some Bacterial Pathogens in People with Inflammation of The Eye and to Investigate The Prevalence of The *SEA* gene. *Iraqi journal of biotechnology*, ١٧(٢), ٢٣-٣٤.
- **Fang**, C. T., Lai, S. Y., Yi, W. C., Hsueh, P. R., Liu, K. L., & Chang, S. C. (٢٠٠٧). *Klebsiella pneumoniae* genotype K¹: an emerging pathogen that causes septic ocular or central nervous system complications from pyogenic liver abscess. *Clinical infectious diseases*, ٤٩(٣), ٢٨٤-٢٩٣.
- **Faraji**, F., Mahzounieh, M., Ebrahimi, A., Fallah, F., Teymournejad, O., & Lajevardi, B. (٢٠١٦). Molecular detection of virulence genes in *Pseudomonas aeruginosa* isolated from children with Cystic Fibrosis and burn wounds in Iran. *Microbial pathogenesis*, ٩٩, ١-٤.
- **Farhan**, S. M., Raafat, M., Abourehab, M. A., Abd El-Baky, R. M., Abdalla, S., El-Gendy, A. O., & Azmy, A. F. (٢٠٢١). Effect of imipenem and amikacin combination against multi-drug resistant *Pseudomonas aeruginosa*. *Antibiotics*, ١٠(١١), ١٤٢٩.
- **Faridi**, A., Kareshk, A. T., Fatahi-Bafghi, M., Ziasistani, M., Ghahraman, M. R. K., Seyyed-Yousefi, S. Z., ... & Kalantar-Neyestanaki, D. (٢٠١٨). Detection of methicillin-resistant *Staphylococcus aureus* (MRSA) in clinical samples of patients with external ocular infection. *Iranian Journal of Microbiology*, ١٠(٤), ٢١٥.
- **Farshad**, S., Ranjbar, R., Japoni, A., Hosseini, M., Anvarinejad, M., & Mohammadzadegan, R. (٢٠١٢). Microbial susceptibility, virulence factors, and plasmid profiles of uropathogenic *Escherichia*

References

- coli strains isolated from children in Jahrom, Iran. *Archives of Iranian medicine*, 19(5), 312-316.
- **Fernald, R. D.** (2007). Casting a genetic light on the evolution of eyes. *Science*, 313(5790), 1914-1918.
 - **Ferry, T., Thomas, D., Genestier, A. L., Bes, M., Lina, G., Vandenesch, F., & Etienne, J.** (2000). Comparative prevalence of superantigen genes in *Staphylococcus aureus* isolates causing sepsis with and without septic shock. *Clinical infectious diseases*, 31(6), 771-777.
 - **Flayyih, M. T., Yousif, H. S., & Subhi, I. M.** (2013). Antimicrobial effects of black tea (*Camellia sinensis*) on *Pseudomonas aeruginosa* isolated from eye infection. *Iraqi Journal of Science*, 54(2.2013), 200-260.
 - **Florez-Cuadrado, D., Ugarte-Ruiz, M., Meric, G., Quesada, A., Porrero, M. C., Pascoe, B., ... & Sheppard, S. K.** (2017). Genome comparison of erythromycin resistant *Campylobacter* from turkeys identifies hosts and pathways for horizontal spread of erm (B) genes. *Frontiers in Microbiology*, 8, 2240.
 - **Friedman, M., Rasooly, R., Do, P. M., & Henika, P. R.** (2011). The Olive Compound α -Hydroxytyrosol Inactivates *Staphylococcus Aureus* Bacteria and *Staphylococcal* Enterotoxin A (SEA). *Journal of food science*, 77(8), M558-M563.
 - **Froböse, N. J., Bjedov, S., Schuler, F., Kahl, B. C., Kampmeier, S., & Schaumburg, F.** (2020). Gram staining: a comparison of two automated systems and manual staining. *Journal of clinical microbiology*, 58(12), e01914-20.
 - **Fujishima, H., Okada, N., Dogru, M., Baba, F., Tomita, M., Abe, J., ... & Saito, H.** (2012). The role of *Staphylococcal* enterotoxin in

- atopic keratoconjunctivitis and corneal ulceration. *Allergy*, 71(6), 799-803.
- Abril, A., Villa, T., Barros-Velázquez, J., Cañas, B., Sánchez-Pérez, A., Calo-Mata, P., & Carrera, M. (2020). *Staphylococcus aureus* exotoxins and their detection in the dairy industry and mastitis. *Toxins*, 12(1), 537.
 - Gaire, U., Thapa Shrestha, U., Adhikari, S., Adhikari, N., Bastola, A., Rijal, K. R., ... & Banjara, M. R. (2021). Antibiotic Susceptibility, Biofilm Production, and Detection of *mec A* Gene among *Staphylococcus aureus* Isolates from Different Clinical Specimens. *Diseases*, 9(4), 80.
 - Galdino, A. C. M., de Oliveira, M. P., Ramalho, T. C., de Castro, A. A., Branquinha, M. H., & Santos, A. L. (2019). Anti-virulence strategy against the multidrug-resistant bacterial pathogen *Pseudomonas aeruginosa*: pseudolysin (elastase B) as a potential druggable target. *Current Protein and Peptide Science*, 20(5), 471-487.
 - Galletti, J. G., & de Paiva, C. S. (2021). The ocular surface immune system through the eyes of aging. *The Ocular Surface*, 20, 139-162.
 - Galvis, V., Tello, A., Guerra, A., Acuña, M. F., & Villarreal, D. (2014). Antibiotic susceptibility patterns of bacteria isolated from keratitis and intraocular infections at Fundación Oftalmológica de Santander (FOSCAL), Floridablanca, Colombia. *Biomedica*, 34, 23-33.
 - Georgescu, M., Gheorghe, I., Curutiu, C., Lazar, V., Bleotu, C., & Chifiriuc, M. C. (2016). Virulence and resistance features of *Pseudomonas aeruginosa* strains isolated from chronic leg ulcers. *BMC infectious diseases*, 17(1), 3-9.

- **Ghanbari**, F., Ghajavand, H., Havaei, R., Jami, M. S., Khademi, F., Heydari, L., ... & Havaei, S. A. (٢٠١٦). Distribution of erm genes among *Staphylococcus aureus* isolates with inducible resistance to clindamycin in Isfahan, Iran. *Advanced biomedical research*, ٥.
- **Ghazaei**, C. (٢٠٢١). Molecular Analysis of Pathogenic Genes (*lasB* and *exoA*) in *Pseudomonas aeruginosa* Strains Isolated from Animal and Human Samples and Determination of Their Resistance Pattern. *Journal of Clinical Research in Paramedical Sciences*, ١٠(٢).
- **Gheorghe**, I., Popa, M., & Măruțescu, L. G. (٢٠١٨). Molecular features of virulence and resistance mechanisms in nosocomial and community-acquired *Staphylococcus aureus*. In *Staphylococcus Aureus*. London, UK: IntechOpen.
- **Ghosh**, A. K., Thammasudjarit, R., Jongkhajornpong, P., Attia, J., & Thakkinstian, A. (٢٠٢٢). Deep learning for discrimination between fungal keratitis and bacterial keratitis: DeepKeratitis. *Cornea*, ٤١(٥), ٦١٦.
- **Gnanamani**, A., Hariharan, P., & Paul-Satyaseela, M. (٢٠١٧). *Staphylococcus aureus*: Overview of bacteriology, clinical diseases, epidemiology, antibiotic resistance and therapeutic approach. *Frontiers in Staphylococcus aureus*, ٤(٢٨), ١٠-٥٧٧٢.
- **Godoy-Mancilla**, J., Oyarzun-Barrientos, C., Marín-Cornuy, M., Carrasco-Sanhueza, E., & Águila-Torres, P. (٢٠٢٢). Bacterial eye infections associated with sexual transmission infections: A review. *Archivos de la Sociedad Española de Oftalmología (English Edition)*, ٩٧(١), ١٧-٢٧.
- **Grandi**, G., Bianco, G., Boattini, M., Scalabrin, S., Iannaccone, M., Fea, A., ... & Costa, C. (٢٠٢١). Bacterial etiology and antimicrobial

References

- resistance trends in ocular infections: A 30-year study, Turin area, Italy. *European Journal of Ophthalmology*, 31(2), 405-414.
- **Green**, M. R., & Sambrook, J. (2019). Analysis of DNA by agarose gel electrophoresis. *Cold Spring Harbor Protocols*, 2019(1), pdb-top100388.
 - **Grimont**, F., & Grimont, P. A. (2010). *Serratia. Bergey's manual of systematics of archaea and bacteria*, 1-22.
 - **Guo**, Y., Song, G., Sun, M., Wang, J., & Wang, Y. (2020). Prevalence and therapies of antibiotic-resistance in *Staphylococcus aureus*. *Frontiers in cellular and infection microbiology*, 10, 107.
 - **Gwenhure**, T., & Shepherd, E. (2019). Principles and procedure for eye assessment and cleansing. *Nursing Times*, 18-20.
 - **Haas**, J., Larson, E., Ross, B., See, B., & Saiman, L. (2000). Epidemiology and diagnosis of hospital-acquired conjunctivitis among neonatal intensive care unit patients. *The Pediatric infectious disease journal*, 19(7), 587.
 - **Haas**, W., Gearinger, L. S., Hesje, C. K., Sanfilippo, C. M., & Morris, T. W. (2012). Microbiological etiology and susceptibility of bacterial conjunctivitis isolates from clinical trials with ophthalmic, twice-daily besifloxacin. *Advances in therapy*, 29, 442-450.
 - **Halfon**, Y., Matzov, D., Eyal, Z., Bashan, A., Zimmerman, E., Kjeldgaard, J., ... & Yonath, A. (2019). Exit tunnel modulation as resistance mechanism of *S.aureus* erythromycin resistant mutant. *Scientific Reports*, 9(1), 11460.
 - **Hameed**, F.A. (2020). Bacteriological study of eye infection in Baghdad city. *Medico-legal update*, 2020, vol. 20, No. 3.
 - **Hashim**, I., & Pharma, S. (2013). Microbiological culture media in pharmaceutical industry. *Foster city, USA: OMICS Group eBooks*.

References

- **Hassan**, T. M., & Majid, B. T. (٢٠١٨). Identification of Common Aerobic Bacterial Isolates among Conjunctivitis in Sulaymaniyah Province/Iraq. *Iraqi Journal of Medical Sciences*, ١٧(٢).
- **Hassuna**, N. A., Mandour, S. A., & Mohamed, E. S. (٢٠٢٠). Virulence constitution of multi-drug-resistant *Pseudomonas aeruginosa* in Upper Egypt. *Infection and drug resistance*, ٥٨٧-٥٩٥.
- **Hedayati**, H., Ghaderpanah, M., Rasoulinejad, S. A., & Montazeri, M. (٢٠١٥). Clinical presentation and antibiotic susceptibility of contact lens associated microbial keratitis. *Journal of Pathogens*, ٢٠١٥.
- **Heidari**, H., Hadadi, M., Ebrahim-Saraie, H. S., Mirzaei, A., Taji, A., Hosseini, S. R., & Motamedifar, M. (٢٠١٨). Characterization of virulence factors, antimicrobial resistance patterns and biofilm formation of *Pseudomonas aeruginosa* and *Staphylococcus spp.* strains isolated from corneal infection. *Journal français d'ophtalmologie*, ٤١(٩), ٨٢٣-٨٢٩.
- **Herrera**, A., Vu, B. G., Stach, C. S., Merriman, J. A., Horswill, A. R., Salgado-Pabón, W., & Schlievert, P. M. (٢٠١٦). *Staphylococcus aureus* β -toxin mutants are defective in biofilm ligase and sphingomyelinase activity, and causation of infective endocarditis and sepsis. *Biochemistry*, ٥٩(١٧), ٢٥١٠-٢٥١٧.
- **Hilliam**, Y., Kaye, S., & Winstanley, C. (٢٠٢٠). *Pseudomonas aeruginosa* and microbial keratitis. *Journal of medical microbiology*, ٧٩(١), ٣-١٣.
- **Hiramatsu**, K., Katayama, Y., Matsuo, M., Sasaki, T., Morimoto, Y., Sekiguchi, A., & Baba, T. (٢٠١٤). Multi-drug-resistant *Staphylococcus aureus* and future chemotherapy. *Journal of Infection and Chemotherapy*, ٢٠(١٠), ٥٩٣-٦٠١.

References

- **Hom**, M. M., Nguyen, A. L., & Bielory, L. (٢٠١٢). Allergic conjunctivitis and dry eye syndrome. *Annals of Allergy, Asthma & Immunology*, ١٠٨(٣), ١٦٣-١٦٦.
- **Horng**, C., Tsai, K. L., Chou, H. J., & Chou, S. T. (٢٠١٤). The observation for ocular surface diseases in respiratory care center in one regional teaching hospital in Southern Taiwan. *Life Sci J*, ٧(١١), ٦٧٢-٩.
- **Hoshi**, S., Hashida, M., & Urabe, K. (٢٠١٦). Risk factors for aerobic bacterial conjunctival flora in preoperative cataract patients. *Eye*, ٥٠(١١), ١٤٣٩-١٤٤٧.
- **Hou**, W., Sun, X., Wang, Z., & Zhang, Y. (٢٠١٢). Biofilm-forming capacity of *Staphylococcus epidermidis*, *Staphylococcus aureus*, and *Pseudomonas aeruginosa* from ocular infections. *Investigative ophthalmology & visual science*, ٥٣(٩), ٥٦٢٤-٥٦٣١.
- **Høvding**, G. (٢٠٠٨). Acute bacterial conjunctivitis. *Acta ophthalmologica*, ٨٧(١), ٥-١٧.
- **Hsiao**, C. H., Ong, S. J., Chuang, C. C., Ma, D. H., & Huang, Y. C. (٢٠١٥). A comparison of clinical features between community-associated and healthcare-associated methicillin-resistant *Staphylococcus aureus* keratitis. *Journal of Ophthalmology*, ٢٠١٥.
- **Hu**, Y. L., Lee, P. I., Hsueh, P. R., Lu, C. Y., Chang, L. Y., Huang, L. M., ... & Chen, J. M. (٢٠٢١). Predominant role of *Haemophilus influenzae* in the association of conjunctivitis, acute otitis media and acute bacterial paranasal sinusitis in children. *Scientific Reports*, ١١(١), ١-٧.
- **Huseby**, M. J., Kruse, A. C., Digre, J., Kohler, P. L., Vocke, J. A., Mann, E. E., ... & Earhart, C. A. (٢٠١٠). Beta toxin catalyzes formation of nucleoprotein matrix in staphylococcal

- biofilms. *Proceedings of the National Academy of Sciences*, 107(32), 14407-14412.
- **Ibrahim**, N. H., Turki, A. M., & Abd Al-Rahman, J. (2020). Molecular and Phenotypic Detection of Some of the Coded Genes for Virulence Factors in Mrsa and Mssa Isolated from Different Clinical Cases. *Indian Journal of Forensic Medicine & Toxicology*, 14(4), 1830.
 - **Ismael**, M. C., & Mohameed, E. S. (2022). Predisposing Factors and aetiological diagnosis of eye's Infection in Baghdad city/Iraq. *Texas Journal of Multidisciplinary Studies*, 2, 81-87.
 - **Ismael**, M. C., Ibrahim, A. H., Kadim, R. L., & Mubarak, E. A. (2017). Study of causative bacterial agents and risk factors predisposing to bacterial keratitis in Iraq. *Journal of the Faculty of Medicine Baghdad*, 59(1), 87-89.
 - **Issa**, A. H., & Almayah, A. A. (2020). New Virulence Factor of Normal Flora E. Coli. *Systematic Reviews in Pharmacy*, 11(2).
 - **Jackson**, T. L. (Ed.). (2019). *Moorfields manual of ophthalmology*. JP Medical Ltd.
 - **Jacob**, M. E., Keelara, S., Aidara-Kane, A., Matheu Alvarez, J. R., & Fedorka-Cray, P. J. (2020). Optimizing a screening protocol for potential extended-spectrum β -lactamase Escherichia coli on MacConkey agar for use in a global surveillance program. *Journal of Clinical Microbiology*, 58(1), e1039-19.
 - **Jahromi**, S. I. P., Mardaneh, J., Sharifi, A., Pezeshkpour, V., Behzad-Behbahani, A., Seyyedi, N., ... & Khosravani, S. A. (2018). Occurrence of a multidrug resistant *Pseudomonas aeruginosa* strains in hospitalized patients in southwest of Iran: Characterization of resistance trends and virulence determinants. *Jundishapur Journal of Microbiology*, 11(4).

- **Jang, J.**, Hur, H. G., Sadowsky, M. J., Byappanahalli, M. N., Yan, T., & Ishii, S. (٢٠١٧). Environmental Escherichia coli: ecology and public health implications—a review. *Journal of applied microbiology*, ١٢٣(٣), ٥٧٠-٥٨١.
- **Janicijevic, K. M.**, Kocic, S., Radovanovic, S., Vasiljevic, D., Djonovic, N., & Vulovic, T. S. (٢٠١٧). PREVENTION OF ADENOVIRAL EYE INFECTION-REVIEW. *SANAMED*, ١٢(١), ٥١-٥٦.
- **Jarraud, S.**, Mougel, C., Thioulouse, J., Lina, G., Meugnier, H., Forey, F., ... & Vandenesch, F. (٢٠٠٢). Relationships between *Staphylococcus aureus* genetic background, virulence factors, agr groups (alleles), and human disease. *Infection and immunity*, ٧٠(٢), ٦٣١-٦٤١.
- **Jasim, R. A.**, & Jasim, R. M. (٢٠٢٠). ISOLATION AND IDENTIFICATION OF PATHOGENIC BACTERIA INFECTION AND TREATMENT BY ACTIVE SUBSTANCES ISOLATED FROM AGARICUS BISPORUS FUNGI. *Plant Archives*, ٢٠(١), ٢٧٣٢-٢٧٣٥.
- **Jenul, C.**, & Horswill, A. R. (٢٠١٩). Regulation of *Staphylococcus aureus* virulence. *Microbiology spectrum*, ٧(٢), ٧-٢.
- **Johnson, D.**, Liu, D., & Simel, D. (٢٠٢٢). Does this patient with acute infectious conjunctivitis have a bacterial infection?: the rational clinical examination systematic review. *JAMA*, ٣٢٦(٢٢), ٢٢٣١-٢٢٣٧.
- **Johnson, W. L.**, Sohn, M. B., Taffner, S., Chatterjee, P., Dunman, P. M., Pecora, N., & Wozniak, R. A. (٢٠٢١). Genomics of *Staphylococcus aureus* ocular isolates. *PloS one*, ١٧(٥), e٠٢٥٠٩٧٥.
- **Juhong, J.**, Mordmuang, A., Jewboonchu, J., Rattanathamma, P., Narkkul, U., Karnjana, K., & Udomwech, L. (٢٠٢٢). Rub and Rinse

References

- Contact Lenses Before Wearing as a Protective Regimen Against Contact Lens-Related Eye Infections. *Clinical Ophthalmology*, ٥٦٧-٥٧٧.
- **Kadim**, D., & Abed, K. (٢٠٢٢). Virulence factors of *Pseudomonas aeruginosa* Isolates from Iraqi patients: Literature Review. *مجلة العلوم الأساسية* ٢٢١-٢٣٢.
 - **Kalló**, G., Varga, A. K., Szabó, J., Emri, M., Tőzsér, J., Csutak, A., & Csősz, É. (٢٠٢١). Reduced Level of Tear Antimicrobial and Immunomodulatory Proteins as a Possible Reason for Higher Ocular Infections in Diabetic Patients. *Pathogens*, ١٠(٧), ٨٨٣.
 - **Karaca**, I., Selver, O. B., Palamar, M., Egrilmez, S., Aydemir, S., & Yagci, A. (٢٠٢٠). Contact Lens–Associated Microbial Keratitis in a Tertiary Eye Care Center in Turkey. *Eye & Contact Lens*, ٤٧(٢), ١١٠-١١٥.
 - **Kareem Rhumaid**, A., Alak Mahdi Al-Buhilal, J., AL-Rubaey, N. K., & Yassen AL-Zamily, K. (٢٠٢٢). Prevalence and antibiotic susceptibility of pathogenic bacteria associated with ocular infections in adult patients. *Archives of Razi Institute*, ٧٧(٥), ١٩١٧-١٩٢٤.
 - **Karring**, H., Thøgersen, I. B., Klintworth, G. K., Enghild, J. J., & Møller-Pedersen, T. (٢٠٠٤). Proteomic analysis of the soluble fraction from human corneal fibroblasts with reference to ocular transparency. *Molecular & Cellular Proteomics*, ٣(٧), ٦٦٠-٦٧٤.
 - **Kashir**, J., & Yaqinuddin, A. (٢٠٢٠). Loop mediated isothermal amplification (LAMP) assays as a rapid diagnostic for COVID-١٩. *Medical hypotheses*, ١٤١, ١٠٩٧٨٦.
 - **Katz**, D. S. (٢٠١٠). Coagulase test protocol. *American Society for Microbiology Laboratory Protocols*. Available online: <https://www.asmscience.org/content/education/protocol/protocol>, ٣٢٢٠.

References

- **Kels**, B. D., Grzybowski, A., & Grant-Kels, J. M. (٢٠١٥). Human ocular anatomy. *Clinics in dermatology*, ٣٣(٢), ١٤٠-١٤٦.
- **Kessler, E., & Safrin, M.** (٢٠١٤). Elastinolytic and proteolytic enzymes. In *Pseudomonas Methods and Protocols* (pp. ١٣٥-١٦٩). Humana Press, New York, NY.
- **Khalil, M. A., & Sonbol, F. I.** (٢٠١٤). Investigation of biofilm formation on contact eye lenses caused by methicillin resistant *Staphylococcus aureus*. *Nigerian Journal of Clinical Practice*, ١٧(٦), ٧٧٦-٧٨٤.
- **Khalil, Z. K.**, Dewan, E. K., Ali, T. M., & Al-Kamil, S. S. (٢٠١٧). Prevalence and Identification of Some Ocular Bacterial Infections in Baghdad City. *Iraqi Journal of Science*, ٢٠٦١-٢٠٦٩.
- **Khan, M. A., & Steiner, T. S.** (٢٠٠٢). Mechanisms of emerging diarrheagenic Escherichia coli infection. *Current Infectious Disease Reports*, ٤(٢), ١١٢-١١٧.
- **Khanna, A., Khanna, M., & Aggarwal, A.** (٢٠١٣). *Serratia marcescens*-a rare opportunistic nosocomial pathogen and measures to limit its spread in hospitalized patients. *Journal of clinical and diagnostic research: JCDR*, ٧(٢), ٢٤٣.
- **Khashei, R., Malekzadegan, Y., Sedigh Ebrahim-Saraie, H., & Razavi, Z.** (٢٠١٨). Phenotypic and genotypic characterization of macrolide, lincosamide and streptogramin B resistance among clinical isolates of *staphylococci* in southwest of Iran. *BMC Research Notes*, ١١(١), ١-٧.
- **Khattab, M. A., Nour, M. S., & ElSheshtawy, N. M.** (٢٠١٥). Genetic identification of *Pseudomonas aeruginosa* virulence genes among different isolates. *J Microb Biochem Technol*, ٧(٥), ٢٧٤-٧.
- **Khosravi, A. D., Shafie, F., Montazeri, E. A., & Rostami, S.** (٢٠١٦). The frequency of genes encoding exotoxin A and exoenzyme S in

References

- Pseudomonas aeruginosa strains isolated from burn patients. *Burns*, 42(5), 1116-1120.
- **Kłos, M., Pomorska-Wesołowska, M., Romaniszyn, D., Chmielarczyk, A., & Wójkowska-Mach, J.** (2019). Epidemiology, Drug Resistance, and Virulence of Isolated from Ocular Infections in Polish Patients. *Polish Journal of Microbiology*, 74(4), 541-548.
 - **Klotz, S. A., Penn, C. C., Negvesky, G. J., & Butrus, S. I.** (2000). Fungal and parasitic infections of the eye. *Clinical microbiology reviews*, 13(4), 662-680.
 - **Knop, E., & Knop, N.** (2007). Anatomy and immunology of the ocular surface. *Immune Response and the Eye*, 92, 36-49.
 - **Koch, G., Yepes, A., Förstner, K. U., Wermser, C., Stengel, S. T., Modamio, J., ... & Lopez, D.** (2014). Evolution of resistance to a last-resort antibiotic in *Staphylococcus aureus* via bacterial competition. *Cell*, 158(5), 1070-1071.
 - **Kong, C., Neoh, H. M., & Nathan, S.** (2016). Targeting *Staphylococcus aureus* toxins: a potential form of anti-virulence therapy. *Toxins*, 8(3), 72.
 - **Kord, M., Ardebili, A., Jamalan, M., Jahanbakhsh, R., Behnampour, N., & Ghaemi, E. A.** (2018). Evaluation of biofilm formation and presence of ica genes in *Staphylococcus epidermidis* clinical isolates. *Osong public health and research perspectives*, 9(4), 160.
 - **Kowalski, R. P., Nayyar, S. V., Romanowski, E. G., & Jhanji, V.** (2022). Anti-Infective Treatment and Resistance Is Rarely Problematic with Eye Infections. *Antibiotics*, 11(2), 204.
 - **Kumurya, A. S., & Lawan, K. A.** (2022). Prevalence of Bacterial Ocular Infections among Patients Attending Eye Clinic of Aminu Kano Teaching Hospital and Murtala Muhammad Specialist

- Hospital, Kano. In *Eye Diseases-Recent Advances, New Perspectives and Therapeutic Options*. IntechOpen.
- **Leal Jr**, S. M., Rodino, K. G., Fowler, W. C., & Gilligan, P. H. (٢٠٢١). Practical guidance for clinical microbiology laboratories: diagnosis of ocular infections. *Clinical Microbiology Reviews*, ٣٤(٣), e٢٠٠٧-١٩.
 - **Lee**, J. H., Kim, Y. G., Yong Ryu, S., & Lee, J. (٢٠١٦). Calcium-chelating alizarin and other anthraquinones inhibit biofilm formation and the hemolytic activity of *Staphylococcus aureus*. *Scientific reports*, ٧(١), ١٩٢٦٧.
 - **Lenchenko**, E., Blumenkrants, D., Sachivkina, N., Shadrova, N., & Ibragimova, A. (٢٠٢٠). Morphological and adhesive properties of *Klebsiella pneumoniae* biofilms. *Veterinary world*, ١٣(١), ١٩٧.
 - **Leung**, A. K., Hon, K. L., Wong, A. H., & Wong, A. S. (٢٠١٨). Bacterial conjunctivitis in childhood: etiology, clinical manifestations, diagnosis, and management. *Recent patents on inflammation & allergy drug discovery*, ١٢(٢), ١٢٠-١٢٧.
 - **Levinson**, W. (٢٠١٤). *Review of medical microbiology and immunology*. McGraw-Hill Education.
 - **Li**, J. J., Yi, S., & Wei, L. (٢٠٢٠). Ocular microbiota and intraocular inflammation. *Frontiers in Immunology*, ١١, ٦٠٩٧٦٥.
 - **Liang**, Q., Lu, X., Wang, M., Tian, L., Labbé, A., & Hu, A. (٢٠١٦). Study of infectious conjunctivitis among children in rural areas of Qinghai province. *Science China Life Sciences*, ٥٩, ٥٤٨-٥٥٤.
 - **Lin**, A., Rhee, M. K., Akpek, E. K., Amescua, G., Farid, M., Garcia-Ferrer, F. J., ... & Mah, F. S. (٢٠١٩). Bacterial keratitis preferred practice pattern®. *Ophthalmology*, ١٢٧(١), P١-P٥٥.
 - **Liu**, Q., Han, L., Li, B., Sun, J., & Ni, Y. (٢٠١٢). Virulence characteristic and MLST-agr genetic background of high-level

References

- mupirocin-resistant, MRSA isolates from Shanghai and Wenzhou, China. *PLoS one*, 1(5), e37400.
- **Livingston**, E. T., Mursalin, M. H., & Callegan, M. C. (2011). A pyrrhic victory: The PMN response to ocular bacterial infections. *Microorganisms*, 1(11), 537.
 - **Lu**, L. J., & Liu, J. (2016). Focus: microbiome: human microbiota and ophthalmic disease. *The Yale journal of biology and medicine*, 19(3), 320.
 - **M Raoof**, W., M Mohamad, A., & W Al-Omari, A. (2013). Detection of biofilm formation in some pathogenic bacteria using tube and congo red agar methods. *Rafidain Journal of science*, 34(12), 60-70.
 - **MacFaddin**, J.F. (2000). Biochemical tests for identification of medical bacteria. 5th ed. the Williams and Wilkins. London.
 - **MacWilliams**, M. P. (2009). Citrate test protocol. *American Society for Microbiology*.
 - **MacWilliams**, M. P. (2012). Indole test protocol. *American Society for Microbiology, Washington, DC*.
 - **Mahdi**, M. A., Abd Al-Abbas, M. J., & Alsamak, A. M. (2021). Biofilm Forming Bacteria Isolated From Human Eye Conjunctivitis and Keratitis Cases and their Ability to Adhere on Contact Lenses in vitro. *Indian Journal of Forensic Medicine & Toxicology*, 19(3), 100-102.
 - **Mahlen**, S. D. (2011). *Serratia* infections: from military experiments to current practice. *Clinical microbiology reviews*, 24(4), 700-711.
 - **Majeed**, S. N., & Zaman, N. A. (2020). *Adenovirus* and Bacterial Pathogens Isolated from Eye Infections. *Journal of Pharmaceutical Quality Assurance*, 11(4), 538-541.

References

- **Mamman**, G. P., Angulu, C. N., Musa, G., & Angulu, S. (٢٠٢٢). Identification and antibiotic susceptibility profile of methicillin and erythromycin resistant genes in clinical and environmental strains of *Staphylococcus aureus* in Minna Nigeria. *Bayero Journal of Pure and Applied Sciences*, ١٩(١), ١٩٥-٢٠١.
- **Marinos**, E., Cabrera-Aguas, M., & Watson, S. L. (٢٠١٩). Viral conjunctivitis: a retrospective study in an Australian hospital. *Contact Lens and Anterior Eye*, ٤٢(٦), ٦٧٩-٦٨٤.
- **Mariotti**, S. P., Pascolini, D., & Rose-Nussbaumer, J. (٢٠٠٩). Trachoma: global magnitude of a preventable cause of blindness. *British Journal of Ophthalmology*, ٩٣(٥), ٥٦٣-٥٦٨.
- **Markey**, B., Leonard, F., Archambault, M., Cullinane, A., & Maguire, D. (٢٠١٣). *Clinical veterinary microbiology e-book*. Elsevier Health Sciences.
- **Martin**, R. M., & Bachman, M. A. (٢٠١٨). Colonization, infection, and the accessory genome of *Klebsiella pneumoniae*. *Frontiers in cellular and infection microbiology*, ٨, ٤.
- **Matar**, G. M., Ramlawi, F., Hijazi, N., Khneisser, I., & Abdelnoor, A. M. (٢٠٠٢). Transcription levels of *Pseudomonas aeruginosa* exotoxin A gene and severity of symptoms in patients with otitis externa. *Current Microbiology*, ٤٥, ٣٥٠-٣٥٤.
- **Math**, S. S., & Rauth, S. G. (٢٠١٩). Study of organisms isolation from acute bacterial conjunctivitis cases. *Indian Journal of Clinical and Experimental Ophthalmology*, ٩(٣), ٣١٨-٣٢١.
- **Mathur**, T., Singhal, S., Khan, S., Upadhyay, D. J., Fatma, T., & Rattan, A. (٢٠٠٧). Detection of biofilm formation among the clinical isolates of staphylococci: an evaluation of three different screening methods. *Indian journal of medical microbiology*, ٢٤(١), ٢٥-٢٩.

- **May**, A. K., Gleason, T. G., Sawyer, R. G., & Pruett, T. L. (٢٠٠٠). Contribution of *Escherichia coli* alpha-hemolysin to bacterial virulence and to intraperitoneal alterations in peritonitis. *Infection and immunity*, ٧٨(١), ١٧٦-١٨٣.
- **Mazin**, O. M., Lemya, A. K., & Samah, O. M. (٢٠١٦). External ocular bacterial infections among Sudanese children at Khartoum State, Sudan. *African Journal of Microbiology Research*, ١٠(٤٠), ١٦٩٤-١٧٠٢.
- **McDevitt**, S. (٢٠٠٩). Methyl red and voges-proskauer test protocols. *American Society for Microbiology*, ٤.
- **Michalska**, M., & Wolf, P. (٢٠١٥). *Pseudomonas* Exotoxin A: optimized by evolution for effective killing. *Frontiers in microbiology*, ٧, ٩٦٣.
- **Milivojevic**, D., Šumonja, N., Medić, S., Pavic, A., Moric, I., Vasiljevic, B., ... & Nikodinovic-Runic, J. (٢٠١٨). Biofilm-forming ability and infection potential of *Pseudomonas aeruginosa* strains isolated from animals and humans. *Pathogens and Disease*, ٧٧(٤), fty·٤١.
- **Misra**, S. L., Braatvedt, G. D., & Patel, D. V. (٢٠١٦). Impact of diabetes mellitus on the ocular surface: a review. *Clinical & experimental ophthalmology*, ٤٤(٤), ٢٧٨-٢٨٨.
- **Mittal**, R., Aggarwal, S., Sharma, S., Chhibber, S., & Harjai, K. (٢٠٠٩). Urinary tract infections caused by *Pseudomonas aeruginosa*: a minireview. *Journal of infection and public health*, ٢(٣), ١٠١-١١١.
- **Mirzaee**, M., Najar Peerayeh, S., & Ghasemian, A. M. (٢٠١٤). Detection of icaABCD genes and biofilm formation in clinical isolates of methicillin resistant *Staphylococcus aureus*. *Iranian Journal of Pathology*, ٩(٤), ٢٥٧-٢٦٢.

References

- **Mohamed**, M. S., Mostafa, H. M., Mohamed, S. H., Abd El-Moez, S. I., & Kamel, Z. (٢٠٢٠). Combination of silver nanoparticles and vancomycin to overcome antibiotic resistance in planktonic/biofilm cell from clinical and animal source. *Microbial Drug Resistance*, ٢٧(١١), ١٤١٠-١٤٢٠.
- **Mohamed**, S., Elmohamady, M. N., Abdelrahman, S., Amer, M. M., & Abdelhamid, A. G. (٢٠٢٠). Antibacterial effects of antibiotics and cell-free preparations of probiotics against *Staphylococcus aureus* and *Staphylococcus epidermidis* associated with conjunctivitis. *Saudi Pharmaceutical Journal*, ٢٨(١٢), ١٥٥٨-١٥٦٥.
- **Mohammed**, A. A., Ali, M. M., & Zenebe, M. H. (٢٠٢٠). Bacterial etiology of ocular and periocular infections, antimicrobial susceptibility profile and associated factors among patients attending eye unit of Shashemene comprehensive specialized hospital, Shashemene, Ethiopia. *BMC ophthalmology*, ٢٠(١), ١-٨.
- **Mokhtari, A., & Amini, K.** (٢٠١٩). Genotyping of *Pseudomonas aeruginosa* strains as a multidrug resistant (MDR) bacterium and evaluating the prevalence of ESBLs and some virulence factors encoding genes by PFGE and ERIC-PCR methods. *Iranian Journal of Pharmaceutical Research: IJPR*, ١٨(٣), ١٥٨٠.
- **Monecke**, S., Jatzwauk, L., Müller, E., Nitschke, H., Pfohl, K., Slickers, P., ... & Ehricht, R. (٢٠١٦). Diversity of SCC mec elements in *Staphylococcus aureus* as observed in South-Eastern Germany. *PLoS One*, ١١(٩), e٠١٦٢٦٥٤.
- **Monteiro**, A. D. S., Pinto, B. L., Monteiro, J. D. M., Ferreira, R. M., Ribeiro, P. C., Bando, S. Y., ... & Abreu, A. G. (٢٠١٩). Phylogenetic and molecular profile of *Staphylococcus aureus* isolated from bloodstream infections in Northeast Brazil. *Microorganisms*, ٧(٧), ٢١٠.

References

- **Moraveji**, Z., Tabatabaei, M., Aski, H. S., & Khoshbakht, R. (٢٠١٤). Characterization of hemolysins of *Staphylococcus* strains isolated from human and bovine, southern Iran. *Iranian journal of veterinary research*, ١٩(٤), ٣٢٦.
- **Morin**, C. D., Déziel, E., Gauthier, J., Levesque, R. C., & Lau, G. W. (٢٠٢١). An organ system-based synopsis of *Pseudomonas aeruginosa* virulence. *Virulence*, ١٢(١), ١٤٦٩-١٥٠٧.
- **Mohager**, M. O., Kaddam, L. A., & Mohager, S. O. (٢٠١٦). External ocular bacterial infections among Sudanese children at Khartoum State, Sudan. *African Journal of Microbiology Research*, ١٠(٤٠), ١٦٩٤-١٧٠٢.
- **Motamedi**, H., Asghari, B., Tahmasebi, H., & Arabestani, M. R. (٢٠١٨). Identification of hemolysine genes and their association with antimicrobial resistance pattern among clinical isolates of *Staphylococcus aureus* in West of Iran. *Advanced biomedical research*, ٧.
- **Moustafa**, D. A., Wu, A. W., Zamora, D., Daly, S. M., Sturge, C. R., Pybus, C., ... & Greenberg, D. E. (٢٠٢١). Peptide-conjugated phosphorodiamidate morpholino oligomers retain activity against multidrug-resistant *Pseudomonas aeruginosa* in vitro and in vivo. *MBio*, ١٢(١), e٠٢٤١١-٢٠.
- **Muluye**, D., Wondimeneh, Y., Moges, F., Nega, T., & Ferede, G. (٢٠١٤). Types and drug susceptibility patterns of bacterial isolates from eye discharge samples at Gondar University Hospital, Northwest Ethiopia. *BMC research notes*, ٧, ١-٥.
- **Muntz**, A., Sandford, E., Claassen, M., Curd, L., Jackson, A. K., Watters, G., ... & Craig, J. P. (٢٠٢١). Randomized trial of topical periocular castor oil treatment for blepharitis. *The Ocular Surface*, ١٩, ١٤٥-١٥٠.

- **Murugan**, K., Usha, M., Malathi, P., Al-Sohaibani, A. S., & Chandrasekaran, M. (٢٠١٠). Biofilm forming multi drug resistant *Staphylococcus spp.* among patients with conjunctivitis. *Polish Journal of Microbiology*, ٥٩(٤), ٢٣٣.
- **Naik**, M. N., Vasanthapuram, V. H., Joseph, J., & Murthy, S. I. (٢٠١٩). Microbial keratitis in thyroid eye disease: clinical features, microbiological profile, and treatment outcome. *Ophthalmic Plastic & Reconstructive Surgery*, ٣٢(٦), ٥٤٣-٥٤٨.
- **Naik**, P., Pandey, S., Gagan, S., Biswas, S., & Joseph, J. (٢٠٢١). Virulence factors in multidrug (MDR) and Pan-drug resistant (XDR) *Pseudomonas aeruginosa*: a cross-sectional study of isolates recovered from ocular infections in a high-incidence setting in southern India. *Journal of Ophthalmic Inflammation and Infection*, ١١(١), ١-١١.
- **Naji** Hasan, R., & Abdal Kareem Jasim, S. (٢٠٢١). Detection of Panton-Valentine leukocidin and *MecA* Genes in *Staphylococcus aureus* isolated from Iraqi Patients. *Archives of Razi Institute*, ٧٧(٤), ١٠٥٤-١٠٥٩.
- **Nam**, E. H., Chung, T. H., Kim, J. H., Park, S. H., Kim, H. E., Youn, H. Y., ... & Hwang, C. Y. (٢٠١١). Profile of the *Staphylococcal* Exotoxin Gene and its Relation with Canine Atopic Dermatitis. *Journal of Veterinary Clinics*, ٢٨(٢), ١٩٦-٢٠٣.
- **Nasirmoghadas**, P., Yadegari, S., Moghim, S., Esfahani, B. N., Fazeli, H., Pourina, F., ... & Safaei, H. G. (٢٠١٨). Evaluation of biofilm formation and frequency of multidrug-resistant and extended drug-resistant strain in *Pseudomonas aeruginosa* isolated from burn patients in Isfahan. *Advanced Biomedical Research*, ٧.
- **Nattis**, A., Perry, H. D., Rosenberg, E. D., & Donnenfeld, E. D. (٢٠١٩). Influence of bacterial burden on meibomian gland

- dysfunction and ocular surface disease. *Clinical Ophthalmology*, ١٢٢٥-١٢٣٤.
- **Nayak**, N., Satpathy, G., Nag, H. L., Venkatesh, P., Ramakrishnan, S., Nag, T. C., & Prasad, S. (٢٠١١). Slime production is essential for the adherence of *Staphylococcus epidermidis* in implant-related infections. *Journal of Hospital Infection*, ٧٦(٢), ١٥٣-١٥٦.
 - **Nazari-Alam**, A., Badie, F., Shaeri, M., Moniri, R., Akbari, H., & Mansoori, M. (٢٠٢١). The Bacterial Profile and Microbial Susceptibility of Acute and Chronic Dacryocystitis in Matini Hospital, Kashan, Iran. *Jundishapur Journal of Microbiology*, ١٤(٥).
 - **Nemati**, M., Hermans, K., Devriese, L. A., Maes, D., & Haesebrouck, F. (٢٠٠٩). Screening of genes encoding adhesion factors and biofilm formation in *Staphylococcus aureus* isolates from poultry. *Avian Pathology*, ٣٨(٦), ٥١٣-٥١٧.
 - **Niederstebruch**, N., Sixt, D., Benda, B. I., & Banboye, N. (٢٠١٧). A suitable blood agar containing human blood especially for the use in laboratories of developing countries. *The Journal of Infection in Developing Countries*, ١١(٠٥), ٣٩٩-٤٠٧.
 - **Norddine**, H., Ghita, B., Younes, Z., Abdallah, N., Nourichafi, N., Mifdal, H., ... & Mounia, O. (٢٠١٠). Analyses of the effect of para-phenylenediamine Takaout roumia on the osmotic stability of human erythrocytes. *Journal of Toxicology and Environmental Health Sciences*, ٢(٧), ١٠١-١٠٧.
 - **O'Callaghan**, R. J. (٢٠١٨). The pathogenesis of *Staphylococcus aureus* eye infections. *Pathogens*, ٧(١), ٩.
 - **O'Callaghan**, R. J., Callegan, M. C., Moreau, J. M., Green, L. C., Foster, T. J., Hartford, O. M., ... & Hill, J. M. (١٩٩٧). Specific roles of alpha-toxin and beta-toxin during *Staphylococcus aureus* corneal infection. *Infection and immunity*, ٧٥(٥), ١٥٧١-١٥٧٨.

References

- **Odumosu**, B. T., Adeniyi, B. A., & Chandra, R. (٢٠١٣). Analysis of integrons and associated gene cassettes in clinical isolates of multidrug resistant *Pseudomonas aeruginosa* from Southwest Nigeria. *Annals of clinical microbiology and antimicrobials*, ١٢(١), ١-٧.
- **Ondusko**, D. S., & Nolt, D. (٢٠١٨). *Staphylococcus aureus*. *Pediatrics in review*, ٣٩(٦), ٢٨٧-٢٩٨.
- **Osei** Duah Junior, I., Tchiakpe, M. P., Borquaye, L. S., Amoah, K., Amankwah, F. K. D., Kumah, D. B., ... & Akuffo, K. O. (٢٠٢٢). Clinical characteristics of external bacterial ocular and periocular infections and their antimicrobial treatment patterns among a Ghanaian ophthalmic population. *Scientific Reports*, ١٢(١), ١٠٢٦٤.
- **Otto**, M. (٢٠١٩). *Staphylococcus epidermidis—the'accidental'pathogen*. *Nature reviews microbiology*, ١٨(٨), ٥٥٥-٥٦٧.
- **Otto**, M. (٢٠١٢, March). Molecular basis of *Staphylococcus epidermidis* infections. In *Seminars in immunopathology* (Vol. ٣٤, No. ٢, pp. ٢٠١-٢١٤). Springer-Verlag.
- **Otto**, M. (٢٠١٤). *Staphylococcus aureus* toxins. *Current opinion in microbiology*, ١٧, ٣٢-٣٧.
- **Ozkan**, J., Willcox, M., & Coroneo, M. (٢٠٢٢). A comparative analysis of the cephalic microbiome: The ocular, aural, nasal/nasopharyngeal, oral and facial dermal niches. *Experimental Eye Research*, ٢٢٠, ١٠٩١٣٠.
- **Ozkan**, J., Willcox, M., Wemheuer, B., Wilcsek, G., Coroneo, M., & Thomas, T. (٢٠١٩). Biogeography of the human ocular microbiota. *The ocular surface*, ١١(١), ١١١-١١٨.

- **Paczosa**, M. K., & Mecsas, J. (٢٠١٦). Klebsiella pneumoniae: going on the offense with a strong defense. *Microbiology and Molecular Biology Reviews*, ٨٠(٣), ٦٢٩-٦٦١.
- **Palomar**, A. P. D., Montolío, A., Cegoñino, J., Dhanda, S. K., Lio, C. T., & Bose, T. (٢٠١٩). The innate immune cell profile of the cornea predicts the onset of ocular surface inflammatory disorders. *Journal of clinical medicine*, ٨(١٢), ٢١١٠.
- **Pandita**, A., & Merriman, M. (٢٠١٢). Ocular trauma epidemiology: ١٠-year retrospective study. *The New Zealand Medical Journal (Online)*, ١٢٥(١٣٤٨).
- **Peng**, M. Y., Cevallos, V., McLeod, S. D., Lietman, T. M., & Rose-Nussbaumer, J. (٢٠١٨). Bacterial keratitis: isolated organisms and antibiotic resistance patterns in San Francisco. *Cornea*, ٣٧(١), ٨٤.
- **Peragallo**, J., Biousse, V., & Newman, N. J. (٢٠١٣). Ocular manifestations of drug and alcohol abuse. *Current opinion in ophthalmology*, ٢٤(٦), ٥٦٦.
- **Peral**, A., Alonso, J., García-García, C., Niño-Rueda, C., & Del Bosque, P. C. (٢٠١٦). Importance of lid hygiene before ocular surgery: qualitative and quantitative analysis of eyelid and conjunctiva microbiota. *Eye & Contact Lens*, ٤٢(٦), ٣٦٦.
- **Perez**, V. L., Saeed, A. M., Tan, Y., Urbieta, M., & Cruz-Guilloty, F. (٢٠١٣). The eye: a window to the soul of the immune system. *Journal of autoimmunity*, ٤٥, ٧-١٤.
- **Peterson**, J. C., Durkee, H., Miller, D., Maestre-Mesa, J., Arboleda, A., Aguilar, M. C., ... & Alfonso, E. (٢٠١٩). Molecular epidemiology and resistance profiles among healthcare-and community-associated *Staphylococcus aureus* keratitis isolates. *Infection and drug resistance*, ٨٣١-٨٤٣.

- **Petrillo**, F., Folliero, V., Santella, B., Franci, G., Foglia, F., Trotta, M. C., ... & Galdiero, M. (٢٠٢٠). Prevalence and antibiotic resistance patterns of ocular bacterial strains isolated from pediatric patients in University Hospital Of Campania “Luigi Vanvitelli,” Naples, Italy. *International Journal of Microbiology*, ٢٠٢٠, ١-٧.
- **Petrillo**, F., Pignataro, D., Di Lella, F. M., Reibaldi, M., Fallico, M., Castellino, N., ... & Boccia, G. (٢٠٢١). Antimicrobial susceptibility patterns and resistance trends of staphylococcus aureus and coagulase-negative staphylococci strains isolated from ocular infections. *Antibiotics*, ١٠(٥), ٥٢٧.
- **Petrillo**, F., Pignataro, D., Lavano, M. A., Santella, B., Folliero, V., Zannella, C., ... & Galdiero, M. (٢٠٢٠). Current evidence on the ocular surface microbiota and related diseases. *Microorganisms*, ٨(٧), ١٠٣٣.
- **Pfeifer**, Y., Cullik, A., & Witte, W. (٢٠١٠). Resistance to cephalosporins and carbapenems in Gram-negative bacterial pathogens. *International journal of medical microbiology*, ٣٠٠(٦), ٣٧١-٣٧٩.
- **Pflugfelder**, S. C., Karpecki, P. M., & Perez, V. L. (٢٠١٤). Treatment of blepharitis: recent clinical trials. *The ocular surface*, ١٢(٤), ٢٧٣-٢٨٤.
- **Pickering**, H., Palmer, C. D., Houghton, J., Makalo, P., Joof, H., Derrick, T., ... & Holland, M. J. (٢٠١٩). Conjunctival microbiome-host responses are associated with impaired epithelial cell health in both early and late stages of trachoma. *Frontiers in cellular and infection microbiology*, ٩, ٢٩٧.
- **Pillar**, C. M., & Hobden, J. A. (٢٠٠٢). *Pseudomonas aeruginosa* exotoxin A and keratitis in mice. *Investigative ophthalmology & visual science*, ٤٣(٥), ١٤٣٧-١٤٤٤.

References

- **Pincus, D. H.** (٢٠٠٧). Microbial identification using the bioMérieux Vitek® system. *Encyclopedia of Rapid Microbiological Methods*. Bethesda, MD: Parenteral Drug Association, ١-٣٢.
- **Poirel, L.**, Madec, J. Y., Lupo, A., Schink, A. K., Kieffer, N., Nordmann, P., & Schwarz, S. (٢٠١٨). Antimicrobial resistance in *Escherichia coli*. *Microbiology Spectrum*, ٧(٤), ٦-٤.
- **Pontes, M. H.**, & Groisman, E. A. (٢٠٢٠). A physiological basis for nonheritable antibiotic resistance. *MBio*, ١١(٣), e٠٠٨١٧-٢٠.
- **Potron, A.**, Poirel, L., & Nordmann, P. (٢٠١٥). Emerging broad-spectrum resistance in *Pseudomonas aeruginosa* and *Acinetobacter baumannii*: mechanisms and epidemiology. *International journal of antimicrobial agents*, ٤٩(٦), ٥٦٨-٥٨٥.
- **Procop, G. W.**, Church, D. L., Hall, G. S., & Janda, W. M. (٢٠٢٠). *Koneman's color atlas and textbook of diagnostic microbiology*. Jones & Bartlett Learning.
- **Putnam, C. M.** (٢٠١٦). Diagnosis and management of blepharitis: an optometrist's perspective. *Clinical Optometry*, ٤, ٧١.
- **Putra, A. R.**, Effendi, M. H., Koesdarto, S., Suwarno, S., Tyasningsih, W., & Estoepangestie, A. T. (٢٠٢٠). Detection of the extended spectrum β-lactamase produced by *Escherichia coli* from dairy cows by using the Vitek-٢ method in Tulungagung regency, Indonesia. *Iraqi Journal of Veterinary Sciences*, ٣٤(١), ٢٠٣-٢٠٧.
- **Rae, N.**, Kenny, C., & Muldoon, E. G. (٢٠١٩). Can intravenous antifungal therapy be safely used in the outpatient parenteral antimicrobial therapy (OPAT) setting?. *Mycoses*, ٦٢(٣), ١٩٦-٢٠٣.
- **Rahama, H. A.**, Ali, Q. A. N., & Mustafa, A. A. (٢٠١٧). Molecular Study of Most Common Pathogenic Bacteria Isolated From Conjunctivitis Patients In Baghdad. *Al-Kufa University Journal for Biology*, ٩(٣).

- **Raksha**, L., Gangashettappa, N., Shantala, G. B., Nandan, B. R., & Sinha, D. (٢٠٢٠). Study of biofilm formation in bacterial isolates from contact lens wearers. *Indian Journal of Ophthalmology*, ٧٨(١), ٢٣.
- **Ranjith**, K., Arunasri, K., Reddy, G. S., Adicherla, H., Sharma, S., & Shivaji, S. (٢٠١٧). Global gene expression in Escherichia coli, isolated from the diseased ocular surface of the human eye with a potential to form biofilm. *Gut Pathogens*, ٩(١), ١-١٥.
- **Ranjith**, K., Ramchiary, J., Prakash, J. S., Arunasri, K., Sharma, S., & Shivaji, S. (٢٠١٩). Gene targets in ocular pathogenic Escherichia coli for mitigation of biofilm formation to overcome antibiotic resistance. *Frontiers in microbiology*, ١٠, ١٣٠٨.
- **Ratajczak**, M., Kaminska, D., Dlugaszewska, J., & Gajecka, M. (٢٠٢١). Antibiotic resistance, biofilm formation, and presence of genes encoding virulence factors in strains isolated from the pharmaceutical production environment. *Pathogens*, ١٠(٢), ١٣٠.
- **Redfern**, R. L., & McDermott, A. M. (٢٠١٠). Toll-like receptors in ocular surface disease. *Experimental eye research*, ٩٠(٦), ٦٧٩-٦٨٧.
- **Rehman**, A., Patrick, W. M., & Lamont, I. L. (٢٠١٩). Mechanisms of ciprofloxacin resistance in *Pseudomonas aeruginosa*: new approaches to an old problem. *Journal of Medical Microbiology*, ٧٨(١), ١-١٤.
- **Reiner**, K. (٢٠١٠). Catalase test protocol. *American society for microbiology*, ١-٧.
- **Ruiz-Roldán**, L., Rojo-Bezares, B., de Toro, M., López, M., Toledano, P., Lozano, C., ... & Sáenz, Y. (٢٠٢٠). Antimicrobial resistance and virulence of *Pseudomonas* spp. among healthy animals: Concern about exolysin ExlA detection. *Scientific reports*, ١٠(١), ١-١١.

References

- **Remington, L. A., & Goodwin, D.** (٢٠٢١). Clinical Anatomy and Physiology
- **Rodulfo, H., Arcia, A., Hernández, A., Michelli, E., Martinez, D. D. V., Guzman, M., ... & Donato, M. D.** (٢٠١٩). Virulence factors and integrons are associated with MDR and XDR phenotypes in nosocomial strains of *Pseudomonas aeruginosa* in a Venezuelan university hospital. *Revista do Instituto de Medicina Tropical de São Paulo*, ٧١.
- **Rohde, M.** (٢٠١٩). The Gram-positive bacterial cell wall. *Microbiology Spectrum*, ٨(٣), ٧-٧.
- **Rose, W. E., & Rybak, M. J.** (٢٠٠٧). Tigecycline: first of a new class of antimicrobial agents. *Pharmacotherapy: The Journal of Human Pharmacology and Drug Therapy*, ٢٧(٨), ١٠٩٩-١١١٠.
- **Roy, P., Ahmed, N. H., & Grover, R. K.** (٢٠١٤). Non-pigmented strain of *Serratia marcescens*: an unusual pathogen causing pulmonary infection in a patient with malignancy. *Journal of Clinical and Diagnostic Research: JCDR*, ٨(٧), DD-٥.
- **Royer, D. J., Montgomery, M. L., & Carr, D. J.** (٢٠٢٠). Mucosal Regulatory System for Balanced Ocular Immunity. *Mucosal Vaccines*, ٢٩٩-٣١٢.
- **Sabouni, F., Mahmoudi, S., Bahador, A., Pourakbari, B., Sadeghi, R. H., Ashtiani, M. T. H., ... & Mamishi, S.** (٢٠١٤). Virulence factors of *Staphylococcus aureus* isolates in an Iranian referral children's hospital. *Osong public health and research perspectives*, ٩(٢), ٩٦-١٠٤.
- **Safain, K. S.** (٢٠٢٠). *Detection of antibiotic resistance spectrum and resistance genes for aminoglycoside, macrolide, and β-lactam antibiotics using wound swab samples* (Doctoral dissertation, Brac University).

References

- **Satpathy**, G., Behera, H. S., & Ahmed, N. H. (٢٠١٧). Chlamydial eye infections: Current perspectives. *Indian Journal of Ophthalmology*, ٦٥(٢), ٩٧.
- **Schilcher, K., & Horswill, A. R.** (٢٠٢٠). Staphylococcal biofilm development: structure, regulation, and treatment strategies. *Microbiology and Molecular Biology Reviews*, ٨٤(٣), e٠٠٠٢٦-١٩.
- **Shanks, R. M., Stella, N. A., Hunt, K. M., Brothers, K. M., Zhang, L., & Thibodeau, P. H.** (٢٠١٥). Identification of SlpB, a cytotoxic protease from *Serratia marcescens*. *Infection and immunity*, ٨٣(٧), ٢٩٠٧-٢٩١٧.
- **Sharma, S. K., Mudgal, N. K., Sharma, P., & Shrangi, B. N.** (٢٠١٥). Comparison of phenotypic characteristics and virulence traits of *Klebsiella pneumoniae* obtained from pneumonic and healthy camels (*Camelus dromedarius*). *Adv. Anim. Vet. Sci.*, ٣(٢), ١١٦-١٢٢.
- **Shields, P., & Cathcart, L.** (٢٠١٠). Oxidase test protocol. *American Society for Microbiology*, ١-٩.
- **Shin, H., Price, K., Albert, L., Dodick, J., Park, L., & Dominguez-Bello, M. G.** (٢٠١٦). Changes in the eye microbiota associated with contact lens wearing. *MBio*, ٧(٢), e٠٠١٩٨-١٦.
- **Singh, R. B., Liu, L., Anchouche, S., Yung, A., Mittal, S. K., Blanco, T., ... & Dana, R.** (٢٠٢١). Ocular redness-I: Etiology, pathogenesis, and assessment of conjunctival hyperemia. *The Ocular Surface*, ٢١, ١٣٤-١٤٤.
- **Sivaraman, G. K., Muneeb, K. H., Sudha, S., Shome, B., Cole, J., & Holmes, M.** (٢٠٢١). Prevalence of virulent and biofilm forming ST^{٨٨}-IV-t^{٢٥٢٦} methicillin-resistant *Staphylococcus aureus* clones circulating in local retail fish markets in Assam, India. *Food Control*, ١٢١, ١٠٨-١٨.

References

- **Sklavounos**, A. A., Nemr, C. R., Kelley, S. O., & Wheeler, A. R. (٢٠٢١). Bacterial classification and antibiotic susceptibility testing on an integrated microfluidic platform. *Lab on a Chip*, ٢١(٢١), ٤٢٠٨-٤٢٢.
- **Snyder, I. S., & Koch, N. A.** (١٩٦٦). Production and characteristics of hemolysins of Escherichia coli. *Journal of Bacteriology*, ٩١(٢), ٧٦٣-٧٦٧.
- **Solano, D.**, Fu, L., & Czyz, C. N. (٢٠١٧). Viral conjunctivitis.
- **Sprague, A. H., & Khalil, R. A.** (٢٠٠٩). Inflammatory cytokines in vascular dysfunction and vascular disease. *Biochemical pharmacology*, ٧٨(٦), ٥٣٩-٥٥٢.
- **Srimongkol, G.**, Ditmangklo, B., Choopara, I., Thaniyavarn, J., Dean, D., Kokpol, S., ... & Somboonna, N. (٢٠٢٠). Rapid colorimetric loop-mediated isothermal amplification for hypersensitive point-of-care *Staphylococcus aureus* enterotoxin A gene detection in milk and pork products. *Scientific reports*, ١٠(١), ١-١١.
- **Stein, G. E., & Babinchak, T.** (٢٠١٣). Tigecycline: an update. *Diagnostic microbiology and infectious disease*, ١٩(٤), ٣٣١-٣٣٦.
- **Steward, C. D.**, Raney, P. M., Morrell, A. K., Williams, P. P., McDougal, L. K., Jevitt, L., ... & Tenover, F. C. (٢٠٠٥). Testing for induction of clindamycin resistance in erythromycin-resistant isolates of *Staphylococcus aureus*. *Journal of clinical microbiology*, ٤٣(٤), ١٧١٦-١٧٢١.
- **Sthapit, P. R., & Tuladhar, N. R.** (٢٠١٤). Conjunctival flora of normal human eye. *JSM Ophthalmol*, ٢(٢), ١٠٢١.

References

- **Streeter, K., & Katouli, M.** (٢٠١٦). *Pseudomonas aeruginosa: a review of their pathogenesis and prevalence in clinical settings and the environment.*
- **Streilein, J. W., & Stein-Streilein, J.** (٢٠٠٠). Does innate immune privilege exist? *Journal of leukocyte biology*, ٧٦(٤), ٤٧٩-٤٨٧.
- **Subedi, D., Vijay, A. K., & Willcox, M.** (٢٠١٨). Overview of mechanisms of antibiotic resistance in *Pseudomonas aeruginosa*: an ocular perspective. *Clinical and Experimental Optometry*, ١٠١(٢), ١٦٢-١٧١.
- **Subedi, D., Vijay, A. K., & Willcox, M.** (٢٠١٨). Study of disinfectant resistance genes in ocular isolates of *Pseudomonas aeruginosa*. *Antibiotics*, ٧(٤), ٨٨.
- **Sun, X., Lin, Z. W., Hu, X. X., Yao, W. M., Bai, B., Wang, H. Y., ... & Zheng, J. X.** (٢٠١٨). Biofilm formation in erythromycin-resistant *Staphylococcus aureus* and the relationship with antimicrobial susceptibility and molecular characteristics. *Microbial pathogenesis*, ١٢٤, ٤٧-٥٣.
- **Suwansaksri, J., Nithiuthai, S., Wiwanitkit, V., Soogarun, S., & Palatho, P.** (٢٠٠٣). The formol-ether concentration technique for intestinal parasites: comparing ٠.١ N sodium hydroxide with normal saline preparations. *Southeast Asian journal of tropical medicine and public health*, ٣٣, ٩٧-٩٨.
- **Szemraj, M., Grazul, M., Balcerzak, E., & Szewczyk, E. M.** (٢٠٢٠). Staphylococcal species less frequently isolated from human clinical specimens-are they a threat for hospital patients?. *BMC Infectious Diseases*, ٢٠(١), ١-١٠.
- **Tang, S. S., Apisarnthanarak, A., & Hsu, L. Y.** (٢٠١٤). Mechanisms of β -lactam antimicrobial resistance and epidemiology of major

References

- community-and healthcare-associated multidrug-resistant bacteria. *Advanced drug delivery reviews*, ۷۸, ۳-۱۳.
- **Tanom**, A., Farajnia, S., Peerayeh, S. N., & Majidi, J. (۲۰۱۳). Cloning, expression and characterization of recombinant exotoxin A-flagellin fusion protein as a new vaccine candidate against *Pseudomonas aeruginosa* infections. *Iranian biomedical journal*, ۱۷(۱), ۱.
 - **Tarabishy**, A. B., & Jeng, B. H. (۲۰۱۸). Bacterial conjunctivitis: a review for internists. *Cleveland Clinic journal of medicine*, ۸۵(۷), ۵۰۷.
 - **Taylor**, T. A., & Unakal, C. G. (۲۰۲۲). *Staphylococcus aureus*. In *StatPearls [Internet]*. StatPearls Publishing.
 - **Tesfaye**, T., Beyene, G., Gelaw, Y., Bekele, S., & Saravanan, M. (۲۰۱۳). Bacterial profile and antimicrobial susceptibility pattern of external ocular infections in Jimma University specialized hospital, Southwest Ethiopia. *American Journal of Infectious Diseases and Microbiology*, ۱(۱), ۱۳-۲۰.
 - **Tewelde medhin**, M., Gebreyesus, H., Atsbaha, A. H., Asgedom, S. W., & Saravanan, M. (۲۰۱۷). Bacterial profile of ocular infections: a systematic review. *BMC ophthalmology*, ۱۷(۱), ۱-۹.
 - **Thibodeaux**, B. A., Caballero, A. R., Marquart, M. E., Tommassen, J., & O'Callaghan, R. J. (۲۰۰۷). Corneal virulence of *Pseudomonas aeruginosa* elastase B and alkaline protease produced by *Pseudomonas putida*. *Current eye research*, ۳۲(۴), ۳۷۳-۳۸۶
 - **Tille**, P. (۲۰۱۰). *Bailey & Scott's diagnostic microbiology-E-Book*. Elsevier Health Sciences.
 - **Ting**, D. S. J., Ho, C. S., Deshmukh, R., Said, D. G., & Dua, H. S. (۲۰۲۱). Infectious keratitis: an update on epidemiology, causative

- microorganisms, risk factors, and antimicrobial resistance. *Eye*, 29(4), 1084-1101.
- **Truan, D., Vasil, A., Stonehouse, M., Vasil, M. L., & Pohl, E.** (2013). High-level over-expression, purification, and crystallization of a novel phospholipase C/sphingomyelinase from *Pseudomonas aeruginosa*. *Protein expression and purification*, 90(1), 40-47.
 - **Tuft, S., Somerville, T. F., Li, J. P. O., Neal, T., De, S., Horsburgh, M. J., ... & Kaye, S.** (2022). Bacterial keratitis: identifying the areas of clinical uncertainty. *Progress in Retinal and Eye Research*, 11, 101031.
 - **Tula, M. Y., Filgona, J., Kyauta, S. E., & Elisha, R.** (2023). Screening for some virulent factors among bacterial isolates from surfaces of hospital fomites and hands of healthcare workers. *Cellular, Molecular and Biomedical Reports*, 17(1), 9-16.
 - **Uehara, Y.** (2022). Current Status of Staphylococcal Cassette Chromosome mec (SCCmec). *Antibiotics*, 11(1), 86.
 - **Vandenesch, F., Lina, G., & Henry, T.** (2012). *Staphylococcus aureus* hemolysins, bi-component leukocidins, and cytolytic peptides: a redundant arsenal of membrane-damaging virulence factors? *Frontiers in cellular and infection microbiology*, 2, 12.
 - **Vasil, M. L., Stonehouse, M. J., Vasil, A. I., Wadsworth, S. J., Goldfine, H., Bolcome III, R. E., & Chan, J.** (2009). A complex extracellular sphingomyelinase of *Pseudomonas aeruginosa* inhibits angiogenesis by selective cytotoxicity to endothelial cells. *PLoS pathogens*, 5(5), e1000420.
 - **Vola, M. E., Moriyama, A. S., Lisboa, R., Vola, M. M., Hirai, F. E., Bispo, P. J. M., & Höfling-Lima, A. L.** (2013). Prevalence and antibiotic susceptibility of methicillin-resistant *Staphylococcus*

References

- aureus in ocular infections. *Arquivos brasileiros de oftalmologia*, 77, 350-353.
- **Vuong, C., & Otto, M.** (2002). Staphylococcus epidermidis infections. *Microbes and infection*, 4(4), 481-489.
 - **Vuotto, C., Longo, F., Pascolini, C., Donelli, G., Balice, M. P., Libori, M. F., ... & Varaldo, P. E.** (2017). Biofilm formation and antibiotic resistance in Klebsiella pneumoniae urinary strains. *Journal of applied microbiology*, 123(4), 1003-1018.
 - **Wang, B., Yang, S., Zhai, H. L., Zhang, Y. Y., Cui, C. X., Wang, J. Y., & Xie, L. X.** (2018). A comparative study of risk factors for corneal infection in diabetic and non-diabetic patients. *International journal of ophthalmology*, 11(1), 43.
 - **Wang, G., Zhao, G., Chao, X., Xie, L., & Wang, H.** (2020). The characteristic of virulence, biofilm and antibiotic resistance of Klebsiella pneumoniae. *International Journal of Environmental Research and Public Health*, 17(17), 7278.
 - **Watson, S., Cabrera-Aguas, M., & Khoo, P.** (2018). Common eye infections. *Australian prescriber*, 41(3), 77.

 - **Wang, H., Zhuang, H., Ji, S., Sun, L., Zhao, F., Wu, D., ... & Chen, Y.** (2021). Distribution of erm genes among MRSA isolates with resistance to clindamycin in a Chinese teaching hospital. *Infection, Genetics and Evolution*, 97, 100127.
 - **Wen, X., Miao, L., Deng, Y., Bible, P. W., Hu, X., Zou, Y., ... & Wei, L.** (2017). The influence of age and sex on ocular surface microbiota in healthy adults. *Investigative ophthalmology & visual science*, 58(14), 6030-6037.
 - **Wilton, M., Charron-Mazenod, L., Moore, R., & Lewenza, S.** (2016). Extracellular DNA acidifies biofilms and induces

- aminoglycoside resistance in *Pseudomonas aeruginosa*. *Antimicrobial agents and chemotherapy*, 70(1), 544-553.
- **Wood, M. J., & Leesbug, F. L.** (2010). Laboratory Manual for General Microbiology.
 - **Xu, S., Guo, D., Liu, X., Jin, X., Shi, Y., Wang, Y., ... & Zhang, H.** (2021). Ocular pathogens and antibiotic resistance in microbial keratitis over three years in Harbin, Northeast China. *Acta Ophthalmologica*, 99(8), 909-910.
 - **Yamaguchi, T., Hirakawa, R., & Ochiai, H.** (2023). Correlation between sphingomyelin and the membrane stability of mammalian erythrocytes. *Comparative Biochemistry and Physiology Part B: Biochemistry and Molecular Biology*, 270, 110-833.
 - **Yazici, B., Orucov, N., & Ibrahimzade, G.** (2017). Neonatal orbital abscess secondary to *Pseudomonas Aeruginosa* conjunctivitis. *Ophthalmic Plastic and Reconstructive Surgery*, 33(3), e74-e76.
 - **Yeu, E., & Hauswirth, S.** (2020). A review of the differential diagnosis of acute infectious conjunctivitis: implications for treatment and management. *Clinical Ophthalmology*, 80-813.
 - **Yeung, J., Gadjeva, M., & Geddes-McAlister, J.** (2020). Label-Free Quantitative Proteomics Distinguishes General and Site-Specific Host Responses to *Pseudomonas aeruginosa* Infection at the Ocular Surface. *Proteomics*, 20(2), 1900-290.
 - **Ying, N. Y., Idris, N. S., Muhamad, R., & Ahmad, I.** (2021). Coronavirus disease 2019 presenting as conjunctivitis. *Korean journal of family medicine*, 42(6), 487.
 - **Yousefi-Avarvand, A., Khashei, R., Ebrahim-Saraie, H. S., Emami, A., Zomorodian, K., & Motamedifar, M.** (2010). The frequency of

References

- exotoxin A and exoenzymes S and U genes among clinical isolates of *Pseudomonas aeruginosa* in Shiraz, Iran. *International journal of molecular and cellular medicine*, 5(3), 167..
- **Yu, H., He, X., Xie, W., Xiong, J., Sheng, H., Guo, S., ... & Zhang, K.** (2014). Elastase LasB of *Pseudomonas aeruginosa* promotes biofilm formation partly through rhamnolipid-mediated regulation. *Canadian journal of microbiology*, 70(4), 227-230.
 - **Zahedi Bialvaei, A., Rahbar, M., Yousefi, M., Asgharzadeh, M., & Samadi Kafil, H.** (2017). Linezolid: a promising option in the treatment of Gram-positives. *Journal of Antimicrobial Chemotherapy*, 71(2), 304-314.
 - **Zecconi, A., & Scali, F.** (2013). *Staphylococcus aureus* virulence factors in evasion from innate immune defenses in human and animal diseases. *Immunology letters*, 150(1-2), 12-22.
 - **Zhang, H., Zheng, Y., Gao, H., Xu, P., Wang, M., Li, A., ... & Du, H.** (2016). Identification and characterization of *Staphylococcus aureus* strains with an incomplete hemolytic phenotype. *Frontiers in cellular and infection microbiology*, 7, 147.
 - **Zheng, J., Shang, Y., Wu, Y., Wu, J., Chen, J., Wang, Z., ... & Yu, Z.** (2021). Diclazuril inhibits biofilm formation and hemolysis of *Staphylococcus aureus*. *ACS Infectious Diseases*, 7(6), 1690-1701.
 - **Zhgun, A., Avdanina, D., Shumikhin, K., Simonenko, N., Lyubavskaya, E., Volkov, I., & Ivanov, V.** (2020). Detection of potential biodeterioration risks for tempera painting in 17th century exhibits from State Tretyakov Gallery. *PLoS One*, 19(4), e0230091.
 - **Zhong, W. X., Sun, S. Y., Zhao, J., Shi, W. Y., & Xie, L. X.** (2007). Retrospective study of suppurative keratitis in 1004 patients. [Zhonghua yan ke za zhi] Chinese journal of ophthalmology, 45(3), 240-250..

References

- Zhou, Y., Wang, X., Shen, J., Lu, Z., & Liu, Y. (٢٠١٨). Endogenous Endophthalmitis caused by Carbapenem-resistant Hypervirulent Klebsiella Pneumoniae: a case report and literature review. *Ocular Immunology and Inflammation*.
- Zhu, Q., Yang, B., Deng, N., Li, Y., Wang, T., Qi, H., & Liu, L. (٢٠١٨). The use of contact lenses among university students in Chengdu: Knowledge and practice of contact lens wearers. *Contact Lens and Anterior Eye*, ٤١(٢), ٢٢٩-٢٣٣.
- Zilliox, M. J., Gange, W. S., Kuffel, G., Mores, C. R., Joyce, C., de Bustros, P., & Bouchard, C. S. (٢٠٢٠). Assessing the ocular surface microbiome in severe ocular surface diseases. *The ocular surface*, ١٨(٤), ٧٠٦-٧١٢.
- Zuberi, S. N., & Nadeem, S. G. (٢٠١٧). Detection of biofilm forming ability of bacterial isolates from contact lenses and their accessories. *J Bacteriol. Parasitol*, ٨(٥), ٣٢١.
- Zurita, J., Mejía, C., & Guzmán-Blanco, M. (٢٠١٠). Diagnosis and susceptibility testing of methicillin-resistant *Staphylococcus aureus* in Latin America. *Brazilian Journal of Infectious Diseases*, ١٤, ٩٧-١٠٧.

الملحق

Appendices

استماره رقم (١):

استماره معلومات المرضى

اسم المريض:

الجنس:

العمر:

مكان السكن: المدينة: الريف:

هل المرض مدخن:

هل يعاني المرض من السكر:

هل يعاني المريض من إصابات الجهاز التنفسي:

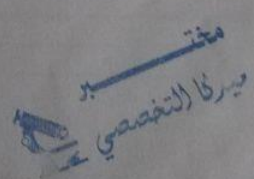
هل يعاني المريض من الضغط:

أسباب الإصابة الأخرى في العين:

هل توجد امراض أخرى في العين:

هل استخدم مضادات حيوية:

ملحق رقم (٢)

bioMérieux Customer: Patient Name: enas, 2 Location: Lab ID: 1346	مختبر ميديا التخصصي Microbiology Chart Report	Printed September 2, 2022 3:35:46 AM CDT Patient ID: 1346 Physician: Isolate Number: 1																																																																																																																																																																	
Organism Quantity: Selected Organism : Staphylococcus aureus																																																																																																																																																																			
Source: eye swab		Collected:																																																																																																																																																																	
<table border="1" style="width: 100%; border-collapse: collapse;"> <tr> <td style="width: 15%;">Comments:</td> <td colspan="3"></td> </tr> </table>			Comments:																																																																																																																																																																
Comments:																																																																																																																																																																			
<table border="1" style="width: 100%; border-collapse: collapse;"> <tr> <th colspan="2">Identification Information</th> <th>Analysis Time:</th> <th>4.83 hours</th> <th>Status:</th> <th>Final</th> </tr> <tr> <td colspan="2">Selected Organism</td> <td colspan="4">99% Probability Staphylococcus aureus</td> </tr> <tr> <td colspan="2">ID Analysis Messages</td> <td colspan="4">Bionumber: 050402023663231</td> </tr> </table>			Identification Information		Analysis Time:	4.83 hours	Status:	Final	Selected Organism		99% Probability Staphylococcus aureus				ID Analysis Messages		Bionumber: 050402023663231																																																																																																																																																		
Identification Information		Analysis Time:	4.83 hours	Status:	Final																																																																																																																																																														
Selected Organism		99% Probability Staphylococcus aureus																																																																																																																																																																	
ID Analysis Messages		Bionumber: 050402023663231																																																																																																																																																																	
<table border="1" style="width: 100%; border-collapse: collapse;"> <thead> <tr> <th colspan="17">Biochemical Details</th> </tr> </thead> <tbody> <tr> <td>2</td><td>AMY</td><td>-</td><td>4</td><td>PIPLC</td><td>-</td><td>5</td><td>dXYL</td><td>-</td><td>8</td><td>ADH1</td><td>+</td><td>9</td><td>BGAL</td><td>-</td><td>11</td><td>AGLU</td><td>+</td></tr> <tr> <td>13</td><td>APPA</td><td>-</td><td>14</td><td>CDEX</td><td>-</td><td>15</td><td>AspA</td><td>-</td><td>16</td><td>BGAR</td><td>-</td><td>17</td><td>AMAN</td><td>-</td><td>19</td><td>PHOS</td><td>+</td></tr> <tr> <td>20</td><td>LeuA</td><td>(-)</td><td>23</td><td>ProA</td><td>-</td><td>24</td><td>BGURr</td><td>-</td><td>25</td><td>AGAL</td><td>-</td><td>26</td><td>PyrA</td><td>+</td><td>27</td><td>BGUR</td><td>-</td></tr> <tr> <td>28</td><td>AlaA</td><td>-</td><td>29</td><td>TyrA</td><td>-</td><td>30</td><td>dSOR</td><td>-</td><td>31</td><td>URE</td><td>-</td><td>32</td><td>POLYB</td><td>+</td><td>37</td><td>dGAL</td><td>-</td></tr> <tr> <td>38</td><td>dRIB</td><td>+</td><td>39</td><td>ILATk</td><td>+</td><td>42</td><td>LAC</td><td>-</td><td>44</td><td>NAG</td><td>-</td><td>45</td><td>dMAL</td><td>+</td><td>46</td><td>BACI</td><td>+</td></tr> <tr> <td>47</td><td>NOVO</td><td>-</td><td>50</td><td>NC6.5</td><td>+</td><td>52</td><td>dMAN</td><td>+</td><td>53</td><td>dMNE</td><td>+</td><td>54</td><td>MBdG</td><td>+</td><td>56</td><td>PUL</td><td>-</td></tr> <tr> <td>57</td><td>dRAF</td><td>-</td><td>58</td><td>O129R</td><td>+</td><td>59</td><td>SAL</td><td>-</td><td>60</td><td>SAC</td><td>+</td><td>62</td><td>dTRE</td><td>+</td><td>63</td><td>ADH2s</td><td>-</td></tr> <tr> <td>64</td><td>OPTO</td><td>+</td><td></td><td></td><td></td><td></td><td></td><td></td><td></td><td></td><td></td><td></td><td></td><td></td><td></td><td></td><td></td></tr> </tbody> </table>			Biochemical Details																	2	AMY	-	4	PIPLC	-	5	dXYL	-	8	ADH1	+	9	BGAL	-	11	AGLU	+	13	APPA	-	14	CDEX	-	15	AspA	-	16	BGAR	-	17	AMAN	-	19	PHOS	+	20	LeuA	(-)	23	ProA	-	24	BGURr	-	25	AGAL	-	26	PyrA	+	27	BGUR	-	28	AlaA	-	29	TyrA	-	30	dSOR	-	31	URE	-	32	POLYB	+	37	dGAL	-	38	dRIB	+	39	ILATk	+	42	LAC	-	44	NAG	-	45	dMAL	+	46	BACI	+	47	NOVO	-	50	NC6.5	+	52	dMAN	+	53	dMNE	+	54	MBdG	+	56	PUL	-	57	dRAF	-	58	O129R	+	59	SAL	-	60	SAC	+	62	dTRE	+	63	ADH2s	-	64	OPTO	+															
Biochemical Details																																																																																																																																																																			
2	AMY	-	4	PIPLC	-	5	dXYL	-	8	ADH1	+	9	BGAL	-	11	AGLU	+																																																																																																																																																		
13	APPA	-	14	CDEX	-	15	AspA	-	16	BGAR	-	17	AMAN	-	19	PHOS	+																																																																																																																																																		
20	LeuA	(-)	23	ProA	-	24	BGURr	-	25	AGAL	-	26	PyrA	+	27	BGUR	-																																																																																																																																																		
28	AlaA	-	29	TyrA	-	30	dSOR	-	31	URE	-	32	POLYB	+	37	dGAL	-																																																																																																																																																		
38	dRIB	+	39	ILATk	+	42	LAC	-	44	NAG	-	45	dMAL	+	46	BACI	+																																																																																																																																																		
47	NOVO	-	50	NC6.5	+	52	dMAN	+	53	dMNE	+	54	MBdG	+	56	PUL	-																																																																																																																																																		
57	dRAF	-	58	O129R	+	59	SAL	-	60	SAC	+	62	dTRE	+	63	ADH2s	-																																																																																																																																																		
64	OPTO	+																																																																																																																																																																	
																																																																																																																																																																			

ملحق رقم (٣)

NuMérieux Customer:	Microbiology Chart Report										Printed October 27, 2011 at 10:45 AM CT						
Patient Name: 50, 50											Patient ID: 1440						
Location:											Physician:						
Lab ID: 1440											Isolate Number: 1						
Organism Quantity:																	
Selected Organism : Pseudomonas aeruginosa																	
Source: eye swab											Collected:						
Comments:																	
Identification Information			Analysis Time:			6.78 hours			Status:			Final					
Selected Organism			99% Probability			Pseudomonas aeruginosa											
Bionumber:			0043051003500252														
ID Analysis Messages																	
Biochemical Details																	
2	APPA	-	3	ADO	-	4	PyrA	-	5	IARL	-	7	dCEL	-	9	BGAL	-
10	H2S	-	11	BNAG	-	12	AGLTp	+	13	dGLU	+	14	GGT	+	15	OFF	-
17	BGLU	-	18	dMAL	-	19	dMAN	-	20	dMNE	+	21	BXYL	-	22	BAlap	+
23	ProA	+	26	LIP	-	27	PLE	-	29	TyrA	-	31	URE	-	32	dSOR	-
33	SAC	-	34	dTAG	-	35	dTRE	-	36	CIT	+	37	MNT	+	39	SKG	-
40	ILATk	+	41	AGLU	-	42	SUCT	+	43	NAGA	-	44	AGAL	-	45	PHOS	-
46	GlyA	-	47	ODC	-	48	LDC	-	53	IHISa	-	56	CMT	+	57	BGUR	-
58	O129R	+	59	GGAA	-	61	IMLTa	+	62	ELLM	-	64	ILATA	+			

ملحق رقم (٤)

ملحق رقم (٥)

Mérieux Customer: Patient Name: enas, Location: Lab ID: 1344	Microbiology Chart Report			Printed August 31, 2022 5:39:56 AM (EST)	Patient ID: 1366 Physician: Lot/Lot Number: 1
Organism Quantity: Selected Organism : Staphylococcus aureus					
Source: swab				Collected:	
Comments:					
Susceptibility Information	Analysis Time: 8.22 hours			Status: Final	
Antimicrobial	MIC	Interpretation	Antimicrobial	MIC	Interpretation
Cefoxitin Screen	POS	+	+Amikacin		
Benzylpenicillin	>= 0.5	R	Gentamicin	<= 0.5	S
+Amoxicillin		R	+Tobramycin		
Ampicillin			Ciprofloxacin	<= 0.5	S
+Amoxicillin/Clavulanic Acid		R	+Gatifloxacin		S
+Ampicillin/Sulbactam		R	+Levofloxacin		S
+Carbenicillin		R	+Lomefloxacin		
+Ticarcillin/Clavulanic Acid		R	Moxifloxacin	<= 0.25	S
+Piperacillin/Tazobactam		R	+Norfloxacin		S
Oxacillin	>= 4	R	+Ofloxacin		S
+Cefadroxil		R	Inducible Clindamycin Resistance	POS	+
+Cefalexin		R	+Azithromycin		R
+Cefuroxime		R	+Clarithromycin		R
+Cefixime		R	Erythromycin	>= 8	R
+Cefpodoxime		R	+Roxithromycine		R
+Cefoperazone		R	Clindamycin	<= 0.25	*R
+Cefotaxime		R	+Lincomycin		R
+Ceftazidime		R	Linezolid	2	S
+Ceftizoxime		R	Teicoplanin	<= 0.5	S
+Ceftriaxone		R	Vancomycin	<= 0.5	S
+Cefepime		R	+Doxycycline		R
+Cefpirome		R	Tetracycline	>= 16	R
+Doripenem		R	Tigecycline	<= 0.12	S
+Ertapenem		R	Fosfomycin		
Imipenem			Fusidic Acid	8	R
+Meropenem		R	Rifampicin	<= 0.5	S
Gentamicin High Level synergy)			+Trimethoprim		
Streptomycin High Level synergy)			Trimethoprim/ Sulfamethoxazole	<= 10	S

*= AES modified **= User modified

AES Findings					
Confidence:	Consistent				

Page 1 of 1

ملحق رقم (٦)

bioMérieux Customer:	مختبر ميديكا التخصصي		Printed October 27, 2022 9:42:15 AM CDT		
Patient Name: 50, 50	Microbiology Chart Report		Patient ID: 1441		
Location:			Physician:		
Lab ID: 1441			Isolate Number: 1		
Organism Quantity:					
Selected Organism : Pseudomonas aeruginosa					
Source: eye swab	Collected:				
Comments:					
Susceptibility Information		Analysis Time: 13.38 hours			
Antimicrobial	MIC	Interpretation	Antimicrobial	MIC	Interpretation
+Amoxicillin		R	Imipenem	2	S
+Amoxicillin/Clavulanic Acid		R	Meropenem	0.5	S
+Ampicillin/Sulbactam		R	Amikacin	<= 2	S
Ticarcillin	>= 128	R	Gentamicin	<= 1	S
Ticarcillin/Clavulanic Acid	>= 128	R	Tobramycin	<= 1	S
Piperacillin	>= 128	R	Ciprofloxacin	<= 0.25	S
+Piperacillin/Sulbactam			+Gatifloxacin		
+Cefadroxil		R	+Levofloxacin		S
+Cefradine		R	+Lomefloxacin		
+Cefuroxime		R	+Marbofloxacin		
+Cefixime		R	+Norfloxacin		S
+Cefpodoxime		R	+Ofloxacin		S
+Cefotaxime		R	Pefloxacin		
Ceftazidime	>= 64	R	Minocycline		
+Ceftriaxone		R	Colistin	1	S
Cefepime	16	*R	Rifampicin		
Aztreonam			Trimethoprim/ Sulfamethoxazole		
+Ertapenem		R			

*= AES modified **= User modified

AES Findings	
Confidence:	Consistent

Summary

The eye is exposed to different types of microorganisms, and the ocular surface infection has devastating consequences, as it is not treated with antibiotics at an early stage, and these infections can lead to blindness. Therefore, the current study was conducted with the aim of investigating the most important bacterial microorganisms that cause eye infections in the holy governorate of Karbala and determine its virulence, as well as molecular investigation of the prevalence of antibiotic resistance genes and virulence genes in the bacterial isolates most common in causing bacterial eye infections. Clinically diagnosed by specialized doctors, their ages ranged between (1-70) years and for both sexes from the arrivals to Imam Al-Hassan Al-Mujtaba Hospital (PBUH), Al-Hindiya General Hospital and Al-Sayeda Zainab (PBUH) Eye Center in the Holy Karbala Governorate for the period from August ٢٠٢٢ to January ٢٠٢٣.

The results related to culture showed the presence of bacterial growth in ٧٦ (٤٥%) samples of the total samples of ocular infections that were collected, while no growth appeared in ٩٣ (٥٥%) samples from which ٤١ (٥٣.٩٤%) Gram-positive samples were obtained, and ٣٥ (٤٦.٠٥%) Gram-negative samples and all bacterial isolates were diagnosed based on the morphological and microscopic characteristics of the colonies when grown on general and selective culture media, in addition to conducting several biochemical tests through which the diagnosis of the most frequent isolates was confirmed by the Vitek system.

The results showed the dominance of *Staphylococcus aureus* with ٢٢(٢٨.٩٠%) samples, followed by *Staphylococcus epidermidis* with ١٩(٢٥%) samples, then *Pseudomonas aeruginosa* with ١٨(٢٣.٦٠%)

samples ,^{١٢} (١٥.٧٠٪) isolates belonging to *Escherichia coli*, ^٤(٥.٢٠٪) isolates of *Klebsiella pneumoniae* and ^٣(١.٣٠٪) of isolates of *Serratia marcescens*.

An antibiotic sensitivity test was carried out for the most frequent bacterial isolates in this study, which are *Staphylococcus aureus* and *Pseudomonas aeruginosa*, using the Vitek® system, as most of the bacterial isolates were multi-resistant to antibiotics, as all *Staphylococcus aureus* isolates were ١٠٠٪ resistant to Amoxicillin antibiotics. Amoxicillin \ Clavulanic Acid, Benzylpenicillin while it was found that Rifampicin, Linezolid, Teicoplanin and Tigecycline are the most effective against these bacteria, and the insulation of *Pseudomonas aeruginosa* was ١٠٠٪ resistance towards Amoxicillin, Amoxicillin \ Clavulanic Acid, Piperacillin while she was sensitive to Colistin, Imipenem and Meropenem.

In this study, significant differences were found between the age groups of patients at the level of probability ($p = .01$), and the age group (٢٥-٤٩) years was the most infected, and the gender and place of residence (rural or arban) had an effect on the distribution of bacterial infections among people with infection The eyes, as infections were higher in males and also in the arban, and a clear significant difference appeared at the level of probability ($p = .01$ and $p = .02$), respectively, between the distribution of the number of bacterial infections according to the site of infection in the eye, whether it was conjunctiva, cornea or eyelids, while there was no difference Significant between the type of bacteria isolated and the site of bacterial infection in the eyes at the level of probability ($p = .04$).

As for the studied risk factors represented in trauma, ocular surface diseases such as dry eyes, wearing contact lenses, as well as systemic

diseases such as diabetes mellitus and respiratory infections, it was observed through the results that there is a significant correlation at the level of probability ($p = <0.01$) between these factors and the occurrence of infection. bacteria in the eyes.

There was also a significant correlation between the studied risk factors and the sites of bacterial infection in the eye from the conjunctiva, cornea and eyelids. Likelihood level ($p = <0.05$).

Bacterial isolates possessed important virulence factors related to eye infections, including their ability to produce biofilms and hemolytic toxin. The current statistical results showed a correlation between the ability of bacterial isolates to produce biofilms and the site of bacterial infection in the eye, while there was no significant correlation between the ability of bacterial isolates to kill Hemolytic toxin production and ocular site of infection.

The polymerase chain reaction (PCR) technique was used to conduct an investigation test for the presence of genes encoding antibiotic resistance, and genes encoding for virulence factors for all isolates of *Staphylococcus aureus* and *Pseudomonas aeruginosa* to find out the extent and distribution of these genes in the bacterial isolates that infect the eye. The results showed that 90.5% of the isolates *Staphylococcus aureus* bacteria carrying the *mecA* gene through the appearance of a PCR product of size 110 bp, which is resistant to methicillin MRSA, and that 72.7% carry the gene *ermA*, and thus it has resistance to anti-macrolides through the emergence of a PCR product of size 140 bp, and thus *Staphylococcus aureus* bacteria acquired multiple resistance to antibiotics. As for the important virulence genes in causing eye pathogenesis, the *hlb* gene and *SEA*, by polymerase chain reaction, it was found that the PCR output was 90 bp and 100 bp, respectively, for

Staphylococcus aureus isolates, with a percentage of 77.2% and 68.1%, respectively.

As for the virulence genes of *Pseudomonas aeruginosa*, the presence of the *exoA* and *LasB* genes showed 100% through the appearance of a PCR product with a size of 396 bp and 300 bp, respectively.

The current study included that Gram-positive bacterial species are more common than Gram-negative bacteria in causing different eye infections, and the studied bacterial isolates possess important virulence factors represented by hemolysin production, biofilm formation, and virulence genes that increase the severity of bacterial infection in the eye as well. About having resistance genes that helped her resist antibiotics.



**University of Karbala
College of Science
Department of Biology**

**Molecular characterization of pathogenic bacteria isolated
from eye inflammation in Karbala province**

**A thesis
Submitted to the council of the
College of Science – University of Karbala
In partial of fulfillment of requirements for degree of Master of
Science in Biology**

**By
Inas Hamood Abbood DheyAuldeen
BSc. Baghdad University ٢٠٠٢**

**Supervised by
Prof.
Dr. Wafaa Sadiq Mohsin Alwazni**

٢٠٢٣ AD

١٤٤٠ AH

